

پژوهش و نوآوری در علوم و صنایع غذایی

جلد ۸، شماره ۱، سال ۱۳۹۸

شاپا: ۰۹۳۷-۲۲۵۲، چاپی)، ۲۳۵۷-۲۵۳۸ (الکترونیکی)

فهرست مطالب

- بررسی اثر صفحه‌های زاندان، گوار و آنزیم ترانس‌گلوتامیناز بر ویژگی‌های فیزیکوشیمیایی و بافتی دونات فاقد گلوتن ۱
آرزو فاضلی، مصطفی مظاہری طهرانی، مهدی کریمی، علیرضا صادقیان، آرش کوچکی
- بررسی تأثیر جایگزینی آرد بلوط (کوئرکوس برانتی) بر ویژگی‌های فیزیکوشیمیایی و حسی همبرگر ۱۵
وحیده سالارکریمی، محمدجواد وریدی، مهدی وریدی
- تولید و ارزیابی نانولیپوزوم‌های حامل پتیدهای زیست‌فعال به دست آمده از ضایعات ماهی با استفاده از آنزیم آلکالاز ۳۱
شیرین حسنی، مصطفی شهیدی نوقابی، سیدمهدی اجاق
- بهینه‌سازی تولید پروتئین هیدرولیز شده با قابلیت ضد اکسندگی بالا از کنجاله کنجد به کمک روش سطح پاسخ ۴۵
عذرآ موسوی نسب، علیرضا صادقی ماهونک، محمد قربانی، مهران اعلمی، نسیم مشگین فر
- ریزپوشانی توأم روغن ماهی و ویتامین E به روش کوآسر و اسیون ترکیبی و بهینه‌یابی کارایی آن با روش سطح پاسخ (RSM) ۵۳
فاطمه میرزایی کلایی، سیدعلی جعفرپور
- مطالعه تأثیر فشار در عرض غشا، pH و غلظت ماده فعال سطحی آنیونی SDS بر عملکرد فرایند اولترافیلتراسیون بهبود یافته با مایسل (MEUF) در تصفیه پساب لبنی به روش سطح پاسخ ۶۷
علی آراسته نوده، سوسن خسرویار، وحید حکیمزاده
- تهیه فیلم نانوکامپوزیت سلولز باکتریایی / پلی‌پیروول - اکسید روی و بررسی ویژگی‌های فیزیکومکانیکی، ضد میکروبی و آنتی‌اکسیدانی آن ۷۹
سجاد پیرسا، توحید شموسی، احسان مقدس کیا
- ارزیابی ویژگی‌های فیزیکوشیمیایی، بافتی و پختی اسپاگتی غنی‌شده با سبوس جو و صفحه زاندان ۹۱
راضیه نیازمند، سارا ناجی طبسی، آتنا مدیری، مسلم جهانی

نشریه پژوهش و نوآوری در علوم و صنایع غذایی

جلد ۸، شماره ۱، سال ۱۳۹۸

شماره پروانه: ۹۲/۲۰۵۱۹

صاحب امتیاز: مؤسسه پژوهشی علوم و صنایع غذایی

مدیر مسئول: دکتر رسول کددخایی

دانشیار گروه نانوفناوری مواد غذایی مؤسسه پژوهشی علوم و صنایع غذایی

سردیبر: دکتر سیدعلی مرتضوی

استاد گروه علوم و صنایع غذایی دانشکده کشاورزی دانشگاه فردوسی مشهد

مدیر داخلی: دکتر سارا ناجی طبی

استادیار گروه نانوفناوری مواد غذایی مؤسسه پژوهشی علوم و صنایع غذایی

کارشناس اجرایی: طبیه شجاعی دوین

هیأت تحریریه:

استاد گروه علوم و صنایع غذایی دانشکده کشاورزی دانشگاه فردوسی مشهد

دکتر سیدعلی مرتضوی

استاد گروه علوم و صنایع غذایی دانشکده کشاورزی دانشگاه فردوسی مشهد

دکتر فخری شهریادی

دانشیار گروه نانو فناوری مواد غذایی مؤسسه پژوهشی علوم و صنایع غذایی

دکتر قدیر رجبزاده

استاد گروه مهندسی شیمی دانشکده مهندسی دانشگاه ماهیدول تایلند

دکتر محمدنقی اشتیاقی

استاد گروه مهندسی شیمی صنایع غذایی دانشگاه صنعتی شریف

دکتر ایران عالمزاده

استاد گروه علوم و صنایع غذایی دانشکده کشاورزی دانشگاه تربیت مدرس

دکتر سلیمان عباسی

استاد گروه شیمی دارویی دانشکده داروسازی دانشگاه علوم پزشکی مشهد

دکتر بی بی صدیقه فضلی بزار

استاد گروه مهندسی شیمی دانشکده مهندسی دانشگاه فردوسی مشهد

دکتر سید محمود موسوی

دانشیار گروه نانوفناوری مواد غذایی مؤسسه پژوهشی علوم و صنایع غذایی

دکتر رسول کددخایی

دانشیار گروه زیستفناوری مواد غذایی مؤسسه پژوهشی علوم و صنایع غذایی

دکتر مرضیه حسینی نژاد

عضو هیأت علمی دانشگاه متropoliten لندن

دکتر حمید بهادرقدوسی

عضو هیأت علمی دانشگاه چارلز استوارت استرالیا

دکتر عسگر فرحتاکی

استاد گروه مهندسی مواد و طراحی صنایع غذایی دانشگاه علوم کشاورزی و منابع

دکتر سیدمهدي جعفری

طبيعی گرگان

ناشر: مؤسسه پژوهشی علوم و صنایع غذایی

شمارگان:

قیمت: ۲۵۰۰۰ ریال (دانشجویان ۱۲۵۰۰۰ ریال)

نشانی: مشهد، کیلومتر ۱۲ بزرگراه مشهد-قوچان، مؤسسه پژوهشی علوم و صنایع غذایی، صندوق پستی: ۹۱۸۹۵/۱۵۷/۳۵۶

تلفن: ۰۵۱ - ۳۵۴۲۵۳۲۸-۹

پایگاه اینترنتی: <http://journals.rifst.ac.ir>

آدرس الکترونیکی: jrifst@rifst.ac.ir

بِسْمِ اللّٰهِ الرَّحْمٰنِ الرَّحِيمِ

مندرجات

صفحه

عنوان مقالات

بورسی اثر صفحه‌های زانتان، گوار و آنزیم ترانس گلوتامیناز بر ویژگی‌های فیزیکوشیمیایی و بافتی دونات فاقد گلوتون ۱	آرزو فاضلی، مصطفی مظاهری طهرانی، مهدی کریمی، علیرضا صادقیان، آرش کوچکی
بورسی تأثیر جایگزینی آرد بلوط (کوئرکوس برانتی) بر ویژگی‌های فیزیکوشیمیایی و حسی همبرگر ۱۵	وحیده سالارکریمی، محمد جواد وریدی، مهدی وریدی
تولید و ارزیابی نانولیپوزوم‌های حامل پتیدهای زیستفعال به دست آمده از ضایعات ماهی با استفاده از آنزیم آلکالاز ۳۱	شیرین حسنی، مصطفی شهیدی نوقابی، سیدمهدی اجاق
بهینه‌سازی تولید پروتئین هیدرولیزشده با قابلیت ضدآکسندگی بالا از کنجاله کنجد به کمک روش سطح پاسخ ۴۵	عذرًا موسوی‌نسب، علیرضا صادقی ماهونک، محمد قربانی، مهران اعلمی، نسیم مشگین‌فر
ریزپوشانی توأم روغن ماهی و ویتامین E به روش کوآسرواسیون ترکیبی و بهینه‌یابی کارایی آن با روش سطح پاسخ (RSM) ۵۳	فاطمه میرزایی کلایی، سیدعلی جعفرپور
مطالعه تأثیر فشار در عرض غشا، pH و غلظت ماده فعال سطحی آنیونی SDS بر عملکرد فرایند اولترافیلتراسیون ببودیافته با مایسل (MEUF) در تصفیه پساب لبنی به روش سطح پاسخ ۶۷	علی آراسته نوده، سوسن خسرویار، وحید حکیم‌زاده
تهیه فیلم نانوکامپوزیت سلولز باکتریایی/پلی‌پیروول – اکسید روی و برسی ویژگی‌های فیزیکومکانیکی، ضدمیکروبی و آنتی‌اکسیدانی آن ۷۹	سجاد پیرسا، توحید شموسی، احسان مقدس کیا
ارزیابی ویژگی‌های فیزیکوشیمیایی، بافتی و پختی اسپاگتی غنی‌شده با سبوس جو و صفحه زانتان ۹۱	راضیه نیازمند، سارا ناجی طبسی، آتنا مدیری، مسلم جهانی

بررسی اثر صمغ‌های زانتان، گوار و آنزیم ترانس‌گلوتامیناز بر ویژگی‌های فیزیکوشیمیایی و بافتی دونات فاقد گلوتن

آرزو فاضلی^۱، مصطفی مظاہری تهرانی^{۲*}، مهدی کریمی^۳، علیرضا صادقیان^۴، آرش کوچکی^۵

۱- دانشجوی دکتری، گروه علوم و صنایع غذایی، دانشگاه فردوسی مشهد، مشهد، ایران

۲- استاد، گروه علوم و صنایع غذایی، دانشگاه فردوسی مشهد، مشهد، ایران

* نویسنده مسئول (mmtehrani@um.ac.ir)

۳- دانشیار، بخش تحقیقات فنی و مهندسی کشاورزی، مرکز تحقیقات و آموزش کشاورزی و منابع طبیعی استان خراسان رضوی، سازمان تحقیقات، آموزش و ترویج کشاورزی، مشهد، ایران

۴- استادیار، گروه فرآوری مواد غذایی، مؤسسه پژوهشی علوم و صنایع غذایی، مشهد، ایران

تاریخ دریافت: ۱۳۹۶/۰۸/۲۲

تاریخ پذیرش: ۱۳۹۶/۰۹/۱۹

چکیده

واژه‌های کلیدی
آنزیم ترانس‌گلوتامیناز
دونات
سلیاک
فاقد گلوتن
هیدروکلئوئید

در این پژوهش بهینه‌یابی فرمولاسیون دونات فاقد گلوتن و تأثیر افزودن صمغ‌های زانتان، گوار و آنزیم ترانس‌گلوتامیناز و اثرات متقابل آنها بررسی شد. ترکیبات متغیر هر کدام با مقدار صفر تا ۲ درصد وزنی آرد به فرمول دونات فاقد گلوتن اضافه شدند. با استفاده از طرح آماری مخلوط، نقطهٔ بهینهٔ فرمول براساس ویژگی‌های میزان جذب روغن، تخلخل، حجم مخصوص، رنگ پوسته و سفتی بافت بررسی شد. نتایج نشان داد که بیشترین جذب روغن در بالاترین سطح آنزیم و در غیاب صمغ‌ها رخ داد، در کمینه مقادیر صمغ گوار و آنزیم و بیشینه مقدار صمغ زانتان کمترین جذب روغن اتفاق افتاد. ترانس‌گلوتامیناز با ایجاد اتصالات عرضی بین پروتئین‌های آرد برجسته، آرد سیب‌زمینی و کنسانترهٔ پروتئینی سویا و تشکیل شبکهٔ پروتئینی، زانتان با ایجاد حالت ویسکوالاستیک و گوار با اعمال ویژگی‌های بین سطحی به ترتیب باعث افزایش تخلخل و حجم مخصوص دونات‌ها شدند. در برهم‌کنش بین ترکیبات، افزایش مقادیر صمغ گوار منجر به روش‌ترشدن رنگ دونات‌ها شد. بررسی آزمون سفتی بافت نشان داد نمونه بدون آنزیم حاوی هر دو صمغ دارای بیشترین سفتی است. این امر به افزایش ویسکوزیتهٔ توسط اثرات هم‌افزایی این دو صمغ برمی‌گردد. با افزودن آنزیم و ایجاد شبکهٔ پروتئینی نرمی بافت بیشتر شد. نتایج این پژوهش نشان داد که فرمول حاوی هر سه ترکیب به خوبی می‌تواند شبکهٔ پروتئینی را در دونات فاقد گلوتن شبیه‌سازی کند. طبق آنالیز آماری و بهینه‌یابی انجام‌شده، نمونه حاوی ۰/۹۸ درصد صمغ زانتان، ۰/۴۴ درصد صمغ گوار و ۰/۵۸ درصد آنزیم ترانس‌گلوتامیناز بهترین فرمول شناخته شد.

جزء پروتئینی برخی غلات مانند گندم، چاودار و جو است (Peshin, 2001). این بیماری با اختلال در واسطه‌گرهای ایمنی و بهداشت آن ایجاد سوء‌هاضمه و عدم جذب مواد

مقدمه

بیماری سلیاک یک ضعف ایمنی روده‌ای است که از عدم هضم گلوتن در افراد مستعد ژنتیکی ایجاد می‌شود. گلوتن

سرخ کردن فرایند پیچیده‌ای است که به طور گستردۀ در تهیۀ مواد غذایی مورد استفاده قرار می‌گیرد. در این روش محصولات غذایی به منظور سرخ شدن وارد محیط Dueik روغنی با دمای بالاتر از نقطه جوش آب می‌شوند (Robert, & Bouchon, 2010). میزان روغن یکی از مهم‌ترین ویژگی‌های کیفی فراورده‌های سرخ کردنی می‌باشد. میزان جذب بالای روغن هم برای تولید کننده گران تمام می‌شود و هم موجب چرب و بی‌مزه شدن محصول می‌گردد. با این وجود بافت محصول کم‌چرب نیز نامطلوب است. مواد غذایی سرخ شده به دلیل داشتن طعم مطبوع و بافت ویژه‌ای که دارند همواره مورد توجه مصرف‌کنندگان بوده‌اند. در صنعت مواد غذایی ویژگی‌های کیفی محصولات تولید شده از اهمیت زیادی برخوردار است. رنگ و بافت از مهم‌ترین خصوصیات کیفی مواد غذایی هستند که تحت تأثیر سرخ کردن قرار می‌گیرند. صمغ‌ها با موفقیت در تولید فراورده‌های نانوایی با هدف حفظ و کنترل رطوبت، حفظ گاز خمیر، بهبود دهنده بافت و کندکننده بیاتی به کاربرده می‌شوند (Bárcenas, Benedito, & Rosell, 2004; Guarda, Rosell, Benedito, & Galotto, 2004). افزودن انواع مختلف هیدروکلرئیدها به محصولات پخت به خواص عملکردی آنها مانند حلایت، ویژگی‌های رئولوژیکی، برهمنکش با Mandala, Kapetanakou, & Di Giorgio (2008). علاوه بر صمغ‌ها، آنزیم‌ها نیز در مرحله مختلف تولید نان و فراورده‌های پخت به کاربرده می‌شوند، چرا که در کاهش سفتی مغز نان، تأخیر در بیاتی و بهبود تشکیل خمیر و کیفیت نهایی فراورده مؤثر هستند (Gray & Bemiller, 2003).

در تحقیقی اثرات افزودن صمغ‌های زانتان و گوار بر بیاتی کیک‌های برنجی فاقد گلوتن طبخ شده در فر با دمای مختلف بررسی شد. نتایج نشان داد که مخلوط صمغ زانتان-گوار منجر به کاهش سختی، افت وزن، آنتالپی برگشت و تغییر در مقادیر ویسکوزیتۀ برگشتی کیک طی دورۀ نگهداری شده است. همچنین، مشخص شد که نوع فر (سنگی یا مایکروویو) در پارامترهای بیاتی کیک‌های فاقد گلوتن مؤثر می‌باشد (Sumnu, Koksel, Sahin, & Meda, 2010).

غذایی و ویتامین‌ها و تحلیل ریزپرزها شناسایی می‌شود. پرزاها به طور طبیعی مواد مغذی را از غذاهای مصرفی جذب می‌نمایند. در پاسخ به گلوتن مصرفی سیستم ایمنی بدن بیمار باعث تخریب در سطح ریزپرزاها روده کوچک می‌گردد. زمانی که پرزاها تخریب می‌شوند، بدن نمی‌تواند مواد مغذی موردنیاز را دریافت کند. در نتیجه سوء‌जذب ایجاد می‌گردد و بیمار در اثر عدم جذب مواد موردنیاز دچار کاهش وزن و علایم مربوط به کمبود مواد مغذی Blades, 1997; Murray, 1999; Schuppan, 2009 (Junker, & Barisani, 2009) افراد مبتلا به سلیاک به طور فزاینده‌ای در ایران روبه‌افزایش است.

یکی از مهم‌ترین مشکلات بیماران سلیاکی تأمین مواد غذایی موردنیازشان است. همچنین نبود تنوع، پایین بودن کیفیت و طعم نه‌چندان مطلوب منابع غذایی مورد استفاده این افراد مشکل بزرگی است که سال‌ها چالش بزرگ متخصصین صنعت غذا بوده است. از آنجاکه محصولات پخت^۱ عمده‌ترین منبع درگیر با گلوتن هستند، تهیۀ محصولات پخت بدون گلوتن در اولویت است. دونات‌ها معروف‌ترین نان‌های حجیم و سرخ شده به روش غوطه‌وری هستند. برای اولین بار دونات در آلمان و هلند تهیۀ شد به‌این صورت که تکه‌های باقی‌مانده از خمیر نان را در روغن سرخ کرده و به آن اولیکوک^۲ می‌گفتند Rehman, Paterson, Hussain, Murtaza, & Mehmood, 2007. دونات دارای دو بخش داخلی و خارجی است. بخش خارجی که در سطح قرار دارد سرخ شده و مستقیماً در تماس با روغن قرار می‌گیرد. این قسمت بیشترین دفع رطوبت و بیشترین جذب روغن را دارد و در حالت ایده‌آل رنگ قهوه‌ای طلایی و ساختار تُرد دارد. بخش داخلی مشابه کیک است و اگر در طول سرخ کردن حرارت کافی دریافت نکند، ژلاتیناسیون نشاسته به تعویق می‌افتد و در نتیجه رطوبت در این قسمت بالاتر از سطح است که باعث می‌شود که در طول ذخیره‌سازی، رطوبت به بخش سرخ شده مهاجرت کند و تُردی سطح را از بین ببرد Tan & Mittal, 2006).

¹ Bakery Products² Olykoek

پروتئین های آرد برج و سویا (۵ درصد وزنی/وزنی) که در حضور آنزیم ترانس گلوتامیناز اتفاق می افتد را مورد مطالعه قرار دادند. برهم کنش بین پروتئین های برج و سویا به وسیله تشکیل باندهای کووالانت درون مولکولی و به طور غیر مستقیم، باندهای دی سولفید بین پروتئین ها تحت تأثیر قرار می دهد. افزودن پروتئین های سویا به آرد برج تعادل اسیدهای آمینه را بهبود می بخشد.

هدف اصلی این پژوهش تولید دونات بدون گلوتن با بهره گیری از صمغ های زانتان و گوار در حضور آنزیم ترانس گلوتامیناز است. امید است با به کار گیری آنزیم ترانس گلوتامیناز و توانایی این آنزیم در ایجاد پیوندهای عرضی بین پروتئین های کنسانتره سویا، آرد برج و آرد سیب زمینی، صمغ گوار با داشتن فعالیت بین سطحی و ویسکوز کنندگی مناسب، و زانتان با داشتن توانایی ایجاد شبکه ویسکوالاستیک و ایجاد ویسکوزیتۀ مطلوب به شبیه سازی شبکه گلوتن و تثبیت آن در دونات بدون گلوتن برسیم.

مواد و روش ها

اجزاء فرمولاسیون شامل: آرد گندم، آرد برج، آرد سیب زمینی، تخم مرغ و شکر از بازار محلی شهر مشهد خریداری شدند. مخمر از نوع پودر خشک فعال بود و از کارخانه خمیر مایه فریمان تهیه شد. صمغ های گوار، زانتان و آنزیم ترانس گلوتامیناز از شرکت (Eliot, Modernist Pantry, ساخت آمریکا) تهیه شد. کنسانتره پروتئین سویا با ۷۰ درصد پروتئین (Shandong Sanwei, ساخت چین) و شورتینینگ (برند Crisco, ساخت آمریکا) مورد استفاده قرار گرفت.

روش تهیه دونات

برای تهیه خمیر از همزن حرفه ای کیچن اید (مدل Artisan، ساخت آمریکا) استفاده شد. ابتدا مواد خشک شامل: آرد برج، آرد سیب زمینی، شکر، مخمر، آنزیم، زانتان و گوار با هم مخلوط شدند. تخم مرغ به مدت ۳ دقیقه با استفاده از همزن برقی با دور تند زده شد. سپس، شورتینینگ به تخم مرغ افزوده و به مدت ۱ دقیقه با دور تند یکنواخت گردید. آنگاه، مواد خشک به مواد تر اضافه شده و با هوک خمیر گیر دستگاه همزده شد. آب تدریجیاً

(Kim, Choi, Shin, و Hidirokisi پروپیل متیل سلولز^۱ (HPMC) بر جذب روغن و بافت دونات سویا فاقد گلوتن را بررسی کردند. نتایج نشان داد که دونات حاوی سویا در حدود دو برابر جذب روغن و افت رطوبت بیشتری در مقایسه با نمونه شاهد داشته و همچنین حجم مخصوص کمتر و بافت سفت تری دارد. همچنین، نتایج نشان داد که افزودن هیدروکسی پروپیل متیل سلولز کیفیت دونات های فاقد گلوتن را همراه با آرد سویا به طور زیادی بهبود بخشید. اثر افزودن آردهای نخودفرنگی و اویار سلام زرد^۲ بر نان های فاقد گلوتن نشان داد که آرد نخودفرنگی حجم مخصوص نان را افزایش و آرد اویار سلام زرد حجم را کاهش داد. همچنین، مشخص شد که نان حاوی هر دو آرد خواص پخت (آفت پخت، حجم مخصوص، رنگ مغز و پوسته و سختی مغز) را حتی زمانی که شورتینینگ یا امولسیفایر کاهش یا حذف گردید به خوبی حفظ کردند (Aguilar, Albanell, Miñarro, & Capellas, 2015).

(AngNawut, SirichoNworrarNit, ۲۰۱۶) برای تولید دونات، آرد گندم را با مقادیر صفر، ۴۰، ۸۰ و ۶۰ درصد آرد برج سیاه (نوعی برج تایلندی) جایگزین کردند. آنها دریافتند با افزایش مقادیر آرد برج سیاه، خاکستر، رطوبت و محتوی فیبر افزایش در حالی که چربی و مقادیر پروتئین کاهش یافت. همچنین با افزایش درصد آرد برج سیاه سفتی و قابلیت جویدن دونات ها افزایش و بهم پیوستگی و فریت و حجم مخصوص کاهش یافت. درنهایت پذیرش کلی دونات هایی که با مقادیر ۲۰ و ۴۰ درصد از آرد برج سیاه تهیه شدند با نمونه های تهیه شده از ۱۰۰ درصد آرد گندم برابر می کرد.

ترانس گلوتامیناز^۳ یک نوع آنزیم میکروبی می باشد که با تشکیل پیوندهای عرضی بین گروه آمینو زنجیره جانبی لایزین از یک پروتئین و گروه کربوکسیل آمید زنجیره جانبی گلوتامین از پروتئین دیگر، پروتئین های جدید با ویژگی های خاص و منحصر به فرد ایجاد می کند. Marcoa و Rosell (۲۰۰۸)، اثر آنزیم ترانس گلوتامیناز میکروبی را بر الگوی الکتروفورز برج، سویا و مخلوط سویا برج مورد بررسی قرار دادند. آنها برهم کنش های بین

¹ Hydroxypropyl Methylcellulose

² Tigernut Flour

³ Transglutaminase (TGase)

بخش از نرم افزار مجموعه‌ای از نقاط روشن و تاریک است که محاسبه نسبت نقاط روشن به تاریک به عنوان شاخصی از میزان تخلخل نمونه‌ها برآورد می‌شود. بدیهی است که هر چقدر این نسبت بیشتر باشد بدین معناست که میزان حفره‌های موجود در بافت دونات (میزان تخلخل) بیشتر است. در عمل با فعال کردن قسمت آنالیز نرم افزار، این نسبت محاسبه و درصد تخلخل نمونه‌ها اندازه‌گیری شد (Haralick & Shanmugam, 1973).

حجم مخصوص

جهت انجام این آزمون از استاندارد شماره ۱۰۰۵ (AACC, 2000) استفاده شد. برای این منظور در فاصله زمانی ۲ ساعت پس از پخت، قطعه جدادشده از هر نمونه دونات به ابعاد $2 \times 2 \times 2$ سانتی‌متر را با ترازوی دیجیتال (مدل Bosch PE 626) و دقیق ۱ میلی‌گرم توزین گردید. سپس در داخل یک استوانه مدرج ۱۰۰۰ سی‌سی دانه ارزن ریخته شد، پس از آن دانه‌های موجود داخل یک بشر، خالی شدند. نمونه دونات داخل استوانه قرار داده شد و از دانه‌های ارزن موجود داخل بشر روی آن ریخته شد تا اینکه حجم استوانه به ۱۰۰۰ سی‌سی برسد. از روی میزان ارزن باقی‌مانده در داخل بشر حجم مخصوص دونات اندازه‌گیری و گزارش شد. نهایتاً حجم ویژه دونات‌ها از تقسیم حجم بر جرم آنها به دست آمد.

تعیین رنگ پوسته

آنالیز رنگ پوسته دونات از طریق تعیین سه شاخص a^* , b^* و L^* صورت پذیرفت. جهت اندازه‌گیری این فاکتورها تصویری با وضوح ۱۲۰۰ پیکسل از سطح نمونه‌ها به وسیله اسکنر تهیه گردید. سپس مربعی به ابعاد 800×800 پیکسل از تصویر دونات بریده شد و در اختیار نرم افزار J Image قرار گرفت. با فعال کردن فضای Lab در بخش Sun, Plugins، شاخص‌های فوق محاسبه گردیدند (Sun, Plugins). (2011).

سفتی بافت

آزمون بافت‌سنجدی با استفاده از دستگاه بافت‌سنجد (QTS, Essex, CNS Farnell, Texture analyzer متعدد آمریکا) و آنالیز داده‌ها توسط نرم افزار (TexturePro V2.0) دستگاه انجام شد. بدین‌منظور

به‌طور همزمان افزوده شده و به مدت ۵ الی ۸ دقیقه کاملاً با مابقی مواد مخلوط شد. پس از شکل‌گیری، خمیر به مدت ۱۵ دقیقه در گرمخانه با دمای ۳۸ درجه سانتی‌گراد و رطوبت نسبی ۸۵ درصد قرار گرفت. پس از طی زمان تخمیر اولیه، سطح کار با آرد برج آردپاشی شد. خمیر به ضخامت ۱ سانتی‌متر پهن و قالب‌زنی با قالب استاندارد صورت گرفت. به‌منظور پهن کردن خمیر با ضخامت یکسان از وردنۀ قابل تنظیم (Roll Matic)، ساخت ایتالیا استفاده شد. وزن هر چانه خمیر قالب‌زده شده 1 ± 0.5 گرم تنظیم شد. خمیرهای قالب‌زده شده به مدت ۴۵ دقیقه درون گرمخانه با دمای ۳۸ درجه سانتی‌گراد و رطوبت نسبی ۸۵ درصد قرار گرفتند. پس از طی این مدت حجم خمیرها دو برابر شد. سپس، خمیرها توسط سرخ‌کن دیجیتال مولینکس (مدل DR5 (Moulinex DR5)، ساخت فرانسه) در روغن با دمای ۱۷۰ درجه سانتی‌گراد به روش غوطه‌وری تا رسیدن به رنگ قهوه‌ای سرخ شدند. به‌منظور تهیه دونات شاهد آرد گندم، تخم مرغ، شکر، مخمر و شورتینگ مورد استفاده قرار گرفت. مراحل آماده‌سازی همانند مراحل تولید دونات بدون گلوتن انجام شد.

جذب روغن

به‌منظور اندازه‌گیری درصد جذب روغن از روش Alipore, Maghsudlo, Kashani Nezhad و Jafari (2009) و فرمول طراحی‌شده توسط آنها (رابطه ۱) استفاده شد (Alipore et al., 2009).

رابطه (۱)

$$(درصد روغن خمیر - درصد روغن دونات) = \text{جذب روغن (درصد)}$$

تخلخل

به‌منظور ارزیابی میزان تخلخل مغز دونات از تکنیک پردازش تصویر استفاده شد. بدین‌منظور به وسیله اسکنر (مدل HP Scanjet G3010) تصویری به ابعاد 800×800 پیکسل از مغز دونات‌ها با وضوح ۱۲۰۰ تهیه گردید. سپس تصاویر در اختیار نرم افزار J Image قرار گرفت. با فعال کردن قسمت ۸ بیت، تصاویر سطح خاکستری^۱ ایجاد شد. جهت تبدیل تصاویر خاکستری به تصاویر دودویی^۲، قسمت دودویی نرم افزار فعال گردید. این

¹ Gray Scale Image

² Binary Image

پاسخ میزان جذب روغن از لحاظ آماری مورد مقایسه قرار گرفت (شکل ۱). در مقایسه تیمارهای مختلف مشخص گردید بیشترین میزان جذب روغن در نمونه شماره ۲ (۰ درصد زانتان، ۰ درصد گوار و ۲ درصد ترانس گلوتامیناز) و کمترین میزان جذب روغن در نمونه شماره ۵ (۱/۳۳ درصد زانتان، ۰/۳۳ درصد گوار و ۰/۳۳ درصد ترانس گلوتامیناز) مشاهده گردید. معادله پیشگویی جذب روغن نیز نشان می‌دهد بیشترین ضریب جذب مربوط به ترانس گلوتامیناز می‌باشد. به نظر می‌رسد عدم حضور صمغ‌های زانتان و گوار تأثیر زیادی در افزایش میزان جذب روغن دارد. از آنجایی که در نبود صمغ‌ها رطوبت خمیر (آب آزاد) بسیار بالا بود، با خروج رطوبت در حین سرخ کردن، روغن بیشتری وارد نمونه دونات شد. طبق یافته‌های Sakhale, Badgujar, Pawar و Sananse (۲۰۱۱) نیز هرچه افت رطوبت ماده غذایی در حین سرخ کردن بیشتر باشد، جذب روغن بیشتر می‌شود. براساس نتایج Sharma, Arora و Sandhu, Kaur (۲۰۱۵) افزودن صمغ‌های عربی، گوار، زانتان و کتیرا به فرمول بیسکویت بدون گلوتن به طور معنی‌داری ($P \leq 0/05$) خصوصیات کیفی از جمله ظرفیت جذب آب، ظرفیت جذب روغن و فعالیت امولسیونی نمونه‌ها را تحت تأثیر قرار داد. نتایج آنالیز واریانس نشان داد که اثر متقابل صمغ‌های زانتان- گوار اختلاف معنی‌داری در کاهش جذب روغن دارد ($P \leq 0/1$). صمغ زانتان و گوار به دلیل ظرفیت نگهداری بالای آب و افزایش ویسکوزیته، مانع خروج رطوبت و جذب روغن شدند. همان‌طور که از ضرایب معادل پیشگویی (جدول ۲) مشخص است، تلفیق صمغ زانتان- ترانس گلوتامیناز به طور موفق‌تری در برابر جذب روغن ایستادگی کردند. این درحالی است که هریک از صمغ‌ها به تنهایی نتوانستند جذب روغن را کاهش دهند. درنهایت اثر هم‌افزایی هر سه ترکیب در شرایطی که مقدار زانتان بیشتر از گوار و ترانس گلوتامیناز بود منجر به کاهش بیشتر جذب روغن شد. به عبارتی در برهم‌کنش بین این سه جزء مؤثرترین ترکیب در کاهش جذب روغن، صمغ زانتان بود.

نمونه‌های دونات در زیر پربوپ استوانه‌ای از جنس آلمینیوم و با قطر ۲۵ میلی‌متر تحت آنالیز پروفایل بافت^۱ (TPA) قرار گرفتند. نمونه‌ها تحت آزمون فشردگی یک‌طرفه با میزان نیروی ۵ گرم با سرعت پربوپ ۶۰ میلی‌متر در دقیقه و میزان فشردگی ۵۰ درصد قرار گرفتند و پارامتر سفتی بافت گزارش شد. سرعت برگشت Karim, & Seow, 2000 پربوپ ۲ میلی‌متر در ثانیه در نظر گرفته شد ().

آنالیز آماری

در این پژوهش از طرح آماری مخلوط مرکز هندسی سادک^۲ با کمک نرم‌افزار آماری مینی‌تب^۳ نسخه ۱۶ استفاده شد. بهمنظور ارزیابی صحت مدل‌های برازش‌داده شده، مقادیر^۲ R و P ضرایب تعیین گردید. منحنی‌های سطح نشان‌دهنده بیشترین میزان پاسخ (وقوع) متغیرهای مستقل هستند و به‌این‌ترتیب بهترین حالت ممکن برای تمام متغیرهای آن به عنوان بهینه معرفی شد. جدول تیماربندی شامل مقادیر مختلف زانتان، گوار و آنزیم در جدول (۱) آورده شده است.

جدول ۱- تیمارهای تعیین‌شده با استفاده از طرح آماری مخلوط

ردیف	زنتان	گوار	ترانس گلوتامیناز
۱	۱/۰۰	۰/۰۰	۱/۰۰
۲	۰/۰۰	۰/۰۰	۲/۰۰
۳	۰/۶۶	۰/۶۶	۰/۶۶
۴	۰/۰۰	۲/۰۰	۰/۰۰
۵	۱/۳۳	۰/۳۳	۰/۳۳
۶	۱/۰۰	۱/۰۰	۰/۰۰
۷	۱/۰۰	۱/۰۰	۱/۰۰
۸	۰/۳۳	۰/۳۳	۱/۳۳
۹	۰/۳۳	۱/۳۳	۰/۳۳
۱۰	۲/۰۰	۰/۰۰	۰/۰۰

مقادیر متغیرها بر حسب درصد آرد در نظر گرفته شده است.

نتایج و بحث میزان جذب روغن

باتوجه به اهمیت میزان جذب روغن در نمونه‌های دونات،

^۱ Texture Profile Analysis

^۲ Simplex Centroid Mixture Design

^۳ Minitab

جدول ۲- مدل‌های پیشگویی برای ویژگی‌های دونات براساس متغیرهای ترکیب

R ²	مدل پیشگوی	ویژگی
۶۷/۱۷	۷/۰۲ X + ۸/۳۸ G + ۱۰/۸۱ T - ۱۲/۰۰ XG [*] - ۶/۱۷ XT - ۳/۲۱ GT - ۲/۳۸ XGT	جذب روغن
۶۲/۸۰	۵/۸۴ X + ۳/۵۹ G + ۶/۱۲ T - ۰/۴۸ XG - ۱/۱۴ XT - ۱/۴۳ GT + ۸/۶۵ XGT	تخلخل
۷۳/۹۹	۰/۷۹ X + ۰/۸۲ G + ۰/۴۹ T + ۰/۲۷ XG + ۰/۳۴ XT + ۰/۱۵ GT + ۰/۸۵ XGT	حجم مخصوص
۹۴/۸۹	۱۱/۹۰ X ^{**} + ۲۴/۰۲ G ^{**} + ۱۸/۹۴ T ^{**} + ۱۵/۷۵ XG ^{**} + ۲۲/۲۳ XT ^{**} - ۴/۰۶ GT ^{**} - ۹/۹۳ XGT	L*
۷۵/۴۶	۴/۳۳ X + ۲/۹۲ G + ۴/۴۸ T + ۰/۵۴ XG + ۲/۰ ۱ XT + ۴/۰ ۴ GT [*] - ۱۲/۱۲ XGT [*]	a*
۸۸/۴۸	۷/۷۹ X ^{**} + ۱۴/۷۱ G ^{**} + ۸/۹۶ T ^{**} + ۳/۲۹ XG + ۴/۰ ۷ XT - ۱/۴۹ GT + ۴/۵۲۳۸۲ XGT	b*
۹۸/۳۰	۴۲۱/۲۷ X [*] + ۳۵۷/۹۸ G [*] + ۲۲۳/۶۹ T [*] + ۹۷۴/۲۲ XG ^{**} + ۱۴۹/۱۹ XT ۱۵/۰ ۸- GT - ۱۵۰/۸-۲۵ XGT [*]	سفتی

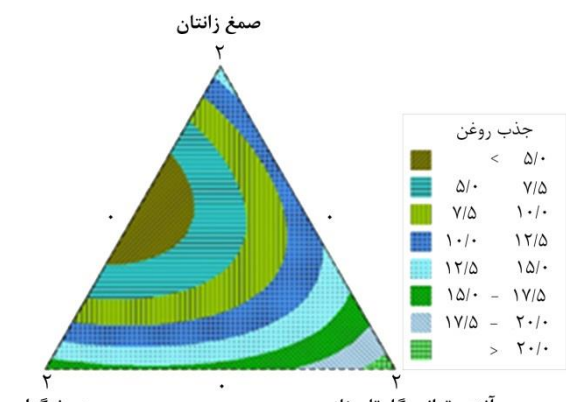
صمغ زانتان (X)، صمغ گوار (G) و آنزیم ترانس گلوتامیناز (T)

(P≤۰/۰۵) و * (P≤۰/۱)

صمغ زانتان به دلیل خاصیت آنیونی که دارد به شدت آبدوست بوده و پیوند قوی با مولکولهای آب برقرار می‌کند. به همین دلیل در حین فرایند سرخ کردن مولکولهای آب نمی‌توانند از زانتان جدا شده و از پوسته دونات خارج شوند. از این جهت صمغ زانتان با ایجاد مقاومت در برابر آفت رطوبت به طور مؤثرتری در کاهش جذب روغن نسبت به گوار شرکت می‌کند. این نتایج مشابه دستاوردهای Garmakhanyad, Maghsudlo, Mirzaei و Kashaninejad (۲۰۱۴) بود. آنها نشان دادند با استفاده از زانتان به مقدار ۱ درصد میزان جذب روغن خلال‌های سیب‌زمینی ۶۲/۳ درصد کاهش و با استفاده از ۱ درصد گوار ۶۰/۲ درصد کاهش یافت. Kim و همکاران (۲۰۱۵) نیز دریافتند با اضافه کردن هیدروکسی پروپیل متیل‌سلولز به فرمولاسیون دونات آفت رطوبت و به دنبال آن جذب روغن در مقایسه با نمونه شاهد کاهش پیدا کرد.

تخلخل
براساس جدول (۲) ملاحظه می‌شود درخصوص پارامتر تخلخل بیشترین ضریب تأثیرگذاری مربوط به حضور هر سه ترکیب و برهمنکش بین آنها می‌باشد به عبارت دیگر هر سه ترکیب اثرات همازیایی بر تخلخل داشتند (ناحیه مرکزی مثلث-شکل ۲). اثر صمغ‌ها به صورت ترکیبی سبب ضخامت بیشتر حباب‌های هوا شد. حباب‌های هوا با دیواره ضخیم در برابر انساط در حین فرایند پخت مقاومت نموده و به سادگی پاره نمی‌شوند و درنتیجه تعداد سلول‌های گازی در محصول نهایی افزایش می‌یابد. افزایش تخلخل به دلیل افزایش تعداد سلول‌های گازی و توزیع یکنواخت آنها در محصول می‌باشد (Ziobro, Korus, Witczak, & Juszczak, 2012). همان‌طور که انتظار می‌رفت در حضور آنزیم ترانس گلوتامیناز و با افزایش سطوح آن اتصالات عرضی بیشتر بین منابع پروتئینی (کنسانتره سویا، لیزین آرد برنج و سیب‌زمینی) شبکه پروتئینی گستردگی‌تری تشکیل داد. درنتیجه این امر حباب‌های گاز دی‌اکسید کربن منبسط شده در حین سرخ کردن به سرعت در ساختار شبکه‌ای پروتئینی محبوس و بافت نهایی پوک تر و متخلخل تر شد، اما این فاکتور نمی‌تواند به تنها یی مؤید کیفیت بالای نمونه یادشده (نمونه شماره ۲) باشد.

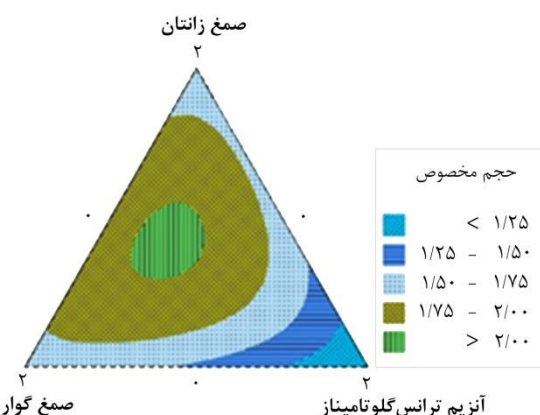
نتایج پژوهش حاضر با پژوهش Shin, Gang و Song (۲۰۱۰) مطابقت داشت. این محققین به بررسی اثر پروتئین و آنزیم ترانس گلوتامیناز روی نان برنج بدون گلوتون پرداختند. آنها دریافتند این آنزیم به افزایش حجم



شکل ۱- نمودار کانتور اثر نسبت‌های مختلف صمغ زانتان، گوار و آنزیم ترانس گلوتامیناز بر میزان جذب روغن دونات بر حسب درصد

یافته های Guarda و همکاران (۲۰۰۴) مطابقت داشت. طبق یافته های این محققین با افروden صمغ زانتان حجم مخصوص نان زیاد می شود.

با توجه به شکل (۳) مشخص شد که کمترین میزان حجم مخصوص مربوط به نمونه حاوی ۲ درصد ترانس گلوتامیناز بود. دلیل این امر این است که در نبود صمغ ها به دلیل نبود شبکه ویسکوالاستیک و ویسکوزیتۀ پایین خمیر، حباب های هوا در حین سرخ شدن نمی توانند درون شبکه پروتئینی به اندازه کافی منبسط و بزرگ شده و منجر به افزایش حجم محصول گردند. با افزایش نسبت صمغ ها به مقدار ترانس گلوتامیناز میزان حجم مخصوص افزایش یافت. این امر مؤید آن است که تنها به داماندختن حباب های هوا درون شبکه پروتئینی نمی تواند بر افزایش حجم محصول مؤثر باشد بلکه پایداری این حباب ها نیز فاکتور بسیار مهمی است. به عبارتی دیگر این شبکه هیدروکلوریک و برهم کنش بین پلی ساکاریدها با پروتئین هاست که پایدار ترین ماتریکس را ایجاد می کند.

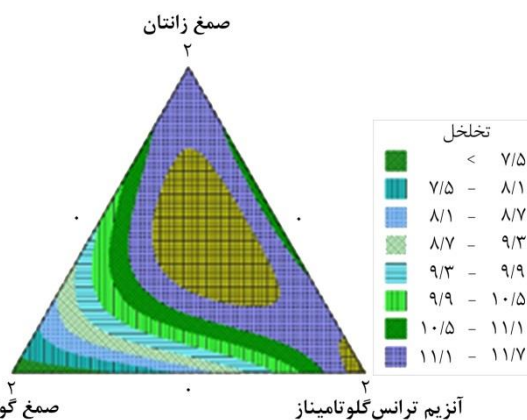


شکل ۳- نمودار کانتور اثر نسبت های مختلف صمغ زانتان، گوار و آنزیم ترانس گلوتامیناز بر حجم مخصوص بر حسب میلی لیتر بر گرم

رنگ پوسته دونات

طبق جدول (۲) بیشترین تأثیر مستقل بر روشنایی پوسته را به ترتیب گوار، ترانس گلوتامیناز و زانتان داشتند. برهم کنش دوتایی زانتان-گوار و زانتان-ترانس گلوتامیناز اثر افزایشی بر میزان روشنایی داشت. برهم کنش سه تایی متغیرها موجب کاهش فاکتور روشنایی پوسته شد اما این تغییر معنی دار نبود. درباره افزایش میزان مؤلفه رنگی * L

نان ها، تشکیل حباب های یکنواخت هوا و بهبود کیفیت نان ها کمک کرده و میزان تخلخل را بالا می برد.



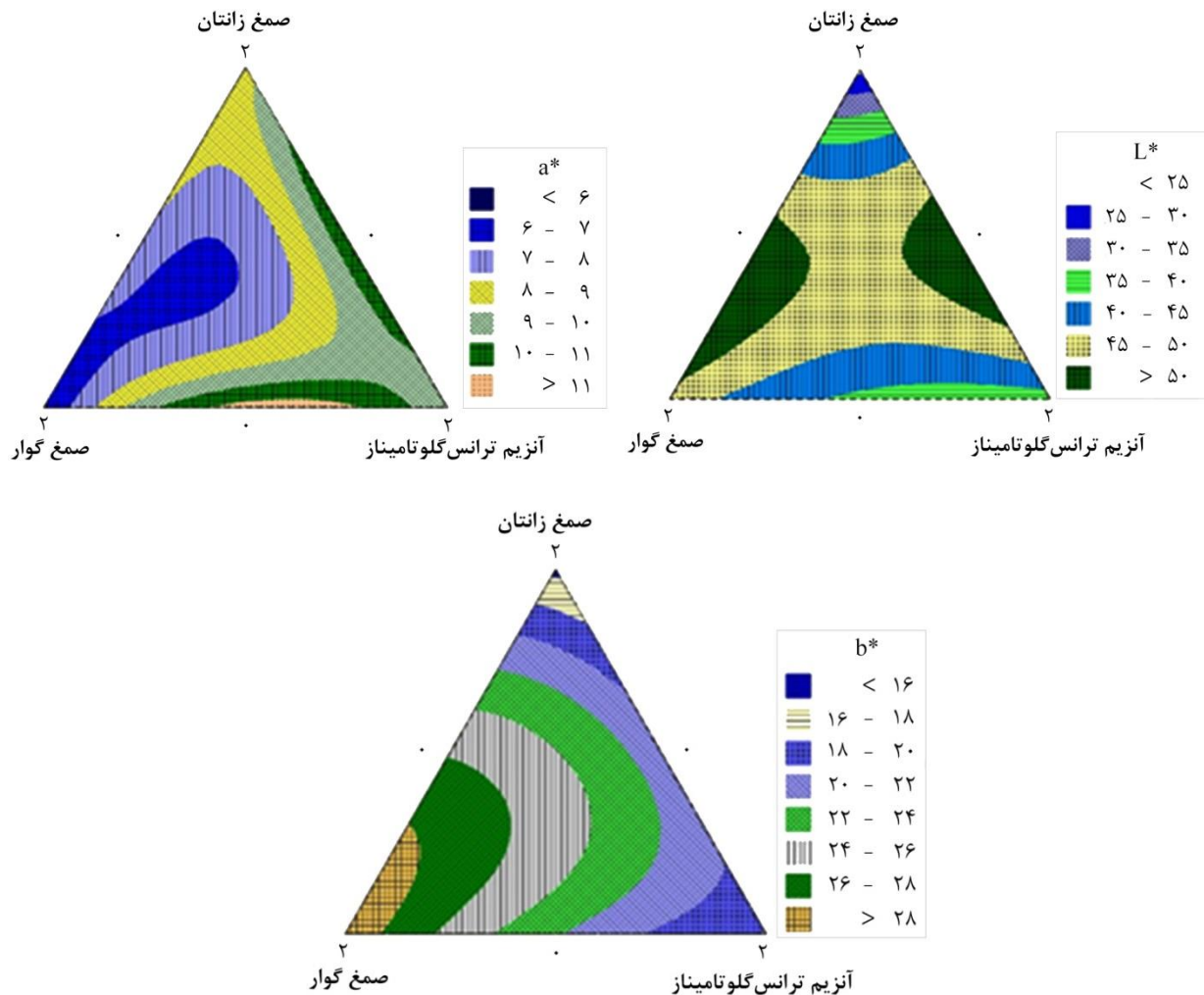
شکل ۲- نمودار کانتور اثر نسبت های مختلف صمغ زانتان، گوار و آنزیم ترانس گلوتامیناز بر تخلخل بر حسب درصد

حجم مخصوص

در بررسی حجم مخصوص (جدول ۲) مشخص شد که بیشترین میزان حجم مخصوص در نمونه حاوی هر سه متغیر دیده می شود (ناحیۀ میانی-شکل ۳). ضریب اثر مستقل زانتان و گوار بسیار بهم نزدیک بود و مؤید این است که هر دو صمغ در افزایش حجم مخصوص مؤثر بودند. همان طور که قبلاً اشاره شد زانتان ظرفیت نگهداری آب بالایی دارد، درنتیجه در مقادیر بیشتر از زانتان رطوبت خمیر بیشتر می شود. رطوبت بالا در طول پخت منجر به افزایش فشار داخلی بافت دونات شده و بدین ترتیب حجم محصول افزایش می یابد. یافته های Rodge Hashmi و Sonkamble (۲۰۱۲) مؤید این نتایج می باشد. از طرفی زانتان به دلیل توانایی در ایجاد خواص ویسکوالاستیک مشابه گلوتن و با حفظ حباب های دی اکسید کربن در افزایش حجم مؤثر است. به علاوه گوار با داشتن بخش پروتئینی و ایجاد برهم کنش های الکترواستاتیکی به پایداری حباب های هوا در امولسیون خمیر کمک می کند. Fazeli (۲۰۱۲) نیز دریافت همانند گوار، بخش پروتئینی صمغ شاهی مسئول ایجاد خصوصیات بین سطحی در امولسیون مدل بود. Barcenas و Rosell (۲۰۰۵) به این نتیجه رسیدند هیدرو کلوریکها به عنوان یک مانع در برابر پراکنده شدن گاز عمل کرده و حجم محصولات پخت را افزایش می دهند. این نتایج با

مطابقت داشت. در این زمینه Salvadori و Purlis (۲۰۰۹) بیان نمودند تغییرات سطح پوسته، مسئول روشنایی آن است و سطوح منظم و صاف نسبت به سطوح چین دار توانایی بیشتری در افزایش میزان مؤلفه L^* داشت.

با افزایش مستقل هریک از صمغها در فرمولاسیون (شکل ۴) باید گفت که صمغها با حفظ رطوبت و ممانعت از خروج آب در حین فرایند پخت سبب کاهش تغییرات سطح پوسته محصول نهایی و درنتیجه افزایش مؤلفه L^* می‌شوند. این نتایج با یافته‌های Zolfaghari (۲۰۱۰)



شکل ۴- نمودار کانتور اثر نسبت‌های مختلف صمغ زانتان، گوار و آنزیم ترانس‌گلوتامیناز بر فاکتورهای رنگی (الف) L^* ، (ب) a^* و (ج) b^* پوسته

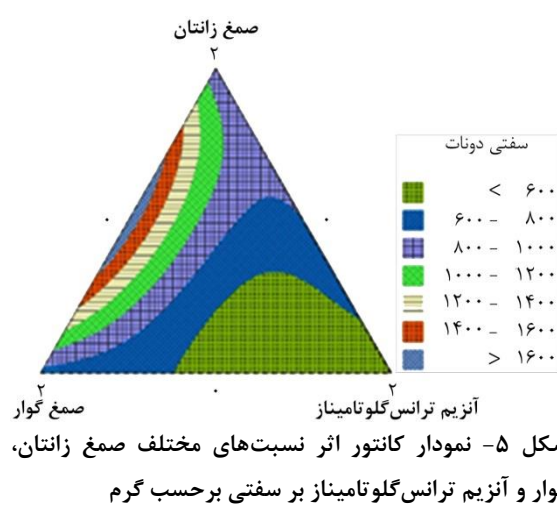
واکنش‌های قهوه‌ای‌شدن مایلارد مؤثر و بر رنگ پوسته تأثیر بگذارد (Gerrard *et al.*, 1998; Lorenzen, Neve, & Mautner, & Schlimme, 2002).

نتایج به دست آمده از رنگ‌سنجی نمونه‌های دونات از نظر شاخص a^* در این پژوهش حاکی از آن بود که بیشترین اثر معنی‌دار بر کاهش فاکتور a^* مربوط به اثر متقابل سه‌تایی صمغ گوار، زانتان و آنزیم ترانس‌گلوتامیناز بود. مابقی برهم‌کنش‌ها و اثرات مستقل متغیرها سبب

علاوه‌بر این اثر هم‌افزایی متقابل دوتایی صمغ آنزیم را می‌توان به بهبود ظرفیت نگهداری آب در ژل‌ها به علت Kuraishi, Yamazaki, & Susa, (2001) و همچنین در سیستم‌های بدون گلوتن (Heinbockel, Dockery, Ulmer, & Arendt, 2006) دانست. پیشنهاد شده است که آمیدزدایی از گلوتامین و ایجاد پیوند عرضی بین اسیدهای آمینه گلوتامین و لیزین می‌تواند در بهبود ظرفیت نگهداری آب و کاهش

آنزیم ترانس گلوتامیناز خود به تنها بیان تأثیر کمی بر افزایش سفتی داشت اما با اثرات متقابلی که با زانتان و گوار داشت به ترتیب باعث افزایش و کاهش سفتی شد. اثرات هر سه ترکیب با هم به طور معنی داری باعث کاهش سفتی محصول شد ($P \leq 0.1$). این تفاوت در نتایج، احتمالاً به دلیل وزن مولکولی پروتئین های تولید شده توسط پیوندهای عرضی ایجاد شده با این آنزیم می باشد (Marco, Pérez, Ribotta, & Rosell, 2007; Marcoa & Rosell, 2008).

طبق نتایج به دست آمده مهم ترین فاکتوری که در نبود شبکه گلوتنی روی سفتی محصول تأثیر می گذارد ویسکوزیته و وزن مولکولی اجزای تشکیل دهنده بافت است و این فاکتور تابعی از غلطت، نوع صمغ، نوع پروتئین و نشاسته و برهم کنش بین آنهاست.



شکل ۵- نمودار کانتور اثر نسبت های مختلف صمغ زانتان، گوار و آنزیم ترانس گلوتامیناز بر سفتی برحسب گرم

بهینه یابی فرمولاسیون
طبق نتایج به دست آمده (آنالیز داده های نمونه شاهد در این مقاله آورده نشده است)، میزان جذب روغن، تخلخل، حجم مخصوص، فاکتورهای L^* , a^* و b^* و سفتی برای نمونه شاهد به ترتیب ۱۰ و $17/43$ درصد، $3/5$ (میلی لیتر/گرم) و $51/64$ ، $6/39$ ، $24/16$ و 489 به دست آمد. به منظور بهینه یابی فرمول دونات بدون گلوتن براساس ویژگی های فیزیکو شیمیایی، حد بالا، پایین و مطلوب هریک از ویژگی ها و وزن و اهمیت آنها با توجه به پاسخ های به دست آمده از نمونه شاهد، تعیین شد (جدول ۳). براساس بهینه یابی انجام شده بهترین فرمول حاوی

افزایش این فاکتور شدند. این امر احتمالاً به دلیل تفاوت ساختار شیمیایی متغیرها در جذب و حفظ رطوبت است. همان گونه که در جدول (۲) مشاهده می شود بیشترین تأثیر معنی دار بر افزایش میزان فاکتور b^* ناشی از اثر مستقل متغیرها بود. همانند فاکتور روشنایی، گوار بیشترین تأثیر بر افزایش b^* را داشت. طبق معادله رگرسیونی تنها برهم کنش گوار- ترانس گلوتامیناز منجر به کاهش فاکتور b^* شد. اثر سه تایی متغیرها افزایش این فاکتور را در پی داشت.

softness donuts

softness از مهم ترین فاکتورهای بافتی در ارزیابی کیفی محصولات پخت می باشد. به همین جهت تنها آزمون سفتی در این مقاله آورده شده است. با توجه به نتایج آنالیز واریانس (جدول ۳) هر سه متغیر به طور معنی داری بر سفتی اثر گذاشتند که در این میان اثر مستقل زانتان بیشتر از دو متغیر دیگر بود. بیشترین مقدار سفتی در نمونه شماره ۶ حاوی ۱ درصد صمغ زانتان، ۱ درصد صمغ گوار و فاقد آنزیم به مقدار $1714/29$ گرم نیرو به دست آمد ($P \leq 0.05$). از جمله محققین دیگری که به نتایج مشابه رسیدن می توان به تحقیقات Arunepanlop (1996) در خصوص اثر صمغ زانتان در کیک فرشته و Empis، Bertholo، Arozarena، Bunker و Sousa (2001) در کیک زرد اشاره کرد. آنها نیز دریافتند با افزایش سطوح صمغ زانتان سفتی بافت افزایش می یابد. در حضور صمغ ها حباب های هوا پایدار شده و دیواره سلولی آنها تقویت می شود، بنابراین مقاومت نمونه های حاوی هر دو صمغ در برابر فشار وارد شده از طرف دستگاه بیشتر شده و سفتی بافت افزایش یافت. از طرفی باید در نظر داشت این دو صمغ اثر هم افزایی بر ویسکوزیته داشته که خود منجر به افزایش سفتی می شود. طبق نتایج به دست آمده (شکل ۵) دو صمغ زانتان و گوار از روند مشابهی در افزایش سفتی بافت پیروی کردند. زانتان می تواند نان با بافتی مشابه آرد گندم در نان های بدون گلوتن ایجاد کند اما این مستلزم استفاده از مقدار مناسب از این صمغ است زیرا در مقدار بیشتر از ۲ درصد منجر به سفتی مغز نان می شود (Kokelaar, 1994).

درصد، ۱/۸۰۸ (میلی لیتر/گرم) و ۴۹/۲۲۵، ۷/۳۳۵ و ۱/۸۰۸ (میلی لیتر/گرم) برای آزمون‌های جذب روغن، ۲۴/۱۰۹ و ۴۹۷/۷۶۴ تخلخل، حجم مخصوص، L*، a*، b* و سفتی خواهد بود.

۰/۹۸ درصد صمغ زانتان، ۰/۴۴ درصد صمغ گوار و ۰/۵۸ درصد آنزیم ترانس‌گلوتامیناز به دست آمد. در این فرمول پاسخ‌های پیش‌بینی شده به ترتیب ۶/۶۰۷ درصد، ۱۲/۲۲۸ پاسخ‌های پیش‌بینی شده به ترتیب ۰/۹۸ درصد صمغ زانتان، ۰/۴۴ درصد صمغ گوار و ۰/۵۸ درصد آنزیم ترانس‌گلوتامیناز به دست آمد. در این فرمول پاسخ‌های پیش‌بینی شده به ترتیب ۶/۶۰۷ درصد، ۱۲/۲۲۸

جدول ۳- پارامترهای بهینه‌یابی دونات بدون گلوتن براساس آزمون‌های انجام‌شده

ویژگی	هدف	حد پایین	حد مطلوب	حد بالا	وزن	اهمیت
جذب روغن	کمینه	۶	۱۲	-	۵	۱۰
تخلخل	بیشینه	۱۳	۱۵	-	۵	۱۰
حجم مخصوص	بیشینه	۲	۳/۵۰	-	۵	۱۰
L*	بیشینه	۴۸	۵۲	-	۵	۱۰
a*	بیشینه	۵	۷	-	۵	۱۰
b*	کمینه	-	۲۴	۲۶	۵	۱۰
سفتی	کمینه	-	۴۹۰	۵۵۰	۵	۱۰

درنتیجه این امر حباب‌های دی‌اکسیدکربن منبسط‌شده در حین سرخ‌کردن به سرعت در ساختار شبکه‌ای پروتئینی محبوس و بافت نهایی پوک‌تر و متخلف‌تر شد. از طرفی در حضور آنزیم حباب‌های ایجادشده به صورت یکنواخت در بافت توزیع شد. بیشترین میزان حجم مخصوص در نمونه حاوی هر سه متغیر دیده شد، صمغ زانتان با ایجاد خواص ویسکوالاستیک و صمغ گوار با فعالیت بین سطحی بر افزایش حجم مخصوص مؤثر بودند. آنزیم به تنها‌ی اثر منفی بر میزان حجم مخصوص داشت. صافی سطح و رطوبت مهم‌ترین فاکتورهای مؤثر بر فاکتورهای رنگی بودند. بر اثر برهم‌کنش هر دو صمغ سفتی بسیار زیادشده و از کیفیت نمونه کاسته شد. به طور کلی براساس نتایج به دست آمده هریک از این ترکیبات به تنها‌ی نتوانستند محصول با کیفیت تولید کنند و این اثرات متقابل این سه ترکیب است که منجر به تولید محصول قابل قبول می‌شود. بنابراین براساس بهینه‌یابی انجام شده، نمونه حاوی هر دو صمغ با مقادیر ۰/۹۸ درصد صمغ زانتان، ۰/۴۴ درصد صمغ گوار و ۰/۵۸ درصد آنزیم ترانس‌گلوتامیناز به عنوان بهترین فرمول شناخته شد.

نتیجه‌گیری

طبق مطالعه‌های انجام‌شده با افزودن ترکیبات هیدروکلئنیدی می‌توان به فرمول مناسب برای تهیه فراورده‌های آردی بدون گلوتن با مدت ماندگاری مناسب دست یافت. از این‌رو صمغ‌های زانتان و گوار و آنزیم ترانس‌گلوتامیناز انتخاب شدند. براساس آزمون‌های انجام‌شده مشخص گردید آنزیم ترانس‌گلوتامیناز به تنها‌ی اثر مطلوبی در حضور این آنزیم جذب روغن نداشته و بالعکس بیشترین جذب در حضور این آنزیم رخ داد. صمغ زانتان و گوار به دلیل ظرفیت نگهداری بالای آب و افزایش ویسکوزیته مانع خروج رطوبت و جذب روغن شدند. در برهم‌کنش بین این سه جزء مؤثرترین ترکیب در کاهش جذب روغن، صمغ زانتان بود. بیشترین ضریب تأثیرگذاری بر میزان تخلخل مربوط به حضور هر سه ترکیب و برهم‌کنش بین آنها بود. اثر صمغ‌ها به صورت ترکیبی سبب ضخامت بیشتر حباب‌های هوا و پایداری آنها شد. همچنین در حضور آنزیم ترانس‌گلوتامیناز شبکه پروتئینی گستره‌های درنتیجه ایجاد پیوندهای عرضی بین کنسانتره پروتئینی سویا، لیزین آرد برج و آرد سیب‌زمینی شد.

منابع

AACC. (2000). *Approved Methods of the American Association of Cereal Chemists* (10th ed.): American Association of Cereal Chemists.

- Aguilar, N., Albanell, E., Miñarro, B., & Capellas, M. (2015). Chickpea and tiger nut flours as alternatives to emulsifier and shortening in gluten-free bread. *LWT - Food Science and Technology*, 62(1Part 1), 225-232. doi:<https://doi.org/10.1016/j.lwt.2014.12.045>
- Alipore, M., Kashani Nezhad, M., Maghsudlo, Y., & Jafari, M. (2009). Effect of carrageenan, oil temperature and frying time on oil absorption in fried potato products. *Iranian Food Science And Technology Research Journal*, 5(1), 21-27, (in Persian).
- Arozarena, I., Bertholo, H., Empis, J., Bunger, A., & Sousa, I. (2001). Study of the total replacement of egg by white lupine protein, emulsifiers and xanthan gum in yellow cakes. *European Food Research and Technology*, 213(4-5), 312-316. doi: <https://doi.org/10.1007/s002170100391>
- Arunepanlop, B., Morr, C., Karleskind, D., & Laye, I. (1996). Partial replacement of egg white proteins with whey proteins in angel food cakes. *Journal of Food Science*, 61(5), 1085-1093. doi:<https://doi.org/10.1111/j.1365-2621.1996.tb10937.x>
- Bárcenas, M. a. E., Benedito, C., & Rosell, C. M. (2004). Use of hydrocolloids as bread improvers in interrupted baking process with frozen storage. *Food Hydrocolloids*, 18(5), 769-774. doi:<https://doi.org/10.1016/j.foodhyd.2003.12.003>
- Barcenas, M. E., & Rosell, C. M. (2005). Effect of HPMC addition on the microstructure, quality and aging of wheat bread. *Food Hydrocolloids*, 19(6), 1037-1043. doi:<https://doi.org/10.1016/j.foodhyd.2005.01.005>
- Blades, M. (1997). Food allergies and intolerances: an update. *Nutrition & Food Science*, 97(4), 146-151. doi:<https://doi.org/10.1108/00346659710>
- Dueik, V., Robert, P., & Bouchon, P. (2010). Vacuum frying reduces oil uptake and improves the quality parameters of carrot crisps. *Food Chemistry*, 119(3), 1143-1149. doi:<https://doi.org/10.1016/j.foodchem.2009.08.027>
- Fazeli, A. (2012). *Evaluation oil-in-water emulsions properties stabilized by Lepidium sativum seed gum and whey protein concentrate*. (Unpublished master's thesis), Quchan Islamic Azad University, (in Persian),
- Garmakhany, A. D., Mirzaei, H., Maghsudlo, Y., Kashaninejad, M., & Jafari, S. (2014). Production of low fat french-fries with single and multi-layer hydrocolloid coatings. *Journal of Food Science and Technology*, 51(7), 1334-1341. doi:<https://doi.org/10.1007/s13197-012-0660-9>
- Gerrard, J., Fayle, S., Wilson, A., Newberry, M., Ross, M., & Kavale, S. (1998). The effect of microbial transglutaminase on dough properties and crumb strength of white pan bread. *Journal of Food Science*, 63(3), 472-475.
- Gray, J., & Bemiller, J. (2003). Bread staling: molecular basis and control. *Comprehensive Reviews in Food Science and Food Safety*, 2(1), 1-21. doi:<https://doi.org/10.1111/j.1541-4337.2003.tb00011.x>
- Guarda, A., Rosell, C., Benedito, C., & Galotto, M. (2004). Different hydrocolloids as bread improvers and antistaling agents. *Food Hydrocolloids*, 18(2), 241-247. doi:[https://doi.org/10.1016/S0268-005X\(03\)00080-8](https://doi.org/10.1016/S0268-005X(03)00080-8)
- Haralick, R. M., & Shanmugam, K. (1973). Textural features for image classification. *IEEE Transactions on Systems, Man, and Cybernetics*(6), 610-621. doi:<http://dx.doi.org/10.1109/TSMC.1973.4309314>
- Karim, A. A., Norziah, M., & Seow, C. (2000). Methods for the study of starch retrogradation. *Food Chemistry*, 71(1), 9-36. doi:[https://doi.org/10.1016/S0308-8146\(00\)00130-8](https://doi.org/10.1016/S0308-8146(00)00130-8)
- Kaur, M., Sandhu, K. S., Arora, A., & Sharma, A. (2015). Gluten free biscuits prepared from buckwheat flour by incorporation of various gums: Physicochemical and sensory properties. *LWT - Food Science and Technology*, 62(1, Part 2), 628-632. doi:<https://doi.org/10.1016/j.lwt.2014.02.039>
- Kim, J., Choi, I., Shin, W.-K., & Kim, Y. (2015). Effects of HPMC (Hydroxypropyl methylcellulose) on oil uptake and texture of gluten-free soy donut. *LWT-Food Science and Technology*, 62(1Part2), 620-627. doi:<https://doi.org/10.1016/j.lwt.2014.03.039>
- Kokelaar, J. J. (1994). *Physics of breadmaking*. (Doctoral dissertation), Kokelaar, Agricultural University, Wageningen, The Netherlands. Retrieved from <http://edepot.wur.nl/202247>

- Kuraishi, C., Yamazaki, K., & Susa, Y. (2001). Transglutaminase: its utilization in the food industry. *Food Reviews International*, 17(2), 221-246. doi:<https://doi.org/10.1081/FRI-100001258>
- Lorenzen, P. C., Neve, H., Mautner, A., & Schlimme, E. (2002). Effect of enzymatic cross-linking of milk proteins on functional properties of set-style yoghurt. *International Journal of Dairy Technology*, 55(3), 152-157. doi:<https://doi.org/10.1046/j.1471-0307.2002.00065.x>
- Mandala, I., Kapetanakou, A., & Kostaropoulos, A. (2008). Physical properties of breads containing hydrocolloids stored at low temperature: II-Effect of freezing. *Food Hydrocolloids*, 22(8), 1443-1451. doi:<https://doi.org/10.1016/j.foodhyd.2007.09.003>
- Marco, C., Pérez, G., Ribotta, P., & Rosell, C. M. (2007). Effect of microbial transglutaminase on the protein fractions of rice, pea and their blends. *Journal of the Science of Food and Agriculture*, 87(14), 2576-2582. doi:<https://doi.org/10.1002/jsfa.3006>
- Marcoa, C., & Rosell, C. M. (2008). Effect of different protein isolates and transglutaminase on rice flour properties. *Journal of Food Engineering*, 84(1), 132-139. doi:<https://doi.org/10.1016/j.jfoodeng.2007.05.003>
- Moore, M. M., Heinbockel, M., Dockery, P., Ulmer, H., & Arendt, E. K. (2006). Network formation in gluten-free bread with application of transglutaminase. *Cereal Chemistry*, 83(1), 28-36. doi:<https://doi.org/10.1094/CC-83-0028>
- Murray, J. A. (1999). The widening spectrum of celiac disease. *The American Journal of Clinical Nutrition*, 69(3), 354-365. doi:<https://doi.org/10.1093/ajcn/69.3.354>
- Peshin, A. (2001). Characterization of starch isolated from potato tubers (*Solanum tuberosum* L.). *Journal of Food Science and Technology*, 38(5), 447-449.
- Purlis, E., & Salvadori, V. O. (2009). Modelling the browning of bread during baking. *Food Research International*, 42(7), 865-870. doi:<https://doi.org/10.1016/j.foodres.2009.03.007>
- Rehman, S.-u., Paterson, A., Hussain, S., Murtaza, M. A., & Mehmood, S. (2007). Influence of partial substitution of wheat flour with vetch (*Lathyrus sativus* L) flour on quality characteristics of doughnuts. *LWT-Food Science and Technology*, 40(1), 73-82. doi:<https://doi.org/10.1016/j.lwt.2005.09.015>
- Rodge, A., Sonkamble, S., Salve, R., & Hashmi, S. (2012). Effect of hydrocolloid (guar gum) incorporation on the quality characteristics of bread. *Journal of Food Process Technology*, 3(2), 120-133. doi:<https://doi.org/10.4172/2157-7110.1000136>
- Sakhale, B. K., Badgujar, J. B., Pawar, V. D., & Sananse, S. L. (2011). Effect of hydrocolloids incorporation in casing of samosa on reduction of oil uptake. *Journal of Food Science and Technology*, 48(6), 769. doi:<https://doi.org/10.1007/s13197-011-0333-0>
- Schuppan, D., Junker, Y., & Barisani, D. (2009). Celiac disease: from pathogenesis to novel therapies. *Gastroenterology*, 137(6), 1912-1933. doi:<https://doi.org/10.1053/j.gastro.2009.09.008>
- Shin, M., Gang, D.-O., & Song, J.-Y. (2010). Effects of protein and transglutaminase on the preparation of gluten-free rice bread. *Food Science and Biotechnology*, 19(4), 951-956. doi:<https://doi.org/10.1007/s10068-010-0133-8>
- SirichoNworraNit, S., Intasen, P., & AngNawut, C. (2016). Quality of Donut Supplemented with Hom Nin Rice Flour. *World Academy of Science, Engineering and Technology, International Journal of Biological, Biomolecular, Agricultural, Food and Biotechnological Engineering*, 10(7), 443-446. doi:<https://doi.org/10.5281/zenodo.1125777>
- Sumnu, G., Koksel, F., Sahin, S., Basman, A., & Meda, V. (2010). The effects of xanthan and guar gums on staling of gluten-free rice cakes baked in different ovens. *International Journal of Food Science & Technology*, 45(1), 87-93. doi:<https://doi.org/10.1111/j.1365-2621.2009.02107.x>
- Sun, D.-W. (2011). *Computer vision technology for food quality evaluation*: Academic Press.
- Tan, K., & Mittal, G. (2006). Physicochemical properties changes of donuts during vacuum frying. *International Journal of Food Properties*, 9(1), 85-98. doi:<https://doi.org/10.1080/10942910500473947>

Ziobro, R., Korus, J., Witczak, M., & Juszczak, L. (2012). Influence of modified starches on properties of gluten-free dough and bread. Part II: Quality and staling of gluten-free bread. *Food Hydrocolloids*, 29(1), 68-74. doi:<https://doi.org/10.1016/j.foodhyd.2012.02.009>

Zolfaghari, Z. S. (2010). *Effect of Formulation, Perfrying Treatment on Physicochemical Properties of Donut and Application of Fuzzy Regression on Sensory Evaluation of Product.* (Unpublished master's thesis), Faulty of Agriculture, Ferdowsi University of Mahhad, (in Persian),

The Effect of Xanthan, Guar and Transglutaminase on the Physicochemical and Textural Properties of Gluten-free Doughnut

Arezo Fazeli¹, Mostafa Mazaheri Tehrani^{2*}, Mahdi Karimi³, Alireza Sadeghian⁴, Arash Koochaki²

1- PhD. Student, Department of Food Science and Technology, Faculty of Agriculture, Ferdowsi University of Mashhad, Mashhad, Iran

2- Professor, Department of Food Science and Technology, Faculty of Agriculture, Ferdowsi University of Mashhad, Mashhad, Iran

*Corresponding author (mmtehrani@um.ac.ir)

3- Associate Professor, Agricultural Engineering Research Department, Khorasan Razavi Agricultural and Natural Resource Research Education Center, Agricultural Research, Education and Extension Organization (AEERO), Mashhad, Iran

4- Assistant Professor, Department of Food Processing, Research Institute of Food Science and Technology, Mashhad, Iran

Abstract

The main objective of the current study was to optimize gluten free doughnuts formula for which the effect of xanthan, guar and Transglutaminase (TGase) enzyme were investigated. Xanthan, Guar and TGase were added from 0 to 2% of flour basis to the basic formula. Treatments were designed based on the mixture design of the Minitab software. The optimum conditions were selected based on the oil absorption, hardness, color, porosity and specific volume. The results showed that the high oil absorption occurred at the high level of TGase in absence of gums and the minimum oil absorption happened at the triple point. TGase caused cross linkage between rice flour protein, potato flour protein, and soy protein concentrate, which led to making protein network, xanthan gum, creating viscoelastic properties and guar gum, generating inter-surface properties, finally resulting in the increase of porosity and specific volume of doughnuts respectively. The interaction between the components showed that increasing the amount of guar gum improved the lightness of doughnuts. Texture parameters showed that samples with just gums without TGase showed the highest hardness. The synergistic effects of these gums increased viscosity. Hardness was decreased by protein network induced by TGase. The results of this study showed that the formula containing all three components could simulate the protein network in the gluten-free doughnut. The optimum point was 0.98% of xanthan, 0.44% of guar and 0.58% TGase which showed the best responds.

Keywords: Celiac, Doughnut, Gluten-free, Hydrocolloids, Transglutaminase

بررسی تأثیر جایگزینی آرد بلوط (کوئرکوس برانتی) بر ویژگی‌های فیزیکوشیمیایی و حسی همبرگر

وحیده سالارکریمی^۱، محمدجواد وریدی^{۲*}، مهدی وریدی^۲

۱- دانش آموخته کارشناسی ارشد، گروه علوم و صنایع غذایی، دانشگاه فردوسی مشهد، مشهد، ایران

۲- دانشیار، گروه علوم و صنایع غذایی، دانشگاه فردوسی مشهد، مشهد، ایران

* نویسنده مسئول (mjvaridi@um.ac.ir)

تاریخ دریافت: ۱۳۹۶/۰۴/۰۶

تاریخ پذیرش: ۱۳۹۶/۱۰/۲۵

چکیده

واژه‌های کلیدی
آرد بلوط
ارزیابی حسی
فیزیکوشیمیایی
همبرگر

در این پژوهش، تأثیر جایگزینی آرد بلوط بر ویژگی‌های فیزیکوشیمیایی و حسی همبرگر (۳۰ درصد گوشت) مورد بررسی قرار گرفت. سطوح آرد بلوط صفر، ۳، ۶ و ۹ درصد بود که جایگزین آرد سوخاری موجود در فرمولاتیون شد. آرد بلوط تمامی ویژگی‌های پخت تیمارها شامل کاهش قطره، افزایش ضخامت، افت پخت، چروکیدگی و ظرفیت حفظ چربی و نیز شاخص‌های بافت به جزء چسبندگی را به طور معنی‌داری ($P < 0.05$) بهبود بخشید. پارامترهای رنگ L* و b* نمونه‌های تیمارشده به طور معنی‌داری ($P < 0.05$) بالاتر از نمونه شاهد بود. در حالی که شاخص a* آنها کمتر به دست آمد. در ارزیابی حسی نمونه‌ها، همه تیمارهای آرد بلوط از لحاظ طعم، بافت، آبداری و پذیرش کلی امتیاز بالاتری در مقایسه با نمونه شاهد کسب کردند. اما از لحاظ شاخص رنگ، نمونه شاهد مطلوب‌تر بود. براساس نتایج به دست آمده، با جایگزینی آرد بلوط در فرمولاتیون همبرگر، می‌توان تا حد قابل قبولی ویژگی‌های فیزیکوشیمیایی و حسی این فراورده را بهبود بخشید.

افزودنی‌هایی با منابع مختلف گیاهی از جمله آرد نخود، لوبیاچشم‌بلبلی و عدس، آرد ذرت، پوسته فندق، هویج و سیب‌زمینی صورت گرفته است (Gujral, Kaur, Singh, & Sodhi, 2002). استفاده از این مواد غیرگوشتی در تولید محصولات گوشتی، همچنین از عوامل مهم حفظ کیفیت، خواص تکنولوژیکی و تغذیه‌ای این محصولات، بشمار می‌آید. برخی از آنها مانند آرد جو، ظرفیت نگهداری آب و چربی را در محصولات گوشتی بهبود می‌بخشند (Serdaroglu, 2006). همچنین محصولاتی مانند سبوس و فیبر جو نیز در افزایش ظرفیت نگهداری آب و بهبود احساس دهانی محصولات نقش عمده‌ای دارند (Giese, 1992). علاوه‌بر این به دلیل افزایش دامنه تقاضای مصرف‌کنندگان جهت تولید غذاهای فست‌فود سالم،

مقدمه

گوشت یکی از منابع مهم رژیم غذایی انسان‌ها بشمار می‌رود که به دلیل مواد مغذی بسیاری همچون پروتئین‌هایی بالرزش بیولوژیکی بالا، روی، آهن، سلنیوم و ویتامین‌های گروه B₁₂، نقش حیاتی در بهبود دستگاه گوارش انسان و نیز متعادل‌سازی رژیم غذایی افراد بر عهده دارد. عموم مصرف‌کنندگان نیز، گوشت و محصولات گوشتی را به دلیل ویژگی‌های تغذیه‌ای و خواص حسی قابل توجه، ترجیح می‌دهند (Higgs, 2000). در تولید انواع محصولات گوشتی موادی چون پودر سوخاری، به عنوان یک ترکیب اتصال‌دهنده و افزودنی مورد استفاده قرار می‌گیرد. اما امروزه برای تولید محصولات گوشتی سالم‌تر، تحقیقاتی زیادی در جهت به کار گیری اتصال‌دهنده‌ها و

سالیانه مقادیر زیادی از این میوه، بدون استفاده مفید هدر می‌رود و نیز تقاضای مصرف کنندگان جهت تولید محصولات گوشتی سالم از جمله همیرگر روبه‌افزایش است، می‌توان با استفاده از ترکیب آرد بلوط در فرمولاتیون همیرگر، به بررسی ویژگی‌های فیزیکوشیمیایی و حسی این فراورده تحت تأثیر این آرد، پرداخت.

مواد و روش‌ها

میوه‌های بلوط پس از جمع‌آوری از مناطق جنگلی شهرکرد خشک، و پس از پوست‌گیری با دستگاه آسیاب صنعتی با مش ۲۰ تبدیل به آرد شدند.

تولید همیرگر

نمونه‌های همیرگر (۳۰ درصد گوشت) در دو تکرار مستقل، طبق فرمولاتیون صنعتی (حاوی گوشت، پیاز، نمک، ادویه، گلوتون و آرد سوخاری)، تهیه و آرد بلوط با نسبت‌های صفر، ۳، ۶ و ۹ درصد جایگزین آرد سوخاری موجود در فرمولاتیون گردید. پس از همگن‌سازی خمیر، نمونه‌هایی به وزن ۸۰ گرم و ضخامت ۱ سانتی‌متر از هر تیمار قالب‌زنی و پس از بسته‌بندی، در فریزر با دمای -۱۸ درجه سانتی‌گراد تا زمان انجام آزمایش‌ها نگهداری شد. آنالیزهای مربوطه ظرف مدت ۳ روز انجام گرفت.

آزمون‌ها

تعیین ویژگی‌های شیمیایی و عملکردی آرد بلوط
ترکیبات شیمیایی آرد بلوط شامل رطوبت، خاکستر، چربی، پروتئین و کربوهیدرات براساس روش‌های استاندارد Institute of Standards and Industrial ملی ایران (Research of Iran [ISIRI], 1992, 1994, 2011 شد. اندیس ظرفیت جذب آب و جذب روغن آرد بلوط نیز به روش Beuchat (۱۹۷۷) اندازه‌گیری شد. یک گرم از آرد بلوط (w)، داخل یک لوله سانتریفیوژ ریخته شد. سپس ۱۰ میلی‌لیتر (v_۰) روغن ذرت یا آب‌مقطر به آن اضافه گردید و به کمک دستگاه ورتکس (هایدولف ریکس کنترل، ساخت آلمان)، به مدت ۲ دقیقه مخلوط شد. سپس به مدت ۳۰ دقیقه در دمای محیط قرار گرفتند و بعد از آن به مدت ۲۰ دقیقه با سرعت ۳۰۰۰ دور در دقیقه سانتریفیوژ شدند و فاز رویی (v_۱) (آب یا روغن)، جدا شد. ظرفیت جذب آب و روغن به صورت حجم آب یا

تلash‌های زیادی در زمینه بهبود کیفیت و پایداری محصولاتی مانند همیرگر صورت گرفته است (Besbes, Attia, Deroanne, Makni, & Blecker, 2008).

درخت بلوط متعلق به خانواده *Fagaceae* و *Quercus* است. محل رویش این درخت عمدها در اروپا، آفریقای شمالی، آمریکای شمالی، خاورمیانه و آسیا بوده و تا حدود سال ۱۹۰۰ میلادی غذای اصلی مردم این مناطق بشمار می‌رفت (Özcan, 2006). در ایران جنگل‌های بلوط به طور گسترده در نواحی غرب، جنوب غرب، شمال و شمال غرب رشد کرده و بیشترین تعداد این درختان در دامنه رشته کوه‌های زاگرس و در غرب دیده می‌شوند. مساحتی قریب ۳ یا ۴ میلیون هکتار از جنگل‌های غرب را، جنگل‌های بلوط اشغال کرده است (Sabeti, 1994). بیش از ۲۵ درصد از مصرف غذایی قشر فقیرنشین مردم ایتالیا و اسپانیا را میوه بلوط در اشکال مختلف نان، کیک و نیز به عنوان نوعی جایگزین قهوه تشکیل می‌داده است. در مناطقی همچون آمریکای شمالی و هند نیز میوه بلوط در تهیه غذاهایی مثل فرنی و حریره استفاده شده است. بنابراین بلوط به عنوان یک محصول با ترکیبات مشابه غلات، نقش مهمی در احیای سلامت افراد گرسنه و مبتلاه سوء‌تجذیه بر عهده داشته است (Özcan, 2006). پس از گذشت قرن‌ها، در دهه‌های اخیر، بلوط مجدداً به دلیل کیفیت تغذیه‌ای و خواص سلامتی بخش بالقوه آن، مورد توجه مصرف کنندگان قرار گرفته است. میوه بلوط حاوی مقادیر بالایی از کربوهیدرات‌ها، اسیدهای چرب غیراشباع (۵۲/۶۶ درصد)، مواد معدنی (پتاسیم ۷۵۴/۵ میلی‌گرم در ۱۰۰ گرم)، منیزیم ۷۴/۵۸ میلی‌گرم در ۱۰۰ گرم)، آهن ۷/۳۵ (میلی‌گرم در ۱۰۰ گرم)، منگنز ۵/۳۴ (میلی‌گرم در ۱۰۰ گرم)، مس (۱/۸۸ میلی‌گرم در ۱۵/۶ گرم)، ویتامین‌های E (۱/۹ میلی‌گرم) و C (۱۰۰ میلی‌گرم) و نیز مواد فیبری است (Borges, Gonçalves, de Carvalho, Correia, & Silva, 2008; Pereira-Lorenzo, Ramos-Cabrera, Díaz-Hernández, Ciordia-Ara, & Ríos-Mesa, 2006). به همین دلیل میوه بلوط و مشتقات آن برای تولید غذاهای انسانی و حیوانی و نیز اختلاط با بخشی از آردهای سیب‌زمینی، گندم، حبوبات و ذرت مناسب به نظر می‌رسند. همچنین در تهیه غذاهای مخصوص افراد مبتلاه برخی از بیماری‌ها و آلرژی‌ها نقش مهمی بر عهده دارد (Borges, Soeiro Carvalho, Reis, Correia, & Paula Silva, 2007).

اُفت پخت، میزان چروکیدگی، درصد حفظ چربی^۱ و رطوبت^۲ نمونه‌ها به ترتیب از رابطه‌های (۴)، (۵)، (۶) و (۷) محاسبه گردید.

رابطه (۴)

$$100 \times \frac{ وزن بعد از پخت - وزن قبل از پخت }{ وزن قبل از پخت } = \text{اُفت پخت}$$

رابطه (۵)

$$\text{چروکیدگی} = \frac{(\text{قطر ثانویه} - \text{قطر اولیه}) + (\text{ضخامت ثانویه} - \text{ضخامت اولیه})}{\text{قطر اولیه} + \text{ضخامت اولیه}} \times 100$$

رابطه (۶)

$$100 \times \frac{\text{درصد چربی نمونه پخته} \times \text{وزن نمونه پخته}}{\text{درصد چربی نمونه خام} \times \text{وزن نمونه خام}} = \text{میزان حفظ چربی}$$

رابطه (۷)

$$100 \times \frac{\text{درصد رطوبت نمونه پخته} \times \text{وزن نمونه پخته}}{\text{درصد رطوبت نمونه خام} \times \text{وزن نمونه خام}} = \text{میزان حفظ رطوبت}$$

بررسی پارامترهای رنگ

برای تعیین پارامترهای رنگ (L*, a*, b*) نمونه‌های همبرگر قبل و بعد از پخت، از دستگاه رنگ‌سنج دیجیتال (مدل CR-410، شرکت مینولتا، ساخت ژاپن)، استفاده شد. L*, a* و b* به ترتیب بیانگر میزان روشنی، قرمزی و زردی نمونه‌ها می‌باشند. کالیبراسیون اولیه دستگاه از طریق کاشی استاندارد سفید (L*=۹۸/۱۴، a*=-۰/۲۳، b*=-۱/۸۹) صورت گرفت.

بررسی پارامترهای بافت

نمونه‌های پخته شده به وسیله آزمون آنالیز پروفایل بافت^۳، در دمای ۴±۱ درجه سانتی‌گراد به کمک دستگاه آنالیز بافت (Brookfield, QTS-25) تجزیه و تحلیل شدند. نمونه‌های پخته شده به شکل مکعب‌هایی با ابعاد (۱×۱×۱) برشید شده و تحت آزمون فشاری با دو سیکل رفت و بروگشتی قرار گرفتند. برای این کار از پرسی با قطر ۵۵ میلی‌متر، با نیروی فشاری ۲۵ کیلوگرم و سرعت ۲۰ سانتی‌متر بر دقیقه، جهت فشرده‌سازی نمونه‌ها تا ۷۰ درصد ارتفاع

روغن جذب شده (میلی‌لیتر) توسط هر گرم آرد از رابطه

(۱) محاسبه گردید.

رابطه (۱)

$$\frac{(V_0-V_1)}{W} = \text{ظرفیت جذب آب} \text{ یا روغن}$$

Larrauri و Rupérez (۱۹۹۶) انجام گرفت. ۲۵ میلی‌لیتر آب یا روغن به ۱ گرم آرد اضافه شد و پس از مخلوط کردن به مدت ۱ ساعت در دمای ۶۰ درجه سانتی‌گراد، در انکوباتور قرار گرفت. در مرحله بعد به مدت ۱۵ دقیقه با سرعت ۵۰۰۰ دور در دقیقه سانتریفیوژ شد. سپس فاز رویی جدا شده و باقی مانده توزین می‌گردد. ظرفیت نگهداری آب و روغن از طریق گرم آب یا روغن در هر گرم ماده خشک محاسبه شد.

تعیین ترکیبات شیمیایی و pH

ترکیبات شیمیایی نمونه‌های همبرگر، با استفاده از Institute of Standards and Industrial Research of Iran [ISIRI], 1973, pH 2002a, 2002b, 2003 نمونه‌ها با استفاده از دستگاه پیاچ‌متر (Testo 230) ساخت آلمان) تعیین گردید.

تعیین ویژگی‌های پخت

نمونه‌های همبرگر با استفاده از آون (Memmert, آلمان) با دمای ۱۵۰ درجه سانتی‌گراد، تا رسیدن دمای مرکز نمونه‌ها به ۷۲ درجه سانتی‌گراد پخته شدند که زمان آن حدود ۵۰ دقیقه به دست آمد. دمای مرکز نمونه‌ها با استفاده از ترموکوپل دیجیتال اندازه‌گیری و تعیین شد (Sánchez-Zapata et al., 2010). نمونه‌ها پس از رسیدن به دمای محیط وزن و ضخامت و قطر آنها نیز با استفاده از کولیس دیجیتال، برای هر نمونه ۵ مرتبه اندازه‌گیری و سپس میانگین آنها لحاظ گردید. کاهش قطر و افزایش ضخامت از طریق رابطه‌های تجربی (۲) و (۳) محاسبه شد.

رابطه (۲)

$$100 \times \frac{\text{قطر پخته} - \text{قطر خام}}{\text{قطر خام}} = \text{درصد کاهش قطر}$$

رابطه (۳)

$$100 \times \frac{\text{ضخامت پخته} - \text{ضخامت خام}}{\text{ضخامت خام}} = \text{درصد افزایش ضخامت}$$

¹ Fat Retention

² Moisture Retention

³ Texture Profile Analysis

همان سیکل فشاری اول، قابل محاسبه خواهد بود.

ارزیابی حسی

دو تکرار هر فرمول جهت ارزیابی حسی (به کمک دستگاه آون در دمای ۱۵۰ درجه سانتی گراد، به مدت ۵ دقیقه از هر رویه تا رسیدن دمای مرکز آنها به ۷۲ درجه سانتی گراد) پخته و توسط ۱۵ داور حسی سنجیده شد. نمونه‌ها به صورت تصادفی در اختیار شرکت کنندگان قرار گرفت و بین هر تیمار جهت افزایش دقت چشایی، به شرکت کنندگان آب داده شد. ارزیابی شامل رنگ^۸، طعم^۹، بافت^{۱۰}، آبداری^{۱۱} و پذیرش کلی^{۱۲} بود که به کمک طرح هدونیک ۵ نقطه‌ای از بسیار مطلوب تا بسیار نامطلوب انجام گرفت.

تجزیه و تحلیل داده‌ها

پژوهش در قالب طرح کاملاً تصادفی و با دو تکرار انجام شد و درنهایت نتایج حاصل با استفاده از نرم‌افزار SPSS نسخه ۱۶ تجزیه و تحلیل شدند. مقایسه معنی داری تیمارها نیز به کمک آزمون چندامنه‌ای دانکن در سطح اطمینان ۹۵ درصد ($P<0.05$) انجام گرفت.

نتایج و بحث

ترکیبات شیمیایی و خصوصیات عملکردی آرد بلوط به ترتیب در جدول (۱) و (۲)، آورده شده است.

اصلی خود استفاده شد (Sánchez-Zapata *et al.*, 2010). پارامترهای مورد اندازه‌گیری بافت مطابق تعاریف Bourne (۱۹۷۸)، شامل این موارد هستند. سختی^۱ (بیشترین مقدار نیروی موردنیاز جهت فشرده‌سازی نمونه) بر حسب نیوتون، انسجام^۲ (میزانی که نمونه می‌تواند قبل از شکستن تغییر شکل بدهد)، قابلیت ارجاع^۳ (تونانی نمونه در به دست آوردن شکل اصلی خود پس از حذف نیروی تغییر شکل) بر حسب میلی‌متر، صمغی‌بودن^۴ (نیروی لازم جهت از هم پاشیدن یک نمونه گوشت نیمه‌جامد آماده بلع) بر حسب نیوتون، قابلیت جویدن^۵ (کار لازم برای جویدن نمونه جهت بلع) بر حسب کیلوگرم در سانتی‌متر، چسبندگی^۶ (کار منفی بین دو چرخه فشاری) بر حسب نیوتون در میلی‌متر، فنریت^۷ یا حالت ارجاعی نیز بر حسب میلی‌متر است. در نمودار بافت‌سنگی، پارامتر انسجام از تقسیم ناحیه کار زیر نمودار در طول فشرده‌سازی دوم بر ناحیه کار زیر نمودار در طول فشرده‌سازی اول، پارامتر قابلیت ارجاع از طریق فاصله ارتفاع مشخص شده در طول سیکل فشرده‌سازی دوم بر این فاصله طی سیکل فشرده‌سازی اول، پارامتر صمغی‌بودن از حاصل ضرب سختی در انسجام، قابلیت جویدن از تقسیم ناحیه زیر نمودار قبل از پیک فشرده‌سازی دوم بر ناحیه زیر نمودار قبل از پیک فشرده‌سازی اول، پارامتر چسبندگی تحت عنوان کار منفی بین دو سیکل فشردن و درنهایت پارامتر فنریت از تقسیم انرژی حرکت صعودی نمودار در مرحله فشرده‌سازی اول بر انرژی حرکت نزولی نمودار در

جدول ۱- آنالیز ترکیبات شیمیایی آرد بلوط (درصد)

ترکیب	ویژگی شیمیایی	رطوبت	چربی	خاکستر	پروتئین	کربوهیدرات
۱۰/۳۵±۰/۰۱	۱/۴۹±۰/۲۰	۱/۹۰±۰/۰۴	۳/۴۶±۰/۱۰	۸۲/۸۰±۰/۳۰		

جدول ۲- خصوصیات عملکردی آرد بلوط

ترکیب	ویژگی شیمیایی ^۷	جذب آب ^۱	جذب آب ^۲	جذب روغن ^۳	جذب روغن ^۴	ظرفیت نگهداری آب ^۵	ظرفیت نگهداری روغن ^۶
۲/۹۲±۰/۰۳	۲/۴۱±۰/۰۲	۱/۴۰±۰/۱۰	۲/۱۶±۰/۴۰	(گرم بر گرم)	(میلی‌لیتر بر گرم)	(گرم بر گرم)	ظرفیت نگهداری آب (گرم)

⁸ Color

⁹ Flavor

¹⁰ Texture

¹¹ Juiciness

¹² Overall Accepting

¹ Hardness

² Cohesiveness

³ Springiness

⁴ Gumminess

⁵ Chewiness

⁶ Adhesiveness

⁷ Resilience

ترکیبات شیمیایی نمونه‌های همبگر و pH ترکیبات شیمیایی برگ‌های فرموله شده با سطوح مختلف آرد بلوط به همراه مقادیر pH در جدول (۳)، نشان داده شده است. رطوبت و چربی بین تیمارهای مختلف تفاوت معنی‌داری ($P < 0.05$) داشتند. اما برای خاکستر، پروتئین و کربوهیدرات هیچ تفاوت معنی‌داری ($P > 0.05$) مشاهده نشد. با افزایش سطوح آرد بلوط، میزان رطوبت و چربی تیمارها افزایش پیدا کرد. به طوری که تیمار ۹ درصد آرد بلوط بالاترین میزان رطوبت و چربی را نشان داد. میزان رطوبت و چربی بالاتر مشاهده شده در تیمارهای حاوی آرد بلوط، به علت رطوبت و چربی بالاتر این آرد نسبت به آرد سوخاری است. این مقادیر در آرد سوخاری به ترتیب 0.90 ± 0.20 و 0.60 ± 0.30 درصد به دست آمد. در حالی که مطابق جدول (۱)، این دو مقدار برای آرد بلوط به ترتیب 0.49 ± 0.05 و 0.44 ± 0.05 درصد مشخص شد. Choi و همکاران (۲۰۱۰)، روند مشابهی را در این مورد، برای سوسمیس‌های فرموله شده با پودر پوست بلوط مشاهده کردند.

خصوصیات عملکردی شامل جذب آب، جذب روغن، ظرفیت نگهداری آب و ظرفیت نگهداری روغن برای آرد بلوط تعیین شد. همان‌طور که در جدول (۲)، قابل مشاهده است، دو پارامتر جذب آب و جذب روغن این آرد به ترتیب $2/41$ و $2/92$ میلی‌لیتر بر گرم به دست آمد. ظرفیت نگهداری روغن ($2/16$ گرم/گرم)، برای این آرد بالاتر از ظرفیت نگهداری آب ($1/40$ گرم/گرم)، به دست آمد. این خصوصیات ممکن است با چگالی بار کل و طبیعت آبدوستی مواد تشکیل‌دهنده مرتبط باشد (Elleuch *et al.*, 2011). پارامتر جذب و نگهداری روغن یک فاکتور قابل اهمیت در محصولات گوشتی بشمار می‌رود و نقش مؤثری در قابلیت نگهداری عطر و طعم دارد. این فاکتور همچنین در محصولات گوشتی مانند همبگر، منجربه کاهش چروکیدگی در حین پخت و نیز خروج عصاره به وسیله بدام‌انداختن چربی در ماتریکس خود، خواهد شد (Kinsella, 1979). موادی که توانایی بالای در حفظ رطوبت و چربی در ماتریکس خود دارند، کاهش افت پخت را نیز به دنبال خواهند داشت (Besbes *et al.*, 2008).

جدول ۳- آنالیز ترکیبات شیمیایی و مقادیر pH همبگرهای فرموله شده با درصدهای مختلف آرد بلوط

	پارامتر (درصد)
سطح جایگزینی آرد بلوط	.
۹	۶
۵۴/۵۹±۰/۲۰ ^a	۵۳/۷۱±۰/۴۰ ^b
۲/۳۸±۰/۲۰ ^a	۲/۵۲±۰/۱۰ ^a
۱۶/۳۴±۰/۲۰ ^a	۱۶/۰۵±۰/۲ ^{ab}
۱۴/۸۲±۰/۱۰ ^a	۱۵/۴۳±۰/۲۰ ^a
۱۲/۳۶±۰/۷۰ ^a	۱۲/۴۸±۰/۰۵ ^a
۵/۲۱±۰/۰۴ ^c	۵/۳۳±۰/۰۱ ^b
۵۲/۳۶±۰/۲۰ ^c	۵۱/۹۴±۰/۰۳ ^c
۲/۶۹±۰/۱۰ ^a	۲/۷۰±۰/۱۰ ^a
۱۵/۷۶±۰/۰۲ ^b	۱۵/۷۱±۰/۰۴ ^b
۱۵/۶۶±۰/۲۰ ^a	۱۵/۷۱±۰/۰۴ ^a
۱۳/۵۲±۰/۱۰ ^a	۱۳/۹۷±۰/۲۰ ^a
۵/۳۹±۰/۰۱ ^b	۵/۵۴±۰/۰۰ ^a

میانگین دو تکرار ± انحراف استاندارد

نتایج هر سطر که دارای حروف غیرمشترک می‌باشدند، از لحاظ آماری اختلاف معنی‌داری ($P < 0.05$) دارند.

برای آرد بلوط و آرد سوخاری در جدول (۴)، نشان داده شده است. همان‌طور که دیده می‌شود، علت روند به دست آمده مقدار پایین تر pH آرد بلوط نسبت به pH آرد سوخاری موجود در فرمولاسیون است.

مقادیر به دست آمده برای pH، روند کاهشی معنی‌داری ($P < 0.05$) نشان داد. در واقع با افزایش سطوح آرد بلوط، pH کاهش یافت و کمترین مقدار آن مربوط به تیمار ۹ درصد آرد بلوط بود. Choi و همکاران (۲۰۱۰)، مشابه این روند کاهشی را در سوسمیس‌های فرموله شده با پودر پوست بلوط به دست آوردند. Kim و Park (Jeong, ۲۰۰۶)، نیز این روند را در جایگزینی پودر پوست بلوط در نوعی محصول به نام تاکجو^۱ مشاهده کردند. مقادیر pH

جدول ۴- مقادیر pH برای آرد بلوط و سوخاری

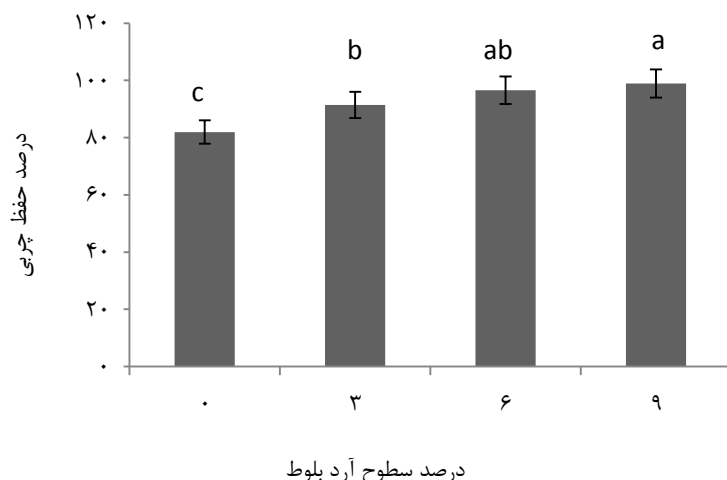
آرد سوخاری	آرد بلوط	پارامتر
۵/۳۰±۰/۰۵	۴/۹۶±۰/۰۳	pH

میانگین دو تکرار ± انحراف استاندارد

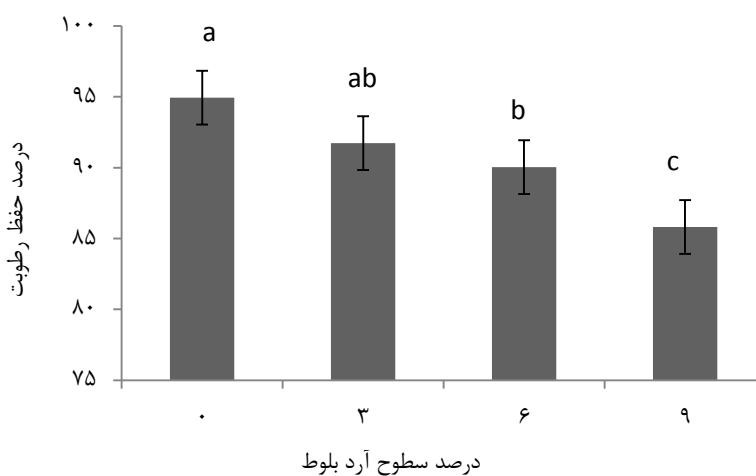
^۱ Takju

کمتری نشان دادند. نمونه ۹ درصد آرد بلوط بیشترین میزان حفظ چربی و کمترین میزان حفظ رطوبت را در بین تیمارها داشت. این دو شاخص به توانایی ماتریکس پروتئین در حفظ چربی و رطوبت محصورشده، مربوط است (Besbes *et al.*, 2008).

میزان حفظ چربی و رطوبت
شکل (۱) و (۲)، به ترتیب اثر سطوح آرد بلوط، بر شاخص‌های ظرفیت حفظ چربی و رطوبت در نمونه‌های همبرگر را نشان می‌دهد. تمامی تیمارها نسبت به نمونه شاهد، شاخص حفظ چربی بیشتر و شاخص حفظ رطوبت



شکل ۱- تأثیر افزودن سطوح آرد بلوط بر شاخص ظرفیت نگهداری چربی همبرگر
نتایج با حروف غیر مشابه بیانگر اختلاف آماری معنی دار هستند ($P < 0.05$).



شکل ۲- تأثیر افزودن سطوح آرد بلوط بر شاخص ظرفیت نگهداری رطوبت همبرگر
نتایج با حروف غیر مشابه بیانگر اختلاف آماری معنی دار هستند ($P < 0.05$).

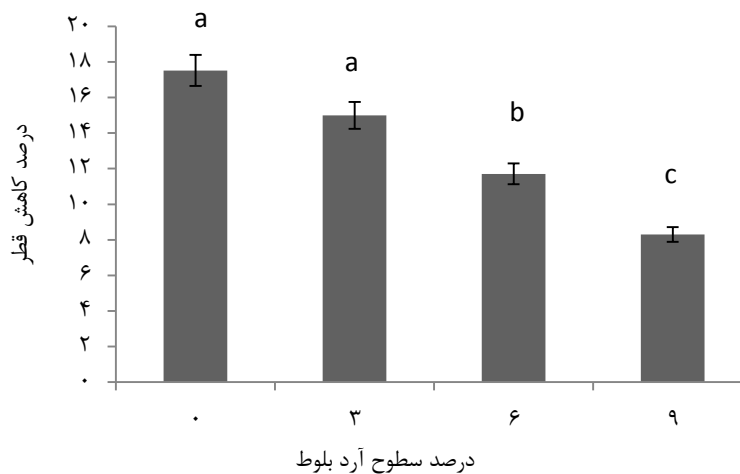
زیرا حضور ترکیبات آب‌گریز، در دسترس قرار گرفتن ترکیبات آب‌دوست جهت بهدام‌انداختن آنها در شبکه پروتئینی را محدود می‌کند (Heywood, Myers, Bailey, & Johnson, 2002). بنابراین با توجه به مطالب گفته شده، ظرفیت بالای حفظ چربی تیمارهای حاوی آرد بلوط و ظرفیت پایین حفظ رطوبت آنها قابل توجیه است.

Kurt Kilincceker (2012)، در بررسی پاتی‌های گوشت فرموله شده با آرد غلات و حبوبات، مشاهده کردند که استفاده از آرد غلات و حبوبات منجر به افزایش شاخص‌های حفظ چربی و رطوبت در پاتی‌های گوشت گردید. مطالعه‌ها ثابت کردند هرچه ظرفیت حفظ چربی نمونه‌ای بیشتر باشد، ظرفیت حفظ رطوبت آن کمتر است.

بود. Teye و Boamah (۲۰۱۲)، در بررسی اثر آرد لوبیاچشم بلبلی بر همبرگر گوشت گاو و خوک، نتیجه مشابهی در این باره گرفتند. کاهش در قطر به دلیل دناتوراسیون پروتئین‌های گوشت به همراه افت رطوبت و چربی رُخ می‌دهد (Besbes *et al.*, 2008, 2010).

کاهش قطر و افزایش ضخامت

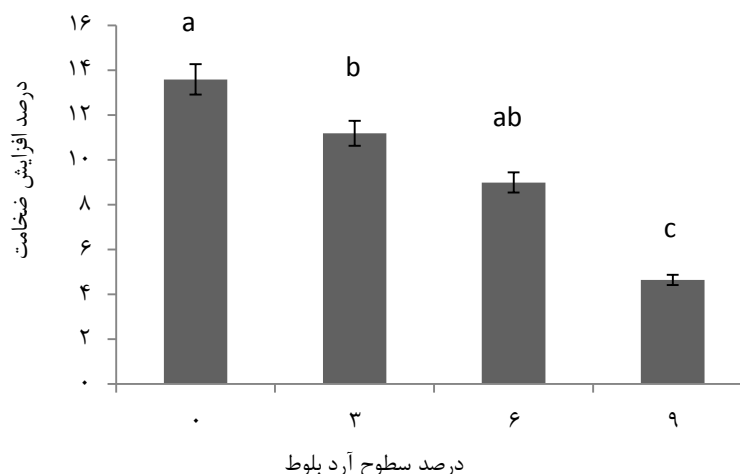
نمونه‌های شاهد بیشترین میزان کاهش قطر را پس از پخت نسبت به تیمارهای حاوی آرد بلوط نشان دادند. همان‌طور که شکل (۳)، نشان می‌دهد، افروزن آرد بلوط به‌طور معنی‌داری ($P < 0.05$) باعث کاهش این شاخص شد و کمترین میزان آن نیز مربوط به تیمار ۹ درصد آرد بلوط



شکل ۳- تأثیر افزودن سطوح آرد بلوط بر کاهش قطر همبرگر نتایج با حروف غیرمشابه بیانگر اختلاف آماری معنی‌دار هستند ($P < 0.05$).

می‌تواند مرتبط با قابلیت مناسب اتصال چربی به آرد بلوط باشد که تغییر شکل محصول را در زمان پخت محدود می‌کند. Besbes و همکاران (۲۰۰۸)، در بررسی اثر جایگزینی بخشی از گوشت برگر با فیبر گندم و نخود به این نتیجه رسیدند که دو فیبر یادشده نیز با افزایش ظرفیت نگهداری چربی بر شاخص افزایش ضخامت تأثیر مثبتی داشتند.

نتایج تأثیر جایگزینی آرد بلوط بر افزایش ضخامت نمونه‌ها در شکل (۴)، نشان داده شده است. افزودن آرد بلوط به‌دلیل ظرفیت نگهداری بالا در حفظ چربی، در کاهش این شاخص تأثیر بهسزایی داشت. با افزایش درصد آرد بلوط، میزان افزایش ضخامت به‌طور معنی‌داری ($P < 0.05$) کاهش پیدا کرد. به‌گونه‌ای که تیمار ۹ درصد آرد بلوط کمترین افزایش ضخامت را نشان داد که این

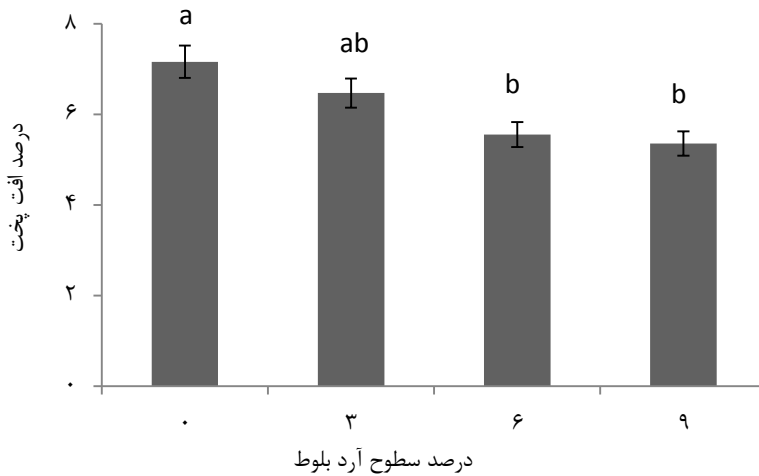


شکل ۴- تأثیر افزودن سطوح آرد بلوط بر افزایش ضخامت همبرگر نتایج با حروف غیرمشابه بیانگر اختلاف آماری معنی‌دار هستند ($P < 0.05$).

کمترین میزان افت پخت را نشان داد. در این رابطه نتایج مشابهی توسط Choi و همکاران (۲۰۱۰) برای سوسیس‌های فرموله شده با پودر پوست بلوط مشاهده شد. همچنین این نتیجه با نتایج بدست آمده توسط Teye و همکاران (۲۰۱۲)، که به بررسی اثر آرد لوبیاچشم‌بلبی بر همبرگر گوشت گاو و خوک پرداخته‌اند، هماهنگ بود.

أَفْتُ پخت و چروكيدگى

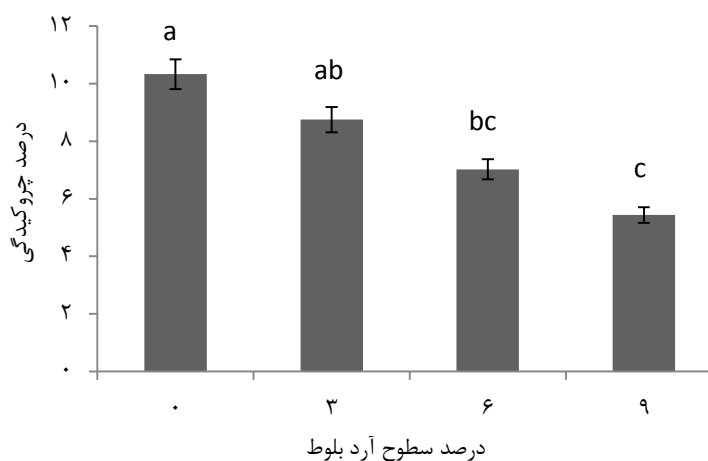
تأثير جايگزيني آرد بلوط بر افت پخت در شكل (۵)، مشخص شده است. همانند دو شاخص کاهش قطر و افزایش ضخامت، برگرهای شاهد بيشترین میزان افت پخت را نشان دادند. در واقع با جايگزيني آرد بلوط و افزایش درصد جايگزيني، افت پخت بهطور معنی‌داری ($P<0.05$) کاهش پیدا کرد و تیمار ۹ درصد آرد بلوط،



شکل ۵- تأثیر افزودن سطوح آرد بلوط بر میزان افت پخت همبرگر نتایج با حروف غير مشابه بیانگر اختلاف آماری معنی‌دار هستند ($P<0.05$).

تیمارهای حاوی آرد بلوط نسبت به نمونه شاهد نیز باشد. مطالعه‌ها بیانگر آن است که بین افت پخت و چروکیدگی یک همبستگی مثبت وجود دارد. در واقع افزایش میزان افت پخت ممکن است منجر به افزایش میزان چروکیدگی شود و بالعکس (Du & Sun, 2005). بنابراین با توجه به افت پخت بالاتر نمونه‌های شاهد نسبت به تیمارهای حاوی آرد بلوط، چروکیدگی بالاتر آنها نیز قابل توجیه خواهد بود. استفاده از آرد بلوط همزمان با کاهش شاخص چروکیدگی از افزایش ضخامت محصول نیز نسبت به آرد سوخاری جلوگیری نمود. تأثیر سطوح آرد بلوط بر چروکیدگی در شکل (۶)، نشان داده شده است.

استفاده از پرکننده‌ها در محصولات گوشتی، ظرفیت نگهداری آب و چربی را در این محصولات بهبود بخشیده و درنتیجه منجر به کاهش چروکیدگی و افزایش بازده پخت خواهد شد (Sheridan *et al.*, 1991). علاوه‌بر این محتوای نشاسته و پروتئین غلات و حبوبات، در نگهداری چربی و آب محصولات گوشتی پخته شده مؤثر خواهند بود (Talukder & Sharma, 2010; Ziegler & Acton, 1984). آرد بلوط نیز با توجه به ظرفیت حفظ چربی بالایی که از خود نشان داد (آزمون حفظ چربی)، در حین پخت از خروج عصاره گوشت جلوگیری کرد و به‌طور معنی‌داری باعث کاهش افت پخت در نمونه‌های همبرگر شد. این نتیجه می‌تواند توضیح مناسبی برای چروکیدگی کمتر



شکل ۶- تأثیر افزودن سطوح آرد بلوط بر میزان چروکیدگی هم برگر
نتایج با حروف غیر مشابه بیانگر اختلاف آماری معنی دار هستند ($P < 0.05$).

افزایش پیدا کرد. تیمارهای فرموله شده با آرد بلوط نسبت به نمونه شاهد، مقادیر کمتری از روشنی را نشان دادند. مطالعه ها نشان داده است که روشنی در محصولات گوشتی به عواملی همچون ظرفیت نگهداری رطوبت، محتوای چربی و آب آزاد بستگی دارد (Georgantelis, Blekas, Katikou, Ambrosiadis, & Fletouris, 2007).

پارامترهای رنگ
پارامترهای رنگ برای نمونه های خام و پخته در جدول (۵)، نشان داده شده است. آرد بلوط، تأثیر معنی داری ($P < 0.05$) بر شاخص های رنگ سنجی L^* , a^* و b^* داشت. با افزودن آرد بلوط به فرمولاتیون نمونه ها، دو شاخص L^* و b^* در مقایسه با نمونه شاهد، کاهش و شاخص a^*

جدول ۵- آنالیز پارامترهای رنگ نمونه های خام و پخته هم برگرهای فرموله شده با درصد های مختلف آرد بلوط

پارامتر	سطح جایگزینی آرد بلوط			
	۹	۶	۳	۰
خام				
L^*	۴۹/۶۲±۲/۱۱ ^b	۴۸/۹۹±۲/۳۱ ^b	۴۸/۹۰±۲/۵۶ ^b	۵۶/۷۲±۰/۹۷ ^a
a^*	۹/۱۴±۰/۰۵ ^a	۹/۵۴±۰/۳۴ ^a	۹/۲۱±۰/۰۴ ^a	۸/۱۰±۰/۱۴ ^b
b^*	۱۶/۰۴±۰/۴۷ ^b	۱۵/۴۵±۰/۲۹ ^b	۱۴/۶۴±۰/۲۷ ^c	۱۹/۵۳±۰/۶۳ ^a
پخته				
L^*	۳۴/۹۸±۲/۲۰ ^b	۳۶/۲۰±۰/۱۲ ^b	۳۵/۸۹±۰/۵۶ ^b	۴۳/۴۳±۱/۴۸ ^a
a^*	۱۰/۵۵±۰/۰۴ ^b	۱۱/۱۱±۰/۱۹ ^a	۱۰/۴۳±۰/۰۶ ^b	۱۰/۳۰±۰/۲۳ ^b
b^*	۱۲/۵۶±۰/۶۸ ^{bc}	۱۳/۲۶±۰/۱۴ ^b	۱۲/۰۴±۰/۰۲ ^c	۱۹/۳۳±۰/۲۴ ^a

میانگین دو تکرار \pm انحراف استاندارد نتایج هر سطر که دارای حروف غیر مشترک می باشند، از لحاظ آماری اختلاف معنی داری ($P < 0.05$) دارند.

می تواند به دلیل تغییر در شکل میوگلوبین و افت رطوبتی باشد که در حین پخت اتفاق می افتد و منجر به تیرگی بیشتر رنگ نمونه ها خواهد شد.

انجام واکنش مایلارد در حین حرارت دادن نیز می تواند در این پدیده دخیل باشد (Hunt *et al.*, 1991). شاخص a^* در برگرهای خام و پخته فرموله شده با آرد بلوط افزایش قابل توجهی نسبت به نمونه شاهد داشت که این مقادیر در نمونه های پخته شده بیشتر بود. دلیل این امر

تیمارهای حاوی آرد بلوط به دلیل محتوای پایین تر رطوبت نسبت به نمونه شاهد، میزان روشنی کمتری داشتند. علاوه بر این رنگ تیره تر آرد بلوط با میزان شاخص روشنی کمتر از آرد سوخاری استفاده شده نیز می تواند در این امر دخیل باشد (جدول ۶). پارامترهای رنگ برای آرد بلوط و آرد سوخاری استفاده شده در فرمولاتیون در جدول (۶)، آورده شده است. مقادیر روشنی نمونه های پخته نسبت به نمونه های خام کمتر بود. این امر

فنولیک روند کنترلی از فرایند اکسیداسیون چربی‌ها و درنتیجه مقادیر بالاتری از قرمزی را داشته‌اند. با جایگزینی آرد بلوط، کاهش قابل توجهی در شاخص b^* نسبت به نمونه شاهد، هم در نمونه‌های خام و هم در نمونه‌های پخته دیده شد. در واقع نمونه شاهد به‌دلیل حضور آرد سوخاری که رنگی متمایل به زرد دارد، نسبت به تیمارهای حاوی آرد بلوط با ظاهر رنگی تیره‌تر (جدول ۶)، مقدار بیشتری از این شاخص را نشان داد.

می‌تواند حضور ترکیبات فنولیک در آرد بلوط باشد (Sáyago-Ayerdi, Brenes, & Goñi, 2009) شاخص قرمزی و اکسیداسیون رابطه معکوسی وجود دارد. بدین‌صورت که با افزایش میزان اکسیداسیون چربی‌ها میزان شاخص قرمزی کاهش پیدا می‌کند و بالعکس Aleson-Carbonell, Fernández-López, Pérez-(Alvarez, & Kuri, 2005) نشان می‌دهد که نمونه‌های حاوی آرد بلوط، به‌دلیل حضور ترکیبات

جدول ۶- پارامترهای رنگی آرد بلوط و آرد سوخاری استفاده شده در فرمولاسیون

آرد سوخاری	آرد بلوط	پارامتر
$85/34 \pm 0/20$	$67/31 \pm 0/30$	L*
$1/22 \pm 0/01$	$6/01 \pm 0/08$	a*
$23/27 \pm 0/03$	$21/06 \pm 0/05$	b*

میانگین دو تکرار \pm انحراف استاندارد

که بین میزان چربی و سختی محصولات گوشتی، رابطه عکس وجود دارد (Gregg, Claus, Hackney, & Marriott, 1993). حضور ترکیبات فنولیک نیز می‌تواند به‌دلیل مهار فرایند اکسیداسیون پروتئین‌ها در طول مدت ذخیره‌سازی، در کاهش سختی تأثیرگذار باشد (Kuliev & Poletaeva, 1982). نتایج تعدادی از مطالعه‌ها بیانگر آن بوده که محتوای چربی محصولات گوشتی می‌تواند تأثیر قابل توجهی بر شاخص قابلیت ارتتعاج و انسجام داشته باشد. در واقع در سطوح پایین‌تر چربی، مقادیر بالاتر از این شاخص‌ها دیده می‌شود (Troutt et al., 1992).

خصوصیات بافتی

جدول (۷)، تأثیر افروختن آرد بلوط بر ویژگی‌های بافتی برگر را نشان می‌دهد. آرد بلوط بر همه ویژگی‌های سختی، قابلیت ارتتعاج، انسجام، قابلیت جویدن، خاصیت صمغی و فنریت نمونه‌ها مؤثر بود و به‌طور معنی‌داری ($P < 0/05$) باعث کاهش تمامی آنها شد. اما تأثیر آن بر شاخص چسبندگی معنی‌دار نبود. تیمار ۹ درصد آرد بلوط کمترین مقدار را برای همه شاخص‌ها نشان داد.

از آنجایی که تیمار ۹ درصد آرد بلوط بالاترین ظرفیت حفظ چربی را داشت، این امر می‌تواند کمک مؤثری در کاهش سختی آن داشته باشد. تحقیق‌ها نشان داده است

جدول ۷- آنالیز پارامترهای بافت همبسترهای فرموله شده با درصدهای مختلف آرد بلوط

سطح جایگزینی آرد بلوط				پارامتر
۹	۶	۳	.	
$1/82 \pm 0/10^b$	$2/12 \pm 0/11^b$	$2/88 \pm 0/11^a$	$3/23 \pm 0/29^a$	سختی (نیوتون)
$0/42 \pm 0/00^b$	$0/47 \pm 0/01^b$	$0/53 \pm 0/02^{ab}$	$0/60 \pm 0/07^a$	قابلیت ارتتعاج (میلی‌متر)
$0/39 \pm 0/01^b$	$0/43 \pm 0/01^b$	$0/48 \pm 0/04^{ab}$	$0/54 \pm 0/04^a$	انسجام (بدون بعد)
$63/55 \pm 6/30^b$	$69/47 \pm 13/14^b$	$10/3/69 \pm 8/47^a$	$10/4/88 \pm 3/60^a$	قابلیت جویدن (کیلوگرم در سانتی‌متر)
$1/13 \pm 0/06^c$	$1/50 \pm 0/04^b$	$1/71 \pm 0/02^a$	$1/80 \pm 0/02^a$	صمغی‌بودن (نیوتون)
$0/12 \pm 0/01^b$	$0/14 \pm 0/01^b$	$0/17 \pm 0/00^b$	$0/24 \pm 0/02^a$	فرنریت (میلی‌متر)
$-0/23 \pm 0/08^a$	$-0/34 \pm 0/29^a$	$-0/45 \pm 0/22^a$	$-0/70 \pm 0/02^a$	چسبندگی (نیوتون در میلی‌متر)

میانگین دو تکرار \pm انحراف استاندارد.

نتایج هر سطر که دارای حروف غیرمشترک می‌باشند، از لحاظ آماری اختلاف معنی‌داری ($P < 0/05$) دارند.

مقایسه با نمونه شاهد بودند.

ارزیابی حسی

نتایج حاصل از ارزیابی حسی در جدول (۸)، نشان داده شده است. ظاهر و رنگ از جمله ویژگی‌های مهم در انتخاب مشتری هستند. بافت نیز نقش مهمی در تعیین کیفیت فراورده‌های گوشتی دارد. امتیازهای ارزیابی حسی توسط داوران حسی نشان داد که افزودن آرد بلوط به نمونه‌های همبرگر باعث افزایش معنی‌دار ($P < 0.05$) در امتیازهای طعم، بافت، آبداربودن و پذیرش کلی نمونه‌ها شد. بالاتر بودن امتیاز آبداری را می‌توان به قابلیت بالاتر تیمارهای حاوی آرد بلوط در حفظ چربی طی پخت نسبت داد. زیرا آرد بلوط بدلیل جلوگیری از خروج عصاره گوشت در حین پخت، منجر به ایجاد بافتی نرم‌تر و آبدارتر، در تیمارهای فرموله شده با آرد بلوط پس از پخت شد. داده‌های به دست آمده از آزمون بافت نیز با نتایج حاصل از آزمون حسی مطابقت داشت. نمونه شاهد که بیشترین میزان سختی را در آزمون بافت نشان داد، در آزمون حسی نیز از لحاظ شاخص بافت، کمترین امتیاز را کسب کرد. Rovira, Ordóñez و Jaime (۲۰۱۱)، نیز به این نتیجه رسیدند که سطوح چربی در فرانکفورترها^۳ با آبداری این فراورده همبستگی مثبتی داشتند. از آنجاکه چربی نقش مهمی در بافت فراورده‌های گوشتی دارد، مقادیر پایین چربی، کاهش امتیاز بافت را به دنبال دارد. از این‌رو فراورده‌های گوشتی کم‌چرب معمولاً سفت‌تر از فراورده‌هایی است که میزان چربی آنها بالاتر هستند Ahmed, Miller, Lyon, Vaughters, & Reagan, 1990; (Serdaroglu & Ozsumer, 2003).

در همین‌راستا Berry و Joseph (۱۹۹۶) و Troutt و همکاران (۱۹۹۲)، به این نتیجه رسیدند که کاهش میزان چربی در فراورده‌های گوشتی، باعث کاهش شدت طعم آنها نیز خواهد شد. تیمارهای فرموله شده با آرد بلوط از لحاظ شاخص رنگ، امتیاز کمتری نسبت به نمونه شاهد دریافت کردند. در مجموع تیمار ۳ درصد آرد بلوط بیشترین پذیرش کلی را در بین تیمارهای مختلف داشت.

Berry و Leddy (۱۹۸۴)، گزارش دادند که افزایش محتوای چربی در پاتی‌های گوشت منجر به بافت نرم‌تر آنها شد. همچنین Gujral و همکاران (۲۰۰۲)، نشان دادند که چربی تأثیر معنی‌داری بر خاصیت صمغی‌بودن و قابلیت جویدن پاتی‌های گوشت بُز خام دارد. در مواد گوشتی حرارت‌دیده با مواد افزودنی اضافه شده، پس از فرایند مارپیچ آلفا^۱ کاهش پیدا کرد و همبستگی معنی‌داری بین این تغییرات ساختاری ثانویه در بافت گوشت و قابلیت اتصال به چربی و آب و خصوصیات بافتی محصولات گوشتی مشخص شد (Gujral et al., 2002). بنابراین با توجه به ظرفیت حفظ چربی بالای به دست آمده برای همبرگرهای حاوی آرد بلوط، مقادیر پایین‌تر قابلیت ارتقای و انسجام نیز برای آنها قابل توجیه است. همچنین کاهش معنی‌دار شاخص قابلیت جویدن که با شاخص سختی در ارتباط است، در تیمارهای حاوی آرد بلوط، نشان‌دهنده نرم‌تر شدن نمونه‌ها و درنتیجه کاهش نیروی لازم برای عمل جویدن است. این نیز می‌تواند مرتبط با میزان بالاتر ظرفیت حفظ چربی تیمارهای حاوی آرد بلوط باشد.

Sánchez, González-Rodríguez و Lorenzo Franco (۲۰۱۳)، در بررسی اثر عصاره بلوط بر نوعی سوسيس خشک، نتایج مشابهی در این خصوص، به دست آورده‌اند. مطالعه‌ها نشان دادند که بین شاخص چروکیدگی و ویژگی‌های بافتی همبستگی مثبتی وجود دارد (Du & Sun, 2005). میزان آب و چربی در گوشت، به‌طور قابل توجهی کیفیت فراورده‌های گوشتی را تحت تأثیر قرار می‌دهد. زمانی که آب و چربی در نمونه‌ای کاهش پیدا کرده و منجر به چروکیدگی می‌شود، پارامترهای سختی، انسجام، قابلیت ارتقای، خاصیت صمغی‌بودن و نیز قابلیت جویدن افزایش پیدا می‌کنند (Du & Sun, 2005). در این مطالعه نیز بین چروکیدگی با فاكتورهای انسجام، قابلیت ارتقای و قابلیت جویدن (به ترتیب با ضرایب همبستگی ۰/۷۳۴، ۰/۷۰۸ و ۰/۶۳۸) ارتباط معنی‌داری ($P < 0.05$) مشاهده شد. تیمارهای حاوی آرد بلوط به علت چروکیدگی کمتر نسبت به نمونه شاهد، دارای مقادیر پایین‌تری از این شاخص‌ها، در

¹ Beta Sheet

² Alpha Helical

جدول ۸- نتایج بدست آمده از ارزیابی حسی همبرگرهای فرموله شده با آرد بلوط

سطح جایگزینی آرد بلوط				پارامتر
۹	۶	۳	.	
۲/۷۱±۰/۰۲ ^c	۲/۶۲±۰/۰ ^d	۲/۹۵±۰/۰۳ ^b	۲/۱۸±۰/۰۳ ^a	رنگ
۲/۲۲±۰/۰۲ ^b	۳/۲۴±۰/۰ ^b	۳/۴۰±۰/۰۲ ^a	۲/۸۶±۰/۰۸ ^c	طعم
۳/۳۷±۰/۰۲ ^b	۳/۴۰±۰/۰۲ ^b	۳/۵۵±۰/۰۲ ^a	۲/۸۹±۰/۰۴ ^c	بافت
۳/۵۰±۰/۰۴ ^b	۳/۶۴±۰/۰۴ ^a	۳/۶۳±۰/۰۲ ^a	۳/۱۸±۰/۰۳ ^c	آبداربودن
۳/۳۴±۰/۰۵ ^b	۳/۴۴±۰/۰۲ ^{ab}	۳/۵۵±۰/۰۲ ^a	۳/۰۵±۰/۰۷ ^c	پذیرش کلی

میانگین دو تکرار ± انحراف استاندارد

نتایج هر سطر که دارای حروف غیرمشترک می‌باشند، از لحاظ آماری اختلاف معنی‌داری ($P<0.05$) دارند.

در صد جایگزینی آرد بلوط بود. تنها شاخص رنگ نمونه‌های فرموله شده با آرد بلوط، امتیاز کمتری نسبت به نمونه شاهد گرفت. بنابراین براساس نتایج بدست آمده، می‌توان با جایگزینی آرد بلوط در فرمولاسیون همبرگر، ضمن تولید محصولی سالم، ویژگی‌های فیزیکوشیمیایی و حسی این فراورده را نیز تا حد زیادی بهبود بخشد.

تشکر و قدردانی

بدین‌وسیله از کارخانه پاک جمع مشهد و جناب آقای مهندس میراحمدی برای تأمین نمونه خمیر همبرگر، جهت انجام این تحقیق سپاسگزاری می‌گردد.

نتیجه‌گیری
جایگزینی آرد بلوط در فرمولاسیون همبرگر، شاخص‌های کاهش قطر و افزایش ضخامت را به مقدار زیادی کاهش داد و علاوه بر آن تاثیر به سزاپایی در به‌حداقل‌رساندن آفت پخت و چروکیدگی داشت. همچنین تیمارهای فرموله شده با آرد بلوط، ظرفیت حفظ چربی بالایی داشتند. تیمارها از لحاظ ویژگی‌های بافتی نیز قابل قبول بوده و همگی در مقایسه با نمونه شاهد بهبود پیدا کردند. نتایج ارزیابی حسی نیز نشان داد که امتیاز شاخص‌های طعم، بافت، آبداربودن و پذیرش کلی تمامی تیمارها نسبت به نمونه شاهد بالاتر و بیشترین این امتیازها مربوط به تیمار ۳

منابع

- Ahmed, P., Miller, M., Lyon, C., Vaughters, H., & Reagan, J. (1990). Physical and sensory characteristics of low-fat fresh pork sausage processed with various levels of added water. *Journal of Food Science*, 55(3), 625-628. doi:<https://doi.org/10.1111/j.1365-2621.1990.tb05192.x>
- Aleson-Carbonell, L., Fernández-López, J., Pérez-Alvarez, J., & Kuri, V. (2005). Characteristics of beef burger as influenced by various types of lemon albedo. *Innovative Food Science & Emerging Technologies*, 6(2), 247-255. doi:<https://doi.org/10.1016/j.ifset.2005.01.002>
- AMSA. (1995). *Research guidelines for cookery, sensory evaluation, and instrumental tenderness measurements of fresh meat*: American meat Science Association in cooperation with National Live Stock and Meat Board, 48-65.
- Berry, B., Joseph, R., & Stanfield, M. (1996). Use of electrical stimulation, hot processing and carrageenan for processing low-fat ground beef patties. *Meat Science*, 42(1), 111-123. doi:[https://doi.org/10.1016/0309-1740\(95\)00008-9](https://doi.org/10.1016/0309-1740(95)00008-9)
- Berry, B., & Leddy, K. (1984). Effects of fat level and cooking method on sensory and textural properties of ground beef patties. *Journal of Food Science*, 49(3), 870-875. doi:<https://doi.org/10.1111/j.1365-2621.1984.tb13231.x>
- Besbes, S., Attia, H., Deroanne, C., Makni, S & Blecker, C. (2008). Partial replacement of meat by pea fiber and wheat fiber: effect on the chemical composition, cooking characteristics and sensory properties of beef burgers. *Journal of Food Quality*, 31(4), 480-489. doi:<https://doi.org/10.1111/j.1745-4557.2008.00213.x>

- Besbes, S., Ghorbel, R., Salah, R. B., Masmoudi, M., Jedidi, F., Attia, H., & Blecker, C. (2010). Date Fiber Concentrate: Chemical Compositions, Functional Properties and Effect on Quality Characteristics of Beef Burgers. *Journal of Food & Drug Analysis*, 18(1), 8-14.
- Beuchat, L. R. (1977). Functional and electrophoretic characteristics of succinylated peanut flour protein. *Journal of Agricultural and Food Chemistry*, 25(2), 258-261. doi:<https://doi.org/10.1021/jf60210a044>
- Borges, O., Gonçalves, B., de Carvalho, J. L. S., Correia, P., & Silva, A. P. (2008). Nutritional quality of chestnut (*Castanea sativa* Mill.) cultivars from Portugal. *Food Chemistry*, 106(3), 976-984. doi:<https://doi.org/10.1016/j.foodchem.2007.07.011>
- Borges, O. P., Soeiro Carvalho, J., Reis Correia, P., & Paula Silva, A. (2007). Lipid and fatty acid profiles of *Castanea sativa* Mill. Chestnuts of 17 native Portuguese cultivars. *Journal of Food Composition and Analysis*, 20(2), 80-89. doi:<https://doi.org/10.1016/j.jfca.2006.07.008>
- Bourne, M. C. (1978). Texture profile analysis. *Food Technology*, 32(72), 62-66.
- Choi, Y.-S., Choi, J.-H., Han, D.-J., Kim, H.-Y., Lee, M.-A., Kim, H.-W., . . . Kim, C.-J. (2010). Effects of chestnut (*Castanea sativa* Mill.) peel powder on quality characteristics of chicken emulsion sausages. *Korean Journal for Food Science of Animal Resources*, 30(5), 755-763. doi:<https://doi.org/10.5851/kosfa.2010.30.5.755>
- Du, C. J., & Sun, D. W. (2005). Correlating shrinkage with yield, water content and texture of pork ham by computer vision. *Journal of Food Process Engineering*, 28(3), 219-232. doi:<https://doi.org/10.1111/j.1745-4530.2005.00408.x>
- Elleuch, M., Bedigian, D., Roiseux, O., Besbes, S., Blecker, C., & Attia, H. (2011). Dietary fibre and fibre-rich by-products of food processing: Characterisation, technological functionality and commercial applications: A review. *Food Chemistry*, 124(2), 411-421. doi:<https://doi.org/10.1016/j.foodchem.2010.06.077>
- Georgantelis, D., Blekas, G., Katikou, P., Ambrosiadis ,I., & Fletouris, D. J. (2007). Effect of rosemary extract, chitosan and α -tocopherol on lipid oxidation and colour stability during frozen storage of beef burgers. *Meat Science*, 75(2), 256-264. doi:<https://doi.org/10.1016/j.meatsci.2006.07.018>
- Giese, J. (1992). Developing low-fat meat products. *Food Technology (USA)*, 46(4), 100-108.
- Gregg, L., Claus, J., Hackney, C., & Marriott, N. (1993). Low-fat, high added water bologna from massaged, minced batter. *Journal of Food Science*, 58(2), 259-264. doi:<https://doi.org/10.1111/j.1365-2621.1993.tb04251.x>
- Gujral, H. S., Kaur, A., Singh, N., & Sodhi, N. S. (2002). Effect of liquid whole egg, fat and textured soy protein on the textural and cooking properties of raw and baked patties from goat meat. *Journal of Food Engineering*, 53(4), 377-385. doi:[https://doi.org/10.1016/S0260-8774\(01\)00180-7](https://doi.org/10.1016/S0260-8774(01)00180-7)
- Heywood, A., Myers, D., Bailey, T., & Johnson, L. (2002). Functional properties of low-fat soy flour produced by an extrusion-expelling system. *Journal of the American Oil Chemists' Society*, 79(12), 1249. doi:<https://doi.org/10.1007/s11746-002-0635-y>
- Higgs, J. D. (2000). The changing nature of red meat: 20 years of improving nutritional quality. *Trends in Food Science & Technology*, 11(3), 85-95. doi:[https://doi.org/10.1016/S0924-2244\(00\)00055-8](https://doi.org/10.1016/S0924-2244(00)00055-8)
- Hunt, M., Acton, J., Benedict, R., Calkins, C., Cornforth, D., Jeremiah, L., . . . Shivas, S. (1991). *Guidelines for meat color evaluation*. Chicago: American Meat Science Association and National Live Stock and Meat Board, 9-12.
- Institute of Standards and Industrial Research of Iran. (1973). Meat and meat products, measuring the total protein (ISIRI Standard No. 924). Retrieved from <http://standard.isiri.gov.ir/StandardView.aspx?Id=6935> (in Persian)
- Institute of Standards and Industrial Research of Iran. (1992). Cereals and its products, Measurement of the moisture content, references method (ISIRI Standard No. 2705). Retrieved from <http://standard.isiri.gov.ir/StandardView.aspx?Id=46619> (in Persian)
- Institute of Standards and Industrial Research of Iran. (1994). Measurement method of the crude protein of cereals and its products (ISIRI Standard No. 2863). Retrieved from <http://www.isiri.gov.ir/portal/files/std/2863.htm> (in Persian)

- Institute of Standards and Industrial Research of Iran. (2002a). Meat and meat products - Determination of Moisture content - (Reference method) (ISIRI Standard No. 745). Retrieved from <http://standard.isiri.gov.ir/StandardView.aspx?Id=37661> (in Persian)
- Institute of Standards and Industrial Research of Iran. (2002b). Meat and meat products - Method for determining the total ash content - test method (ISIRI Standard No. 744 (revised)). Retrieved from <http://standard.isiri.gov.ir/StandardView.aspx?Id=5551> (in Persian)
- Institute of Standards and Industrial Research of Iran. (2003). Meat and meat products - measuring the moisture the free fat content, test method (ISIRI Standard No. 743). Retrieved from <http://standard.isiri.gov.ir/StandardView.aspx?Id=13511> (in Persian)
- Institute of Standards and Industrial Research of Iran. (2011). Wheat flour, characteristics and test methods (ISIRI Standard No. 103). Retrieved from <http://standard.isiri.gov.ir/StandardView.aspx?Id=51318> (in Persian)
- Jeong, J.-W., Park, K.-J., Kim, M.-H., & Kim, D.-S. (2006). Quality characteristics of Takju fermentation by addition of chestnut peel powder. *Korean Journal of Food Preservation*, 13(3), 329-336.
- Kinsella, J. E. (1979). Functional properties of soy proteins. *Journal of the American Oil Chemists' Society*, 56(3Part1), 242-258. doi:<https://doi.org/10.1007/BF02671468>
- Kuliev, V., & Poletaeva, L. (1982). Polysaccharides of the fruit of Crataegus orientalis. *Chemistry of Natural Compounds*, 18(5), 612-613. doi:<https://doi.org/10.1007/BF00575054>
- Kurt, S., & Kilincceker, O. (2012). The effects of cereal and legume flours on the quality characteristics of beef patties. *Kafkas Üniversitesi Veteriner Fakültesi Dergisi*, 18(5), 725-730. doi:<https://doi.org/10.9775/kvfd.2011.6013>
- Larrauri, J. A., Rupérez, P., Borroto, B., & Saura-Calixto, F. (1996). Mango peels as a new tropical fibre: preparation and characterization. *LWT-Food Science and Technology*, 29(8), 729-733. doi:<https://doi.org/10.1006/fstl.1996.0113>
- Lorenzo, J. M., González-Rodríguez, R. M., Sánchez, M., Amado, I. R., & Franco, D. (2013). Effects of natural (grape seed and chestnut extract) and synthetic antioxidants (butylatedhydroxytoluene, BHT) on the physical, chemical, microbiological and sensory characteristics of dry cured sausage "chorizo". *Food Research International*, 54(1), 611-620. doi:<https://doi.org/10.1016/j.foodres.2013.07.064>
- Ordóñez, M., Rovira, J., & Jaime, I. (2001). The relationship between the composition and texture of conventional and low-fat frankfurters. *International journal of food science & technology*, 36(7), 749-758. doi:<https://doi.org/10.1111/j.1365-2621.2001.00525.x>
- Özcan, T. (2006). Total protein and amino acid compositions in the acorns of Turkish Quercus L. taxa. *Genetic Resources and Crop Evolution*, 53(2), 419-429. doi:<https://doi.org/10.1007/s10722-004-1337-3>
- Pereira-Lorenzo, S., Ramos-Cabrera, A. M., Díaz-Hernández, M., Ciordia-Ara, M., & Ríos-Mesa, D. (2006). Chemical composition of chestnut cultivars from Spain. *Scientia Horticulturae*, 107(3), 306-314. doi:<https://doi.org/10.1016/j.scienta.2005-08-008>
- Sabeti, H. (1994). *Forests, trees and shrubs of Iran*. (2nd edition): Yazd university.
- Sánchez-Zapata, E., Muñoz, C., Fuentes, E., Fernández-López, J., Sendra, E., Sayas, E., . . . Pérez-Alvarez, J. (2010). Effect of tiger nut fibre on quality characteristics of pork burger. *Meat Science*, 85(1), 70-76. doi:<https://doi.org/10.1016/j.meatsci.2009.12.006>
- Sáyago-Ayerdi, S., Brenes, A., & Goñi, I. (2009). Effect of grape antioxidant dietary fiber on the lipid oxidation of raw and cooked chicken hamburgers. *LWT-Food Science and Technology*, 42(5), 971-976. doi:<https://doi.org/10.1016/j.lwt.2008.12.006>
- Serdaroglu, M. (2006). The characteristics of beef patties containing different levels of fat and oat flour. *International Journal of Food Science & Technology*, 41(2), 147-153. doi:<https://doi.org/10.1111/j.1365-2621.2005.01041.x>
- Serdaroglu, M., & Ozsumer, M. (2003). Effects of soy protein, whey powder and wheat gluten on quality characteristics of cooked beef sausages formulated with 5, 10 and 20% fat. *Electronic Journal of Polish Agricultural Universities*, 6(2), 3.

- Sheridan, J., Allen, P., Ziegler, J., Marinkov, M., Suvakov, M., & Heinz, G. (1991). *Guidelines for slaughtering, meat cutting and further processing*: FAO.
- Talukder, S., & Sharma, D. (2010). Development of dietary fiber rich chicken meat patties using wheat and oat bran. *Journal of food science and technology*, 47(2), 224-229. doi:<https://doi.org/10.1007/s13197-010-0027-z>
- Teye, G., Teye, M., & Boamah, G. (2012). The effect of cowpea (*Vigna unguiculata*) flour as an extender on the physico-chemical properties of beef and ham burgers. *African Journal of Food, Agriculture, Nutrition and Development*, 12(7), 7019-7034 .
- Troutt, E., Hunt, M., Johnson, D., Claus, J., Kastner, C., Kropf, D., & Stroda, S. (1992). Chemical, physical, and sensory characterization of ground beef containing 5 to 30 percent fat. *Journal of Food Science*, 57(1), 25-29. doi:<https://doi.org/10.1111/j.1365-2621.1992.tb05416.x>
- Ziegler, G., & Acton, J. (1984). Mechanisms of gel formation by proteins of muscle tissue. *Food Technology*, 38(5), 77-82 .

The Effect of Chestnut (*Quercus Brantii*) Flour Substitution on the Physicochemical and Sensory Properties of Burgers

Vahideh Salarkarimi¹, Mohammad Javad Varidi^{2*}, Mehdi Varidi²

1- MSc. Student, Department of Food Science and Technology, Ferdowsi University of Mashhad, Iran

2- Associate Professor, Department of Food Science and Technology, Ferdowsi University of Mashhad, Iran

* Corresponding author (mjvaridi@um.ac.ir)

Abstract

In this study, the effect of chestnut flour substitution on the physicochemical and sensory properties of burger (30% meat) was investigated. Chestnut flour levels were 0, 3, 6 and 9% that were replaced with toasted flour in the formulation. Chestnut flour improved all the treatments cooking characteristics significantly ($P<0.05$) including diameter reduction, thickness increase, cooking loss, shrinkage and fat retention capacity and also texture indices except adhesiveness. The color parameters of L* and b* of the treated sample were significantly ($P<0.05$) higher than control sample whereas its a* was lower. In samples sensory analysis, all of chestnut flour treatments got higher scores compared to control sample in terms of flavor, texture, juiciness and overall accepting. But the control sample was more favorable in terms of color index. According to the obtained results, with chestnut flour replacement in the formulation of burgers, physicochemical and sensory characteristics of this product can improve acceptably.

Keywords: Burger, Chestnut flour, Physicochemical Properties, Sensory Evaluation

تولید و ارزیابی نanolipozom‌های حامل پپتیدهای زیستفعال به دست آمده از ضایعات ماهی با استفاده از آنزیم آلکالاز

شیرین حسنی^۱، مصطفی شهیدی نوقابی^{۲*}، سیدمهدي اجاق^۳

۱- دانش آموخته دکتری فرآوری محصولات شیلاتی، دانشکده شیلات، دانشگاه علوم کشاورزی و منابع طبیعی گرگان، گرگان، ایران

۲- دانشیار، گروه شیمی مواد غذایی، مؤسسه پژوهشی علوم و صنایع غذایی، مشهد، ایران

* نویسنده مسئول: مصطفی شهیدی نوقابی (m.shahidi@rifst.ac.ir)

۳- دانشیار، گروه فرآوری محصولات شیلاتی، دانشکده شیلات، دانشگاه علوم کشاورزی و منابع طبیعی گرگان، گرگان، ایران

تاریخ دریافت: ۱۳۹۶/۰۷/۲۰

تاریخ پذیرش: ۱۳۹۶/۱۰/۲۵

چکیده

واژه‌های کلیدی
پپتید زیستفعال
رهایش
فعالیت آنتی‌اکسیدانی کیتوzan
نانولیپوزوم

در سال‌های اخیر مطالعه‌های متعددی روی تولید پپتیدهای زیستفعال از ضایعات ماهی، به‌واسطه اثرات مفید آن بر سلامتی انسان، متمرکز شده است. لیکن تولید پپتیدهای زیستفعال نیازمند روش‌های حفاظتی می‌باشد تا علاوه‌بر افزایش پایداری در محیط گوارش و جذب فعال، منجر به رهایش کنترل شده و بهینه‌سازی تأثیر آن طی مصرف گردد. تحقیق حاضر با هدف ایجاد یک سیستم نanolipozomی FSPF ماهی خوراکی حامل پپتیدهای زیستفعال حاصل از پروتئین هیدرولیزشده (FPH) ماهی کپور معمولی (*Cyprinus carpio*) توسط آنزیم آلکالاز با پوشش کیتوzan (غله‌تله‌ای) در نانولیپوزوم گرفت. نتایج نشان داد کیتوzan تا حد ۰/۰۵ و ۰/۰۱ درصد وزنی/حجمی) انجام گرفت. قرار داشت. مقادیر راندمان ریزپوشانی به‌طور محدوده ۳۳۹ تا ۴۵۹ نانومتر با پتانسیل زتاب ۵۱/۷- ۵۰+ میلی‌ولت و شاخص پراکندگی (PDI) ۰/۳۸۸ تا ۰/۴۸۷ درصد داشت. مقادیر راندمان ریزپوشانی به‌طور قابل توجهی مؤثر از تغییرات غله‌تله کیتوzan در پوشش بود و حدکثر راندمان ریزپوشانی به‌طور (۸۶±۲/۶۵) درصد) در نanolipozom حامل با پوشش ۰/۵ درصد کیتوzan مشاهده شد. بررسی میزان رهایش پپتید در محیط‌های شبیه‌سازی شده معده و روده حاکی از تأثیر پوشش بر افزایش پایداری پپتیدها در محیط‌های بیولوژیکی شبیه‌سازی شده بود. همچنین ارزیابی فعالیت آنتی‌اکسیدانی بهوسیله آزمون‌های دی‌فنیل-۱-پیکریل هیدرازیل (DPPH) و ۲،۲-آزینوبیس (۳-اتیلبنزوتیازولین)-۶-سولفونیک اسید (ABTS) بیانگر وجود فعالیت بالای مهارکنندگی رادیکال در نanolipozom‌های حامل پپتید در نمونه‌های با پوشش کیتوzan و فاقد پوشش بود. نتایج تحقیق حاضر نشان داد ریزپوشانی پپتیدهای زیستفعال در حامل لیپوزومی می‌تواند رویکردی مفید در جهت کاربرد مستقیم پپتیدها با قابلیت آنتی‌اکسیدانی در فراورده‌های غذایی باشد.

ساختاری هستند که می‌توانند به جهت دارابودن اثرات ضدبacterی، ضدaksیداسیونی، ضدسرطان، کاهش فشارخون بالا، تحریک‌کننده سیستم ایمنی و کاهش

مقدمه

منابع دریایی با تولید حجم بالایی از ضایعات و تولیدات جانبی منبع غنی و ارزشمند از ترکیبات زیستفعال

Lassoued *et al.*, 2015; Nalinanon, Benjakul, Kishimura, & Shahidi, 2011; Razali, Amin, & Sarbon, 2015; Vignesh, Haq, Devanathan, & Srinivasan, 2011 پیتیدهای آنتیاکسیدانی که تاکنون شناسایی شده‌اند کوتاه‌زنجیره و حاوی آمینواسیدهای هیدروفوب^۳ در توالی خود هستند. آنها به‌طور قابل ملاحظه‌ای به تخیله رادیکال‌های آزاد کمک می‌کنند؛ زیرا زنجیره‌های جانبی فنولی آنها به عنوان اهداکنندگان الکترونی قوی عمل می‌کنند، به‌این ترتیب امکان خاتمه واکنش زنجیره‌ای رادیکال آزاد را فراهم می‌آورند (Picot *et al.*, 2010). Centenaro و همکاران (۲۰۱۴) پیشنهاد کردند که وجود آمینواسیدهای گوگردار و هیدروفوب بیشتر باعث افزایش حلالیت و فعالیت آنتیاکسیدانی می‌گردد. برای تعیین ظرفیت آنتیاکسیدانی FPH، دو یا چند سیستم رادیکال Centenaro *et al.*, 2014) در تحقیق حاضر از روش‌های اندازه‌گیری مهار رادیکال آزاد دی‌فنیل-۱-پیکریل هیدرازیل (DPPH^۴) و ۲-آزینوبیس (۳-اتیل‌بنزوتیازولین-۶-سولفونیک اسید (ABTS^۵) برای اندازه‌گیری فعالیت آنتیاکسیدانی پیتیدهای زیستفعال استخراج شده و نانولیپوزوم‌های حامل پیتید استفاده شد.

Wu و Jahandideh, Chakrabarti خواص ضدالتهابی مواد غذایی حاوی پیتیدها از جمله پروتئین هیدرولیزشده ماهی پرداختند. آنها دریافتند پیتیدهای به دست آمده باعث ایجاد فعالیت‌های بیولوژیک دیگری همچون واکنش‌های فیزیولوژیکی ضدیکروبی، فارماکولوژیک و ایمونولوژیک می‌شوند (Danquah & Agyei, 2012). پیتیدهای زیستفعال بایستی در طول هضم و جذب، قبل از ورود به جریان خون برای اعمال اثرات فیزیولوژیک خود، فعال باقی بمانند (Segura-Campos, Chel-Guerrero, Betancur-Ancona, & Hernandez-Escalante, 2011). پیتیدهای زیستفعال ممکن است در شرایط اسیدی معده و در حضور آنزیم‌های پروتئولیتیک معده و روده، دناتوره شده و به پیتیدهای کوچک تجزیه شوند. تلخی ناخوشایند پیتیدهای آب‌گریز و همچنین موانع ذکر شده سبب محدودیت استفاده از این

کلسترول خون در تولید محصولات غذایی فراسودمند برای ارتقاء سطح سلامت مصرف‌کننده و بهبود ماندگاری محصولات غذایی و یا در صنعت دارو مورد استفاده قرار گیرند. اگر این ترکیبات بیولوژیکی به نحو مطلوب مورد استفاده قرار گیرند، از یکسو باعث کاهش آلودگی زیستمحیطی ناشی از دور ریختن آنها شده و از سوی دیگر به لحاظ داشتن پروتئین‌های بالرزش قابل بازیافت می‌باشدند. امروزه مطالعه‌های بسیاری با هدف تولید پیتیدهای زیستفعال از پروتئین هیدرولیزشده ماهی (FPH^۱) برای تولید فراورده‌ای بالرزش افروزه بالا Galla, Pamidighantam, Akula, & Karakala, 2012; Nasri *et al.*, 2013

هیدرولیز آنزیمی مؤثرترین و مرسوم‌ترین روش هیدرولیز پروتئین است که از طریق افزودن آنزیم‌های متعدد مانند آکالالاز، پاپایین، پیپسین، تریپسین، آلفا-کیموتريپسین، پانکراتین، فلاورزایم، پروناز، نیتراز، پروتامکس، بروملاین، پروتئاز N، پروتئاز A، ترمولایزین و والیداز به‌منظور بازیابی پیتیدهای زیستفعال قوی می‌باشد (Chalamaiah, Hemalatha, & Jyothirmayi, 2012). تحقیقاتی زیادی در خصوص هیدرولیز آنزیمی قسمت‌های مختلف ماهی با استفاده از آنزیم‌های تجاری انجام گرفته است. با توجه به مطالعه‌های آنزیم‌های با منشأ میکروبی نسبت به سایر آنزیم‌ها، دارای مزایای بیشتری هستند که از آن جمله می‌توان به پایداری بیشتر در حرارت و pH های بالا و همچنین خصوصیات مناسب پروتئولیتیکی^۲ اشاره نمود (Diniz & Martin, 1996). آنزیم آکالالاز با داشتن هزینه نسبتاً پایین در میان سایر آنزیم‌ها، قابلیت بسیار بالایی در هضم منابع پروتئینی از خود نشان داده است. پروتئین هیدرولیزه ماهی در طیف وسیعی از pH های مختلف دارای حلالیت مناسبی می‌باشد و معمولاً حرارت زیادی را بدون ایجاد رسوب تحمل می‌کند. به علاوه، سبب بهبود خواص بافت، امولیسیون‌کنندگی، کف‌کنندگی، ظرفیت نگهداری آب و پایداری فراورده‌های Taheri, Sabreena Farvin, Jacobsen, & Baron, 2014 می‌گرددند. پیتیدهای مشتق شده از پروتئین‌های ماهی با استفاده از تکنیک هیدرولیز آنزیمی، فعالیت‌های آنتیاکسیدانی قابل توجهی را در سیستم‌های مختلف

^۳ Hydrophobic Amino Acids

^۴ Diphenyl-1-picrylhydrazyl

^۵ 2,2-Azino-bis (3-ethylbenzothiazoline-6 sulfonic acid)

^۱ Fish Protein Hydrolysate

^۲ Proteolytically

مواد انکپسوله شده به نواحی هدف می‌شوند. همچنین دارای پابداری کلوئیدی بالاتر بوده و کدورت کمتری ایجاد می‌کنند (Rasti, Jinap, Mozafari, & Yazid, 2012). با این وجود، سیستم‌های تحویل مبتنی بر لیپید، بهدلیل کم ثباتی، در محیط اسیدی نمک‌های صفوایی و لیپاز معده مناسب نمی‌باشند (Page & Cudmore, 2001). استفاده از سیستم‌های پلیمری چسبنده مخاطی مانند کیتوزان، مهم‌ترین گام در جهت افزایش تحویل لیپوزومی پپتیدهای زیستفعال به شکل خوراکی می‌باشد. به طوری که ثبات حامل لیپوزومی و راندمان جذب در دستگاه گوارش می‌تواند تا حدود زیادی توسط یک لایه پوشش کیتوزانی افزایش یابد که می‌توان به اتصال کیتوزان و لیپوزوم از طریق واکنش‌های الکترواستاتیک بین گروه‌های کاتیونی کیتوزان و گروه‌های فسفولیپید آنیونی نسبت داد. لذا با توجه به میزان زیاد ضایعات ماهی در کشور و همچنین وجود پتانسیل بالقوه تولید فراورده‌هایی بالرژش افزوده از این مواد، هدف از این پژوهش، بررسی امکان تولید و ارزیابی نanolipozومهای حامل پپتیدهای زیستفعال با خاصیت آنتی‌اسیدانی برای غلبه بر چالش‌های موجود در مسیر استفاده از این ترکیبات ارزشمند در صنایع غذایی و دارویی، مورد توجه قرار گیرد.

مواد و روش‌ها

برای هیدرولیز آنزیمی امعاوحشا ماهی کپور معمولی^۵ از آنزیم آلکالاز (فعالیت ۲/۴ واحد آنسون بر گرم) گرفته شده از باکتری *Bacillus Licheniformis*^۶ استفاده شد. آنزیم آلکالاز از شرکت سیگما آلدريچ خریداری و تا انجام آزمایش‌ها در دمای ۴ درجه سانتی‌گراد نگهداری گردید. هیدروکسید سدیم، کیتوزان با وزن مولکولی متوسط (درجه داستیلاسیون ۷۵-۸۵ درصد)، سرم آلبومین گاوی^۷، معرف DPPH و ABTS، اسید آسکوربیک، پیپسین و اسید هیدروکلریک از شرکت مرک آلمان خریداری شد. تمامی مواد شیمیایی مورد استفاده در آزمایش از درجه آزمایشگاهی برخوردار بودند.

تهیه پروتئین هیدرولیزشده ماهی

امعاوحشا ماهی کپور معمولی از سد وشمگیر واقع در

Segura-Campos (et al., 2011) امروزه انواع روش‌های خوراکی مانند افزودن انواع بازدارنده‌های پروتئاز و سایر اصلاحات شیمیایی برای محافظت از پپتیدهای بیولوژیک در برابر تخریب اسیدی و آنزیمی دستگاه گوارش، بازدهی بالای جذب در مخاط اپیتلیوم^۱ و همچنین بهبود زیست‌پذیری پپتیدهای فعال خوراکی طراحی شده‌اند (Rekha & Sharma, 2011). با این وجود بازدارنده‌های آنزیمی اثرات جانبی زیان‌آوری را در درازمدت ایجاد می‌کنند. هنگامی که فعالیت آنزیم روده مهار گردد و عمل هضم به تأخیر افتند، درنتیجه مکانیسم بازخورد، آنزیم‌ها توسط پانکراس بیش از پیش تولید خواهد شد که منجر به هیپرتروفی پانکراس^۲ و هیپرپلازی^۳ می‌شود (Rekha & Sharma, 2011).

لذا در این راستا استفاده از تکنیک ریزپوشانی، روشی عملی برای محافظت از پپتیدهای زیستفعال در برابر هضم با استفاده از پوشش و تشکیل کپسول است. درون‌پوشانی، تکنولوژی بهداشت‌اختن مواد جامد، مایع یا گازی در کپسول‌هایی که محتويات خود را در سرعت‌های کنترل شده و تحت شرایط ویژه آزاد می‌کنند، می‌باشد که شامل مراحل تشکیل دیواره اطراف ترکیب زیستفعال، اطمینان از عدم نشت این ترکیبات به بیرون و عدم پوشش ترکیبات نامطلوب در کپسول است. یکی از انواع حامل‌های لیپیدی که برای درون‌پوشانی مواد زیستفعال و غذادارو استفاده می‌شود، لیپوزوم‌ها می‌باشند. لیپوزوم‌ها و زیکول‌های کلوئیدی مشکل از لیپیدهای قطبی به ویژه فسفولیپیدها بوده که در حضور مولکول‌های آب، ساختارهای کروی دولایه‌ای دارند. (Ghorbanzade, Jafari, Akhavan, & Hadavi, 2017) این ترکیبات بهدلیل خاصیت دوگانه‌دست^۴، توانایی کپسوله کردن طیف وسیعی از ترکیبات آبدوست، چربی‌دوست و آمفی‌فیل را دارند. لیپوزوم‌ها و نanolipozوم‌ها اگرچه خصوصیات ساختاری، شیمیایی و ترمودینامیک یکسان دارند اما نanolipozوم‌ها در مقایسه با لیپوزوم‌ها، به علت اندازه ذرات کوچک‌تر، ناحیه سطحی بیشتری را فراهم کرده و باعث افزایش حلالت، بهبود قابلیت دسترسی زیستی، رهایش کنترل شده و تحویل دقیق‌تر

¹ Epithelium

² Pancreatic Hypertrophy

³ Hyperplasia

⁴ Amphiphilic

⁵ Cyprinus Carpio

⁶ Bacillus Licheniformis

⁷ Bovine Serum Albumin

آزمایش $43/5 \pm 0/21$ درصد اندازه‌گیری شد.

تهیه نانولیپوزوم‌های حامل پیتیدهای زیست‌فعال پروتئین هیدرولیز شده برای رسیدن به پیتیدهای با وزن مولکولی کمتر از ۳ کیلodalton از اولترافیلتراسیون (Darmstadt, Merck KGaA, Millipore, EMD) ساخت آلمان) عبور داده شد. سپس برای تهیه نانولیپوزوم‌های حامل پیتید، هیدرولیزه پروتئین (10 میلی گرم/میلی لیتر) و فسفولیپید/کلسترول در آب مقطر هیدراته شده و با گلیسرول تا دمای $80-60$ درجه سانتی گراد حرارت داده شد. pH محلوت توسط هیدروکسید سدیم 2 مولار و حرارت 60 درجه سانتی گراد با تکان دادن مداوم به مدت 1 ساعت توسط شیکر به $7/3$ رسانده شد. لیپوزوم‌های خام، تحت فشار بالا هموژن شده و با نسبت‌های متفاوتی ($0/0.5$ ، $0/1$ و $0/5$ درصد وزنی/حجمی) از محلول کیتوزان (محلول کیتوزان با حل شدن کیتوزان در اسید استیک 1 درصد (وزنی/وزنی) تهیه می‌گردد) در دمای اتاق به مدت 1 ساعت با دور 200 دور بر دقیقه محلوت گردید. محلول لیپوزومی در دمای 25 درجه سانتی گراد با سونیکاتور با پروب 200 بیوپی.اس تحت سونیکاسیون قرار گرفته نانولیپوزوم‌ها در دمای محیط تحت گاز نیتروژن قرار گرفته و برای مراحل بعدی آزمایش نگهداری شد (Rasti et al., 2012).

ارزیابی خصوصیات فیزیکی نانولیپوزوم‌های حامل پیتید اندازه‌ذره و تعیین توزیع اندازه‌ذرهای (PDI^۴) اندازه‌ذرهای و توزیع اندازه‌ذرهای لیپوزوم‌ها پس از رقیق کردن نمونه به میزان 10 برابر با بافر به روش تفرق نور پویا^۵ توسط دستگاه زتابایزر Malven Nano ZS ساخت انگلستان) انجام گردید.

تعیین پتانسیل زتای سطح لیپوزوم‌ها

در مطالعه حاضر، اندازه‌گیری پتانسیل زتای سطح لیپوزوم‌ها توسط دستگاه زتابایزر انجام شد. لیپوزوم‌ها توسط بافر فسفات (pH=۷/۴، 50 میلی مولار) به میزان 10 برابر رقیق شده و ارزیابی در زاویه پراکنش 173 درجه سانتی گراد و طول موج هلیوم-تنگستن 633 نانومتر و در دمای اتاق صورت گرفت.

⁴ Particle Dispersion Index

⁵ Dynamic Light Scattering

کیلومتری شهرستان گرگان تهیه و توسط دستگاه چرخ گوشت کاملاً محلوت گردید. سپس به منظور غیرفعال نمودن آنزیم‌های داخلی، نمونه در دمای 85 درجه سانتی گراد به مدت 20 دقیقه قرار گرفت. املاوا حشا توسط محلول بافر فسفات با نسبت $1:2$ (وزنی: حجمی) رقيق و به مدت 5 دقیقه در دمای محیط محلوت شدند. سپس برای رسیدن به pH بهینه برای فعالیت آنزیم با هیدروکسید سدیم $0/2$ نرمال محلوت به pH برابر $8/5$ رسانده شد. برای تهیه FPH، عمل هیدرولیز در ارلن‌های 250 میلی لیتری حاوی 50 گرم از نمونه در دستگاه انکوباتور متحرک (Comecta)، ساخت اسپانیا) با سرعت 200 دور در دقیقه قرار داده شد. آنزیم آکالاز ($2/4$ واحد آنسون به ازای 1 میلی لیتر آنزیم) به نمونه‌ها به نسبت 1 درصد وزن محلوت اضافه گردید. در انتهای آزمایش با هدف قطع واکنش‌های آنزیمی، نمونه‌ها در دمای 95 درجه سانتی گراد به مدت 15 دقیقه قرار گرفتند. نمونه‌ها بعد از Hermle رسانید به دمای اتاق توسط سانتریفیوژ (Labrotechnich GmbH z206a 20 دقیقه در دمای 10 درجه سانتی گراد در $8000\times g$ Ovissipour سانتریفیوژ و مایع روماند^۱ جمع‌آوری گردید (et al., 2009).

اندازه‌گیری درجه هیدرولیزاسیون (DH درصد)

میزان هیدرولیز (L°) DH در نمونه با تری کلرواستیک اسید (TCA^۲) 20 درصد (حجمی/حجمی) طبق روش Ovissipour و همکاران (2009) موردارزیابی قرار گرفت. بدین منظور محلول پروتئینی با حجم یکسان با محلول TCA کاملاً محلوت و به مدت 5 دقیقه در دمای 20 درجه سانتی گراد با دور $6700\times g$ سانتریفیوژ شد. سپس غلظت پروتئین محلول در تری کلرواستیک اسید 10 درصد به روش بیورت تعیین گردید. درجه هیدرولیز (DH) طبق رابطه (1) محاسبه گردید.

رابطه (1)

$$\text{DH} (\%) = \frac{\text{نیتروژن محلول در نمونه} - 10\% \text{ TCA}}{\text{نیتروژن کل نمونه}}$$

در رابطه (1) ، میزان هیدرولیز (DH) در نمونه‌های مورد

¹ supernatant

² Degree of Hydrolysis

³ Trichloroacetic Acid

با غلظت متفاوت کیتوزان در محیط‌های شبیه‌سازی شده Agrawal, Harde, SGF و SIF انکوباسیون شدند (Thanki, & Jain, 2013). برای آماده‌سازی محیط معده ۱۰۰ میلی‌گرم پپسین در ۵ میلی‌لیتر آب‌مقطر حاوی ۰/۳۵ میلی‌لیتر اسید هیدروکلریک غلیظ حل شد. سپس ۱۰۰ میلی‌گرم کلرید سدیم به محلول اضافه گردید. حجمنهایی محلول توسط آب‌مقطر به ۵۰ میلی‌لیتر رسانده شد. pH نهایی محلول با استفاده از اسید هیدروکلریک غلیظ به ۱/۲ تنظیم گردید. آماده‌کردن محیط روده با حل نمودن ۳۴۰ میلی‌گرم از پتاسیم فسفات مونوبازیک^۵ در ۱۰ میلی‌لیتر آب‌مقطر انجام گرفت. سپس ۴ میلی‌لیتر از محلول هیدروکسید سدیم ۰/۲ مولار و ۵۰۰ میلی‌گرم پانکراتین به محلول تهیه شده افزوده شد. حجم نهایی محلول به ۵۰ میلی‌لیتر و pH نهایی به ۶/۸ رسانده شد. برای انجام آزمایش ۲۰ میکرولیتر از نمونه نanolipozomهای فاقد پوشش و پوشش‌دهی شده با کیتوزان تا رسیدن به حجم ۱ میلی‌لیتر رقیق شده و در تیوب‌های میکروسانتریفیوژ با هر دو محلول شبیه‌سازی شده توسط ترمومیکسر (مدل 300.16 RO, Gerhardt, آلمان) ساخت. به طور مداوم انکوبه شدند. مدت زمانی انکوباسیون برای محیط SGF، ۴ ساعت و محیط SIF، ۲ ساعت در نظر گرفته شد. در فواصل زمانی موردنظر در هر دو محیط مقادیر FPH براساس روش اندازه‌گیری پروتئین با کیت BCA اندازه‌گیری گردید.

ارزیابی فعالیت آنتی‌اکسیدانی نanolipozomهای حامل پپتید

DPPH فعالیت مهارکنندگی رادیکال‌های آزاد ظرفیت مهارکنندگی رادیکال آزاد DPPH در نمونه‌ها طبق روش Taheri و همکاران (۲۰۱۴) با اندکی تغییرات اندازه‌گیری شد. قبل از انجام آزمایش نanolipozomها به مدت ۵ دقیقه به منظور رهایش پپتیدها در دمای ۱۰۰ درجه سانتی‌گراد قرار گرفتند. سپس ۲ میلی‌لیتر از نمونه با ۲ میلی‌لیتر از DPPH ۰/۱۶ میلی‌مولا (محلول در اتانول ۹۵ درصد) مخلوط شد. نمونه‌ها به مدت ۳۰ دقیقه در دمای اتاق تاریک قرار داده شدند و در انتهای میزان جذب محلول حاصل در طول موج ۵۱۷ نانومتر اندازه‌گیری گردید. نمونه شاهد نیز به روش مشابه تهیه و

تعیین راندمان ریزپوشانی نanolipozomها (EE^۱ درصد) بررسی راندمان ریزپوشانی طبق روش Li (۲۰۱۴) با اندکی تغییر انجام گرفت. به طور خلاصه، در این روش راندمان ریزپوشانی از طریق محاسبه نسبت FPH کپسوله شده به FPH آزاد با استفاده از کیت سنجش MA, Waltham, Thermo Scientific (BCA^۲) ساخت آمریکا) ارزیابی شد. بدین ترتیب میزان پپتید آزاد (غیرکپسوله) اندازه‌گیری و با اختلاف FPH کل و آزاد، مقادیر FPH کپسوله شده محاسبه گردید. این روش براساس واکنش احیای Cu⁺² به Cu⁺⁺ توسط پروتئین در محیط قلیایی و تکنیک رنگ‌سنجی انجام می‌شود. بدین‌منظور ۱ میلی‌لیتر از نanolipozomهای پوشش‌دهی شده با کیتوزان به مدت ۱۰ دقیقه با ۸۰۰۰ دور بر دقیقه، Channarong, Chaicumpa, Sinchaipanid, & Mitrevej, 2011 درخصوص نanolipozomهای فاقد پوشش نیز، نمونه‌ها به مدت ۱ ساعت در دمای ۴ درجه سانتی‌گراد در ۴۰۰۰۰ دور بر دقیقه، سانتریفیوژ (CP100WX, Hitachi, ژاپن)، سپس مایع رویی جمع‌آوری گردید (Liu, Liu, 2015).

در ادامه ۰/۵ میلی‌لیتر از مایع روماند با استفاده از اولترافیلتراسیون فیلتر و بدین ترتیب FPH کپسوله شده و کیتوزان آزاد جدا گردید. ۰/۱ میلی‌لیتر از نمونه با معرف BCA به نسبت ۱:۲۰ مخلوط شده و به مدت ۲ ساعت در دمای اتاق قبل از قرائت میزان جذب در ۵۶۲ نانومتر توسط اسپکتروفوتومتر (مدل UV-VIS 6800, Jenway, آلمان) قرار داده شد. لیپوزومهای خام تهیه شده (FPH) سانتریفیوژ و فیلتر شدند و به عنوان شاهد در اسپکتروفوتومتر مورد استفاده قرار گرفت. مقادیر FPH که توسط عمل سانتریفیوژ و شستشو حذف نگردیدند، کاملاً در داخل نanolipozomها کپسوله شده بودند.

رهایش FPH در محیط‌های شبیه‌سازی شده معده (SIF^۳) و روده (SGF^۴)

به‌منظور ارزیابی پایداری و اثرات محافظتی پوشش کیتوزان، نanolipozomهای فاقد پوشش و پوشش‌دهی شده

¹ Encapsulation Efficiency

² Bicinchoninic Acid

³ Simulated Gastric Fluid

⁴ Simulated Intestinal Fluid

نتایج و بحث

ارزیابی خصوصیات فیزیکی نانولیپوزوم‌های حامل پپتید اندازه ذره و تعیین توزیع اندازه ذره (PDI) اندازه ذرات یک عامل مهم و اثرگذار بر میزان پایداری، راندمان ریزپوشانی و رهایش ترکیبات زیستفعال می‌باشد. همان‌طور که در جدول (۱) مشاهده می‌شود میانگین اندازه ذرات لیپوزوم‌های تهیه شده با سونیکاسیون میله‌ای حدود ۴۵۹/۱ تا ۳۳۴/۵ نانومتر و دارای شاخص پراکندگی در محدوده ۰/۳۸۷ تا ۰/۴۸۴ بود که نشان‌دهنده اندازه ذره مناسب و یکنواختی توزیع ذرات است و با نتایج Rasti و همکاران (۲۰۱۲) مطابقت دارد. نتایج نشان داد نانولیپوزوم‌های حامل پپتید پوشش‌دهی شده با کیتوزان، اندازه‌ای کوچک‌تر از نانولیپوزوم‌های فاقد پوشش داشتند. به طوری که با افزایش غلظت کیتوزان، اندازه ذرات روندی کاهشی را نشان داد (جدول ۱). Da Boelter, Da Silva, Silveira و Brandelli (۲۰۱۴) میانگین اندازه ذرات نانولیپوزوم‌های فسفاتیدیل کولین حاوی پپتیدهای ضدمیکروبی را ۱۵۰ نانومتر و همچنین Hosseini Ramezanzadeh و Nikkhah (۲۰۱۷) نیز اندازه ذرات لیپوزوم‌های تولید شده را ۱۳۱/۵ نانومتر گزارش نمودند که همسو با نتایج تحقیق حاضر بود. Bang و همکاران (۲۰۱۱) در تحقیق خود علت کاهش در اندازه لیپوزوم‌ها را با افزودن مقادیر بالای کیتوزان، بهدلیل نیروی انقباض ناشی از مقاومت یونی بین لیپوزوم‌های بارگذاری شده و پوشش‌دهی شده با کیتوزان بیان کردند به طوری که با افزایش غلظت کیتوزان، نیروی انقباضی رشدیافت و منجر به کاهش بیشتر در اندازه ذرات می‌گردد (Bang *et al.*, 2011). طبق مطالعه‌های صورت گرفته، اندازه ذرات نانولیپوزوم‌ها در تحقیق حاضر به منظور به کار گیری در صنایع غذایی و دارویی مناسب گزارش می‌شود (Wu *et al.*, 2015). با توجه به اثرات اندازه ذرات بر میزان پایداری و همچنین ظرفیت آزادسازی ترکیبات محصور شده در هسته، این شاخص بسیار مورد توجه قرار گرفته است. در این تحقیق نتایج مرتبط با اندازه ذرات نانولیپوزوم‌ها با کارهای مشابه انجام شده توسط Zhang, Duan و Zhuang (۲۰۱۲) و همچنین Ghorbanzadeh و همکاران (۲۰۱۲) مطابقت داشت و اندک تفاوت مشاهده در نتایج می‌تواند بهدلیل تفاوت در زمان سونیکاسیون و همچنین ترکیبات شرکت‌کننده در دیسپرسیون باشد.

اتanol ۹۵ درصد جایگزین نمونه قرار گرفت. منحنی استاندارد با استفاده از BHT در محدوده صفر تا ۵۰۰ میکروگرم بر میلی‌لیتر آماده شد. در آزمون حاضر اسید آسکوربیک به عنوان کنترل مثبت در نظر گرفته شد. فعالیت مهارکنندگی رادیکال آزاد با رابطه (۲) محاسبه گردید:

$$\text{رابطه (۲)} = \frac{\text{جذب شاهد - جذب نمونه}}{\text{جذب شاهد}} \times 100$$

فعالیت مهارکنندگی رادیکال‌های آزاد ABTS قدرت مهارکنندگی رادیکال ABTS براساس روش Wang, Chi, Li, Zhang و Luo (۲۰۱۲) با اندکی اصلاحات اندازه‌گیری شد. در ابتدا نانولیپوزوم‌ها به مدت ۵ دقیقه به منظور رهایش پپتیدها در دمای ۱۰۰ درجه سانتی‌گراد قرار گرفتند. سپس محلول ABTS (۷ میلی‌مولار) با پتاسیم پرسولفات (۲/۴۵ میلی‌مولار) مخلوط شده و در تاریکی به مدت ۱۶ ساعت در دمای اتاق نگهداری گردید. محلول رادیکال ABTS در بافر فسفات پتاسیم نمکی (pH=۷/۴) تا رسیدن به جذب ۷۳۴ نانومتر در ۰/۰۲±۰/۷ نانومتر ۲۰ رقیق شد. ۹۸۰ میلی‌لیتر از محلول ABTS با میکرولیتر از غلظت‌های مختلف نمونه مخلوط و میزان جذب نمونه‌ها در طول موج ۷۳۴ نانومتر قرائت گردید. محلول ABTS همراه با آب مقطر به عنوان نمونه شاهد در نظر گرفته می‌شود. توانایی مهارکنندگی رادیکال ABTS نیز با استفاده از رابطه (۲) محاسبه گردید.

تجزیه و تحلیل آماری

جهت بررسی حاضر برای هریک از تیمارها، سه تکرار در نظر گرفته شد. ابتدا با استفاده از آزمون کولموگروف اسمیرنوف و لون به ترتیب نرمال بودن و همگنی داده‌ها ارزیابی گردید. تمام تجزیه و تحلیل داده‌ها با نرم‌افزار SPSS نسخه ۲۱ و نمودارهای موجود با Microsoft Excel نسخه ۲۰۱۳ انجام پذیرفت. جهت بررسی اختلاف بین داده‌های حاصله، از تجزیه واریانس یک طرفه (One-way ANOVA) و همچنین جهت تعیین وجود تفاوت معنی‌دار بین مقادیر میانگین تیمارهای مختلف از آزمون دانکن در سطح $P \leq 0/05$ استفاده شد.

راندمان ریزپوشانی نانولیپوزوم‌ها (EE درصد)

راندمان ریزپوشانی یکی از فاکتورهای مهم در تعیین پایداری ترکیبات کپسوله شده می‌باشد، زیرا نشانگر توانایی نانولیپوزوم در جلوگیری از خروج هسته درونی است. راندمان ریزپوشانی در نانولیپوزوم‌های حامل پیتید با درنظر گرفتن غلظت‌های متفاوت کیتوزان مورد بررسی قرار گرفت. نتایج نشان داد تفاوت در مقادیر کیتوزان تأثیر معنی‌داری ($P \leq 0.05$) بر مقادیر راندمان ریزپوشانی داشت. به طوری که با افزایش درصد کیتوزان مورد استفاده در پوشش نانولیپوزوم‌ها، راندمان ریزپوشانی نیز افزایش داشت (جدول ۱). راندمان ریزپوشانی کمتر در نانولیپوزوم‌های فقد پوشش را می‌توان به آسیب ناشی از عمل اولتراسانتریفیوژ دانست. ریزپوشانی پیتید در نانولیپوزوم‌های پوشش دار ($5/0$ درصد کیتوزان) $86 \pm 2/65$ درصد گزارش گردید. به عبارت دیگر تنها کمتر از ۱۵ درصد از روغن ماهی به صورت غیرکپسوله وجود داشت که با نتایج Hadian (۲۰۱۳)، Abbasi و Barzegar (۲۰۱۳) مطابقت داشت. به طوری که تحقیق‌ها نشان داد روش فراصوت در عین سادگی، میزان درون‌پوشانی قابل قبولی دارد. ترکیبات زیست‌فعال، بسته به ویژگی‌های خاص خود نظیر حلایت و قطبیت می‌توانند با لیپوزوم‌ها برهمکنش نمایند. به طوری که ممکن است در فاز آبی یا لیپیدی کپسوله شده و یا جذب قسمت سطحی لیپوزوم گردد. دانستن ویژگی‌های لیپوزوم، جهت بهبود فرمولاسیون با کارابی کپسولاسیون مناسب، ضروری است. راندمان ریزپوشانی عاملی مؤثر بر خصوصیات فیزیکو‌شیمیایی نانولیپوزوم مانند پایداری اکسیداتیو، پایداری فیزیکی، مورفولوژی و میزان رهایش می‌باشد. به طور کلی این دیدگاه وجود دارد که پایداری ترکیبات با افزایش راندمان، افزایش می‌یابد و برای دستیابی به شرایط بهینه باید راندمان ریزپوشانی را افزایش داد (Drusch et al., 2012).

پتانسیل زتاب سطح لیپوزوم‌ها

پتانسیل زتاب بهترین شاخص برای تعیین وضعیت الکتریکی سطحی سیستم‌های کلوهیدی است. چون نشان دهنده میزان تجمیع بار در لایه غیرمتحرک و شدت جذب یون‌های مخالف به سطح ذره و درنتیجه میزان پایداری الکترواستاتیک است. کاهش اختلاف پتانسیل زتاب به زیر مقدار بحرانی، موجب در هم ریختن لایه دوگانه باردار اطراف ذرات و تجمیع ذرات می‌شود. نتایج تحقیق حاضر نشان داد تمامی لیپوزوم‌های حاوی پیتید دارای پتانسیل زتاب بالا هستند که بیانگر نقش نیروی دافعه الکترواستاتیک در پایداری نانولیپوزوم‌ها و جلوگیری از تجمیع آنها در طول زمان است. وقتی بار کلی روی ذرات افزایش می‌یابد، ذرات همدیگر را دفع کرده و بر توده‌ای شدن غلبه می‌کنند. اندازه‌گیری پتانسیل زتاب در کنترل توده‌ای شدن و رسوب نانولیپوزوم‌ها که فاکتورهای مهم در پایداری نانولیپوزوم‌ها هستند، مفید است (Mozafari et al., 2006). در مطالعه حاضر، میانگین پتانسیل زتاب از $-51/7$ میلی‌ولت در نمونه نانولیپوزوم فقد پوشش تا $+50$ میلی‌ولت در نانولیپوزوم‌های پوشش‌دهی شده با غلظت $0/5$ درصد کیتوزان متغیر بود. ذراتی که پتانسیل زتاب آنها از $+30$ میلی‌ولت بیشتر یا از -30 میلی‌ولت کمتر باشد، دارای بیشترین پایداری هستند. همان‌طور که در نتایج بدان اشاره گردید غلظت کیتوزان، عاملی تأثیرگذار بر مقادیر پتانسیل زتاب بود (جدول ۱). به طوری که توانایی پلی‌الکتریک بار برای جذب به سطح لیپوزوم با بار مخالف و ایجاد تغییرات در میزان پتانسیل زتاب به خوبی مشهود بود. با توجه به نتایج به دست آمده از تجزیه و تحلیل پتانسیل زتاب می‌توان دریافت لیپوزوم‌های پوشش‌دهی شده پایدار، زمانی تشکیل می‌گردد که مقادیر کیتوزان نزدیک به غلظت بهینه باشند.

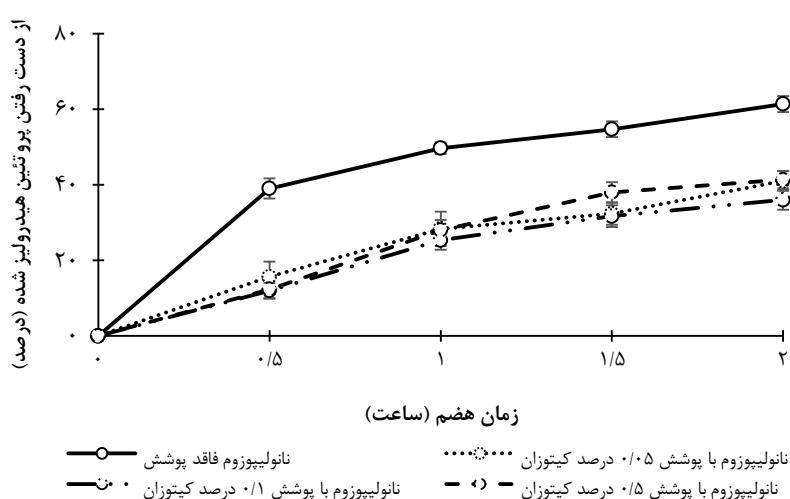
جدول ۱- تأثیر سطوح مختلف کیتوزان ($0/0$ ، $0/05$ و $0/5$ درصد) بر خصوصیات فیزیکی نانولیپوزوم‌های حامل پیتید

میانگین اندازه ذرات (درصد)	شاخص پراکندگی ذرات (نانومتر)	راندمان ریزپوشانی (EE)	پتانسیل زتاب (میلی‌ولت)	داده‌ها به صورت میانگین \pm انحراف معیار است.
$57/33 \pm 6/11$	$0/44 \pm 0/01$	$459/10 \pm 0/46$	$-51/67 \pm 6/51$	نانولیپوزوم‌های فقد پوشش CH
$60/00 \pm 6/24$	$0/39 \pm 0/00$	$429/30 \pm 2/08$	$-32/00 \pm 2/00$	نانولیپوزوم‌های با پوشش CH (۰/۰۵ درصد)
$75/00 \pm 3/61$	$0/48 \pm 0/00$	$384/90 \pm 4/26$	$30/67 \pm 1/15$	نانولیپوزوم‌های با پوشش CH (۰/۱ درصد)
$86/00 \pm 2/65$	$0/42 \pm 0/01$	$334/50 \pm 4/14$	$50/33 \pm 2/52$	نانولیپوزوم‌های با پوشش CH (۰/۵ درصد)

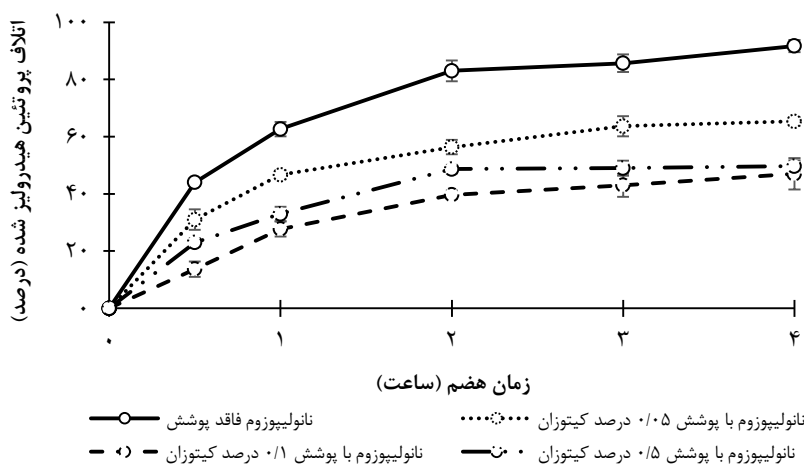
انتشار هسته از طریق لایه‌های پوشش، بخش هیدرولیزی غشا و منافذ موجود در درون غشا نسبت داده‌اند. به طور کلی لیپوزوم‌های فاقد پوشش در محیط‌های اسیدی نسبتاً پایدار هستند (Li, 2014). با این وجود در pH‌های کمتر از ۶/۵، محیط اسیدی می‌تواند سبب هیدرولیز فسفولیپیدهای اشباع‌شده و منجر به بی‌ثباتی لیپوزوم‌ها گردد (Grit, Underberg, & Crommelin, 1993). عدم پایداری در نanoliposomes‌های فاقد پوشش در محیط SIF عمدهاً به دلیل وجود پانکراتین، مخلوط پروتئولیتیک حاوی آنزیم لیپاز، فسفولیپاز و استراز کلسترول می‌باشد (Liu, Ye, Liu, Liu, & Singh, 2013) عمل هیدرولیز، تخریب‌شده و سبب تراوش FPH کپسوله شده از منافذ و حفره‌های شکل‌گرفته در دو لایه لیپیدی گردد. همان‌طور که در شکل (۱) و (۲) مشاهده می‌شود لیپوزوم‌های دارای پوشش در هر دو محیط SIF و SIF نسبت به لیپوزوم‌های فاقد پوشش پایدارتر عمل نموده است که احتمالاً علت این پدیده تشکیل یک لایه محافظتی قوی با جذب الکترواستاتیک بین کیتوزان و سطح Nanoliposomes می‌باشد، که بدین‌وسیله از مواجهه لیپوزوم با محیط خارجی ممانعت به عمل می‌آورد. درخصوص افزایش انتشار پیتید در Nanoliposomes‌های با پوشش ۰/۵ درصد کیتوزان در محیط شبیه‌سازی شده روده، قابل ذکر است از آنجایی که کیتوزان، یک ماده بازی ضعیف است، با بالا رفتن pH به ۶/۸ در محیط SIF بار منفی خود را از دست می‌دهد.

بررسی رهایش FPH در محیط‌های شبیه‌سازی شده معده (SGF) و روده (SIF)

باتوجه به آنکه زمان تخلیه معده برای یک وعدة غذایی استاندارد تقریباً ۱۱۲ دقیقه است (Cann *et al.*, 1983) در حالی که میانگین زمان انتقال در روده کوچک حدود ۲ الی ۴ ساعت به طول می‌انجامد (Davis, Hardy, & Fara, 1986). بنابراین بررسی رهایش پیتیدها در محیط شبیه‌سازی شده معده (SGF) در مدت زمان ۲ ساعت و در محیط شبیه‌سازی شده روده‌ای (SIF) به مدت ۴ ساعت طراحی شده است. شکل‌های (۱) و (۲) اثرات سطوح مختلف پوشش کیتوزان را بر میزان انتشار در دو محیط در فواصل مختلف زمانی نشان می‌دهد. باتوجه به نتایج می‌توان بیان نمود میزان انتشار در تمامی تیمارها در هر دو محیط با گذشت زمان هضم، روند مشابه داشت. نتایج نشان داد در محیط شبیه‌سازی شده معده، رهایش FPH در هر فاصله زمانی با افزایش سطح کیتوزان، کاهش معنی‌داری ($P \leq 0.05$) داشت. درصد تجمیع رهایش FPH در Nanoliposomes‌های فاقد پوشش طی ۲ ساعت عمل هضم در محیط معده، ۶۱/۳۳ درصد، در حالی که در Nanoliposomes‌های با پوشش ۰/۱ درصد CH، ۳۶ درصد محاسبه گردید. رهایش سریع در ۳۰ دقیقه ابتدایی آزمایش احتمالاً به دلیل باز جذب سطحی FPH جذب شده از سطح Nanoliposomes می‌باشد. Shimanouchi, Kuboi, Yoshimoto و Umakoshi (2004) رهایش تدریجی ترکیبات هسته پس از گذشت ۱ ساعت از عمل هضم را به



شکل ۱- پروفایل رهایش پیتید در Nanolipopidum‌های با پوشش کیتوزان (۰/۰۵ و ۰/۱ درصد) در محیط شبیه‌سازی شده معده

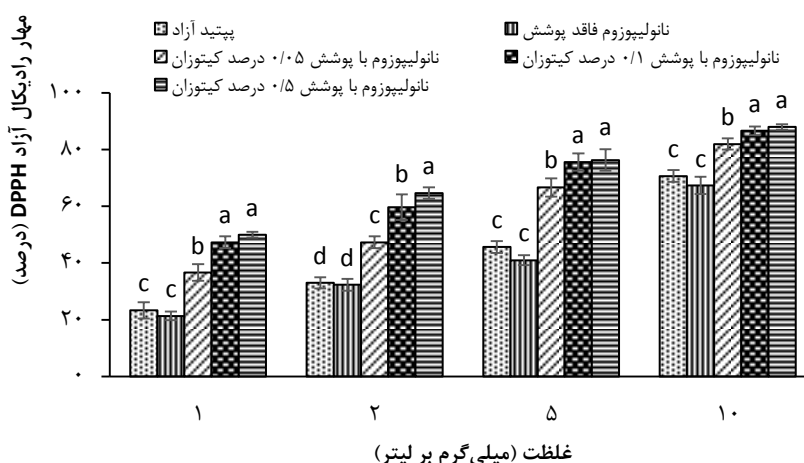


شکل ۲- پروفایل رهایش پپتید در نanolipozom‌های با پوشش کیتوزان (۰/۰۱، ۰/۰۵ درصد) در محیط شبیه‌سازی شده روده

پپتیدهای آزاد و نanolipozom‌های حامل پپتید وجود نداشت ($P \geq 0/05$). در واقع نتایج حاکی از این است که پپتید بهوسیله مواد لیپیدی به طور کامل کپسوله شده است بدون آنکه از فعالیت بیولوژیکی آن کاسته شود. مطالعه‌های پیشین بیان کردند که فعالیت آنتی‌اکسیدانی ترکیبات هیدرولیزشده ماهی مرتبه با بعضی از اسیدهای آمینه مانند تیروزین، متیونین، هیستیدین، لیزین، گلاسین و تریپتوفان می‌باشد (Nasri *et al.*, 2013; Taheri *et al.*, 2014; Wang *et al.*, 2012). نتایج تحقیق حاضر نشان داد که با افزایش غلظت کیتوزان، میزان فعالیت آنتی‌اکسیدانی نیز افزایش یافت که می‌تواند بهدلیل خصوصیات آنتی‌اکسیدانی کیتوزان موجود در پوشش نanolipozom‌ها باشد (Li, 2014).

ارزیابی فعالیت آنتی‌اکسیدانی نanolipozom‌های حامل پپتید

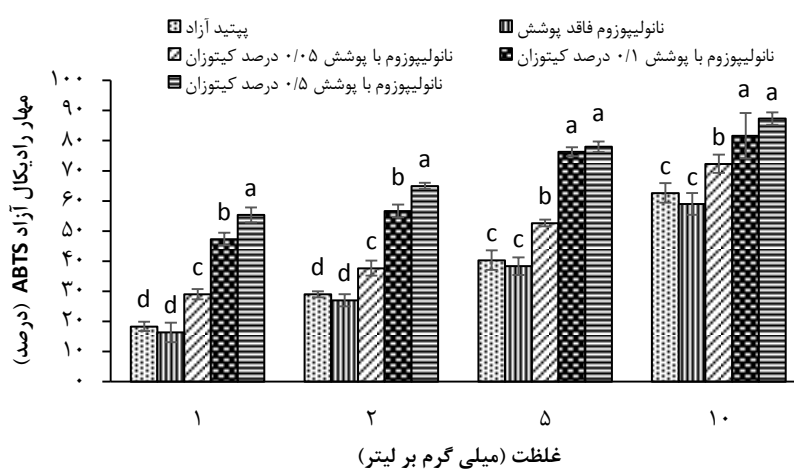
فعالیت مهارکنندگی رادیکال‌های آزاد DPPH نتایج تحقیق حاضر بهوضوح نشان داد پروتئین هیدرولیزشده به دست آمده از امعاواحشای ماهی کپور معمولی، فعالیت ضد اکسیدانی مناسبی در برابر آزمون‌های حذف رادیکال آزاد از خود نشان داد (شکل ۳) که همسو با نتایج Hosseini و همکاران (2017) بود. فعالیت آنتی‌اکسیدانی FPH به میزان قابل توجهی مرتبه با مقدادر بالای اسیدهای آمینه هیدرولیزه می‌باشد که حلالیت در لیپیدها را افزایش داده و بدین ترتیب فعالیت آنتی‌اکسیدانی را افزایش می‌دهند (Mosquera *et al.*, 2014). با توجه به نتایج، اختلاف معنی‌داری بین توانایی مهار رادیکال آزاد در



شکل ۳- فعالیت مهارکنندگی رادیکال DPPH نanolipozom‌های حاوی پپتید در غلظت‌های مختلف

فاقد پوشش، اختلاف قابل ملاحظه‌ای مشاهده نگردید و با نتایج Hosseini و همکاران (۲۰۱۷) همخوانی داشت. بنابراین نه تنها فرایند ریزپوشانی تأثیر منفی بر فعالیت آنتیاکسیدانی لیپوزوم‌های حاوی پیتید نداشت، بلکه بهدلیل ویژگی‌های آنتیاکسیدانی کیتوzan موجود در پوشش سبب افزایش فعالیت مهار رادیکال آزاد گردید.

فعالیت مهار کنندگی رادیکال‌های آزاد ABTS
نتایج تحقیق اخیر حاکی از وجود رابطه‌ای قوی بین سطوح کیتوzan و اثرات مهار رادیکال آزاد بود (شکل ۴). بهطوری‌که با افزایش غلظت کیتوzan مورد استفاده در پوشش نanolipozom‌ها، فعالیت مهارکنندگی نیز روندی افزایشی داشت. اگرچه در تیمار پیتید آزاد و نanolipozom



شکل ۴- فعالیت مهارکنندگی رادیکال ABTS نanolipozom‌های حامل پیتید در غلظت‌های مختلف

پروتئولیتیک و واکنش با سایر عناصر موجود در غذا می‌گردد که در استفاده مستقیم نanolipozom‌های حامل پیتیدهای زیست‌فعال در غذا حائز اهمیت می‌باشد.

تشکر و قدردانی

تحقیق حاضر در راستای بخشی از فرصت مطالعاتی در مؤسسه پژوهشی علوم و صنایع غذایی انجام شده است. بدین‌وسیله از مؤسسه پژوهشی علوم و صنایع غذایی برای کمک‌های مالی و معنوی و نیز از کمک‌های بی‌دریغ کارشناسان آزمایشگاه تشکر و قدردانی به عمل می‌آید.

نتیجه‌گیری
تحقیق حاضر نشان داد، پوشش کیتوzan به‌طور موفقیت‌آمیز با سطوح لیپوزوم تعاملات الکترواستاتیک برقرار نموده و وجود اختلاف در سطوح پوشش مورد استفاده در ساختار نanolipozom، تأثیر قابل ملاحظه‌ای بر اندازه ذرات، پایداری و راندمان ریزپوشانی خواهد داشت. این نتایج نشان داد پروتئین هیدرولیزشده کپور معمولی، حاوی پیتیدهایی است که به عنوان مهارکننده رادیکال آزاد DPPH و اهداکننده هیدروژن عمل کرده و از این طریق رادیکال آزاد را به مولکول‌های پایدار تبدیل می‌کنند. ریزپوشانی پیتیدها در لیپوزوم سبب غلبه بر تخریب

منابع

- Agrawal, A. K., Harde, H., Thanki, K., & Jain, S. (2013). Improved stability and antidiabetic potential of insulin containing folic acid functionalized polymer stabilized multilayered liposomes following oral administration. *Biomacromolecules*, 15(1), 350. doi:<https://doi.org/10.1021/bm401580k>
- Bang, S., Hwang, I., Yu, Y., Kwon, H., Kim, D., & Park, H. J. (2011). Influence of chitosan coating on the liposomal surface on physicochemical properties and the release profile of nanocarrier systems. *Journal of Microencapsulation*, 28(7), 595-604. doi:<https://doi.org/10.3109/02652048.2011.557748>

- Cann, P., Read, N., Cammack, J., Childs, H., Holden, S., Kashman, R., . . . Swallow, K. (1983). Psychological stress and the passage of a standard meal through the stomach and small intestine in man. *Gut*, 24(3), 236-240.
- Centenaro, G. S., Salas-Mellado, M., Pires, C., Batista, I., Nunes, M. L., & Prentice, C. (2014). Fractionation of protein hydrolysates of fish and chicken using membrane ultrafiltration: investigation of antioxidant activity. *Applied biochemistry and biotechnology*, 172(6), 2877-2893. doi:<https://doi.org/10.1007/s12010-014-0732-6>
- Chakrabarti, S., Jahandideh, F., & Wu, J. (2014). Food-Derived Bioactive Peptides on Inflammation and Oxidative Stress. *BioMed Research International*, 2014, 11. doi:<http://dx.doi.org/10.1155/2014/608979>
- Chalamaiyah, M., Hemalatha, R., & Jyothirmayi, T. (2012). Fish protein hydrolysates: proximate composition, amino acid composition, antioxidant activities and applications: a review. *Food Chemistry*, 135(4), 3020-3038. doi:<https://doi.org/10.1016/j.foodchem.2012.06.100>
- Channarong, S., Chaicumpa, W., Sinchaipanid, N., & Mitrevej, A. (2011). Development and evaluation of chitosan-coated liposomes for oral DNA vaccine: the improvement of Peyer's patch targeting using a polyplex-loaded liposomes. *Aaps Pharmscitech*, 12(1), 192-200. doi:<https://doi.org/10.1208/s12249-010-9559-9>
- Da Silva, I. M., Boelter, J. F., Da Silveira, N. P., & Brandelli, A. (2014). Phosphatidylcholine nanovesicles coated with chitosan or chondroitin sulfate as novel devices for bacteriocin delivery. *Journal of nanoparticle research*, 16(7), 2479. doi:<https://doi.org/10.1007/s11051-014-2479-y>
- Danquah, M., & Agyei, D. (2012). Pharmaceutical applications of bioactive peptides. *OA biotechnology*, 1(2), 1-7. doi:<https://doi.org/10.13172/2052-0069-1-2-294>
- Davis, S., Hardy, J., & Fara, J. (1986). Transit of pharmaceutical dosage forms through the small intestine. *Gut*, 27(8), 886-892. doi:<http://dx.doi.org/10.1136/gut.27.8.886>
- Diniz, F. M., & Martin, A. M. (1996). Use of response surface methodology to describe the combined effects of pH, temperature and E/S ratio on the hydrolysis of dogfish (*Squalus acanthias*) muscle. *International Journal of Food Science & Technology*, 31(5), 419-426. doi:<https://doi.org/10.1046/j.1365-2621.1996.00351.x>
- Drusch, S., Serfert, Y., Berger, A., Shaikh, M., Rätzke, K., Zaporojtchenko, V., & Schwarz, K. (2012). New insights into the microencapsulation properties of sodium caseinate and hydrolyzed casein. *Food Hydrocolloids*, 27(2), 332-338. doi:<https://doi.org/10.1016/j.foodhyd.2011.10.001>
- Galla, N. R., Pamidighantam, P. R., Akula, S., & Karakala, B. (2012). Functional properties and in vitro antioxidant activity of roe protein hydrolysates of Channa striatus and Labeo rohita. *Food Chemistry*, 135(3), 1479-1484. doi:<https://doi.org/10.1016/j.foodchem.2012.05.098>
- Ghorbanzade, T., Jafari, S. M., Akhavan, S., & Hadavi, R. (2017). Nano-encapsulation of fish oil in nano-liposomes and its application in fortification of yogurt. *Food Chemistry*, 216, 146-152. doi:<https://doi.org/10.1016/j.foodchem.2016.08.022>
- Grit, M., Underberg, W. J. M., & Crommelin, D. J. A. (1993). Hydrolysis of Saturated Soybean Phosphatidylcholine in Aqueous Liposome Dispersions. *Journal of pharmaceutical sciences*, 82(4), 362-366. doi:<https://doi.org/10.1002/jps.2600820405>
- Hadian, Z., Sahari, M., Moghimi, H., Barzegar, M., & Abbasi, S. (2013). Preparation and characterization of nanoliposomes containing docosahexaenoic and eicosapentaenoic acids by extrusion and probe sonication. *Iranian Journal of Nutrition Sciences & Food Technology*, 8(1), 219-230 (in Persian).
- Hosseini, S. F., Ramezanpour, L., & Nikkhah, M. (2017). Nano-liposomal entrapment of bioactive peptidic fraction from fish gelatin hydrolysate. *International Journal of Biological Macromolecules*, 105, 1455-1463. doi:<https://doi.org/10.1016/j.ijbiomac.2017.05.141>
- Kuboi, R., Shimanouchi, T., Yoshimoto, M., & Umakoshi, H. (2004). Detection of protein conformation under stress conditions using liposomes as sensor materials. *Sensors and Materials*, 16(5), 241-254.

- Lassoued, I., Mora, L., Barkia, A., Aristoy, M.-C., Nasri, M., & Toldrá, F. (2015). Bioactive peptides identified in thornback ray skin's gelatin hydrolysates by proteases from *Bacillus subtilis* and *Bacillus amyloliquefaciens*. *Journal of Proteomics*, 128, 8-17. doi:<https://doi.org/10.1016/j.jprot.2015.06.016>
- Li, Z. (2014). *Encapsulation of bioactive salmon protein hydrolysates with chitosan-coated liposomes*. (Master's thesis), Dalhousie University, Halifax, Nova Scotia, Retrieved from <https://dalSpace.library.dal.ca/bitstream/handle/10222/54045/Li-Zhiyu-MSc-FOSC-Aug-2014.pdf?sequence=3&isAllowed=y>
- Liu, W., Ye, A., Liu, W., Liu, C., & Singh, H. (2013). Stability during in vitro digestion of lactoferrin-loaded liposomes prepared from milk fat globule membrane-derived phospholipids. *Journal of Dairy Science*, 96(4), 2061-2070. doi:<https://doi.org/10.3168/jds.2012-6072>
- Liu, Y., Liu, D., Zhu, L., Gan, Q., & Le, X. (2015). Temperature-dependent structure stability and in vitro release of chitosan-coated curcumin liposome. *Food Research International*, 74, 97-105. doi:<https://doi.org/10.1016/j.foodres.2015.04.024>
- Mosquera, M., Giménez, B., da Silva, I.M., Boelter, J. F., Montero, P., Gómez-Guillén, M. C., & Brandelli, A. (2014). Nanoencapsulation of an active peptidic fraction from sea bream scales collagen. *Food Chemistry*, 156, 144-150. doi:<https://doi.org/10.1016/j.foodchem.2014.02.011>
- Mozafari, M., Flanagan, J., Matia-Merino, L., Awati, A., Omri, A., Suntres, Z., & Singh, H. (2006). Recent trends in the lipid-based nanoencapsulation of antioxidants and their role in foods. *Journal of the Science of Food and Agriculture*, 86(13), 2038-2045. doi:<https://doi.org/10.1002/jsfa.2576>
- Nalinanon, S., Benjakul, S., Kishimura, H., & Shahidi, F. (2011). Functionalities and antioxidant properties of protein hydrolysates from the muscle of ornate threadfin bream treated with pepsin from skipjack tuna. *Food Chemistry*, 124(4), 1354-1362. doi:<https://doi.org/10.1016/j.foodchem.2010.07.089>
- Nasri, R., Younes, I., Jridi, M., Trigui, M., Bougatef, A., Nedjar-Arroume, N., . . . Karra-Châabouni, M. (2013). ACE inhibitory and antioxidative activities of Goby (*Zosterisessor ophiocephalus*) fish protein hydrolysates: effect on meat lipid oxidation. *Food Research International*, 54(1), 552-561. doi:<https://doi.org/10.1016/j.foodres.2013.07.001>
- Ovissipour, M., Abedian, A., Motamedzadegan, A., Rasco, B., Safari, R., & Shahiri, H. (2009). The effect of enzymatic hydrolysis time and temperature on the properties of protein hydrolysates from Persian sturgeon (*Acipenser persicus*) viscera. *Food Chemistry*, 115(1), 238-242. doi:<https://doi.org/10.1016/j.foodchem.2008.12.013>
- Page, D. T & , Cudmore, S. (2001). Innovations in oral gene delivery: challenges and potentials. *Drug Discovery Today*, 6(2), 92-101. doi:[https://doi.org/10.1016/S1359-6446\(00\)01600-7](https://doi.org/10.1016/S1359-6446(00)01600-7)
- Picot, L., Ravallec, R., Fouchereau-Peron, M., Vandajan, L., Jaouen, P., Chaplain-Derouiniot, M., . . . Bourseau, P. (2010). Impact of ultrafiltration and nanofiltration of an industrial fish protein hydrolysate on its bioactive properties. *Journal of the Science of Food and Agriculture*, 90(11), 1819-1826. doi:<https://doi.org/10.1002/jsfa.4020>
- Rasti, B., Jinap, S., Mozafari, M. R., & Yazid, A. M. (2012). Comparative study of the oxidative and physical stability of liposomal and nanoliposomal polyunsaturated fatty acids prepared with conventional and Mozafari methods. *Food Chemistry*, 135(4), 2761-2770. doi:<https://doi.org/10.1016/j.foodchem.2012.07.016>
- Razali, A., Amin, A., & Sarbon, N. (2015). Antioxidant activity and functional properties of fractionated cobia skin gelatin hydrolysate at different molecular weight. *International Food Research Journal*, 22(2), 651-660.
- Rekha, M. R., & Sharma, C. P. (2011). Chapter 8 - Nanoparticle Mediated Oral Delivery of Peptides and Proteins: Challenges and Perspectives. In C. Van Der Walle (Ed.), *Peptide and Protein Delivery* (pp. 165-194). Boston : Academic Press.
- Segura-Campos, M., Chel-Guerrero, L., Betancur-Ancona, D., & Hernandez-Escalante, V. M. (2011). Bioavailability of Bioactive Peptides. *Food Reviews International*, 27(3), 213-226. doi:<https://doi.org/10.1080/87559129.2011.563395>

- Taheri, A., Sabeena Farvin, K. H., Jacobsen, C., & Baron, C. P. (2014). Antioxidant activities and functional properties of protein and peptide fractions isolated from salted herring brine. *Food Chemistry*, 142, 318-326. doi:<https://doi.org/10.1016/j.foodchem.2013.06.113>
- Vignesh, R., Haq, M. B., Devanathan ,K., & Srinivasan, M. (2011). Pharmacological potential of Fish extracts. *Archives of Applied Sciences Research*, 3(5), 52-58 .
- Wang, B., Li, Z.-R., Chi, C.-F., Zhang, Q.-H., & Luo, H.-Y. (2012). Preparation and evaluation of antioxidant peptides from ethanol-soluble proteins hydrolysate of *Sphyrna lewini* muscle. *Peptides*, 36(2), 240-250. doi:<https://doi.org/10.1016/j.peptides.2012.05.013>
- Wu, J., Zhao, L., Xu, X., Bertrand, N., Choi, W. I., Yameen, B., . . . MacLean, J. L. (2015). Hydrophobic cysteine poly) disulfide)-based redox-hypersensitive nanoparticle platform for cancer theranostics. *Angewandte Chemie International Edition*, 54(32), 9218-9223. doi:<https://doi.org/10.1002/anie.201503863>
- Zhang, Y., Duan, X., & Zhuang, Y. (2012). Purification and characterization of novel antioxidant peptides from enzymatic hydrolysates of tilapia (*Oreochromis niloticus*) skin gelatin. *Peptides*, 38(1), 13-21. doi:<https://doi.org/10.1016/j.peptides.2012.08.014>

The Production and Evaluation of Nanoliposomes Containing Bioactive Peptides Derived from Fish Wastes Using the Alkalase Enzyme

Shirin Hasani¹, Mostafa Shahidi Noghabi^{2*}, Seyed Mehdi Ojagh³

- 1- Ph.D. Student of Sea Food Processing, Gorgan University of Agriculture Sciences and Natural Resources, Gorgan, Iran
2- Associate Professor, Department of Food Chemistry, Research Institute of Food Science and Technology, Mashhad, Iran
* Corresponding author (m.shahidi@rifst.ac.ir)
3- Associate Professor, Department of Sea Food Processing, Gorgan University of Agriculture Sciences and Natural Resources, Gorgan, Iran

Abstract

In recent years, several studies have focused on the production of bioactive peptides from fish waste due to its beneficial effects on human health. Bioactive peptides with low molecular weight require protective methods to increase gastrointestinal stability and active absorption, controlled release and optimized efficacy during oral delivery. The aim of this study was to develop an oral phospholipid nanoliposomal system incorporated with bioactive peptides derived from fish protein hydrolysate (FPH) of common carp (*Cyprinus carpio*) in chitosan coating (0.05, 0.1, 0.5% w/v) by the alkalase enzyme. The results showed that chitosan coating greatly improved the stability of nanoliposomes. The average particle size was in the range of 339-459 nm with a zeta potential of -51.7 to +50 and a poly dispersity index (PDI) of 388- 0.487 in nanoliposomes. The Encapsulation Efficiency (EE%) values were significantly influenced by changes in the concentration of chitosan and the maximum EE% (86± 2.65) was observed in the nanoliposome coated with 0.5% chitosan. Studying the releasing rate of the peptide in simulated gastric fluid (SGF) and simulated intestinal fluid (SIF) showed the effect of coating on the stability of peptides in simulated biological environments. Also, the evaluation of antioxidant activity by DPPH and ABTS tests showed that there was a high activity of radical scavenging activity in nanoliposomes in chitosan-coated and non-coated samples. The results of this study showed that encapsulation of bioactive peptid in the liposomal system could be a useful approach for direct application of peptides with antioxidant potential in food products.

Keywords: Antioxidant Activity, Bioactive Peptide, Chitosan, Nanoliposome, Release

بهینه‌سازی تولید پروتئین هیدرولیز شده با قابلیت ضد اکسندگی بالا از کنجاله کنجد به کمک روش سطح پاسخ

عذرًا موسوی نسب^۱، علیرضا صادقی ماهونک^{۲*}، محمد قربانی^۲، مهران اعلمی^۲، نسیم مشگین فر^۳

۱-دانش آموخته کارشناسی ارشد، گروه علوم و صنایع غذایی، دانشگاه علوم کشاورزی و منابع طبیعی گرگان، گرگان، ایران

۲-دانشیار، گروه علوم و صنایع غذایی، دانشگاه علوم کشاورزی و منابع طبیعی گرگان، گرگان، ایران

* نویسنده مسئول (sadeghiaz@gau.ac.ir)

۳-دانش آموخته دکتری، گروه علوم و صنایع غذایی، دانشگاه علوم کشاورزی و منابع طبیعی گرگان، گرگان، ایران

تاریخ دریافت: ۱۳۹۶/۰۴/۲۸

تاریخ پذیرش: ۱۳۹۷/۰۲/۲۵

چکیده

واژه‌های کلیدی
بهینه‌سازی
پروتئین هیدرولیز شده
روش سطح پاسخ
کنجاله کنجد
هیدرولیز آنزیمی

هدف از این پژوهش تولید پروتئین هیدرولیز شده از کنجاله کنجد با بالاترین فعالیت ضد اکسندگی توسط روش آماری سطح پاسخ بود. پروتئین کنجاله کنجد، که یک محصول کم ارزش است و اغلب به مصرف دام می‌رسد را می‌توان از طریق هیدرولیز آنزیمی، توسط آنزیم آکالاز به پروتئین هیدرولیز شده بالرزش افزوده مناسب تبدیل نمود. فاکتورهایی که در این پژوهش جهت رسیدن به بیشترین میزان فعالیت ضد اکسندگی بررسی شدند شامل: دما (۴۰-۳۰ درجه سانتی گراد)، زمان (۱۸۰-۵۵ دقیقه) و نسبت آنزیم به سوبسترا (۱-۳ درصد) بودند. تأثیر این پارامترها به عنوان متغیر مستقل در هیدرولیز بر قابلیت مهار رادیکال آزاد توسط معادله درجه دوم برآش گردید. نتایج حاصل از بهینه‌سازی پروتئین هیدرولیز شده براساس میزان مهار رادیکال دی فنیل ۲،۰ دی فنیل ۱، پیکریل هیدرولیز (DPPH) توسط روش سطح پاسخ نشان داد که مقدادری بهینه برای مهار رادیکال DPPH در دمای ۵۲/۰ درجه سانتی گراد، زمان ۱۲۵/۴۹ دقیقه و نسبت آنزیم به سوبسترا ۳ درصد به دست می‌آید. حداقل مقدادری به دست آمده برای مهار رادیکال DPPH ۶۶/۵ درصد بود. همچنین نتایج حاصل نشان داد که تولید پروتئین هیدرولیز شده به صورت مؤثری تحت تأثیر شرایط واکنش قرار دارد، در واقع هریک از فاکتورهای دما، زمان و مقدار آنزیم تأثیر معنی‌داری بر خصوصیات محصول دارند و پروتئین هیدرولیز شده کنجاله کنجد می‌تواند قابلیت کاربرد در فرمولاسیون مواد غذایی به عنوان ترکیب ضد اکسندگ طبیعی داشته باشد.

اقتصادی منبع مناسب و قابل توجیه برای تولید پروتئین های هیدرولیز شده باشند. تحقیق های اخیر به سمتی پیش رفته است که علاوه بر محصولات بالرزش مانند دانه های روغنی و روغن آنها، می‌توان از کنجاله پس از فرایند روغن کشی شده آنها که عموماً مورد استفاده دام قرار می‌گیرد، استفاده مجدد صورت گیرد (Chatterjee, 2015). (Dey, Ghosh, & Dhar,

مقدمه

کنجد^۱ به خانواده پدالیاسه^۲ تعلق دارد و یکی از گیاهان زراعی بالرزش است. بیشترین بخش کاربردی کنجد، دانه آن است که علاوه بر چربی، حاوی پروتئین نیز می‌باشد (Rastegar, 2005). از طرفی کنجاله دانه کنجد و محصولات فرعی فرایند شده از آنها می‌تواند از لحاظ

¹ *Sesame Indicum*

² Pedaliaceae

(Tang *et al.*, 2012)، (Fang, 2009) بادامزه‌مینی (Ajibola, Fashakin, Fagbemi, & Chen, Muramoto, & Yamauchi, 2011) (Aluko, 1995) و فعالیت ضداکسندگی از خود نشان می‌دهند.

روش سطح پاسخ^۳ روشی مفید جهت بهینه‌سازی فرایندهای غذایی می‌باشد (Diniz & Martin, 1996) (Meshgin Far ۲۰۱۲) از روشن آماری سطح پاسخ جهت بهینه‌سازی شرایط فرایند هیدرولیز پروتئین روده و معده گوسفند با استفاده از آنزیم آلکالاز (۲/۴ واحد بر گرم) استفاده نمود. نتایج حاصل از تجزیه شیمیابی پروتئین هیدرولیز شده، محتوی بالای پروتئین (۸۳/۷۸ درصد) و میزان بسیار کم چربی (۰/۳۴ درصد) و همچنین فعالیت آنتی‌اکسیدانی بالا را در این محصول نشان داد.

Mehregan-Nikoo و همکاران (۲۰۱۳) اثر هیدرولیز پروتئین ماهی کاراس^۴ توسط آنزیم آلکالاز را بهینه نمود و همچنین شرایط هیدرولیز جهت دستیابی به بیشترین درجه هیدرولیز و فعالیت آنتی‌اکسیدانی با استفاده از روشن سطح پاسخ را موردنبررسی قرار داد. نتایج نشان داد که بالاترین قدرت احیاکنندگی پروتئین‌های هیدرولیز شده در زمان هیدرولیز ۱۲۰ دقیقه به دست آمد که در مقایسه با اسید آسکوربیک ۱۰۰ پی.پی.ام، ۶۷/۳۲ درصد قدرت احیاکنندگی از خود نشان داد.

تجزیه و تحلیل سطح پاسخ اثرات بین متغیرهای مستقل را به تنهایی یا در ترکیب با سایرین تعریف می‌نماید و این روش می‌تواند مدلی ریاضی که کل فرایند Sumaya-Martínez, Castillo-Morales, Favela-Torres, Huerta-Ochoa, & Prado-Barragán, 2005 را توصیف می‌کند را ایجاد کند (). هدف از این پژوهش تجزیه و تحلیل پاسخ اثرات ترکیبی دما، زمان و نسبت آنزیم بر فعالیت ضداکسندگی پروتئین هیدرولیز شده کنجاله کنجد با استفاده از آنزیم آلکالاز بود.

مواد و روش‌ها

مواد خام اولیه

کنجاله کنجد از کارخانه روغن کشی دانه‌های روغنی و رژن واقع در شهرک صنعتی اطراف گرگان خریداری شد و پس از چربی‌زدایی کامل توسط هگزان به آزمایشگاه تجزیه مواد غذایی دانشگاه گرگان منتقل گردید. آنزیم آلکالاز (با

پروتئین‌های هیدرولیز شده مواد غذایی دارای خواص بیولوژیک بالایی می‌باشند که به صورت بالقوه در عملکرد و سلامت انسان استفاده می‌شوند و عملکردهایی نظیر کاهش دهنده فشارخون، ضدسرطان ضداکسندگی، شلاته کنندگی، اثرات مثبت بر سیستم ایمنی بدن، ضد میکروبی و غیره از خود بروز می‌دهند (Agyei, Ongkudon, Wei, Chan, & Danquah, 2016).

پیتیدهای زیست‌فعال که اجزای تشکیل دهنده ترکیبات حاصل از هیدرولیز پروتئین‌ها هستند، اغلب از ۲۰ تا ۶۰۰۰ اسید‌آمینه تشکیل شده‌اند و جرم مولکولی آنها کمتر از Alaiz, Beppu, Ohishi, & Kikugawa, 1994 (Sarmadi & Ismail, 2010) شده‌اند که عملکردهای چندگانه از خود بروز می‌دهند به عنوان اجزای پروتئینی مورد بررسی قرار می‌گیرند که در ساختار پروتئین اصلی غیرفعال بوده و پس از رهاشدن از زنجیره پروتئینی فعالیتهای بیولوژیکی مشخصی از خود نشان می‌دهند. قابلیت ضداکسندگی پروتئین‌های هیدرولیز شده به تأثیرات چندگانه‌ای نسبت داده شده است. برخی از این ویژگی‌ها شامل توانایی آنها در مهار رادیکال‌های آزاد دی‌فنیل ۲،۲ دی‌فنیل، پیکریل هیدرازیل (DPPH)، عمل به عنوان شلاته کننده فلزات، خاموش‌کننده اکسیژن یا اهداف‌کننده هیدروژن و امکان جلوگیری از نفوذ آغازکننده‌های اکسیداسیون چربی به وسیله تشکیل لایه‌ای در اطراف قطره‌های روغن می‌باشد (Li, Jiang, Zhang, Mu, & Liu, 2008).

به کارگیری تکنولوژی آنزیمی به منظور بازیابی و تغییرات پروتئینی سبب تولید طیف وسیعی از اجزای غذایی و محصولات صنعتی گردیده است. هیدرولیز آنزیمی پروتئین‌های مواد غذایی روش مؤثر در بازیابی پیتیدهای زیست‌فعال قوی می‌باشد و مشخص شده است که پروتئین‌های هیدرولیز شده با وزن مولکولی پایین، خواص عملکردی و زیست‌فعال بالاتری دارند و قابلیت استفاده در Nalinanon, Benjakul, Kishimura, & Shahidi, 2011 (Amza, Balla, Tounkara, Man, & Zhou, 2013) دانه کاملیا (Li *et al.*, 2015)، خرده دریابی (Sheih, Wu, &

³ Response Surface Methodology

⁴ *Carassius Carassius*

^۱ 2,2-diphenyl-1-picrylhydrazyl

^۲ Chelating

غیرفعال شدن آنزیم، سوسپانسیون در حمام آب گرم در دمای ۸۵ درجه سانتی گراد به مدت ۲۰ دقیقه قرار گرفت و دمای مخلوط با استفاده از حمام آب بخ سریعاً کاهش یافت و درنهایت جهت به دست آوردن محلول پروتئین هیدرولیز شده، نمونه به مدت ۲۰ دقیقه و در دمای ۱۰ درجه سانتی گراد در سانتریفیوژ یخچال دار با دور $7600 \times g$ ۷۶۰۰ سانتریفیوژ شد Taheri, Abedian Kenari, Motamedzadegan, & Habibi (Rezaie, 2011) و مایع رویی حاصل با استفاده از دستگاه خشک کن انجام داد خشک گردید.

اندازه‌گیری ترکیبات شیمیایی آزمون‌های کنجد

تعیین ترکیبات شیمیایی، شامل اندازه‌گیری رطوبت، خاکستر (Parvaneh, 2006) و اندازه‌گیری پروتئین طبق روش کلدل (AOAC, 2008) صورت گرفت. نمونه کنجاله کنجد شامل: ۶/۶ درصد رطوبت، ۹/۲۵ درصد خاکستر و ۴۳/۴۹ درصد پروتئین بود.

اندازه‌گیری فعالیت مهار رادیکال‌های DPPH

برای این منظور ۱۰۰۰ میکرولیتر از هر نمونه با ۱۰۰۰ میکرولیتر DPPH (۱۰ میلی مولار)، تهیه شده توسط اثانول ۹۹/۵ درصد مخلوط و سپس به مدت ۶۰ دقیقه در تاریکی قرار داده و جذب رادیکال DPPH در طول موج ۵۱۷ نانومتر توسط اسپکتروفوتومتر (پی جی اینسترومیت مدل T80، ساخت انگلستان) اندازه‌گیری گردید. فعالیت مهار رادیکال‌های آزاد با توجه به رابطه (۱) محاسبه گردید.

رابطه (۱)

$$\frac{\text{جذب نمونه} - \text{جذب کنترل}}{\text{جذب کنترل}} \times 100 = \text{فعالیت زدودن رادیکال آزاد}$$

نمونه کنترل به همان طریق تهیه شد، با این تفاوت که به جای نمونه از آب مقطر استفاده گردید. جذب کمتر مخلوط نشان‌دهنده فعالیت مهار رادیکال DPPH بالاتر می‌باشد (Bougatet et al., 2009).

بهینه‌سازی شرایط آزمایش

به منظور بهینه‌سازی شرایط تولید پروتئین هیدرولیز شده از روش سطح پاسخ با طراحی مرکب مرکزی استفاده شد. ۳ متغیر دما (X_1 ، زمان (X_2) و نسبت آنزیم به سوبسترا (X_3)) به عنوان متغیرهای مستقل در سه سطح (+۱، ۰ و -۱) مورد آزمایش قرار گرفتند (جدول ۱).

فعالیت مشخص ۲/۴ واحد آنسون بر گرم) (یک اندوپروتئیناز گرفته شده از باکتری باسیلوس لیکنی فورمیس^۱، از شرکت نووزایم (دانمارک) خریداری و تا شروع آزمایش در دمای ۴ درجه سانتی گراد در یخچال نگهداری شد. سدیم هیدروکسید و هیدروکلریدریک اسید از شرکت مرک آلمان و معرف DPPH از شرکت سیگما تهیه گردیدند. تمامی مواد شیمیایی مورد استفاده در آزمایش از درجه آزمایشگاهی برخوردار بودند.

تولید ایزوله پروتئینی

به منظور تهیه پروتئین هیدرولیز شده، کنجاله کنجد پس از چربی‌زدایی با هگزان، به نسبت ۱ به ۱۰ وزنی/حجمی با آب مقطر رقیق و به مدت ۱ ساعت در دمای ۵۵-۵۰ درجه سانتی گراد در pH ۹/۵ (توسط سدیم هیدروکسید ۱/۰ نرمال) قرار گرفت. سپس به منظور حذف بخش نامحلول به مدت ۱۰ دقیقه در سانتریفیوژ یخچال دار (مدل Combi-514R، شرکت هانیل، ساخت کره جنوبی) با دمای ۱۰ درجه سانتی گراد، با دور ۴۰۰۰ دور در دقیقه سانتریفیوژ گردید. پس از آن سوپراناتانت حاصل جهت رسوب در نقطه ایزوکلریک به pH معادل ۴/۹ (توسط هیدروکلریدریک اسید ۱/۰ نرمال) رسانده شد و به مدت ۲۰ دقیقه در سانتریفیوژ یخچال دار با دور ۸۰۰۰ دور در دقیقه قرار گرفت که در این صورت مواد به ۳ فاز تقسیم شدند که فاز اول را چربی، فاز میانی را آب و فاز انتهایی را پروتئین تشکیل می‌داد. درنهایت محتوی پروتئین جدا شده Chatterjee et al., (2015) جهت آزمایش‌های بعدی جمع آوری شد.

.(al., 2015)

تهیه پروتئین هیدرولیز شده

جهت انجام فرایند هیدرولیز، ابتدا نمونه پروتئینی به نسبت ۱ به ۱۰ با آب مقطر رقیق و سپس با بافر تریس-اسیدی هیدروکلریدریک^۲ به نسبت وزنی/حجمی ۱ به ۲ مخلوط گشته و به حالت سوسپانسیون یکنواخت و pH مناسب جهت فعالیت آنزیم آلکالاز در آمد (pH=۸). سپس آنزیم در محدوده غلظتی ۳-۱ درصد به ارلن‌های حاوی نمونه اضافه گردید. واکنش‌های هیدرولیز در انکوباتور لرزشی با سرعت ۲۰۰ دور در دقیقه در محدوده دمایی ۵۵-۴۰ درجه سانتی گراد و محدوده زمانی ۱۸۰-۳۰ دقیقه انجام شد (Meshgin Far, 2012).

¹ *Bacillus licheniformis*

² Tris-HCl

بحث و نتایج آنالیز سطح پاسخ

نتایج تجزیه واریانس برای متغیر مهار رادیکال آزاد (DPPH) در جدول (۳) و نتایج مربوط به ارزیابی هر یک از مدل‌ها در جدول (۴) ارائه شده است. نتایج جدول (۳) نشان می‌دهد که تأثیر هر کدام از متغیرهای دما، زمان و میزان آنزیم بر میزان پاسخ‌ها معنی‌دار می‌باشد ($P<0.05$).

جدول ۳- ضرایب مدل برای درصد مهار رادیکال آزاد (DPPH)

ضریب رگرسیون (DPPH)	
۸۰۸/۲۹**	مدل
-۰/۱۱*	X ₁ (زمان)
-۳۶/۵۳**	X ₂ (دما)
-۱۳/۳۹*	X ₃ (نسبت)
۵/۲۵ns	X ₁ ²
۰/۴۱**	X ₂ ²
-۰/۶۲ns	X ₃ ²
۰/۰۰ns	X ₁ X ₂
-۰/۰۳ns	X ₁ X ₃
۰/۴۶*	X ₂ X ₃

* معنی‌دار در سطح ۹۵ درصد ($P<0.05$), ** معنی‌دار در سطح ۹۹ درصد ($P<0.01$) و ns: غیرمعنی‌دار

رابطه (۲)، روابط بین پاسخ (قابلیت جذب رادیکال آزاد) و پارامترهای هیدرولیز (دما، زمان و نسبت آنزیم به سوبسترا) را نشان می‌دهد.

رابطه (۲)

$$\text{DPPH}=808.296-0.1146 \times \text{Time}-36.515 \times \text{temp}-13.3927 \times e/s+0.4062 \times \text{temp}^2+0.004464 \times \text{time} \times \text{temp}-0.03178 \times \text{time} \times e/s+0.460500 \times \text{temp} \times e/s$$

رابطه (۲)، بیانگر این است که رابطه بین مهار رادیکال آزاد (DPPH) با پارامترهای هیدرولیز از نوع درجه دوم است و نتایج مربوط به جدول (۴) نشان می‌دهد که ضریب همبستگی^۱ R² برای مدل (۰/۹۷۷) به دست آمد و این نشان دهنده توانایی خوب مدل در پیش‌بینی شرایط واکنش می‌باشد. همچنین عدم برازش مدل، معنی‌دار نشد ($P>0.05$) و این نشان دهنده مناسب بودن مدل برای این آزمایش می‌باشد.

جدول ۱- متغیرهای مستقل و سطوح مورد استفاده جهت بهینه‌سازی فعالیت ضد اکسیدانگی پروتئین هیدرولیز شده کنجاله کنجد

متغیرهای مستقل	سطوح و درصد متغیرها		
	-۱	۰	+۱
دما (درجه سانتی گراد)	۴۷/۵۰	۵۵	
زمان (دقیقه)		۱۰۵	۱۸۰
نسبت آنزیم به سوبسترا	۱	۲	۳

تیمارهای آزمایشی و طراحی آنها در جدول (۲) ارائه شده است. فعالیت مهار رادیکال آزاد (DPPH) به عنوان متغیر وابسته در نظر گرفته شد و اثر متغیرهای مستقل روی این پاسخ بررسی شد. بهمنظور بهینه‌سازی فعالیت ضد اکسیدانگی پروتئین هیدرولیز شده از روش سطح پاسخ استفاده گردید. به این منظور طرح مرکب مرکزی با ۳ سطح (+۱، ۰ و -۱) و ۶ تکرار در نقطه مرکزی مورد استفاده قرار گرفت.

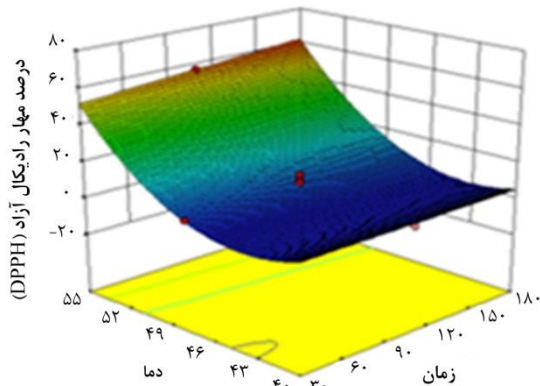
جدول ۲- طرح آزمایشی مرکب مرکزی و سطوح تعیین شده و پاسخ متغیرهای مستقل برای فعالیت ضد اکسیدانگی پروتئین هیدرولیز شده کنجاله کنجد

فعالیت آنزیمی (X ₃)	دما (X ₂)	زمان (X ₁)	شماره تیمار
۳	۴۰/۰۰	۳۰	۱
۱	۵۵/۰۰	۱۸۰	۲
۲	۴۷/۵۰	۱۰۵	۳
۲	۴۷/۵۰	۱۰۵	۴
۲	۴۰/۰۰	۱۰۵	۵
۲	۵۵/۰۰	۱۰۵	۶
۳	۴۷/۵۰	۱۰۵	۷
۱	۴۷/۵۰	۱۰۵	۸
۲	۴۷/۵۰	۱۸۰	۹
۲	۴۷/۵۰	۱۰۵	۱۰
۱	۴۰/۰۰	۱۸۰	۱۱
۳	۵۵/۰۰	۳۰	۱۲
۲	۴۷/۵۰	۱۰۵	۱۳
۱	۴۰/۰۰	۳۰	۱۴
۲	۴۷/۵۰	۳۰	۱۵
۳	۴۰/۰۰	۱۸۰	۱۶
۲	۴۷/۵۰	۱۰۵	۱۷
۲	۴۷/۵۰	۱۰۵	۱۸
۳	۵۵/۰۰	۱۸۰	۱۹
۱	۵۵/۰۰	۳۰	۲۰

^۱ Quadratic Polynomial Model

نتایج حاصل از پژوهش (Meshgin Far, ۲۰۱۲) نشان داد که فعالیت مهار رادیکال^۱ آزاد با پیشرفت زمان هیدرولیز به مقدار مشخصی رسیده و سپس از میزان آن کاسته شد. همچنین پژوهش Sadeghi, Ghorbani, Alami, Sadeghi-Mahoonak (۲۰۱۷) نشان داد که خاصیت ضداکسندگی پروتئین هیدرولیز شده دانه کدو در ابتدا کاهش و سپس افزایش چشمگیری داشته است.

شکل (۲) تغییرات درصد مهار رادیکال آزاد (DPPH) در دماها و زمان‌های مورد آزمایش را نشان می‌دهد. براساس نتایج متغیر دما در نواحی بالاتر از ۴۹ درجه سانتی‌گراد بیشترین اثر را در مهار رادیکال آزاد (DPPH) داشته در حالی که افزایش زمان پس از گذشت ۱۲۰ دقیقه اثر بیشتری را نشان می‌دهد. تغییر در اندازه، میزان و ساختار اسیدهای آمینه و پپتیدها در اثر گذشت زمان هیدرولیز، میزان فعالیت ضداکسندگی را تحت تأثیر قرار می‌دهند (Wu, Chen, & Shiau, 2003).



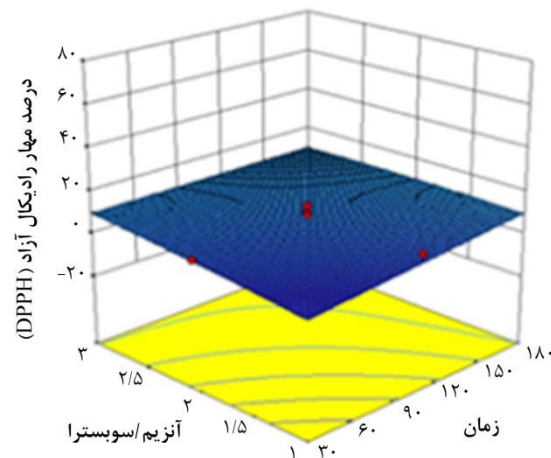
شکل ۲- نمودار سه‌بعدی تغییرات درصد مهار رادیکال آزاد (DPPH) در دما و زمان‌های مورد آزمایش

شکل (۳) که بیانگر تغییرات درصد مهار رادیکال‌های آزاد (DPPH) در نسبت آنزیم به سوبسترا و دماهای مورد آزمایش است، بیان می‌کند که افزایش دما از محدوده میانی به بالا تأثیر بالاتری در مهار رادیکال آزاد (DPPH) داشته و نسبت آنزیم نیز از ناحیه میانی به بالا موجب افزایش مهار رادیکال آزاد (DPPH) می‌شود.

جدول ۴- نتایج تجزیه واریانس برای مدل درصد مهار رادیکال آزاد (DPPH)

DPPH	
عدد	ضریب رگرسیون
۰/۲۱	Lack of fitness
۰/۹۳	R ² -pred
۰/۹۸	R ² -Adj

به جهت تعیین شرایط بهینه هر متغیر در هیدرولیز آنزیمی جهت حصول بالاترین قدرت مهارکنندگی رادیکال‌های آزاد (DPPH)، نمودارهای سه‌بعدی سطحی برای متغیرها در شکل (۱) تا (۳) ترسیم شده است. هر شکل اثرات دو متغیر روی پاسخ را در زمانی که متغیر سوم در شرایط بهینه قرار داده شده است، نشان می‌دهد. همان‌طور که در شکل (۱) دیده می‌شود با افزایش زمان هیدرولیز و نسبت آنزیم به سوبسترا، میزان فعالیت ضداکسندگی مقدار اندکی افزایش یافت. نتایج شکل (۱) نشان می‌دهد که افزایش فعالیت آنزیم در یک زمان ثابت نیز در تغییرات فعالیت ضداکسندگی اثر داشته است. توجیه تغییرات فعالیت ضداکسندگی با گذشت زمان مربوط به تغییر طول زنجیره پپتیدی با افزایش میزان هیدرولیز است. همچنین بسیاری از پژوهش‌ها ثابت کرده است که پپتیدهای با وزن مولکولی کمتر، فعالیت ضداکسندگی بالاتری از خود نشان می‌دهند (Rajapakse, Mendis, Byun, & Kim, 2005).



شکل ۱- نمودار سه‌بعدی تغییرات درصد مهار رادیکال آزاد (DPPH) در نسبت آنزیم به سوبسترا و زمان‌های مورد آزمایش

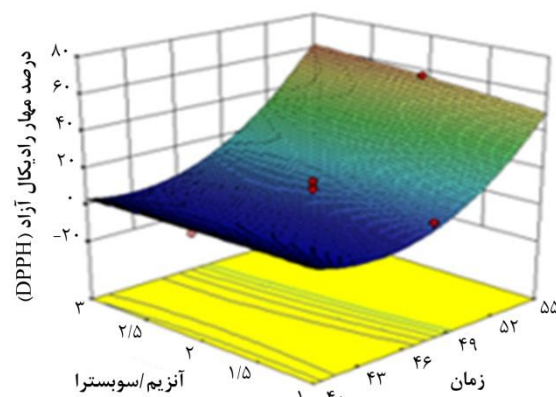
¹ Inhibition of Radicals

داد که بین مقدار پیش‌بینی شده و مقدار بدست‌آمده حاصل از انجام آزمون اختلاف معنی‌داری وجود نداشت و در این شرایط برای درصد مهار رادیکال‌های آزاد (DPPH) ۶۶/۵۰ درصد بدست آمد که این بیانگر توانایی مناسب مدل در پیش‌بینی اثر سه متغیر دما، زمان و نسبت آنزیم بر هیدرولیز پروتئین می‌باشد.

نتیجه‌گیری

تولید پروتئین هیدرولیزشده چندین هدف مختلف را دنبال می‌کند که مهم‌ترین آنها استفاده بهینه از بخش پروتئینی مواد غذایی می‌باشد. امروزه پیشرفت در تکنولوژی، امکان استفاده از منابع پروتئینی مختلف و غیرقابل دسترس را فراهم کرده است.

در این مطالعه تولید پروتئین هیدرولیزشده با خاصیت ضداکسندگی بالا از کنجاله کنجد با استفاده از آنزیم آلکالاز توسط روش سطح پاسخ صورت پذیرفت. نتایج حاصل نشان می‌دهد که فاکتورهای دما، زمان و آنزیم تحت شرایط واکنش تأثیر معنی‌داری بر کیفیت محصول هیدرولیزشده دارند. این پروتئین‌های هیدرولیزشده می‌توانند به عنوان ضداکسندۀ طبیعی در فرمولاسیون غذایی و دارویی به کار گرفته شوند.



شکل ۳- نمودار سه‌بعدی تغییرات درصد مهار رادیکال‌های آزاد (DPPH) در نسبت آنزیم به سوبسترا و دماهای مورد آزمایش

بهینه‌سازی و اعتبارسنجی مدل

بیشترین میزان پیش‌بینی شده توسط مدل برای درصد مهار رادیکال آزاد (DPPH) ۶۵/۳۷ درصد بود. شرایط بهینه ارائه شده توسط مدل برای مهار رادیکال (DPPH) دمای ۵۵ درجه سانتی‌گراد، زمان ۱۸۰ دقیقه و نسبت آنزیم به سوبسترا ۳ درصد بود. تهیه پروتئین هیدرولیزشده در شرایط بهینه ارائه شده توسط مدل به صورت آزمایشی انجام و نتیجه با مقدار پیش‌بینی شده مقایسه گردید. نتایج حاصل از آزمایش انجام‌شده نشان

منابع

- Agyei, D., Ongkudon, C. M., Wei, C. Y., Chan, A. S., & Danquah, M. K. (2016). Bioprocess challenges to the isolation and purification of bioactive peptides. *Food and Bioproducts Processing*, 98, 244-256. doi:<https://doi.org/10.1016/j.fbp.2016.02.003>
- Ajibola, C. F., Fashakin, J. B., Fagbemi, T. N., & Aluko, R. E. (2011). Effect of peptide size on antioxidant properties of African yam bean seed (*Sphenostylis stenocarpa*) protein hydrolysate fractions. *International Journal of Molecular Sciences*, 12(10), 6685-6702. doi:<https://doi.org/10.3390/ijms12106685>
- Alaiz, M., Beppu, M., Ohishi, K., & Kikugawa, K. (1994). Modification of delipidated apoprotein B of low density lipoprotein by lipid oxidation products in relation to macrophage scavenger receptor binding. *Biological and Pharmaceutical Bulletin*, 17(1), 51-57. doi:<https://doi.org/10.1248/bpb.17.51>
- Amza, T., Balla, A., Tounkara, F., Man, L., & Zhou, H. (2013). Effect of hydrolysis time on nutritional, functional and antioxidant properties of protein hydrolysates prepared from gingerbread plum (*Neocarya macrophylla*) seeds. *International Food Research Journal*, 20(5), 2081-2090 .
- AOAC. (2008). Official methods of analysis, 18th ed. In *Association of official Analytical Chemists*: Washington, DC.
- Bougatef, A., Hajji, M., Balti, R., Lassoued, I., Triki-Ellouz, Y., & Nasri, M. (2009). Antioxidant and free radical-scavenging activities of smooth hound (*Mustelus mustelus*) muscle protein hydrolysates obtained by gastrointestinal proteases. *Food Chemistry*, 114(4), 1198-1205. doi:<https://doi.org/10.1016/j.foodchem.2008.10.075>

- Chatterjee, R., Dey, T. K., Ghosh, M., & Dhar, P. (2015). Enzymatic modification of sesame seed protein, sourced from waste resource for nutraceutical application. *Food and Bioproducts Processing*, 94, 70-81. doi:<https://doi.org/10.1016/j.fbp.2015.01.007>
- Chen, H.-M., Muramoto, K., & Yamauchi, F. (1995). Structural analysis of antioxidative peptides from Soybean. beta.-Conglycinin. *Journal of Agricultural and Food Chemistry*, 43(3), 574-578. doi:<https://doi.org/10.1021/jf00051a004>
- Diniz, F. M., & Martin, A. M. (1996). Use of response surface methodology to describe the combined effects of pH, temperature and E/S ratio on the hydrolysis of dogfish (*Squalus acanthias*) muscle. *International Journal of Food Science & Technology*, 31(5), 419-426. doi:<https://doi.org/10.1046/j.1365-2621.1996.00351.x>
- Li, X., Deng, J., Shen, S., Li, T., Yuan, M., Yang, R., & Ding, C. (2015). Antioxidant activities and functional properties of enzymatic protein hydrolysates from defatted *Camellia oleifera* seed cake. *Journal of Food Science and Technology*, 52(9), 5681-5690. doi:<https://doi.org/10.1007/s13197-014-1693-z>
- Li, Y., Jiang, B., Zhang, T., Mu, W., & Liu, J. (2008). Antioxidant and free radical-scavenging activities of chickpea protein hydrolysate (CPH). *Food Chemistry*, 106(2), 444-450. doi:<https://doi.org/10.1016/j.foodchem.2007.04.067>
- Mehregan-Nikoo, A., Alireza, S.-M., Ghorbani, M., Taheri, A., Alami, M., & Kamali, F. (2013). Effect of hydrolysing condition on antioxidant activity of protein hydrolysate from crucian carp (*Carassius carassius*). *Journal of Research and Innovation in Food Science and Technology*, 2(4), 351-364. (in Persian)
- Meshgin Far, A. (2012). *Preparation of Hydrolyzed Protein from Side Products of Meat Industries and evaluation of its Antioxidant Properties*. (Unpublished master's thesis), Faculty of Agriculture, Gorgan University of Agricultural Sciences and Natural Resources. (in Persian)
- Nalinanon, S., Benjakul, S., Kishimura, H., & Shahidi, F. (2011). Functionalities and antioxidant properties of protein hydrolysates from the muscle of ornate threadfin bream treated with pepsin from skipjack tuna. *Food chemistry*, 124(4), 1354-1362. doi:<https://doi.org/10.1016/j.foodchem.2010.07.089>
- Nourmohammadi, E., Sadeghi-Mahoonak, A., Alami, M., Ghorbani, M., & Sadeghi, M. (2017). Optimization of pumpkin oil cake protein hydrolysis with Alcalase to achieve the maximum antioxidant activity. *Journal of Technology and Food Preservation*, 9(1), 1-12 (in Persian) doi:<https://doi.org/10.22069/ejfp.2017.8810.1236>
- Parvaneh, v. (2006). *Quality control and chemical analysis of food product*. Tehran University Publication: 332 (in Persian).
- Rajapakse, N., Mendis, E., Byun, H.-G., & Kim, S.-K. (2005). Purification and in vitro antioxidative effects of giant squid muscle peptides on free radical-mediated oxidative systems. *The Journal of Nutritional Biochemistry*, 16(9), 562-569. doi:<https://doi.org/10.1016/j.jnutbio.2005.02.005>
- Rastegar, M. (2005). *Cultivation of Industrial Plants*. Agriculture , Borhanmand Publication: First Printing, 480 (in Persian).
- Sarmadi, B. H., & Ismail, A. (2010). Antioxidative peptides from food proteins: a review. *Peptides*, 31(10), 1949-1956. doi:<https://doi.org/10.1016/j.peptides.2010.06.020>
- Sheih, I.-C., Wu, T.-K., & Fang, T. J. (2009). Antioxidant properties of a new antioxidative peptide from algae protein waste hydrolysate in different oxidation systems. *Bioresource Technology*, 100(13), 3419-3425. doi:<https://doi.org/10.1016/j.biortech.2009.02.014>
- Sumaya-Martínez, T., Castillo-Morales, A., Favela-Torres, E., Huerta-Ochoa ,S., & Prado-Barragán, L. A. (2005). Fish protein hydrolysates from gold carp (*Carassius auratus*): I. A study of hydrolysis parameters using response surface methodology. *Journal of the Science of Food and Agriculture*, 85(1), 98-104. doi:<https://doi.org/10.1002/jsfa.1943>
- Taheri, A., Abedian Kenari, A., Motamedzadegan, A., & Habibi Rezaie, M. (2011). Optimization of goldstripe sardine (*Sardinella gibbosa*) protein hydrolysate using Alcalase® 2.4 L by response surface methodology Optimización de hidrolisato de proteína de Sardinela dorada (*Sardinella gibbosa*) usando Alcalase® 2.4 L a través de RSM. *CyTA-Journal of Food*, 9(2), 114-120. doi:<https://doi.org/10.1080/19476337.2010.484551>
- Tang, L., Sun, J., Zhang, H. C., Zhang, C. S., Yu, L. N., Bi, J., . . . Yang ,Q. L. (2012). Evaluation of physicochemical and antioxidant properties of peanut protein hydrolysate. *PloS one*, 7(5), e37863 .
- Wu, H.-C., Chen, H.-M., & Shiau, C.-Y. (2003). Free amino acids and peptides as related to antioxidant properties in protein hydrolysates of mackerel (*Scomber austriasicus*). *Food Research International*, 36(9-10), 949-957. doi:[https://doi.org/10.1016/S0963-9969\(03\)00104-2](https://doi.org/10.1016/S0963-9969(03)00104-2)

The Optimization of Hydrolyzed Protein Production with High Anti-Oxidation Ability from Sesame Meal by Response Surface Methodology

Azra Mousavi Nasab¹, Alireza Sadeghi Mahoonak^{2*}, Mohammad Ghorbani², Mehran Alami², Nasim Meshginfar³

1. Msc. Graduate, Department of Food Science and Technology, Gorgan University of Agricultural Sciences & Natural Resources, Gorgan, Iran

2- Associate Professor, Department of Food Science and Technology, Gorgan University of Agricultural Sciences & Natural Resources, Gorgan, Iran

* Corresponding author (sadeghiaz@gau.ac.ir)

3- PhD. Graduate, Department of Food Science and Technology, Gorgan University of Agricultural Sciences & Natural Resources, Gorgan, Iran

Abstract

The purpose of this study was to produce a hydrolyzed protein from sesame seed meal using response surface methodology (RSM). The sesame meal protein is a low-value product, often used for feeding animals, but it can be hydrolyzed to protein hydrolysate with high nutritional value using alkalase enzyme. The factors that were considered in this study to achieve the highest level of antioxidant activity were temperature (40-55 °C), time (30-180 min) and ratio of enzyme to substrate (1-3%) whose effects, as 3 independent variables, were evaluated on DPPH free radical scavenging activity and this effect fitted by quadratic equation. The results showed that optimal conditions for reaching the highest antioxidant activity were temperature 52.07 °C, time 125.49 min and ratio of enzyme to substrate was 3% and under this condition DPPH free radical scavenging activity was 66.5%. Also, the results showed that the production of hydrolyzed protein was highly affected by the hydrolysis conditions, so different hydrolysis conditions including time, temperature and enzyme to substrate ratio showed significant effect on the properties of final hydrolyzed product. The results showed that hydrolyzed sesame protein can be used in food formulation as a natural antioxidant.

Keywords: Enzyme Hydrolysis, Hydrolyzed Protein, Optimization, Response Surface Method, Sesame Meal

ریزپوشانی تؤام روغن ماهی و ویتامین E به روش کواسرواسیون ترکیبی و بهینه‌یابی کارایی آن با روش سطح پاسخ (RSM)

فاطمه میرزاچی کلایی^۱، سیدعلی جعفرپور^{۲}

- ۱- دانشجوی کارشناسی ارشد شیلات، گرایش فرآوری محصولات شیلاتی، دانشگاه علوم کشاورزی و منابع طبیعی ساری، ساری، ایران
۲- دانشیار، گروه شیلات، گروه فرآوری محصولات شیلاتی، دانشگاه علوم کشاورزی و منابع طبیعی ساری، ساری، ایران
* نویسنده مسئول (a.jafarpour@sanru.ac.ir)

تاریخ دریافت: ۱۳۹۶/۱۰/۳۰

تاریخ پذیرش: ۱۳۹۷/۰۳/۲۷

چکیده

واژه‌های کلیدی
روغن ماهی
ریزپوشانی
ژلاتین
کواسرواسیون ترکیبی
ویتامین E

در این پژوهش روغن ماهی و ویتامین E با استفاده از مواد پلیمری ژلاتین و صمغ عربی به عنوان مواد دیواره و با کمک روش کواسرواسیون ترکیبی با روش سطح پاسخ (RSM) در قالب طرح مرکب مرکزی (CCD) ریزپوشانی و بهینه‌سازی شدند. اثر سه متغیر مستقل میزان روغن ماهی (۱، ۳ و ۵ درصد)، میزان بیوبلیمر کل (۱، ۳ و ۵ درصد) و سرعت هموژنايزر (۱۱۰۰، ۹۰۰۰ و ۷۰۰۰ دور در دقیقه) بر متغیرهای وابسته از قبلی روغن سطحی، روغن پوشینه شده، کارایی ریزپوشانی و اندازه ذرات بررسی شد. نتایج بدست آمده نشان داد سرعت هموژنايزر ۷۰۰۰ دور در دقیقه برای تولید نانوذرات با ابعاد کمتر از ۱۰۰ نانومتر مناسب نمی‌باشد. به علاوه، پارامترهای درصد روغن ماهی و سرعت هموژنايزر بر اندازه نانوپوشینه‌های تولیدی مؤثر می‌باشند. همچنین نانوپوشینه‌های تولیدی در تیمارهایی که در آنها از درصد بیشتری روغن استفاده شد در مقایسه با تیمارهای با درصد روغن کمتر از روغن سطحی بیشتری برخوردار بودند. میزان کارایی ریزپوشانی بین ۵۶/۲۹ تا ۹۸/۷۶ درصد اندازه گیری شد. در این پژوهش تیمار بهینه با مقادیر ۱ درصد روغن ماهی، ۱ درصد بیوبلیمر کل و سرعت هموژنايزر ۷۰۰۰ دور در دقیقه معرفی گردید که میزان کارایی ریزپوشانی آن ۹۷/۹۷ درصد ثبت گردید.

(Arab-Tehrany *et al.*, 2012). این اسیدهای چرب

امگا-۳ به صورت فزاینده‌ای به عنوان بخش مهمی از رژیم غذایی جهت سلامت و پیشگیری از بیماری به کار گرفته می‌شوند. این اسیدهای چرب به صورت طبیعی در ماهی‌های چرب مانند ماهی آزاد، ماهی تن و مکمل‌های روغن ماهی بهوفور وجود دارند. از جمله اثرات مهم سلامت‌بخش EPA و DHA کاهش خطر بروز بیماری‌های قلبی - عروقی است و همچنین DHA در رشد و تکامل مغز و بافت عصبی نوزادان نقش مهمی را ایفا می‌کند

مقدمه

اسیدهای چرب امگا-۳ از قبلی آلفا لینولنیک اسید^۱ (ALA) ایکوزاپنتانوئیک اسید^۲ (EPA) و دکوزاگزانتوئیک اسید^۳ (DHA) جزء اسیدهای چرب ضروری هستند و باید از طریق رژیم غذایی به دست آیند، با این حال مصرف این اسیدهای چرب بیش از حد پایین است که اثرات سلامتی نامطلوب بسیاری را برای افراد به همراه دارد؛ بنابراین افزایش مصرف اسیدهای چرب امگا-۳ توصیه می‌شود

¹ Alpha-Linolenic acid

² Eicosapentaenoic

³ Docosahexaenoic

مخالف استفاده می‌شود این فناوری بهترین روش برای پایداری روغن‌های حاوی امگا-۳ در فرایند ریزپوشانی است (Kausik, Dowling, Barrow, & Adhikari, 2015). مزیت اصلی کواسرواسیون ترکیبی تولید میکروپوشینه‌هایی با اندازه ۱ تا ۱۰۰۰ میکرومتر می‌باشد. علاوه‌بر این، در مقایسه با دیگر فرایندهای ریزپوشانی، در کواسرواسیون ترکیبی ظرفیت انتقال هسته به درون مواد دیواره برای ذرات تک‌هسته‌ای ۹۰ درصد و برای ذرات چند‌هسته‌ای ۶۰ درصد می‌باشد. این روش به طور موقوفیت‌آمیزی از مهاجرت روغن به سطح ذره جلوگیری می‌کند و غلظت روغن سطحی در مقایسه با دیگر روش‌ها به طور معمول کمتر است (Huang, Zhang, Hu, Bao, & Zhang, 2012). ژلاتین رایج‌ترین پروتئین مورد استفاده در فرایند ریزپوشانی است زیرا ویژگی‌های آمینواسیدی و چگالی بار مناسبی جهت کواسرواسیون دارد ساختار کلوبیدی ژلاتین بار کافی را روی زنجیره‌ها به‌منظور جلوگیری از رسوب آنها نگهداری می‌کند. صمغ عربی پلی‌ساکاریدی با آرایش حلقه‌ای است که به‌طور مشابه بارها را روی زنجیره حفظ می‌کند و نیز اجازه می‌دهد مقدار قابل‌توجهی آب بین زنجیره‌ها برای جلوگیری از رسوب آنها مسدود شود. آرایش تصادفی حلقه‌ای دو پلیمر برای تشکیل کواسروای مطلوب است زیرا این آرایش از بارها بهتر نگهداری می‌کند و تعامل بین پلیمرها را افزایش می‌دهد (Kaushik *et al.*, 2015). براساس مطالعه‌های انجام‌شده، Aziz, Gill, Dutilleul, Kermasha و Neufeld (2014) روغن کریل را با استفاده از کمپلکس ژلاتین و صمغ عربی ریزپوشانی و با استفاده از روشن سطح پاسخ^۳ (RSM) بهینه‌سازی کردند. نتایج نشان دادند که pH بیشترین اثر خطی معنی‌دار بر کارایی ریزپوشانی دارد و ارتباط مستقیمی بین pH و نسبت هسته و دیواره وجود دارد در حالی که سرعت همزدن اثر معنی‌داری نداشت. شرایط بهینه کارایی ریزپوشانی شامل نسبت هسته به دیوار ۱:۱/۷۵، pH=۳/۸، و سرعت همزدن ۳ (از مقیاس ۱۰) می‌باشد. میزان کارایی ریزپوشانی بین ۴۵/۱۶ تا ۹۶/۹۲ درصد قرار داشت. در مطالعه Choi (2010) Soottitantawat, Ruktanonchai, Min, Chun و بتا-سیکلودکسترین و پلی‌کاپرولاتکتون^۴ به عنوان مواد

Ghorbani Hassan Sariei, Shahidi, Bahadorghousi, (۲۰۱۲). اسیدهای چرب امگا-۳ و می‌توانند برای غنی‌سازی مواد غذایی کم‌چرب و یا تولید مواد غذایی فراسودمند مورد استفاده قرار گیرند. از آنجاکه این ترکیبات آب‌گریز بوده و عملأً در آب نامحلول هستند غنی‌سازی فراورده‌های غذایی و نوشیدنی‌های آبی با آن بسیار مشکل است. از طرف دیگر به‌دلیل داشتن پیوندهای غیراشباع بهشتد به تخریب اکسیداتیو حساس می‌باشد به‌طوری‌که در اثر اکسیداسیون علاوه‌بر تولید عطر و طعم نامناسب اثرات سلامت‌بخشی آن نیز کاهش می‌یابد Bahrani, Mohammad Hasani, Ghanbarzadeh, (2013). همچنین ویتامین E یکی از مهم‌ترین ترکیبات مغذی طبیعی ضروری می‌باشد که می‌تواند از غشای زیستی به عنوان جاذب رادیکال در برابر پراکسیداسیون چربی محافظت کند و از بروز بسیاری از بیماری‌های خطرناک مانند سرطان و بیماری‌های قلبی - عروقی جلوگیری می‌کند. ویتامین E در بسیاری از مواد غذایی به عنوان افزودنی کاربردی مورد استفاده قرار می‌گیرد اما زمانی که در معرض اکسیژن و پرتو فرابنفش قرار می‌گیرد به راحتی تخریب می‌شود. ریزپوشانی می‌تواند با تولید نانوپوشینه‌ها^۱ در صنعت غذا از طریق محافظت مواد هسته در برابر محیط آنها امتیازهایی فراهم آورد (Chang, Lee, & Lee, 2005). ریزپوشانی فرایندی است که در آن عناصر حساس یا مواد هسته در پلیمرهای محافظت یا مواد دیواره به عنوان عوامل پوشینه‌ساز بدام Hogan, McNamee, O'Riordan, & (2001). مواد پوسته میکروپوشینه از هسته در برابر اثرات محیطی (اکسیژن، نور، رطوبت و غیره) محافظت می‌کند (Garg, Wood, Singh, & Moughan, 2006). طیف گستره‌های از فرایندهای مهندسی جهت ریزپوشانی مورد استفاده قرار می‌گیرند. نوع فرایند به کارفته برای ریزپوشانی بستگی به ویژگی‌های فیزیکی و شیمیایی هسته و پوشش و نوع کاربرد آن در مواد غذایی دارد (Zuidam & Shimoni, 2010). کواسرواسیون ترکیبی^۲ یکی از روش‌های فیزیکوشیمیایی ریزپوشانی ذرات است، در کواسرواسیون ترکیبی از پلیمرها با بار

^۳ Response Surface Methodology

^۴ Polycaprolactone

^۱ Nanocapsule

^۲ Complex Coaservation

تیتراکم، تهران)، صمغ عربی (جرم مولکولی ۲۶۶/۳۸ کیلودالتون و فرمول مولکولی $C_{16}H_{26}O_3$) از شرکت دای جونگ کره‌جنوبی، پودر لاتین پوست ماهیان سردآبی (جرم مولکولی ۶۰ کیلودالتون، دمای نگهداری ۲-۸ درجه سانتی‌گراد و غلظت ۴۰-۵۰ درصد در آب) از شرکت سیگمای آمریکا تهیه شدند. سایر مواد شیمیایی مورد استفاده با درجه آزمایشگاهی از فروشگاه‌های مواد شیمیایی و آزمایشگاهی معتبر تهیه شدند.

تهیه امولسیون‌ها و پودر نانوپوشینه محلول‌های ژلاتین و صمغ عربی با غلظت ۶ درصد وزنی-حجمی به طور جداگانه تهیه شدند. بهمنظور آب‌گیری کامل مواد دیواره عمل همزندن ترکیب ژلاتین و صمغ عربی به ترتیب در دمای ۲۵ و ۵۰ درجه سانتی‌گراد به مدت ۱۲-۱۸ ساعت در بن‌ماری انجام گرفت. روغن ماهی در سطوح ۱، ۳ و ۵ درصد، بیوپلیمر کل با نسبت (۱:۱) در سطوح ۱، ۳ و ۵ درصد با سرعت‌های متفاوت هموژنایزر (مکانیکی) Ultra-Turrax، Wise-15D، ساخت کره‌جنوبی (۱۱۰۰۰، ۹۰۰۰ و ۷۰۰۰ دور در دقیقه) به عنوان متغیرهای مستقل برای تهیه امولسیون در نظر گرفته شد. در ابتدا ویتامین E در غلظت ۳۰۰۰ پی‌پی‌ام به روغن ماهی اضافه شد. سپس محلول ژلاتین به روغن ماهی دارای ویتامین E اضافه و به طور کامل هموژن شد. بعد از آن آب‌مقطر در مقدار معین باتوجه به نوع تیمار اضافه و به مدت ۸ دقیقه با هموژنایزر در سرعت‌های متفاوت (۱۱۰۰۰، ۹۰۰۰ و ۷۰۰۰ دور در دقیقه) هموژن شد، سپس محلول صمغ عربی به آن اضافه و دوباره ۸ دقیقه هموژن شد. با این ترتیب امولسیون چندگانه روغن در آب آماده شد. امولسیون‌های تهیه شده بهمنظور بررسی اندازه ذرات به دانشگاه تربیت مدرس تهران منتقل شدند. pH امولسیون با استفاده از ۰/۱ HCl تهران منتقل شدند.

مولار به ۳/۸ رسید و بهمنظور ایجاد پیوندهای عرضی بین مواد پلیمری ۱ درصد آنزیم ترانس‌گلوتامیناز نیز اضافه شد، سپس ۴ درصد مالتودکسترنین بهمنظور خشک شدن بهتر دیواره‌ها به محلول‌ها اضافه گردید و ۲ دقیقه با سرعت ۷۰۰۰ دور در دقیقه هموژن شدند سپس امولسیون‌ها بهمنظور خشک شدن به دستگاه خشک کن

دیواره بهمنظور ریزپوشانی روغن ماهی مورد استفاده قرار گرفت. براساس مطالعه‌های قبلی، کپسوله کردن روغن ماهی در مواد دیواره بتا-سیکلودکسترنین با نسبت ۱۰:۲۰ (روغن ماهی: بتا-سیکلودکسترنین) بهترین ترکیب از لحاظ کارایی ریزپوشانی (۸۴/۱ درصد)، بارگیری روغن ماهی (۶۲/۷ درصد)، نشت روغن ماهی پس از خشک کردن انجامدی (۱۱/۰ درصد) را نشان داد. در مطالعه امگا-۳ با استفاده از ژلاتین ماهی و صمغ عربی ریزپوشانی و با روش سطح پاسخ (RSM) بهینه‌سازی شد. در این مطالعه تأثیر سه متغیر مستقل غلظت ژلاتین ماهی (۳۳ تا ۶۶ درصد)، غلظت اسید چرب امگا-۳ (۱۰ تا ۳۰ درصد) و سرعت هموژنایزر (۲۰۰۰۰، ۱۵۰۰۰ و ۱۰۰۰۰ دور در دقیقه) بر سطح پاسخ مختلف مورده بررسی قرار گرفت. در مطالعه حاضر از ویتامین E بهمنظور پایداری اکسایشی نانوذرات استفاده شد. Pourashouri (۲۰۱۲) در مطالعه خود تأثیر مواد دیواره روی ریزپوشانی و پایداری روغن کبد ماهی کاد^۱ و روغن امگا-۳ را بررسی کردند. مطالعه روی روغن سطحی نشان داد که کمترین میزان روغن سطحی در تیمارهای حاوی مواد دیواره ژلاتین و بیشترین روغن سطحی در تیمارهای حاوی مواد دیواره کیتوزان وجود داشت. پودرهای روغن ماهی ریزپوشانی شده با کیتوزان درصد کارایی ریزپوشانی کمتری (۶۷/۳۵ درصد) در مقایسه با پودرهای ژلاتین - ترانس‌گلوتامیناز (۸۸/۰۱ درصد) نشان دادند. از روش‌های افزایش ماندگاری اسیدهای چرب غیراشباع می‌توان به افزودن آنتی‌اکسیدان (طبیعی و مصنوعی) و فرایند ریزپوشانی هم‌زمان روغن ماهی از مطالعه حاضر بهینه‌یابی ریزپوشانی اشاره کرد. هدف حاوی امگا-۳ و ویتامین E (به عنوان آنتی‌اکسیدان طبیعی) با استفاده از ژلاتین و صمغ عربی به عنوان مواد دیواره با استفاده از تکنیک کواسرواسیون ترکیبی بود.

مواد و روش‌ها

روغن ماهی از گوشت ماهی قزل‌آلای رنگین‌کمان^۲ به روش خیساندن (نسبت هگزان به ایزوپروپانول برابر ۱ به ۳) استخراج شد (Lin & Lin, 2015)، ویتامین E (شرکت

¹ Code fish

² *Oncorhynchus mykiss*

میلی لیتر هگزان به ۲/۵ گرم پودر نانوپوشینه اضافه شد و به مدت ۲ دقیقه ورتكس شد، سپس به مدت ۲۰ دقیقه Universal در ۸۰۰۰ دور در دقیقه سانتریفیوژ (Centrifuge, BH:1200, ساخت ایران) شد. محلول رویی از کاغذ صافی عبور داده شد و ۲ بار با هگزان شسته شد. هگزان توسط روتاری با دمای ۷۰ درجه سانتی گراد تبخیر شد و روغن باقیمانده در ۱۰۵ درجه سانتی گراد خشک شده و روغن آزاد محاسبه گردید. (Klinkesorn, Sophanodora, Chinachoti, Decker, & McClements, 2006)

اندازه گیری روغن پوشینه شده^۴

به منظور اندازه گیری روغن پوشینه شده، پودر عاری از چربی سطحی (پودر حاصل از مرحله قبل) با ۲ میلی لیتر آب مقطر مخلوط شد و به مدت ۱ دقیقه ورتكس شد. محلول حاصل با ۲۵ میلی لیتر از هگزان^۳/ایزوپروپانول ۱ استخراج شده و سپس به مدت ۲۰ دقیقه در ۴۰۰۰ دور در دقیقه سانتریفیوژ شد. فاز آلبی شفاف جمع آوری شده و دوباره فاز آلبی با مخلوط حلal استخراج شد. درنهایت این محلول حاوی روغن پوشینه شده در آون با دمای ۱۰۵ درجه سانتی گراد تبخیر شد و وزن روغن باقیمانده محاسبه گردید (Klinkesorn et al., 2006).

اندازه گیری روغن کل^۵

روغن کل به مجموع روغن های سطحی و پوشینه شده گفته می شود. بدین منظور ۲ میلی لیتر آب مقطر به ۰/۵ گرم پودر نانوپوشینه اضافه شد و به مدت ۱ دقیقه ورتكس شد سپس روغن کل با استفاده از روش گفته شده برای روغن پوشینه شده استخراج شد (Klinkesorn et al., 2006).

اندازه گیری کارایی ریزپوشانی (EE^۶)

کارایی ریزپوشانی با استفاده از رابطه (۴) محاسبه شد (Klinkesorn et al., 2006)

انجمادی Alpha Freeze Dryer Vacume concentrators ۲-۴ LDplus ساخت آلمان منتقل و نانوپوشینه ها تولید شدند (Liu, Low, & Nickerson, 2010).

اندازه ڈرات امولسیون

اندازه ڈرات امولسیون و پتانسیل زتا با استفاده از دستگاه Zetasizer Nano^۱ (DLS) (مدل Malvern Series Garcia-Moreno, Guadix, Guadix, & Jacobsen, 2016) میانگین قطر حجمی (میانگین حجم معادل) از رابطه (۱) محاسبه شد:

$$\text{رابطه (۱)}$$

$$D_{43} = \frac{\varepsilon n_i d_i^4}{\varepsilon n_i d_i^3}$$

در رابطه (۱)، εn_i : مجموع تعداد قطرات با قطر d_i و D_{43} : میانگین قطر بر حسب حجم - وزن است. توزیع اندازه ڈرات با استفاده از رابطه (۲) محاسبه شد:

$$\text{رابطه (۲)}$$

$$Span = \frac{D(90\%) - D(10\%)}{D(50\%)}$$

در رابطه (۲)، D : ۱۰، ۵۰ و ۹۰ درصد: قطری که حجم ڈرات کوچکتر از آن به ترتیب ۱۰، ۵۰ و ۹۰ درصد حجم کل ڈرات موجود در سیستم را تشکیل می دهد. سطح ویژه ڈرات^۲ (SSA) نیز بر حسب میلی متر مربع بر میلی لیتر از روی قطر متوسط در رابطه (۳) محاسبه شد:

$$\text{رابطه (۳)}$$

$$SSA = \frac{6}{D_{43}}$$

در رابطه (۳)، SSA: سطح ویژه ڈرات می باشد. در رابطه های (۱)، (۲) و (۳) داده ها به صورت دستی وارد شده اند.

اندازه گیری روغن سطحی^۳ نانوپوشینه

به منظور اندازه گیری روغن سطحی روى ڈرات، ۱۵

¹ Dynamic Light Scattering

² Specific surface area

³ Surface Oil

⁴ Encapsulated Oil

⁵ Total Oil

⁶ Encapsulation Efficiency

جدول ۱- سطوح متغیرهای آزمایشی جهت ریزپوشانی روغن

سطح کدبندی شده			ناماد	نوع متغیر	ماهی
-۱	۰	+۱			
۱	۳	۵	A	روغن ماهی (درصد)	
۱	۳	۵	B	بیوپلیمر کل (درصد)	
۷۰۰۰	۹۰۰۰	۱۱۰۰۰	C	سرعت هموژنايزر (دور در دقیقه)	

جدول ۲- طراحی آزمایش ریزپوشانی روغن ماهی به همراه ویتامین E با مواد پلیمری ژلاتین و صمغ عربی با استفاده از روش کوآسرواسیون ترکیبی

سرعت هموژنايزر (دور در دقیقه)	بیوپلیمر کل (درصد)	روغن ماهی (درصد)	تیمار
۹۰۰۰	۳	۳	۱
۱۱۰۰۰	۱	۱	۲
۹۰۰۰	۵	۲	۳
۱۱۰۰۰	۵	۵	۴
۹۰۰۰	۳	۵	۵
۹۰۰۰	۳	۳	۶
۷۰۰۰	۳	۳	۷
۹۰۰۰	۳	۳	۸
۷۰۰۰	۵	۵	۹
۱۱۰۰۰	۱	۵	۱۰
۷۰۰۰	۱	۱	۱۱
۱۱۰۰۰	۵	۱	۱۲
۹۰۰۰	۳	۳	۱۳
۹۰۰۰	۳	۱	۱۴
۹۰۰۰	۱	۳	۱۵
۹۰۰۰	۳	۳	۱۶
۱۱۰۰۰	۳	۳	۱۷
۷۰۰۰	۱	۵	۱۸
۹۰۰۰	۳	۳	۱۹
۷۰۰۰	۵	۱	۲۰

نتایج

اندازه ذرات امولسیون و توزیع آنها

نتایج بررسی اندازه ذرات امولسیون در جدول (۳) آورده شده است. بهمنظور بررسی اندازه و پتانسیل زتا ذرات امولسیون ۳ تیمار ۱۱، ۶ و ۱۰ انتخاب شدند. معیار انتخاب این نمونه‌ها براساس بهینه‌سازی کارایی ریزپوشانی با استفاده از روش سطح پاسخ (RSM) می‌باشد. نتایج نشان دادند محدوده میانگین اندازه ذرات بین ۵۹/۲ تا ۵۱۴ نانومتر می‌باشد. براساس نتایج تیمار ۱۱ (تیمار

رابطه (۴)

$$\frac{\text{روغن کپسوله شده}}{\text{روغن کل}} = \frac{\frac{\text{گرم}}{\text{گرم}}}{\frac{۱۰۰}{۱۰۰}} = \text{درصد ریزپوشانی}$$

تجزیه و تحلیل آماری

در این پژوهش به منظور بهینه‌سازی تیمارهای آزمایشی از طرح آماری روش سطح پاسخ (RSM) استفاده شد، همچنین به منظور بهینه‌سازی فرایند تولید نانوپوشینه‌ها از طرح مرکب مرکزی^۱ (CCD) استفاده شد (جدول ۲). این طرح دارای ۲۰ آزمایش که خود شامل ۸ نقطه فاکتوریل، ۶ نقطه محوری و ۶ نقطه مرکزی به منظور تخمین خطای آزمایش بود. در جدول (۱) اثر متغیرهای مستقل شامل میزان روغن ماهی، میزان بیوپلیمر کل و سرعت هموژنايزر در ۳ سطح آورده شده است. بهینه‌سازی براساس میزان کارایی ریزپوشانی به عنوان شاخص در نظر گرفته شد. آزمون آماری مدل به دست آمده برای هر پاسخ براساس آزمون آنالیز واریانس (ANOVA) صورت گرفت. جهت طراحی آزمایش، آنالیز نتایج، رسم نمودارها و بهینه‌سازی از نرم افزار دیزاین اکسپرت^۲ (نسخه ۷) استفاده شد. شاخص‌های اندازه‌گیری شده طبق رابطه (۵) مدل‌سازی شدند.

رابطه (۵)

$$Y = \beta_0 + \sum_{i=1}^3 \beta_i X_i + \sum_{i=1}^3 \beta_{ii} X_i^2 + \sum_{i \neq j} \sum \beta_{ij} X_i X_j$$

رابطه (۵) شامل اثرات خطی^۳ عوامل، اثر مربع^۴ یا درجه دوی^۵ عوامل و اثر برهمنش، متقابل یا تداخلی^۶ متغیرهای مستقل می‌باشد. Y عبارت است از متغیر وابسته β_0 , β_i , β_{ii} و β_{ij} ثابت‌های برآورده شده توسط مدل X_i و X_j سطح متغیرهای مستقل بوده و آنها به ترتیب نمایانگر اثرات خطی، درجه دوم و اثرات متقابل متغیرهای X_1 , X_2 و X_3 که با نماد A, B و C در جدول (۱) نشان داده شده‌اند، روی پاسخ می‌باشند.

¹ Central composite rotatable design² Design Expert 7³ Linear⁴ Square⁵ Quadratic⁶ Interaction

بیopolymer کل و سرعت هموژنایزر ۹۰۰۰ دور در دقیقه می‌باشد. شاخص اسپان دامنه نمودار توزیع اندازه ذرات را نشان می‌دهد. کوچکتر بودن شاخص اسپان در تیمار ۶ (مرکزی) نشان داد ذرات از پراکنش یکنواخت‌تری در این امولسیون برخوردارند. در این مطالعه سطح ویژه در محدوده $0/1 - ۰/۰۱$ میلی‌متر مربع بر میلی‌لیتر اندازه‌گیری شد. طبق نتایج تیمار ۶ دارای بیشترین میزان سطح ویژه ($۰/۰۱$ میلی‌متر مربع بر میلی‌لیتر) نسبت به ۲ تیمار دیگر است.

بهینه) بهترین درصد کارایی ریزپوشانی را داشت اما اندازه پوشینه‌های تولیدشده در سرعت هموژنایزر ۷۰۰۰ دور در دقیقه معادل ۵۱۴ نانومتر بود. در مقایسه دو تیمار ۶ (مرکزی) و ۱۰ (غیربهینه یا پایین‌ترین درصد کارایی ریزپوشانی) اندازه پوشینه‌های تولیدی بهتری معادل $۵/۹/۲$ و $۱۱۲/۱$ نانومتر بود، نتیجه اینکه افزایش درصد روغن ماهی و سرعت هموژنایزر باعث افزایش اندازه ذرات شده است. کوچکترین اندازه ذرات $۳۷/۶۸$ و $۸۰/۷۲$ نانومتر اندازه‌گیری شده است که مربوط به تیمار ۶ یا مرکزی بوده که شامل ۳ درصد روغن ماهی، ۳ درصد

جدول ۳-داده‌های مربوط به میانگین اندازه ذرات، سطح مخصوص، عدد اسپان و پتانسیل زتا امولسیون

تیمار	روغن ماهی	بیopolymer کل	سرعت هموژنایزر (دور در دقیقه)	میانگین اندازه ذرات (نانومتر)	سطح مخصوص ذرات (میلی‌متر مربع/میلی‌لیتر)	عدد اسپان	پتانسیل زتا (میلی‌ولت)
۱۱ (بهینه)	۱	۷۰۰۰	$۵۱۴ \pm ۰/۴۰$	$۰/۰۱$	-۳۷/۸۰±۰/۰۷	۰/۸۱	-۳۷/۸۰±۰/۰۷
۶ (مرکزی)	۳	۹۰۰۰	$۵۹/۲۰ \pm ۳۰/۴۰$	$۰/۱۰$	-۳۶/۲۰±۱/۵۰	۰/۴۱	-۳۶/۲۰±۱/۵۰
۱۰ (غیربهینه)	۵	۱۱۰۰۰	$۱۱۲/۱۰ \pm ۹/۳۰$	$۰/۰۵$	-۴۹/۱۰±۳/۹۰	۰/۴۷	-۴۹/۱۰±۳/۹۰

میانگین ± انحراف میلار

پاسخ روغن سطحی نانوپوشینه‌های تولیدی نشان دادند تغییرات درصد روغن ماهی بیشترین تأثیر را بر میزان روغن سطحی نانوذرات داشته است ($P < 0/01$). پارامتر خطی درصد روغن ماهی و درصد بیopolymer کل در سطح احتمال 99 درصد معنی‌دار شده است ($P < 0/01$). در این سطح پاسخ روغن ماهی و بیopolymer کل به یکدیگر وابسته‌اند زیرا اثرات متقابل آنها در سطح احتمال 95 درصد معنی‌دار شد ($P < 0/05$). اثر روغن ماهی بر سطح پاسخ دارای بالاترین مقدار F-value بوده است. اثر متقابل سرعت هموژنایزر و درصد بیopolymer کل در سطح احتمال 95 درصد نیز معنی‌دار می‌باشد ($P < 0/05$).

اندازه‌گیری پتانسیل زتا مقادیر پتانسیل زتا در ۳ تیمار در محدوده $۳۶/۲ - ۴۹/۱$ اندازه‌گیری شد. بیشترین میزان پتانسیل زتا مربوط به تیمار ۱۰ است، بنابراین این تیمار از لحظه بار سطحی امولسیون و دافعه الکترواستاتیک بین ذرات شرایط خوبی دارد که از بهم‌چسبیدن و کلوخه‌شدن ذرات در امولسیون جلوگیری می‌کند.

اندازه‌گیری روغن سطحی نتایج اندازه‌گیری روغن سطحی در جدول (۴) آورده شده است. نتایج حاصل از آزمون آنالیز واریانس (جدول ۵)

جدول ۴-نتایج اندازه‌گیری روغن سطحی و روغن پوشینه‌شده و کارایی ریزپوشانی نانوپوشینه‌های تولیدی

تیمار	روغن ماهی (درصد)	بیopolymer کل (درصد)	سرعت هموژنایزر (دور در دقیقه)	روغن سطحی (گرم/۱۰۰ گرم)	روغن سطحی (گرم/۱۰۰ گرم)	روغن پوشینه‌شده (گرم/۱۰۰ گرم)	کارایی ریزپوشانی (درصد)
۱	۳	۹۰۰۰	$۱/۳۲ \pm ۰/۰۴$	$۲۹/۱۰ \pm ۰/۱۰$	$۱/۳۲ \pm ۰/۰۴$	$۲۹/۱۰ \pm ۰/۱۰$	۹۵/۶۵±۰/۱۰
۲	۱	۱۱۰۰۰	$۰/۵۵ \pm ۰/۵۵$	$۷/۷۲ \pm ۰/۶۰$	$۰/۵۵ \pm ۰/۵۵$	$۷/۷۲ \pm ۰/۶۰$	۹۸/۷۶±۰/۱۰
۳	۵	۹۰۰۰	$۱/۲۸ \pm ۱/۶۰$	$۳۲/۵۷ \pm ۱/۲۰$	$۱/۲۸ \pm ۱/۶۰$	$۳۲/۵۷ \pm ۱/۲۰$	۹۴/۴۰±۱/۳۵
۴	۵	۱۱۰۰۰	$۳/۰/۸ \pm ۰/۰۰$	$۲۰/۱۲ \pm ۰/۲۰$	$۳/۰/۸ \pm ۰/۰۰$	$۲۰/۱۲ \pm ۰/۲۰$	۸۵/۸۱±۱/۴۰
۵	۵	۹۰۰۰	$۶/۴۲ \pm ۰/۲۰$	$۳۵/۳۸ \pm ۰/۷۰$	$۶/۴۲ \pm ۰/۲۰$	$۳۵/۳۸ \pm ۰/۷۰$	۸۴/۳۶±۰/۲۰

ادامه جدول ۴- نتایج اندازه‌گیری روغن سطحی و روغن پوشینه شده و کارآیی ریزپوشانی نانوپوشینه‌های تولیدی

کارایی ریزپوشانی (درصد)	روغن پوشینه شده (گرم/۱۰۰ گرم)	روغن سطحی (گرم/۱۰۰ گرم)	سرعت هموزنايزر (دور در دقیقه)	بیopolymer کل (درصد)	روغن ماهی (درصد)	تیمار
۹۶/۱۳±۰/۱۰	۲۸/۹۴±۰/۴۰	۱/۳۶±۰/۲۰	۹۰۰۰	۳	۳	۶
۹۴/۵۸±۰/۰۶	۱۶/۱۷±۰/۶۰	۰/۹۲±۰/۰۴	۷۰۰۰	۳	۳	۷
۸۹/۵۳±۰/۶۰	۲۸/۲۹±۰/۸۰	۳/۱۸±۰/۱۰	۹۰۰۰	۳	۳	۸
۸۷/۷۶±۰/۴۰	۳۸/۰۳±۰/۷۰	۵/۳۰±۰/۱۰	۷۰۰۰	۵	۵	۹
۵۶/۲۹±۱/۲۰	۱۷/۶۰±۰/۵۰	۱۳/۸۸±۰/۰۷	۱۱۰۰۰	۱	۵	۱۰
۹۷/۹۷±۰/۰۶	۱۴/۷۷±۰/۹۰	۰/۳۰±۰/۰۱	۷۰۰۰	۱	۱	۱۱
۹۶/۰۹±۰/۵۰	۰/۸/۴۴±۰/۲۰	۰/۲۵±۰/۰۵	۱۱۰۰۰	۵	۱	۱۲
۸۶/۹۹±۰/۵۰	۱۹/۱۱±۰/۷۰	۲/۸۵±۰/۰۳	۹۰۰۰	۳	۳	۱۳
۸۲/۲۶±۱/۳۷	۱۱/۵۲±۰/۴۰	۲/۴۸±۰/۱۰	۹۰۰۰	۳	۱	۱۴
۸۰/۷۶±۰/۲۰	۲۰/۵۲±۰/۲۰	۴/۸۸±۰/۰۳	۹۰۰۰	۱	۳	۱۵
۹۴/۲۵±۰/۹۰	۲۷/۶۸±۰/۳۰	۱/۶۸±۰/۲۰	۹۰۰۰	۳	۳	۱۶
۹۵/۲۵±۰/۰۶	۲۸/۰۸±۰/۲۰	۱/۴۰±۰/۰۱	۱۱۰۰۰	۳	۳	۱۷
۷۲/۴۹±۰/۲۰	۲۵/۴۰±۰/۸۰	۹/۶۳±۰/۴۰	۷۰۰۰	۱	۵	۱۸
۹۲/۶۲±۱/۰۱	۳۰/۷۴±۰/۷۰	۲/۴۵±۰/۴۰	۹۰۰۰	۳	۳	۱۹
۹۳/۵۸±۰/۸۰	۱۴/۴۷±۰/۰۲	۰/۹۰±۰/۱۰	۷۰۰۰	۵	۱	۲۰

جدول ۵- آنالیز واریانس پارامترهای اندازه‌گیری شده نانوپوشینه‌های تولیدی

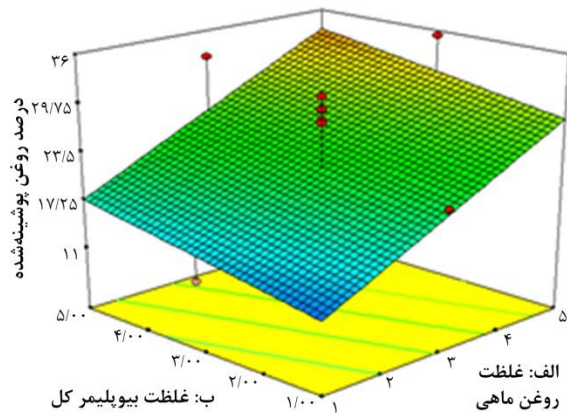
کارایی ریزپوشانی	روغن پوشینه شده			روغن سطحی			مدل‌ها
سطح احتمال	مجموع مربعات	سطح احتمال	مجموع مربعات	سطح احتمال	مجموع مربعات	مجموع مربعات	(منبع)
۰/۰۰۶۵	۱۶۶۰/۹۷	۰/۰۰۶۸	۷۸۲۲/۲۷	۰/۰۰۰۱	۱۱۴/۴۷	مدل	
۰/۰۰۱۰	۶۹۷/۸۱	۰/۰۰۱۷	۶۳۳/۵۸	۰/۰۰۰۱	۳۴/۰۳	A	
۰/۰۱۶۱	۲۷۶/۵۲	۰/۲۰۹۲	۷۶/۳۹	۰/۰۰۰۳	۳۴/۰۳	B	
۰/۴۶۶۸	۱۸/۹۵	۰/۲۲۱۲	۷۲/۳۰	۰/۰۵۷۱	۰/۴۴	C	
۰/۰۱۱۵	۳۱۵/۹۵	-	-	۰/۰۰۰۶	۲۹/۷۴	AB	
۰/۲۰۸۸	۵۹/۷۶	-	-	۰/۴۵۳۱	۰/۷۴	AC	
۰/۳۳۷۵	۳۳/۶۰	-	-	۰/۰۳۹۱	۵/۹۹	BC	
-	-	-	-	۰/۰۰۶۹	۱۳/۸۵	A ²	
-	-	-	-	۰/۲۱۳۰	۲/۱۳	B ²	
-	-	-	-	۰/۱۴۵۷	۳/۰۰	C ²	
-	۳۳۱/۱۲	-	۷۱۳/۸۱	-	۱۲/۰۶	باقی‌مانده	
۰/۰۷۴۹	۲۶۵/۷۷	۰/۰۹۵۳	۶۲۸/۹۴	۰/۱۴۲۷	۸/۸۸	عدم برازش	
-	۶۵/۳۵	-	۸۴/۸۷	-	۳/۱۹	خطای خالص	
-	۱۹۹۲/۱۰	-	۱۴۹۶/۰۸	-	۲۲۵/۰۶	مجموع مربعات کل	

خود به کار رود. با افزایش درصد روغن ماهی و کاهش درصد بیopolymer کل میزان روغن سطحی نانوذرات افزایش یافته است.

معنی‌داربودن اثرات خطی، متقابل و درجه‌دو متغیرها بر پاسخ روغن سطحی به خوبی در مدل به دست‌آمده جدول (۶) مشهود است. شکل (۱) نمودار اثر متقابل متغیرهای روغن ماهی و بیopolymer کل بر تغییرات روغن سطحی نانوپوشینه تولیدی را نشان داده است. طبق نمودار کمترین میزان روغن سطحی نانوپوشینه تولیدی زمانی مشاهده می‌شود که روغن ماهی در حداقل درصد

جدول ۶- مدل‌های برآورد شده برای پارامترهای مورد اندازه‌گیری نانوپوشینه‌های تولیدی

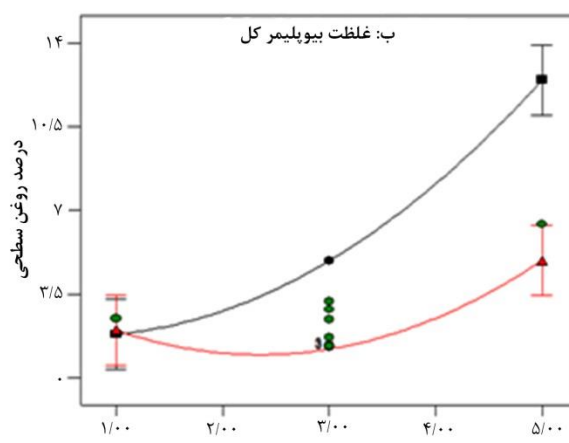
ردیف	متغیر اندازه‌گیری شده	مدل به دست آمده	R^2	$R^2\text{-adj}$
۱	روغن سطحی	$Y = 2/17 + 3/38A - 1/84B - 1/93AB - 0/92BC + 2/24A^2$	۰/۹۵	۰/۹۰
۲	روغن پوشینه شده	$Y = 22/69 + 7/96A$	۰/۵۲	۰/۴۳
	کارایی ریزپوشانی	$Y = 91/70 - 8/35A + 5/26B + 6/28AB$	۰/۸۳	۰/۶۸



شکل ۲- نمودار سه‌بعدی اثر روغن ماهی و بیوبلیمر کل بر مقدار روغن پوشینه شده نانوپوشینه‌های تولیدی

کارایی ریزپوشانی

مقادیر کارایی ریزپوشانی در جدول (۴) آورده شده است. نتایج حاصل از آنالیز واریانس (جدول ۵) پاسخ کارایی نشان داده است، دو پارامتر درصد روغن ماهی ($P < 0.01$) و درصد بیوبلیمر کل ($P < 0.05$) بر میزان تغییرات کارایی ریزپوشانی به صورت خطی مؤثر می‌باشند، نتایج آماری نشان داد که پارامتر خطی درصد روغن ماهی بیشترین تأثیر را بر کارایی ریزپوشانی داشت. همچنین روغن ماهی و بیوبلیمر کل در این سطح پاسخ دارای اثر متقابل هستند و درصد بیوبلیمر کل را بر میزان تغییرات پاسخ ماهی و درصد بیوبلیمر کل را بر میزان تغییرات پاسخ کارایی ریزپوشانی نشان می‌دهد. با افزایش درصد روغن ماهی نسبت به بیوبلیمر کل میزان کارایی ریزپوشانی به طور چشمگیری کاهش یافته است.



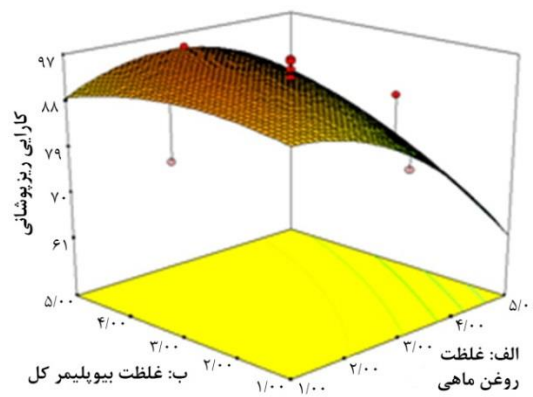
شکل ۱- نمودار اثر متقابل متغیرهای روغن ماهی و بیوبلیمر کل بر تغییرات روغن سطحی نانوپوشینه‌های تولیدی

اندازه‌گیری روغن پوشینه شده

نتایج اندازه‌گیری روغن پوشینه شده در جدول (۴) آورده شده است. نتایج حاصل از آزمون آنالیز واریانس (جدول ۵) پاسخ روغن پوشینه شده نشان می‌دهد پارامتر خطی درصد روغن ماهی بر میزان تغییرات روغن پوشینه شده در سطح احتمال ۹۹ درصد معنی‌دار شده است ($P < 0.01$). در شکل (۲) نمودار سه‌بعدی اثر روغن ماهی و بیوبلیمر کل بر مقدار روغن پوشینه شده نانوپوشینه‌های تولیدی نمایش داده شدند. در شکل (۲) خط انحنای غلظت روغن ماهی دارای شبیه تند است که نشان می‌دهد بسیار بر سطح پاسخ (روغن پوشینه شده) اثرگذار است و سطح پاسخ به این متغیر بسیار حساس می‌باشد ($P < 0.01$ ، به طوری که با افزایش درصد روغن ماهی و درصد بیوبلیمر کل میزان روغنی که توسط دیوارهای پلیمری احاطه می‌شوند نیز افزایش یافته است. همان‌طور که در جدول (۵) مشاهده شد اثرات متقابل و درجه‌دو متغیرها بر پاسخ روغن پوشینه شده تأثیر معنی‌داری نداشتند به همین علت از مدل موردنبررسی که در جدول (۶) آورده شد، حذف گردیدند.

بحث و نتایج

تهیه یک امولسیون پایدار با ویژگی‌های مناسب مهم‌ترین مرحله پیش از فرایند ریزپوشانی است (Hosseini, Sadeghi-Mahoonak, Jafari, Ghorbani, & Salimi, 2016). در بعضی از مطالعه‌های گزارش شده که نوع ماده دیواره بر اندازه ذرات تأثیرگذار است (Choi et al., 2010; Jafari, Assadpoor, Bhandari, & He, 2008) پژوهش حاضر غلظت مواد دیواره تأثیری در اندازه ذرات نداشتند، اما درصد روغن ماهی و سرعت هموژنايزر بر تغییرات اندازه ذرات مؤثر بودند، به طوری که افزایش درصد روغن ماهی و سرعت هموژنايزر در دو تیمار ۶ (مرکزی) و ۱۱ (غیربهینه) سبب افزایش اندازه ذرات شده است. بزرگ‌تر شدن اندازه ذرات در سرعت بالای هموژنايزر احتمالاً به دلیل بوجود آمدن پدیده پیوند مجدد ذرات امولسیون^{۲۲} می‌باشد. هنگامی که ذرات درون امولسیون تحت تلاطم با شدت بالا قرار می‌گیرند، در اثر برخورد بین ذرات تمايل به پیوند مجدد بین آنها بوجود می‌آید (Jafari et al., 2008). اندازه ذرات و توزیع آنها، نقش مهمی در ویژگی‌های فیزیکی سیستم‌های کلئیدی مانند پایداری در طی نگهداری، کدورت و ویژگی‌های رئولوژیکی Azizanbari, Ghanbarzadeh, Hamishekar, & Dard (Hosseini, 2013). اندازه میکروپوشینه‌ها به منظور کاربردهای غذایی برای جلوگیری از حساسیت دهان به مواد غذایی باید کمتر از ۱۰۰ میکرومتر باشد همچنین به منظور حفظ یکارچگی محصول، توزیع اندازه ذرات نیز باید محدود باشد (Kaushik et al., 2015) و Jafarpour همکاران (۲۰۱۶) در مطالعه خود توسط مواد پلیمری ژلاتین و صمغ عربی و با استفاده از روش کوآسرواسیون ترکیبی نانوذرات حاوی امگا-۳ را تولید و با استفاده از روش سطح پاسخ (RSM) بهینه‌سازی کردند. نتایج نشان دادند، در تیمارهایی که غلظت ژلاتین ثابت بود با افزایش غلظت آسیدهای چرب امگا-۳ و هم‌زمان افزایش سرعت هموژنايزر سایز ذرات افزایش یافت که با مطالعه حاضر مطابقت داشت. Zhou, Liu, Xiao, Niu (۲۰۱۴) ویژگی‌های میکروپوشینه‌های چند‌هسته‌ای روغن اسطوخودس با استفاده از کوآسرواسیون ترکیبی موردنرسی قرار دادند. در این مطالعه با افزایش نسبت هسته به مواد دیواره و افزایش سرعت هموژنايزر میانگین



شکل ۳- نمودار سه‌بعدی اثر روغن ماهی و بیوپلیمر کل بر میزان کارآبی ریزپوشانی

باتوجه به اطلاعات موجود در جدول (۶)، جدای از فاکتور روغن پوشینه شده، مدل‌های به دست آمده و برآورد داده شده در تمامی سطح پاسخ‌های موردنرسی در آزمایش (متغیرهای وابسته)، صحت مدل از ضریب تبیین (R^2) و ضریب تبیین اصلاح شده بالا برخوردار بود. مقادیر ضریب تبیین (R^2) به عنوان درجه‌ای از تناسب برآذش برای تمامی مدل‌های ارائه شده در توصیف تغییرات پاسخ به عنوان تابعی از متغیرهای مستقل، قدرت توضیح دهنگی تغییرات کل داده‌ها را بیان نمود. مشاهده‌های حاصل از انجام آزمایش‌ها، بیانگر همبستگی خوب بین نتایج به دست آمده با روش تجربی و مقادیر پیش‌بینی شده با روش آماری است (جدول ۶ و ۷).

جدول (۷) پارامترهای بهینه را برای متغیرهای مستقل و پاسخ‌های وابسته نشان داده است. نرمافزار دیزاین اکسپرت بهترین مقادیر استفاده از متغیرهای مستقل به منظور تولید نانوپوشینه‌های تولیدی، ۱ درصد روغن ماهی، ۱ درصد بیوپلیمر کل و سرعت هموژنايزر ۷۰۰۰ دور در دقیقه در نظر گرفته است. باتوجه به مقادیر ذکر شده در جدول (۷)، نتایج به دست آمده در شرایط آزمایشگاهی برای هر پاسخ نزدیک به مقادیر پیش‌بینی شده توسط نرم‌افزار می‌باشد.

جدول ۷ - مقادیر بهینه پیش‌بینی شده و واقعی برای متغیرهای مستقل و سطح پاسخ‌ها

مقادیر پیش‌بینی شده	روغن سطحی	روغن پوشینه شده	کارایی
۰/۳۰	۰/۲۵	۱۸/۰۱	۹۶/۶۹
واقعی	واقعی	۱۴/۷۷	۹۷/۹۷

²² Re-coalescence

تعیین وضعیت الکتریکی سطح ذرات است چراکه نشان‌دهنده میزان تجمع بار در لایه غیرمتحرک و شدت جذب یون‌های مخالف روی سطح ذره است و بنابراین بار ذرات بر حسب پتانسیل زتا گزارش می‌شود. بالاودن پتانسیل زتا از ذرات کلوئیدی موجب بالارفتمن نیروی دافعه الکترواستاتیک و درنتیجه افزایش پایداری فیزیکی سیستم می‌شود. عوامل مختلفی از جمله قدرت یونی، نوع و غلظت بیopolymerهای پلی‌ساقاریدی و پروتئینی مورد استفاده و نسبت بین آنها روی میزان بار سطحی و پتانسیل زتا کمپلکس حاصل مؤثر است. طبق نتایج به دست آمده در هر سه تیمار انتخابی، میزان پتانسیل زتا در خارج از محدوده ± 30 میلیولت بود بنابراین امولسیون‌ها از لحاظ بار سطحی میکروپوشینه‌ها در محیط آبی شرایط مناسبی را نشان داده‌اند (García-Moreno *et al.*, 2016). Razavi و Kadkhodaei, Koocheki, Mohammadzadeh (۲۰۱۳) اثر مخلوط پروتئین آب‌پنیر و صمغ دانه مرو را بررسی کردند. نتایج نشان داد در حضور ۰/۱ درصد صمغ بار منفی ذرات امولسیون افزایش یافته که دلیل آن تجمع بار منفی بیشتر در امولسیون است.

در مطالعه حاضر میزان روغن سطحی در مقادیر ۰/۳ تا ۱۳/۸۸ (گرم در ۱۰۰ گرم نانوپوشینه) در تیمارهای مختلف به دست آمد با توجه به آنالیزهای آماری صورت گرفته درصد روغن ماهی بیشترین تأثیر را بر تغییرات پاسخ روغن سطحی نشان داده است، در این پژوهش تیمارهایی که در آنها از روغن بیشتری جهت تهیه امولسیون استفاده شده بود در مقایسه با تیمارهای با درصد کمتر روغن، میزان بیشتری روغن در سطح ذرات حضور داشت. نتایج حاصل از بررسی روغن سطحی و کارایی ریزپوشانی در این مطالعه با نتایج حاصل از مطالعه Sharifi (۲۰۱۶) مطابقت داشت؛ در مطالعه آنها روغن ماهی و اسانس میخک در کواسروای حاصل از برهم‌کش بین ژلاتین ماهی و صمغ عربی درون‌پوشانی شد، مطابق با نتایج، روغن سطحی با افزایش درصد روغن در سطح نانوپوشینه‌ها افزایش و کارایی ریزپوشانی کاهش یافت. در این مطالعه میزان کارایی ریزپوشانی بین ۹۸ تا ۶۵ درصد اندازه‌گیری شد. همچنین Liu و همکاران (۲۰۱۰) در مطالعه خود ریزپوشانی روغن بذر کتان را با استفاده از ژلاتین و صمغ عربی بررسی کردند، طبق مشاهده‌ها مقدار روغن پوشینه‌نشده با افزایش غلظت بیopolymerها از ۱ به ۲

اندازه ذرات افزایش یافت. Rezaei, Zandi, Hosseini, Farahmandgahi (۲۰۱۳) در پژوهش خود با روش دومرحله‌ای ریزپوشانی نانوذرات اسانس پونه‌کوهی در کیتوزان را در شرایط آزمایشگاهی موربدبررسی قرار دادند. نتایج نشان دادند میانگین اندازه نانوذرات کیتوزان و نانوذرات اسانس پونه‌کوهی بارگیری شده در کیتوزان در محدوده بین ۴۰ تا ۸۰ نانومتر قرار دارند. اندازه نانوذرات کیتوزان کوچک‌تر از نانوذرات اسانس پونه‌کوهی می‌باشد که ناشی از بارگیری اسانس پونه‌کوهی در نانوذرات کیتوزان بود.

محاسبه شاخص اسپان یکی از روش‌های رایج برای بیان دامنه توزیع اندازه ذرات است. پایین‌بودن این شاخص نشان‌دهنده توزیع یکنواخت و بالاودن آن بیان گر عدم یکنواختی در توزیع اندازه ذرات است (Alipour, Kocheki, Kadkhodai, & Varidi, 2015). در مطالعه حاضر کمترین شاخص اسپان مربوط به تیمار ۶ (مرکزی) می‌باشد، بنابراین می‌توان نتیجه گرفت توزیع اندازه ذرات در تیمار ۶ نسبت به تیمار ۱۱ (بهینه) و ۱۰ (غیربهینه) از یکنواختی بیشتری برخوردار است. بهمنظور بررسی پایداری امولسیون سطح ویژه اندازه ذرات موربدبررسی قرار گرفت. افزایش سطح ویژه ذرات نشان‌دهنده افزایش ثبات امولسیون است که هرچه این عدد بزرگ‌تر باشد، پایداری امولسیون بیشتر است (Alipour *et al.*, 2015). نتایج نشان داد تیمار ۶ (مرکزی) با داشتن بیشترین میزان سطح ویژه (۱۰ میلی‌متر مربع بر میلی‌لیتر) نسبت به ۲ تیمار دیگر، از پایداری بیشتری برخوردار می‌باشد. Zhang و Pan (۲۰۱۱) در مطالعه خود روغن‌زیتون را از طریق مواد دیواره‌ای ژلاتین و صمغ عربی با استفاده از روش سطح پاسخ (RSM) موربدبررسی قرار دادند. در مطالعه آنها عدد اسپان در محدوده ۱/۵۶ تا ۲/۵۹ اندازه‌گیری شد. با توجه به اندیس P عدد اسپان تحت‌تأثیر غلظت روغن‌زیتون و بیopolymer کل قرار داشت. نتایج نشان دادند در حضور میزان بالای بیopolymer یا میزان کمتری روغن‌زیتون به دلیل توانایی امولسیفایری بیشتر، قطره‌های امولسیونی پایدار و یکنواخت تشکیل شده است.

در یک سیستم کلوئیدی، اختلاف پتانسیل بین لایه‌های یونی غیرمتحرک (لایه استرن) و لایه متحرک (لایه انتشار) در اتمسفر یونی اطراف ذرات باردار، پتانسیل زتا نامیده می‌شود. پتانسیل زتا بهترین شاخص برای

(۲۰۱۴) Barrow, Adhikari, Wang در مطالعه Mطالعه Dr. Zlatin بالاترین عملکرد کوآسروسایشون ترکیبی در pH=۴/۷ و در یک ژلاتین با نسبت ۱:۱۵ به هگزاماتافسفات سدیم به دست آمد که تحت این شرایط بهینه، میزان کارایی ریزپوشانی ۹۸/۵۶ درصد اندازه‌گیری شد.

نتیجه‌گیری

هدف از این پژوهش ریزپوشانی همزمان روغن ماهی و ویتامین E به منظور غنی‌سازی نانوپوشینه‌ها در ماتریس پلیمری ژلاتین و صمغ عربی با استفاده از روش کوآسروسایشون ترکیبی بود. بررسی نتایج نشان دادند سرعت هموژنایزر و درصد روغن ماهی در میانگین اندازه ذرات مؤثرند. ریزپوشانی روغن ماهی و ویتامین E با استفاده از روش کوآسروسایشون ترکیبی در ماتریس پلیمری ژلاتین و صمغ عربی قادر است ذراتی در اندازه نانو تولید کند. همچنین آنالیز آماری نتایج نشان داده است که با استفاده از مقادیر بهینه متغیرهای آزمایشی، ۱ درصد روغن ماهی، ۱ درصد بیوپلیمر کل و سرعت هموژنایزر ۷۰۰۰ دور در دقیقه می‌توان نانوذراتی مطلوب با کمترین روغن سطحی و بیشترین میزان کارایی ریزپوشانی تولید کرد.

تشکر و قدردانی

نویسنده‌گان این مقاله بر خود لازم می‌دانند از تلاش و همکاری صمیمانه سرکار خانم مهندس مهرابی و سرکار خانم مهندس شریفی در راهنمایی انجام فعالیت‌های آزمایشگاهی و آقای مهندس امیرحسین یادگاری نائینی در آموزش نرمافزار آماری این پژوهش تشکر و قدردانی به عمل آورند.

درصد افزایش یافته است. در این مطالعه میکروپوشینه‌های ژلاتین - صمغ عربی با نسبت ۱:۱ هسته به دیواره تولید شدند و کارایی ریزپوشانی در این پودرها ۸۴ درصد گزارش شد. فاکتور اصلی اثرگذار بر کارایی ریزپوشانی میکروپوشینه‌سازی روغن‌ها و طعم‌ها، نوع مواد دیواره، ویژگی مواد هسته (غلظت و فراریت)، ویژگی امولسیون (مواد جامد کل، ویسکوزیته و اندازه ذرات) و شرایط خشکشدن می‌باشد؛ بنابراین بهینه‌سازی فرایند خشک‌کردن دارای اهمیت است (Jafari et al., 2008). در سال‌های اخیر به مطالعه‌هایی که با هدف بهبود کارایی ریزپوشانی در جهت خشک‌کردن طعم‌ها و روغن‌های غذایی انجام شده، توجه ویژه‌ای شده است. این بهبود از طریق به حداقل رساندن مقدار روغن پوشینه‌نشده‌ای که در سطح ذرات حضور دارد صورت می‌گیرد که درنتیجه از اکسیداسیون چربی و ازدست‌رفتن فراریت جلوگیری کرده Mehrad, و سبب افزایش عمر مفید محصول می‌شود (Shabanpour, Jafari, & Pourashouri, 2015). حاضر میزان کارایی ریزپوشانی در تیمارهای مختلف بین ۹۸/۷۶ تا ۵۶/۲۹ درصد اندازه‌گیری شد که مطابق با آنالیزهای آماری انجام شده درصد روغن ماهی بیشترین تأثیر را بر تغییرات این سطح پاسخ نشان داده است، به‌طوری که با افزایش درصد روغن ماهی و کاهش درصد بیوپلیمر کل میزان کارایی ریزپوشانی کاهش یافت. در مطالعه Karaca, Nickerson و Low (۲۰۱۳) در بررسی ویژگی‌های فیزیکوشیمیایی روغن بذر کتان ریزپوشانی شده با استفاده از مواد پروتئینی و مالتودکسترین مشاهده شد، با افزایش درصد روغن بذر کتان در امولسیون از ۵/۳ تا ۲۱ درصد میزان کارایی ریزپوشانی از ۸۹ تا ۵۳ درصد کاهش یافت. در این مطالعه میزان کارایی ریزپوشانی از ۴۶/۲ تا ۹۲/۱ درصد قرار داشت.

منابع

- Alipour, A., Kocheki, A., Kadkhoda i, R., & Varidi, M. (2015). The effect of *Alyssum homolocarpum* seed gum–whey protein concentrate on stability of oil–in–water emulsion. *Food Science and Technology*, 12(48), 163-174. (in Persian)
- Arab-Tehrany, E., Jacquot, M., Gaiani, C., Imran, M., Desobry, S., & Linder, M. (2012). Beneficial effects and oxidative stability of omega-3 long-chain polyunsaturated fatty acids. *Trends in Food Science & Technology*, 25(1), 24-33. doi:<https://doi.org/10.1016/j.tifs.2011.12.002>

- Aziz, S., Gill, J., Dutilleul, P., Neufeld, R., & Kermasha, S. (2014). Microencapsulation of krill oil using complex coacervation. *Journal of Microencapsulation*, 31(8), 774-784. doi:<https://doi.org/10.3109/02652048.2014.932028>
- Azizanbari, C., Ghanbarzadeh, B., Hamishekar, H., & Hosseini, M. (2013). Gelan-Caseinate Nanocomplexes as Carriers of Omega-3 Fatty Acids: investigation of Particle Size, Rheology and Encapsulation Efficiency. *Journal of Technology and Food Preservation*, 5(2), 19-42 (in Persian).
- Bahrani, S., Mohammad Hasani, Z., Ghanbarzadeh, B., & Hamishekar, H. (2013, October). *Investigating the effect of pH on particle size, stability and capsulation efficiency of bio polymer nano-complexes of casein-pectin containing omega-3*. Paper presented at the 21st National Congress of Food Science and Technology, Shiraz University. (in Persian). http://www.civilica.com/Paper-NCFOODI21-NCFOODI21_926
- Chang, P.-S., Lee, J., & Lee, J. L. J. (2005). Development of a new colorimetric method determining the yield of microencapsulation of α -tocopherol. *Journal of Agricultural and Food Chemistry*, 53(19), 7385-7389. doi:<https://doi.org/10.1021/jf051015p>
- Choi, M.-J., Ruktanonchai, U., Min, S.-G., Chun, J.-Y., & Soottitantawat, A. (2010). Physical characteristics of fish oil encapsulated by β -cyclodextrin using an aggregation method or polycaprolactone using an emulsion-diffusion method. *Food Chemistry*, 119(4), 1694-1703. doi:<https://doi.org/10.1016/j.foodchem.2009.09.052>
- García-Moreno, P. J., Guadix, A., Guadix, E. M., & Jacobsen, C. (2016). Physical and oxidative stability of fish oil-in-water emulsions stabilized with fish protein hydrolysates. *Food Chemistry*, 203, 124-135. doi:<https://doi.org/10.1016/j.foodchem.2016.02.073>
- Garg, M., Wood, L., Singh, H., & Moughan, P. (2006). Means of delivering recommended levels of long chain n-3 polyunsaturated fatty acids in human diets. *Journal of Food Science*, 71(5), R66-R71. doi:<https://doi.org/10.1111/j.1750-3841.2006.00033.x>
- Ghorbani Hassan Sariei, A., Shahidi, F., Bahadorghousi, H., & Motamedzadegan, A. (2012, October). *Potentials of different omega-3 fatty acids in food enrichments*. Paper presented at the 2nd Food Security Conference, Islamic Azad University, Savadkuh Branch. (in Persian) https://www.civilica.com/Paper-FSS02-FSS02_320.html
- Hogan, S. A., McNamee, B. F., O'Riordan, E. D., & O'Sullivan, M. (2001). Emulsification and microencapsulation properties of sodium caseinate/carbohydrate blends. *International Dairy Journal*, 11(3), 137-144. doi:[https://doi.org/10.1016/S0958-6946\(01\)00091-7](https://doi.org/10.1016/S0958-6946(01)00091-7)
- Hosseini, S., Sadeghi-Mahoonak, A., Jafari, S. m., Ghorbani, M., & Salimi, A. (2016). Optimization of Emulsion of Orange Skin Oil - Mucilage of Grain by Using RSM and Investigating the Stability of obtained microencapsulated Powder. *Journal of Food Science & Technology*, 13(59), 171-180 (in Persian).
- Hosseini, S. F., Zandi, M., Rezaei, M., & Farahmandghavi, F. (2013). Two-step method for encapsulation of oregano essential oil in chitosan nanoparticles: preparation, characterization and in vitro release study. *Carbohydrate Polymers*, 95(1), 50-56. doi:<https://doi.org/10.1016/j.carbpol.2013.02.031>
- Jafari, S. M., Assadpoor, E., Bhandari, B., & He, Y. (2008). Nano-particle encapsulation of fish oil by spray drying. *Food Research International*, 41(2), 172-183. doi:<https://doi.org/10.1016/j.foodres.2007.11.002>
- Jafarpour, S. A., Esfahani, R., & Jafari, S. M. (2016). Efficiency evaluation of nanoencapsulation of omega-3 fatty acids with gelatin-Arabic gum complex using coaservation technique. *Scientific Journal of Iranian Fisheries*, 25(2), 29-42 (in Persian).
- Karaca, A. C., Nickerson, M., & Low, N. H. (2013). Microcapsule production employing chickpea or lentil protein isolates and maltodextrin: Physicochemical properties and oxidative protection of encapsulated flaxseed oil. *Food Chemistry*, 139(1-4), 448-457. doi:<https://doi.org/10.1016/j.foodchem.2013.01.040>
- Kaushik, P., Dowling, K., Barrow, C. J., & Adhikari, B. (2015). Microencapsulation of omega-3 fatty acids: A review of microencapsulation and characterization methods. *Journal of Functional Foods*, 19, 868-881. doi:<https://doi.org/10.1016/j.jff.2014.06.029>
- Klinkesorn, U., Sophanodora, P., Chinachoti, P., Decker, E. A., & McClements, D. J. (2006). Characterization of spray-dried tuna oil emulsified in two-layered interfacial membranes prepared using electrostatic layer-by-layer deposition. *Food Research International*, 39(4), 449-457. doi:<https://doi.org/10.1016/j.foodres.2005.09.008>

- Lin, C.-Y., & Lin, B.-Y. (2015). Fatty acid characteristics of isochrysis galbana lipids extracted using a microwave-assisted method. *Energies*, 8(2), 1154-1165. doi:<https://doi.org/10.3390/en8021154>
- Liu, S., Low, N., & Nickerson, M. T. (2010). Entrapment of flaxseed oil within gelatin-gum arabic capsules. *Journal of the American Oil Chemists' Society*, 87(7), 809-815. doi:<https://doi.org/10.1007/s11746-010-1560-7>
- Mehrad, B., Shabaniour, B., Jafari, S. M., & Pourashouri, P. (2015). Characterization of dried fish oil from Menhaden encapsulated by spray drying. *Aquaculture, Aquarium, Conservation & Legislation*, 8(1), 57-69.
- Mohammadzadeh, H., Koocheki, A., Kadkhodaei, R., & Razavi, S. M. (2013). Physical and flow properties of d-limonene-in-water emulsions stabilized with whey protein concentrate and wild sage (*Salvia macrosiphon*) seed gum. *Food Research International*, 53(1), 312-318. doi:<https://doi.org/10.1016/j.foodres.2013.04.028>
- Pourashouri, p. (2012). *Evaluation of the physicochemical and oxidative stability of microcapsules containing oil fish and omega-3*. (Unpublished doctoral dissertation), Sari University of Agricultural Sciences and Natural Resources (in Persian),
- Sharifi, A. (2016). *Microencapsulation of fish oil and clove oil via coaservation method by using gelatin of fish and gum Arabic*. (Unpublished master's thesis), Sari University of Agricultural Sciences and Natural Resources, (in Persian)
- Wang, B., Adhikari, B., & Barrow, C. J. (2014). Optimisation of the microencapsulation of tuna oil in gelatin-sodium hexametaphosphate using complex coacervation. *Food Chemistry*, 158, 358-365. doi:<https://doi.org/10.1016/j.foodchem.2014.02.135>
- Xiao, Z., Liu, W., Zhu, G., Zhou, R., & Niu, Y. (2014). Production and characterization of multinuclear microcapsules encapsulating lavender oil by complex coacervation. *Flavour and Fragrance Journal*, 29(3), 166-172. doi:<https://doi.org/10.1002/ffj.3192>
- Zhang, K., Zhang, H., Hu, X., Bao, S., & Huang, H. (2012). Synthesis and release studies of microalgal oil-containing microcapsules prepared by complex coacervation. *Colloids and Surfaces B: Biointerfaces*, 89, 61-66. doi:<https://doi.org/10.1016/j.colsurfb.2011.08.023>
- Zhang, Z.-Q., Pan, C.-H., & Chung, D. (2011). Tannic acid cross-linked gelatin-gum arabic coacervate microspheres for sustained release of allyl isothiocyanate: Characterization and in vitro release study. *Food Research International*, 44(4), 1000-1007. doi:<https://doi.org/10.1016/j.foodres.2011.02.044>
- Zuidam, N. J., & Shimoni, E. (2010). Overview of microencapsulates for use in food products or processes and methods to make them. In Zuidam. N., & Nedovic. V. (Eds.), *Encapsulation technologies for active food ingredients and food processing* (pp. 3-29): Springer, New York, NY.

Integrated Encapsulation of Fish Oil and Vitamin E with Complex Coaservation Technique and its Efficiency Optimization by Response Surface Method (RSM)

Fatemeh Mirzaei¹, Seyed Ali Jafarpour^{2*}

1- M.Sc. Student, Fisheries Department, Sari Agricultural Sciences and Natural Resources University, Sari, Iran

2- Associate Professor, Fisheries Department, Sari Agricultural Sciences and Natural Resources University, Sari, Iran

* Corresponding author (a.jafarpour@sanru.ac.ir)

Abstract

In this study, fish oil and vitamin E were nanoencapsulated using polymeric materials of gelatin and Arabic gum as wall materials applying complex coaservation technique and optimization process with the aid of the response surface method (RSM) in form of central composite design (CCD). The effects of the three independent variables including fish oil amount (1, 3 and 5%), biopolymer amount (1, 3 and 5%) and homogenizer speed (7000, 9000 and 11000 rpm) on dependent variables such as surface oil, encapsulated oil, encapsulation efficiency and particle size were investigated. The results showed that homogenization speed of 7000 rpm is not suitable for producing nanocapsules below 100 nm. In addition, the percentage of fish oil and the speed of homogenizer are effective on the size of the produced nanocapsules. Also, produced nanocapsules in treatments in which a higher percentage of oil was used compared to treatments with lower oil percentages, showed higher surface oil. The encapsulation efficiency was measured between 56.29% and 98.76%. In this research, optimum treatment was introduced as the one with 1% fish oil, 1% total biopolymer and 7000 rpm homogenizer speed in which its encapsulation efficiency was recorded as 97.97%.

Keywords: Complex Coaservation, Encapsulation, Fish Oil, Gelatin, Vitamin E

مطالعه تأثیر فشار در عرض غشا، pH و غلظت ماده فعال سطحی آئیونی SDS بر عملکرد فرایند اولترافیلتراسیون بهبودیافته با مایسل (MEUF) در تصفیه پساب لبنی به روش سطح پاسخ

علی آراسته نوده^۱، سوسن خسرویار^{۲*}، وحید حکیمزاده^۳

۱- دانشیار، گروه مهندسی شیمی، واحد قوچان، دانشگاه آزاد اسلامی، قوچان، ایران

۲- استادیار، گروه مهندسی شیمی، واحد قوچان، دانشگاه آزاد اسلامی، قوچان، ایران

* نوسنده مسئول (susankhosroyar@yahoo.com)

۳- استادیار، گروه علوم و صنایع غذایی، واحد قوچان، دانشگاه آزاد اسلامی، قوچان، ایران

تاریخ دریافت: ۱۳۹۶/۰۹/۲۶

تاریخ پذیرش: ۱۳۹۷/۰۶/۰۱

چکیده

عوامل فعال سطحی به علت توانایی در بهدام انداختن ترکیبات آلی سمی و فلزات سنگین در تصفیه پساب‌های صنعتی به طور گستردگی در بهبود فرایندهای غشایی به کار می‌روند. در این تحقیق به جهت بهبود روش اولترافیلتراسیون در تصفیه پساب لبنی به منظور کاهش اکسیژن لازم برای اکسیداسیون شیمیایی ترکیبات آلی (COD)، مواد جامد نامحلول کل (TDS)، کدورت و بهبود شار غشا از روش اولترافیلتراسیون بهبودیافته با مایسل (MEUF) استفاده شد. اهمیت سه فاکتور عملیاتی غلظت عامل فعال سطحی آئیونی (SDS)، اختلاف فشار و pH و اثرات متقابل آنها با استفاده از روش پاسخ سطح و طراحی باکس - بنکن موردارزیابی قرار گرفت. نتایج آزمایش‌ها نشان داد که فاکتور غلظت عامل فعال سطحی آئیونی به عنوان یکی از تأثیرگذارترین فاکتورها، به دلیل تشکیل لایه پلاریزاسیون غلظتی و افزایش تعداد مایسل‌ها اثر منفی بر شار تراوه داشته اما از سوی دیگر دفع شاخص‌های آلودگی را بهبود داد. همچنین در فشارهای عملیاتی بالا به دلیل فشرده شدن مایسل‌ها میزان دفع شاخص‌های آلودگی کاهش یافت. علاوه بر آن افزایش pH باعث افزایش میزان دفع COD و کدورت گردید.

واژه‌های کلیدی
اولترافیلتراسیون بهبودیافته
پساب لبنی
سطح پاسخ
عامل فعال سطحی
مایسل

باشند (Crites & Tchobanoglous, 1998). این روش در جداسازی ماکرونولکول‌هایی نظیر پروتئین‌ها از حللاهای با جرم مولکولی پایین نیز کاربرد دارد. حفره‌های لایه پایینی غشا به طور نسبی بزرگ‌تر از لایه سطحی بوده و هنگامی که حللا درون غشا جریان می‌یابد، گونه‌های باقی‌مانده روی سطح غشای متمنکزشده و مقاومتی در برابر جریان ایجاد می‌کنند. در فرایند محلول‌های سوسپانسیونی، ذره‌ها به صورت لایه کیک متخلخلی روی سطح غشا جمع می‌شوند. فرایند UF به خواص

مقدمه

اولترافیلتراسیون^۱ غشایی یکی از روش‌هایی است که در جداسازی ترکیبات مختلف از محلول‌ها به کار می‌رود. دامنه نیروی محرکه لازم برای انتقال از غشا UF به اختلاف فشاری در حدود ۲-۱۰ بار، نیاز دارد. غشاهای UF قادر به جداسازی ترکیباتی هستند که دارای وزن مولکولی در محدوده ۳۰۰-۵۰۰۰۰ دالتون بوده و از اندازه حفره‌های غشا در دامنه ۱۰۰۰-۱۰۰۰۰ انگستروم بزرگ‌تر

^۱ Ultrafiltration

قاعدۀ اصلی جداسازی در این فرایند این است که عوامل فعال سطحی (آنیونی، کاتیونی یا غیریونی) به جریان آلاینده آبی (پساب) اضافه می‌شوند. مونومرهای عامل فعال سطحی تجمع پیداکرده و در غلظت بحرانی مایسل (CMC^۶) کمپلکس تشکیل می‌دهند. تشکیل کمپلکس سبب افزایش اندازه مولکول‌های آلاینده (قطر هیدرودینامیکی مایسل بزرگ‌تر از قطر حفره‌های غشای اولترافیلتراسیون است) موجود در پساب می‌شود. بنابراین ترکیبات و ذراتی که در دام مایسل‌ها و منومرهای افتاده‌اند توسط غشا بازداشت‌شده و از آن عبور نخواهد کرد. در این فرایند بازده جداسازی آلاینده و شار تراوه وابسته به ویژگی‌ها و مشخصات غشا و آلاینده و همچنین شرایط عملیاتی مختلف دارد. ویژگی منحصر به فرد فرایند MEUF آن است که می‌توان همزمان بازده جداسازی بالایی در حد فرایند اسمز معکوس و شار تراوه بالایی در حد فرایند Landaburu-Aguirre^۷ (۲۰۱۲). از آنجایی که عملکرد دفع مواد با جرم مولکولی پایین طی فرایند MEUF تقریباً شبیه فرایند اسمز معکوس و نانوفیلتراسیون است، لذا این فرایند می‌تواند به عنوان گامی به منظور غلبه بر محدودیت‌های ذاتی فرایند اسمز معکوس و نانوفیلتراسیون محسوب گردد (Landaburu-Aguirre, 2012; Puasa *et al.*, 2011).

عوامل فعال سطحی آنیونی دسته‌ای از عوامل فعال کننده سطحی‌اند که قسمت قطبی مولکول را یک آنیون تشکیل می‌دهد. یعنی گروه سر در آنها دارای بار منفی است. بنابراین قادر به فعل و انتقال (جذب) آلاینده‌هایی با بار مثبت مانند یون‌های فلزی از پساب هستند. نمک‌های قلیایی یا قلیایی‌خاکی اسیدهای کربوکسیلیک، نمک‌های استری اسید سولفوریک و اسید فسفریک از این دسته‌اند و از مهم‌ترین آنها می‌توان به سدیم دودسیل سولفات^۸ و آکلیل بنزن سولفانات خطی^۹ اشاره نمود (Puasa *et al.*, 2011).

بازده فرایند MEUF در جداسازی آلاینده‌های آلی و معدنی به فاکتورهای عملیاتی متفاوتی از جمله: اختلاف

فیزیکی غشا، مانند نفوذ‌پذیری، ضخامت، متغیرهای فرایند مانند نوع خوراک و غلظت آن، فشار سیستم، سرعت جریان روی سطح غشا و دما بستگی دارد. محدوده کاربردی این روش، در تصفیه ترکیبات زائد امولسیونی نفت، تغليظ ماکرومولکول‌های بیولوژیکی و تغليظ پروتئین‌های حساس به حرارت در سوسپانسیون‌های غذایی مانند شیر است (Crites & Tchobanoglous, 1998).

اولترافیلتراسیون بهبودیافته با مایسل (MEUF^۱) یک فرایند جداسازی غشایی است که عملکرد فرایند اولترافیلتراسیون با تشکیل مایسل‌ها از عوامل فعال سطحی بهبود می‌یابد (Puasa, Ruzitah, & Sharifah, 2011). عوامل فعال سطحی به علت توانایی در انحلال ذره‌ها به طور گسترده‌ای در صنایعی همچون چسب، عوامل کفزا و خیس‌کننده، امولسیون‌کننده‌ها و غیره کاربرد دارند. این مواد علاوه‌بر این توانایی بهداشت‌داختن ترکیبات آلی سمی و فلزات را دارند که استفاده از آنها را برای کاربردهای محیط‌زیستی همچون تصفیه آلاینده‌های آبی و خاکی مورد توجه قرار داده است. از این‌رو می‌توانند به طور مؤثری برای بهبود فرایندهای جداسازی نظیر اولترافیلتراسیون به کار روند. عوامل فعال سطحی^۲ دارای خصوصیت دوگانه (آبدوستی و آب‌گریزی) در ساختار مولکولی شان می‌باشند بدین ترتیب که شامل یک بخش مولکولی با جاذبۀ ضعیف به سوی حلال (گروه حلال‌گریز^۳) و یک بخش مولکولی با جاذبۀ قوی به سوی حلال (گروه حلال‌دوست^۴) هستند. دم آب‌گریز معمولاً یک زنجیره هیدروکربنی بلند یا حلقة سیکلوهگزان است، در حالی که سر آبدوست یک گروه باردار یا قطبی بسیار قوی است. بسته به طبیعت و خواص گروه آبدوست، عوامل فعال سطحی به گروه‌های آنیونی (باردار منفی)، کاتیونی (باردار مثبت)، دوقطبی^۵ (باردار مثبت و منفی) و غیریونی (بدون بار یونی آشکار) تقسیم‌بندی می‌شوند (Aguirre, 2012).

¹ Micellar Enhanced Ultrafiltration

² Surfactants

³ Lyophobic group

⁴ Lyophilic group

⁵ Zwitterionic

⁶ Critical Micelle Concentration

⁷ Sodium n-Dodecyl Sulphate (SDS)

⁸ Linear Alkylbenzene Sulfonate (LAS)

مقایسه با روش نانوفیلتراسیون دارای بازدهی بیشتر و گرفتگی کمتر غشا می‌باشد (Wan, 2011; Luo *et al.*, 2012).

در تکمیل کار این محققین، در این مقاله تصفیه پساب لبنی با استفاده از فرایند اولترافیلتراسیون و عامل سطحی آئیونی به عنوان بهبوددهنده آن صورت گرفت و تأثیر پارامترهای مؤثر بر عملکرد MEUF نیز بررسی شد.

مواد و روش‌ها

مواد اولیه

پساب لبنی مورد استفاده از شرکت لبنی تاosal قوچان تهیه گردید که خصوصیات اولیه آن در جدول (۱) آمده است.

جدول ۱- مشخصات پساب مورد استفاده در فرایند MEUF

TDS (میلی گرم/لیتر)	COD (میلی گرم/لیتر)	کدورت (NTU) (میلی متر)	pH
۱۸۰۰-۲۱۰۰	۲۸۰۰-۳۲۰۰	۷۰۰۰-۷۵۰۰	-۱۰/۴۰-۹/۳۰

همچنین ماده فعال سطحی آئیونی^۳ SDS از شرکت مرک آلمان با خلوص ۹۹ درصد تهیه گردید که به برخی از خصوصیات فیزیکوشیمیایی آن در جدول (۲) اشاره شده است.

فشار در عرض غشا، نوع و غلظت عامل فعال سطحی، pH محلول، حضور افزودنی‌ها، نوع غشا و اندازه حفره‌های آن و درنهایت حضور و یا عدم حضور عوامل فعال سطحی غیریونی و نمک وابسته است (Rahmanian, Pakizeh, & Maskooki, 2010).

باتوجه به اهمیت بحث تصفیه پساب‌های صنعتی و همچنین استفاده روزافزون از فرایندهای غشایی در امر تصفیه آب و پساب، تلاش‌های بسیاری توسط محققان مختلف برای ارائه روش‌های بهتر جهت امر تصفیه و همچنین بهبودبخشیدن خواص غشا انجام شده است Huang, Zeng, Fang, Qu, & Li, 2009; Landaburu-Aguirre, Pongrácz, Perämäki, & Keiski, 2010; Ngang, Ahmad, Low, & Ooi, 2012; Rahmanian, Pakizeh, Esfandyari, Heshmatnezhad, & Maskooki, 2011a; Samper, Rodríguez, De la Rubia, & Prats, 2009). استفاده از این روش در تصفیه پساب‌های لبنی توسط (Jaffrin, Wan, Ding, & Luo, 2012) با بررسی شرایط مختلف نیز صورت گرفت و نتایج آن با نانوفیلتراسیون مقایسه شد. نتایج این محققین نشان داد که بهترین pH خوارک برای تصفیه به روش نانوفیلتراسیون و مدول دیسکی چرخان ۷ تا ۸ می‌باشد (Luo & Ding, 2011; Luo *et al.*, 2012). این پژوهشگران همچنین پساب ساختگی شیر را بهوسیله یک فرایند دو مرحله‌ای اولترافیلتراسیون و نانوفیلتراسیون مورد آزمایش قرار دادند و دریافتند که این روش در

جدول ۲- ویژگی‌های فیزیکوشیمیایی ماده فعال سطحی آئیونی (SDS)

نقطه ذوب (درجه سانتی گراد)	دانسیته (گرم بر سانتی متر مربع)	CMC (میلی مولار)	LD ₅₀ (سانتی متر مربع)	فرمول شیمیایی	وضعیت ظاهری	جرم مولکولی	نام اختصاری	نام
۲۰۷-۲۰۴	۱/۰۱	۸/۱۸	۱۲۸۸	NaC ₁₂ H ₂₅ SO ₄	سفید مايل به کرم	۲۸۸/۳۷	آئیونی SDS	سدیم دو دسیل سولفات

(NMP)، پلیمر پلی‌اترسولفون^۴ (PES) و پلی‌آنیلین^۵ (Pani) روی دستگاه فیلم‌کش تهیه شد. در ساخت این غشا از مواد کمکی پلی‌اتیلن آمین برای بهبود آب‌دostی آن استفاده شد. در این تحقیق از پایلوت غشایی چندمنظوره (شرکت پیشتاز نانو فناور توس، ساخت ایران) با مشخصات اشاره شده در جدول (۳) استفاده گردید.

پایلوت غشایی

جهت بررسی اثر فشار، غلظت عامل سطحی و pH بر عملکرد MEUF از یک غشای پلیمری از جنس پلی‌اترسولفون استفاده گردید که با استفاده از حلحل دی‌متیل فرمامید^۱ (DMF) و دی‌متیل پیروولیدون^۲

^۳ Poly Ether Sulfones

^۴ Ployethersulfone

^۵ Polyaniine

^۱ Dimethyl formamide

^۲ Dimethyl Pyrrolidone

جدول ۳- مشخصات فنی پایلوت غشایی

حجم مخزن	نوع مادول	نوع پمپ حرارتی	دبي جریان خوراک	جنس غشا	فشار قابل تحمل	زاویه تماس	سیرکولاسیون
صفحه‌ای ۴۳ لیتر	صفحه‌ای پیستونی	لیتر بر دقیقه ۲/۵۰	دارد	پلی‌اترسولفون	۱۲ بار	۶۱/۴۰	

COD از روش اسپکتروفوتومتری استفاده شده است. نتایج به دست آمده پس از محاسبه میزان دفع ترکیبات را می‌توان در جدول (۳) مشاهده نمود. برای محاسبه درصد دفع مواد توسط غشا در شرایط عملیاتی مختلف از رابطه Huang, Zeng, Qu, & Zhang, (۲۰۰۷).^۱ استفاده می‌شود (رابطه (۱)).

$$R(\%) = \left(1 - \frac{C_p}{C_f}\right) \times 100$$

در رابطه (۱)، C_f : غلظت آلاینده‌ها در خوراک و C_p : غلظت آلاینده‌ها بر حسب میلی‌گرم بر لیتر در جریان تراوه می‌باشد.

آنالیز آماری
آزمایش‌های این تحقیق با توجه به ۳ سطح اختلاف فشار، ۳ سطح غلظت SDS و ۳ سطح pH با استفاده از نرم‌افزار آماری Desing expert نسخه ۷ به روش سطح پاسخ و در حالت باکس - بنکن طراحی شد. جدول (۴) سطوح در نظر گرفته شده و جدول (۵) طراحی آزمایش‌های صورت گرفته توسط نرم‌افزار یادشده را نشان می‌دهد.

روش کار

جهت انجام هر آزمایش، ابتدا ماده فعال سطحی وزن شده و درون ۱۰۰ میلی‌لیتر آب‌مقطمر به مدت ۱۵ دقیقه با همزن مغناطیسی با دور ۳۰۰ دور در دقیقه مخلوط شد. سپس این محلول به ۸ لیتر پساب اضافه شد و به مدت ۱۵ دقیقه هم‌زده شد. درنهایت با رساندن pH آن به حد موردنظر، درون مخزن خوراک دستگاه ریخته شد. فشار در عرض غشا نیز با استفاده از شیرهای ورودی و خروجی بر مدول تنظیم گردید. برای تنظیم دما از یک هیتر گرمایی مجهز به دستگاه کنترل دما استفاده شد. پس از آنکه شار به حالت پایا رسید از جریان تراوه نمونه‌گیری شد.

روش‌های آزمون

نمونه‌های پساب تصفیه شده پس از هر آزمایش از لحاظ دفع هر کدام از شاخص‌های آلودگی یعنی اکسیژن مورد نیاز برای اکسیداسیون ترکیبات شیمیایی^۱ (COD)، مواد جامد نامحلول کل^۲ (TDS) و کدورت مورد ارزیابی قرار گرفت. به منظور تعیین کدورت از کدورتسنج^۳ (مدل AL250T آکوالیتیک، ساخت آلمان) استفاده شد. برای تعیین مواد جامد نامحلول کل از دستگاه TDS متر (مدل BL9833، شرکت هانا، ساخت انگلستان) و برای تعیین

جدول ۴- فاکتورها و سطوح مربوط به هر فاکتور در طراحی باکس - بنکن

فاکتور	نماد	واحد	سطوح
-	.	+	
غلظت ماده فعال سطحی SDS	A	میلی‌مولار	۵
فشار	B	بار	۴
pH	C	۱۲	۷

¹ Chemical Oxygen Demand² Total Dissolved Solids³ Turbidity meter

جدول ۵ - طراحی آزمایش‌ها با توجه به متغیرهای وابسته در طراحی آماری سطح پاسخ

کدورت (NTU)	TDS	COD	شار تراوه (LMH)	pH	فشار (بار)	غلظت SDS	شماره
۹۸/۹۵	۴۴/۱۱	۶۳/۸۰	۳۸/۵۸	۷	۳	۵	۱
۹۸/۴۹	۳۳/۵۳	۵۰/۴۸	۴۵/۳۱	۲	۳	۲	۲
۹۹/۲۴	۵۰/۸۲	۷۱/۰۱	۳۵/۰۸	۷	۲	۸	۳
۹۹/۲۹	۵۰/۸۸	۷۲/۸۷	۳۳/۷۹	۱۲	۴	۵	۴
۹۸/۶۶	۳۸/۰۰	۵۶/۳۶	۴۳/۰۸	۷	۲	۲	۵
۹۸/۶۲	۳۶/۷۴	۵۴/۹۵	۴۲/۳۶	۲	۴	۵	۶
۹۸/۷۵	۳۹/۷۵	۵۷/۱۸	۴۲/۳۴	۲	۲	۵	۷
۹۹/۰۱	۴۵/۲۵	۶۵/۹۵	۳۷/۷۶	۱۲	۳	۲	۸
۹۸/۸۴	۴۰/۷۸	۶۰/۰۷	۴۰/۰۰	۷	۴	۲	۹
۹۹/۴۲	۵۴/۶۹	۷۷/۱۱	۳۱/۸۴	۱۲	۳	۸	۱۰
۹۸/۹۰	۴۴/۱۹	۶۳/۸۵	۳۸/۴۸	۷	۳	۵	۱۱
۹۸/۹۵	۴۴/۱۱	۶۳/۸۰	۳۸/۵۸	۷	۳	۵	۱۲
۹۹/۰۷	۴۶/۸۳	۶۷/۷۴	۳۶/۱۵	۷	۴	۸	۱۳
۹۸/۸۹	۴۴/۲۱	۶۳/۷۲	۳۸/۱۸	۷	۳	۵	۱۴
۹۹/۱۴	۴۹/۰۷	۷۰/۱۹	۳۵/۸۱	۱۲	۲	۵	۱۵
۹۸/۹۷	۴۴/۱۰	۶۳/۷۹	۳۸/۵۰	۷	۳	۵	۱۶
۹۸/۸۹	۴۲/۹۶	۶۱/۶۵	۳۹/۳۹	۲	۳	۸	۱۷

براساس مدل ارائه شده در رابطه (۲)، برای بررسی اثر غلظت SDS، فشار و pH روی میزان دفع COD، TDS، کدورت و دبی معادله دومجذوری به شکل رابطه (۳) در نظر گرفته شده است که در آن متغیرها X1، X2 و X3 و X4 به ترتیب غلظت SDS، فشار و pH می‌باشند.

(۳)
رابطه (۳)

$$Y = D_0 + D_1 \cdot X_1 + D_2 \cdot X_2 + D_3 \cdot X_3 + D_{11} \cdot X_{12} + D_{22} \cdot X_{22} + D_{33} \cdot X_{32} + D_{12} \cdot X_1 \cdot X_2 + D_{13} \cdot X_1 \cdot X_3 + D_{23} \cdot X_2 \cdot X_3$$

نتایج و بحث

باتوجه به نتایج بدست آمده از آزمایش‌های ضرایب رابطه (۳) برای هر کدام از پاسخ‌ها در جدول (۶) (کمتر از ۵ درصد) ارائه شده است. صحت مدل ارائه شده به کمک آنالیز واریانس موردنی بررسی قرار گرفت. آنالیز واریانس نشانگر معنی‌داربودن مدل انتخاب شده بوده و مقدار P-value کمتر از ۰/۰۵ دلالت بر این دارد که فاکتورها و مدل برآششده تأثیرگذار بوده و به طور اتفاقی یا به دلیل پارازیت‌ها و اختلالات نمی‌باشد. بی‌معنی‌بودن نقص در

به منظور استخراج مدل و یافتن نحوه تأثیر پارامترهای مختلف از روش پاسخ سطح استفاده شد. این روش مجموعه‌ای از تکنیک‌های آماری است که در بهینه‌سازی فرایندها به کار می‌رود (Bezerra, Santelli, Oliveira, Villar, & Escaleira, 2008; Talebpour, GhassemPour, Abbaci, & Aboul-Enein, 2009). این روش توانایی ارزیابی میزان اثر پارامترها و تأثیر آنها روی یکدیگر را دارد (Switzer, Giera, Lingeman, Irth, & Niessen, 2011). در این روش برای هر متغیر وابسته مدلی تعريف می‌شود که آثار اصلی و متقابل متغیرهای تأثیرگذار روی آن را به صورت جداگانه بیان می‌شود. مدل تعريف شده اغلب به صورت رابطه (۲) می‌باشد.

(۲)
رابطه (۲)

$$Y_n = D_0 + \sum D_i x_i + \sum \sum D_{ij} x_i x_j + \sum D_{ii} x_i^2 + \varepsilon$$

در رابطه (۲)، Y_n : یکی از پاسخ‌ها، D_0 : ضریب ثابت، D_i : اثرات خطی، D_{ij} : اثرات مربعی و D_{ii} : اثرات متقابل می‌باشد.

Rahmanian, M., Pakizeh, Mansoori, & Abedini, 2011b
می‌تواند به وسیله مدل توضیح داده شود ().

برازش (Lack-of-fit) نیز تأیید نهایی بر مدل ارائه شده است. مقدار R برای معادله‌های بالای ۹۹ درصد به دست آمد. بهبیان دیگر بیشتر از ۹۹ درصد از تغییرات در پاسخ

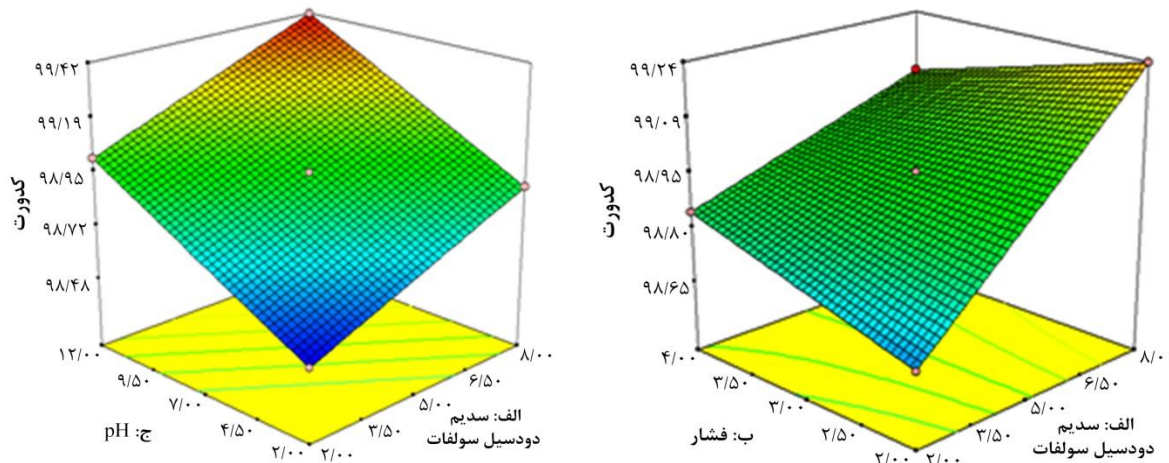
جدول ۶- ضرایب مربوط به اثرات خطی، مربعی و متقابل در مدل‌های بیان‌کننده کدورت، شار، TDS و COD

R^2	D ₂₃	D ₁₃	D ₁₂	D ₃₃	D ₂₂	D ₁₁	D ₃	D ₂	D ₁	D ₀	پاسخ
۰/۹۶	-۰/۲۵	•	-۰/۵۸	•	•	•	۰/۸۱	۱/۳۰	۲/۶۱	۳۹/۷۶	COD
۰/۹۷	-۰/۲۴	•	-۰/۵۶	•	•	•	-۰/۴۵	۰/۸۳	-۳/۲۷	۲۵/۵۴	TDS
۰/۹۸	-۰/۱۰	•	+۰/۳۵	•	•	•	-۰/۴۵	-۱/۵۱	-۲/۰۳	۵۳/۳۳	شار
۰/۹۷	+۰/۰۱	•	-۰/۰۳	•	•	•	-۰/۰۵	۰/۰۱	۰/۱۶	۹۸/۰۸	کدورت

بنابراین می‌توان از آن چشم‌پوشی کرد. در تحقیقی که Razavi, Elahi, Mousavi, Hakimzadeh (۲۰۱۷) روی تصفیه شکر خام نیشکر به کمک مواد فعال سطحی انجام دادند نیز نشان داده شد که در فشارهای بالای عملیاتی به دلیل فشرده شدن مایسل‌ها و تغییر شکل آنها و کاهش ظرفیت نگهداری ناخالصی‌ها کمی کدورت افزایش یافت.

دفع کدورت

اصلًاً کدورت پساب‌ها با استفاده از فرایندهای غشایی به خوبی کاهش می‌یابد. همان‌طور که در شکل (۱) مشاهده می‌شود، هر سه عامل تأثیر افزایشی تقریباً خطی بر دفع کدورت دارد ولی این افزایش چشمگیر نمی‌باشد، زیرا این درصد دفع فقط می‌تواند در حدود ۱ درصد تغییر کند.



شکل ۱- نمودار تأثیر متقابل متغیرهای مستقل بر دفع کدورت (شکل سمت راست pH=۷ و شکل سمت چپ P=۳ بار)

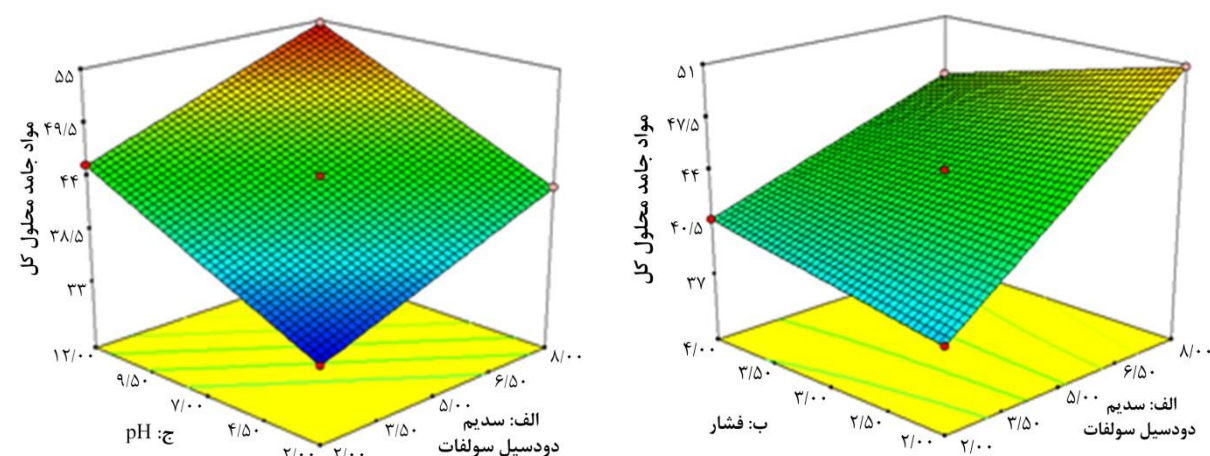
بررسی کرده بود نیز مشاهده شده که با افزایش pH از ۵/۵ تا ۸ میزان جداسازی آرسنیک افزایش می‌یابد. این افزایش در جداسازی اصولاً به دلیل تشکیل دی‌آنیونی^۱ در pH‌های بالاست. جداسازی کم در pH‌های پایین به دلیل قرارگیری در حالت تک‌یونی^۲ است (Bade & Lee, 2011; Sikder, 2003).

دفع TDS

باتوجهه به شکل (۲) مشاهده می‌شود که درصد دفع TDS با افزایش اختلاف فشار و غلظت عامل فعال سطحی و pH افزایش می‌یابد. حذف TDS با افزایش مقدار pH از ۲ تا ۱۲ به بالای ۲۵ درصد افزایش می‌یابد. زیرا در pH پایین، رقابت در جذب یون‌های H⁺ و یون‌های فلزی کاتیونی روی سطح مایسل‌های آنیونی ایجاد می‌شود. این رفتار در تحقیق دیگری که اثر pH در فرایند بهبود یافته اولترافیلتراسیون با عامل فعال سطحی کاتیونی CPC را

¹ Di-anionic

² Mono-ionic



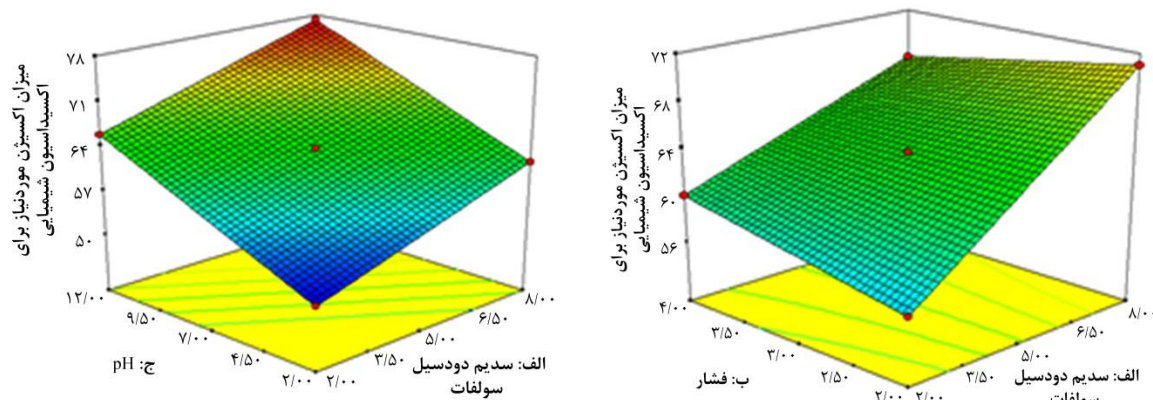
شکل ۲- نمودار تأثیر متقابل متغیرهای مختلف روی میزان دفع COD (شکل سمت راست pH=۷ و شکل سمت چپ TDS=۳ بار)

غلظت عامل فعال سطحی در این لایه بالاتر از غلظت آن در توده محلول پساب است (El-Abbassi, Khayet, & Hafidi, 2011; Rahamanian et al., 2010 پیش‌بینی می‌شود که در غلظت‌های بالا اثر این بهبود کمتر شود. دلیل این امر آن است که تعداد نقاط اتصال یا محلهای اتحاد ترکیبات آلی، با افزایش غلظت بهطور Samper et al., 2009; Zeng et al., 2011 مؤثری افزایش نمی‌یابد).

(al., 2011

COD دفع

اثرات تغییرات متغیرها روی میزان دفع COD در شکل (۳) نشان داده شده است. نتایج نشان دادند میزان دفع COD با افزایش غلظت عامل فعال سطحی در هر اختلاف فشاری افزایش می‌یابد. این رفتار بهاین دلیل است که احتمال تشکیل مایسل در لایه نزدیک سطح غشا بهدلیل پدیده پلاریزاسیون غلظت افزایش می‌یابد. یعنی تعداد بسیار زیادی از مونومرهای عامل فعال سطحی شروع به ساختن مایسل در لایه پلاریزاسیون غلظت کرده زیرا



شکل ۳- نمودار تأثیر متقابل متغیرها روی میزان دفع COD (شکل سمت راست pH=۷ و شکل سمت چپ TDS=۳ بار)

همچنین نتایج نشان داد که بیشترین میزان دفع COD در اختلاف فشار ۱۲ بار و غلظت ۸ میلی‌مولار از عامل فعال سطحی حاصل گردید. با افزایش غلظت عامل فعال سطحی، احتمال تشکیل تعداد مایسل‌ها افزایش یافته و همچنین احتمال متراکم شدن مایسل‌ها در اختلاف

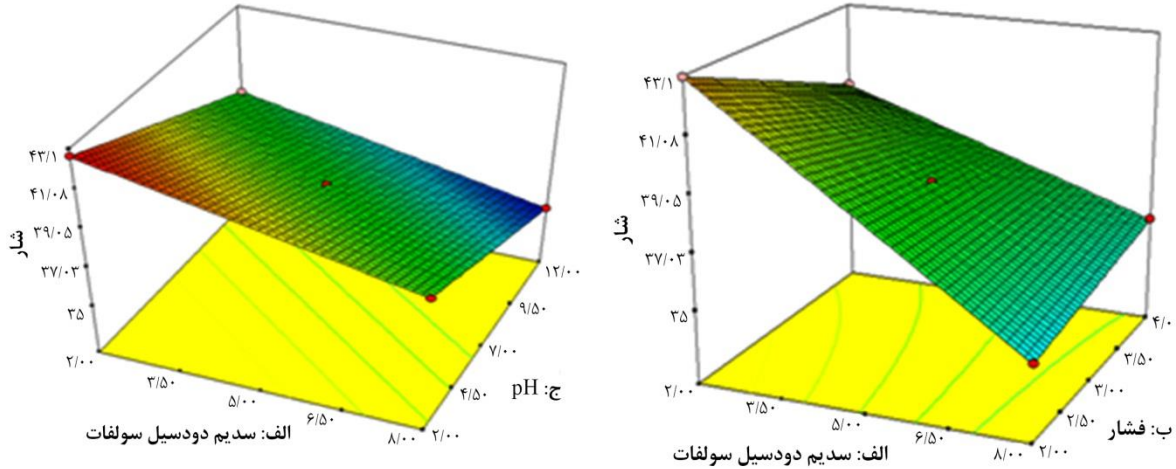
همچنین طبق شکل (۳) در غلظت‌های بالای عامل فعال سطحی، شب افزایش درصد دفع COD با افزایش اختلاف فشار کاهش می‌یابد. زیرا در اختلاف فشارهای بالا، مایسل‌ها فشرده شده و ظرفیت اتحاد پذیری آلاینده‌ها در آنها کاهش می‌یابد (Purkait, DasGupta, & De, 2004).

همان طور که مشاهده می شود کاهشی در شار تراوه در همان ابتدای عملیات (با افزایش غلظت عامل فعال سطحی در تمام اختلاف فشارها) وجود داشت، این مورد بیان کننده این مطلب است که گرفتگی شدیدی با افزایش غلظت عامل فعال سطحی به وجود می آید. محققان مختلف بیان کردند که با افزایش غلظت عامل فعال سطحی، شار تراوه به دلیل تجمع عوامل فعال سطحی و تشکیل لایه مایسل روی سطح غشا، کاهش می یابد. همچنین میزان کاهش شار تراوه در غلظت‌های پایین عامل فعال سطحی (زیر نقطه CMC) به دلیل پدیده جذب سطحی و تداخل میان اجزای باردار و غشا با بار مخالف است. همچنین بیان شده است که افزایش غلظت عامل فعال سطحی سبب تغییر شکل مایسل‌ها نیز می شود. در چنین حالتی، مولکول خطی از غشا عبور می کند در حالی که مولکول‌های کروی با جرم مولکولی یکسان توسط غشا دفع می شوند (Bade & Lee, 2011).

فشارهای بالاتر بیشتر می شود. بنابراین ظرفیت انحلال پذیری شان برای ذرات آلاینده‌ها کاهش می یابد. از طرف دیگر با افزایش نیروی محرکه مؤثر (اختلاف فشار) به دلیل افزایش انتقال ذرات آلاینده از غشا، درصد دفع کاهش می یابد (Huang *et al.*, 2010; Luo *et al.*, 2010). افزایش pH و قلیاً شدن محلول سبب افزایش درصد دفع COD می گردد. این بدان علت است که اثرات اسیدیته روی ماده منعقدکننده بستگی به واکنش‌های ایجاد شده در شرایط مختلف pH دارد. وقتی شرایط قلیاً در محیط حاکم می گردد لخته‌هایی حجمی و سنگین‌تر به وجود می آید و نتیجه آن راندمان حذف بالاتر است (Malakootian, Mansoorian, & Moosazadeh, 2010).

میزان شار تراوه

شار تراوه یکی از مهم‌ترین پاسخ‌ها در ارزیابی عملکرد سیستم‌های MEUF است. شکل (۴) اثر همزمان تغییرات را بر شار حجمی تراوه در فرایند MEUF نشان می دهد.



شکل ۴- نمودار تأثیر متقابل متغیرها بر شار تراوه (شکل سمت راست pH=۷ و شکل سمت چپ P=۳ بار)

می باشد. به عبارت دیگر، مونومرهای عامل فعال سطحی همانند یک لایه در یک فاصله بسیار نزدیک روی سطح غشا، تهشیش شده و روی هم تجمع پیدا می کنند. بنابراین غلظت این مواد در این لایه نازک افزایش یافته و به مقادیر بالای غلظت بحرانی تشکیل مایسل می رسد. این افزایش، سبب تشکیل مایسل در لایه نازک نزدیک سطح غشا شده و کاهش شدید شار تراوه را به دنبال خواهد داشت. سرعت

کاهش شار تراوه در مقادیر زیر غلظت بحرانی مواد فعال سطحی می تواند ناشی از چند دلیل باشد. اول از همه، حضور و تهشیشی عامل فعال سطحی موجود در پساب، که روی سطح غشا تجمع پیدا کرده و موجب گرفتگی حفره‌ها و همچنین تشکیل لایه کیک روی سطح غشا می شود. همچنین ایجاد پدیده پلاریزاسیون غلظتی که به علت تجمع، عامل فعال سطحی روی سطح غشا

کدورت هرچند با افزایش غلظت، افزایش می‌یابد ولی در حدود ۱ درصد می‌باشد و هر سه عامل تأثیر افزایشی خطی دارند. عامل سطحی روی میزان دفع COD تأثیر افزایشی دارد ولی شیب این تأثیر با افزایش فشار کاهش می‌یابد. چنین نتیجه‌هایی برای میزان دفع TDS نیز وجود داشت. غلظت عامل سطحی و pH روی شار تراوه اثر کاهشی ولی افزایش فشار تأثیر افزایشی دارد. درنهایت با توجه به نتایج بدست آمده در توانایی مطلوب جداسازی COD و TDS از پساب لبنی، می‌توان به سودمندی فرایند MEUF در تصفیه پساب یادشده پی‌برد. مسلماً با توجه به شار بالاتر این فرایند نسبت به فرایند NF در فشارهای در عرض غشای پایین‌تر می‌توان امید داشت که فرایند MEUF جایگزین فرایندهای پرهزینه‌ایی مانند NF و RO گردد.

و مقدار تشکیل این لایه تحت تأثیر عوامل مختلفی از جمله اختلاف فشار، دمای عملیاتی، غلظت عامل فعال سطحی، میزان بازیابی و غیره می‌باشد (Hakimzadeh et al., 2017).

نتیجه‌گیری

به کمک طرح آماری سطح پاسخ به روش باکس - بنکن درجه اهمیت فاکتورهای تأثیرگذار بر تصفیه پساب لبنی (فشار، غلظت عامل سطحی SDS و pH) روی ۴ پاسخ میزان دفع COD، میزان دفع TDS، میزان دفع کدورت، و میزان شار تراوه در فرایند MEUF به صورت یک معادله دو محدودی مورد تجزیه و تحلیل قرار گرفت و پس از اعتبارسنجی معادله‌ها به صورت ترسیم سه‌بعدی نقش آنها بررسی شد. نتایج نشان داد تأثیر غلظت عامل سطحی روی

منابع

- Bade, R., & Lee, S. H. (2011). A review of studies on micellar enhanced ultrafiltration for heavy metals removal from wastewater. *Journal of Water Sustainability*, 1(1), 85-102.
- Bezerra, M. A., Santelli, R. E., Oliveira, E. P., Villar, L. S., & Escalera, L. A. (2008). Response surface methodology (RSM) as a tool for optimization in analytical chemistry. *Talanta*, 76(5), 965-977. doi:<https://doi.org/10.1016/j.talanta.2008.05.019>
- Crites, R. W., & Tchobanoglous, G. (1998). *Small and decentralized wastewater management systems*: WCB/McGraw-Hill.
- El-Abbassi, A., Khayet, M., & Hafidi, A. (2011). Micellar enhanced ultrafiltration process for the treatment of olive mill wastewater. *Water Research*, 45(15), 4522-4530. doi:<https://doi.org/10.1016/j.watres.2011.05.044>
- Hakimzadeh, V., Mousavi, S. M., Elahi, M., & Razavi, S. M. A. (2017). Purification of Raw Cane Sugar by Micellar-Enhanced Ultrafiltration Process Using Linear Alkylbenzene Sulphonate. *Journal of Food Processing and Preservation*, 41(3), e12953. doi:<https://doi.org/10.1111/jfpp.12953>
- Huang, J.-h., Zeng, G.-m., Fang, Y.-y., Qu, Y.-h., & Li, X. (2009). Removal of cadmium ions using micellar-enhanced ultrafiltration with mixed anionic-nonionic surfactants. *Journal of Membrane Science*, 326(2), 303-309. doi:<https://doi.org/10.1016/j.memsci.2008.10.013>
- Huang, J.-h., Zeng, G.-m., Qu, Y.-h., & Zhang, Z. (2007). Adsorption characteristics of zinc ions on sodium dodecyl sulfate in process of micellar-enhanced ultrafiltration. *Transactions of Nonferrous Metals Society of China*, 17(5), 1112-1117. doi:[https://doi.org/10.1016/S1003-6326\(07\)60234-9](https://doi.org/10.1016/S1003-6326(07)60234-9)
- Huang, J.-H., Zhou, C.-F., Zeng, G.-M., Li, X., Niu, J., Huang, H.-J., . . . He, S.-B. (2010). Micellar-enhanced ultrafiltration of methylene blue from dye wastewater via a polysulfone hollow fiber membrane. *Journal of Membrane Science*, 365(1-2), 138-144. doi:<https://doi.org/10.1016/j.memsci.2010.08.052>
- Landaburu-Aguirre, J. (2012). *Micellar-enhanced ultrafiltration for the removal of heavy metals from phosphorous-rich wastewaters*. (Doctoral dissertation), University of Oulu, Finland, Retrieved from <http://jultika.oulu.fi/files/isbn9789514299117.pdf>

- Landaburu-Aguirre, J., Pongrácz, E., Perämäki, P., & Keiski, R. L. (2010). Micellar-enhanced ultrafiltration for the removal of cadmium and zinc: use of response surface methodology to improve understanding of process performance and optimisation. *Journal of Hazardous Materials*, 180(1-3), 524-534. doi:<https://doi.org/10.1016/j.jhazmat.2010.04.066>
- Luo, F., Zeng, G.-M., Huang, J.-H., Zhang, C., Fang, Y.-Y., Qu, Y.-H., . . . Zhou, C.-F. (2010). Effect of groups difference in surfactant on solubilization of aqueous phenol using MEUF. *Journal of Hazardous Materials*, 173(1-3), 455-461. doi:<https://doi.org/10.1016/j.jhazmat.2009.08.106>
- Luo, J., & Ding, L. (2011). Influence of pH on treatment of dairy wastewater by nanofiltration using shear-enhanced filtration system. *Desalination*, 278(1-3), 150-156. doi:<https://doi.org/10.1016/j.desal.2011.05.025>
- Luo, J., Ding, L., Qi, B., Jaffrin, M. Y., & Wan, Y. (2011). A two-stage ultrafiltration and nanofiltration process for recycling dairy wastewater. *Bioresource Technology*, 102(16), 7437-7442. doi:<https://doi.org/10.1016/j.biortech.2011.05.012>
- Luo, J., Ding, L., Wan, Y., & Jaffrin, M. Y. (2012). Threshold flux for shear-enhanced nanofiltration: experimental observation in dairy wastewater treatment. *Journal of Membrane Science*, 409, 276-284. doi:<https://doi.org/10.1016/j.memsci.2012.03.065>
- Malakootian, M., Mansoorian, H., & Moosazadeh, M. (2010). Performance evaluation of electrocoagulation process using iron-rod electrodes for removing hardness from drinking water. *Desalination*, 255(1-3), 67-71. doi:<https://doi.org/10.1016/j.desal.2010.01.015>
- Ngang, H., Ahmad, A., Low, S., & Ooi, B. (2012). Preparation of mixed-matrix membranes for micellar enhanced ultrafiltration based on response surface methodology. *Desalination*, 293, 7-20. doi:<https://doi.org/10.1016/j.desal.2012.02.018>
- Puasa, S. W., Ruzitah, M. S., & Sharifah, A. S. A. K. (2011, June). *An overview of micellar-enhanced ultrafiltration in wastewater treatment process*. Paper presented at the Proceedings of international conference on environment and industrial innovation (ICEII 2011), Kuala Lumpur, Malaysia.
- Purkait, M., DasGupta, S., & De, S. (2004). Resistance in series model for micellar enhanced ultrafiltration of eosin dye. *Journal of Colloid and Interface Science*, 270(2), 496-506. doi:<https://doi.org/10.1016/j.jcis.2003.10.030>
- Rahmanian, B., Pakizeh, M., Esfandyari, M., Heshmatnezhad, F., & Maskooki, A. (2011a). Fuzzy modeling and simulation for lead removal using micellar-enhanced ultrafiltration (MEUF). *Journal of Hazardous Materials*, 192(2), 585-592. doi:<https://doi.org/10.1016/j.jhazmat.2011.05.051>
- Rahmanian, B., Pakizeh, M., Mansoori, S. A. A., & Abedini, R. (2011b). Application of experimental design approach and artificial neural network (ANN) for the determination of potential micellar-enhanced ultrafiltration process. *Journal of Hazardous Materials*, 187(1-3), 67-74. doi:<https://doi.org/10.1016/j.jhazmat.2010.11.135>
- Rahmanian, B., Pakizeh, M., & Maskooki, A. (2010). Micellar-enhanced ultrafiltration of zinc in synthetic wastewater using spiral-wound membrane. *Journal of Hazardous Materials*, 184(1-3), 261-267. doi:<https://doi.org/10.1016/j.jhazmat.2010.08.031>
- Samper, E., Rodríguez, M., De la Rubia, M., & Prats, D. (2009). Removal of metal ions at low concentration by micellar-enhanced ultrafiltration (MEUF) using sodium dodecyl sulfate (SDS) and linear alkylbenzene sulfonate (LAS). *Separation and Purification Technology*, 65(3), 337-342. doi:<https://doi.org/10.1016/j.seppur.2008.11.013>
- Sikder, S. K. (2003). *Application of sodium deoxycholate for separation of heavy metals*. (Doctoral dissertation), Massey University, Palmerston North, New Zealand, Retrieved from https://mro.massey.ac.nz/bitstream/handle/10179/1789/02_whole.pdf?sequence=1&isAllowed=y
- Switzer, L., Giera, M., Lingeman, H., Irth, H., & Niessen, W. M. (2011). Protein digestion optimization for characterization of drug-protein adducts using response surface modeling. *Journal of Chromatography A*, 1218(13), 1715-1723. doi:<https://doi.org/10.1016/j.chroma.2010.12.043>

Talebpour, Z., Ghassempour, A., Abbaci, M., & Aboul-Enein, H. Y. (2009). Optimization of microwave-assisted extraction for the determination of glycyrrhizin in menthazin herbal drug by experimental design methodology. *Chromatographia*, 70(1-2), 191-197. doi:<https://doi.org/10.1365/s10337-009-1146-4>

Zeng, G.-M., Li, X., Huang, J.-H., Zhang, C., Zhou, C.-F., Niu, J., . . . Li, F. (2011). Micellar-enhanced ultrafiltration of cadmium and methylene blue in synthetic wastewater using SDS. *Journal of Hazardous Materials*, 185(2-3), 1304-1310. doi:<https://doi.org/10.1016/j.hazmat.2010.10.046>

Studying Transmembrane Pressure, pH and Anionic Surfactant (SDS) Concentration Effects on MEUF Process Performance in Dairy Waste Water Treatment Using Response Surface Methodology Design

Ali Arasteh Nodeh¹, Susan Khosroyar^{2*}, Vahid Hakimzadeh³

- 1- Assoiated Professor, Department of Chemical Engineering, Quchn Branch, Islamic Azad University, Quchan, Iran
2- Assistant Professor, Department of Chemical Engineering, Quchn Branch, Islamic Azad University, Quchan, Iran
* Corresponding author (susankhosroyar@yahoo.com)
3- Assistant Professor, Department of Food Science and Technology, Quchn Branch, Islamic Azad University, Quchan, Iran

Abstract

Surfactants are widely used to improve membrane processes due to their ability to trap toxic, organic compounds and heavy metals in industrial wastewater treatment. In this study, the micellar-enhanced ultrafiltration process (MEUF) was used to improve the efficiency of ultrafiltration process to reduce COD, TDS, and turbidity and promote membrane permeate flux in dairy wastewater treatment. The influence of three operating parameters: SDS concentration, transmembrane pressure and pH with their interactions effects were evaluated using surface response methodology (RSM) in box-behnken design. The results showed that the concentration of anionic surface active agent as one of the most influential factors due to the formation of concentration polarization layer and increase in the number of micelles had a negative effect on flux, but had a positive effect on the elimination of the contamination indexes. Also, due to the compression of micelles, the amount of pollutant removal was reduced at high operational pressures. In addition, increasing pH improved the removal of COD, TDS, and turbidity.

Keywords: Dairy waste water, Enhnaced Ultrafiltrasion, Micelle, Response Surface Methodology, Surface Active Agents

تهیه فیلم نانوکامپوزیت سلولز باکتریایی/پلیپیرول-اکسید روی و بررسی ویژگی‌های فیزیکومکانیکی، ضدمیکروبی و آنتیاکسیدانی آن

سجاد پیرسا^{۱*}، توحید شموسی^۲، احسان مقدس کیا^۳

۱- دانشیار، گروه علوم و صنایع غذایی، دانشگاه ارومیه، ارومیه، ایران
* نویسنده مسئول (s.pirsa@urmia.ac.ir & pirsa7@gmail.com)

۲- دانشجوی کارشناسی ارشد، گروه علوم و صنایع غذایی، دانشگاه غیرانتفاعی آفاق ارومیه، ارومیه، ایران

۳- استادیار، گروه علوم و صنایع غذایی، دانشگاه علوم پزشکی مراغه، ارومیه، ایران

تاریخ دریافت: ۱۳۹۷/۰۳/۲۲

تاریخ پذیرش: ۱۳۹۷/۰۶/۳۱

واژه‌های کلیدی
اکسید روی
پلیپیرول
خواص ضدمیکروبی و آنتیاکسیدانی
سلولز باکتریایی
نانوساختار

چکیده

در این تحقیق نانوذرات پلیپیرول (PPy) و نانوکامپوزیت پلیپیرول-اکسید روی (PPy-ZnO) به روش شیمیایی روی فیلم سلولز باکتریایی در حضور کلرید آهن ۳ سنتز و فیلم‌های هادی الکتروسیسته تهیه شد. اندازه، شکل و مورفولوژی ذرات سنتز شده با استفاده از تکنیک میکروسکوپ الکترونی روبشی بررسی شد. نتایج بدست آمده نشان دادند پلیپیرول‌های سنتز شده کروی‌شکل و در ابعاد ۱۵۰-۵۰ نانومتر می‌باشند در حالی که ذرات نانوکامپوزیت پلیپیرول-اکسید روی دانه‌ای شکل بوده و در ابعاد ۳۰-۱۲۰ نانومتر می‌باشند. خواص مکانیکی شامل کرنش تا نقطه شکست و مقاومت کششی، خواص ضدمیکروبی و ضدقارچی (باکتری اشرشیاکلی و قارچ آسپرژیلوس نایجر) و نیز خاصیت آنتیاکسیدانی و هدایت الکتریکی فیلم‌های تهیه شده موردمطالعه قرار گرفتند. نتایج بدست آمده نشان داد که در پی اضافه کردن پلیپیرول مقاومت الکتریکی کاهش یافت درنتیجه جریان الکتریکی فیلم‌ها افزایش یافت. افزودن نانوذرات (پلیپیرول و اکسید روی) باعث تضعیف خواص مکانیکی (کرنش در نقطه شکست و مقاومت کششی) شده و استحکام کششی کاهش یافت. قدرت مهارکنندگی رادیکال‌های آزاد فیلم سلولز باکتریایی با افزودن اکسید روی به طور قابل توجهی افزایش یافت. سنتز و افزایش زمان سنتز پلیپیرول روی فیلم سلولز تأثیر مثبت در ایجاد خاصیت ضدمیکروبی و ضدقارچی فیلم‌ها داشت ولی نانوذرات اکسید روی بیشتر روی خاصیت ضدقارچی مؤثر می‌باشد.

مقدمه^۱ (Romani, & Dalla Rosa, 2008). سلولز باکتریایی^۱ یکی

از پلیمرهای زیست‌تخریب‌پذیر می‌باشد که اخیراً در زمینه بسته‌بندی مواد غذایی و تولید بسته‌بندی‌های زیست‌تخریب‌پذیر و فعال، کاربرد بسیار زیادی پیدا کرده است. سلولز باکتریایی، پلی‌ساقاریدی میکروبی است که از ویژگی‌های منحصر به‌فردی برخوردار می‌باشد و توجه

افزایش تولید و حجم مصرف پلاستیک‌ها و پلیمرهای نفتی در زندگی روزمره بشر، منجر به تجمع حجم عظیمی از ضایعات پلاستیکی غیرقابل تجزیه شده و سبب ایجاد مشکلات زیست‌محیطی گستره‌های گردیده است. راه حل بنيادی برای حل مشکل زباله‌های پلیمری، تولید پلیمرهای زیست‌تخریب‌پذیر است (Siracusa, Rocculi,

¹ Bacterial Cellulose

مادون قرمز، رفتار نیمه‌هادی، غیرسمی بودن برای انسان و فعالیت‌های ضد میکروبی آنها باعث ارزش اقتصادی آنها در کاربردهای صنعتی شده است. همچنین اخیراً فعالیت‌های ضد سرطانی نانوکامپوزیت اکسید روی گزارش شده است (Ali *et al.*, 2016). پلیمرهای رسانای الکتریکی به دلیل کاربردهای متعدد آنها نظریه‌های قابل شارژ، پوشش‌های سطح، محافظه امواج الکترومغناطیسی، حسگرهای، عضله‌های مصنوعی و پزشکی و نیز فیلم‌های هادی جریان جهت بسته‌بندی هوشمند مواد غذایی به شدت مورد توجه بسیاری از پژوهشگران قرار دارند. از جمله کاربردهای فیلم‌های رسانای جریان الکتریکی می‌توان به بسته‌بندی هوشمند مواد غذایی مانند بسته‌بندی گوشت‌ها، سبزی‌ها و میوه‌ها اشاره کرد. اگرچه پلیمرهای رسانای متعددی سنتز شده‌اند، اما پلی‌پیرول^۲ به دلیل خواص قابل توجه از جمله پایداری رسانایی بهتر و قابل کنترل بودن مورد توجه بیشتری قرار گرفته است (Nouri, 2009). پلی‌پیرول نیز مانند بسیاری از پلیمرهای رسانا در حللاهای معمولی انحلال‌پذیر نیست. همچنین این ماده دیرگذار است زیرا قبل از ذوب تغییر ماهیت می‌دهد. این پلیمر به خاطر داشتن برخی ویژگی‌ها مانند هدایت الکتریکی مناسب، سنتز شیمیایی و الکتروشیمیایی آسان، غیرسمی بودن، زیست‌تخربی‌پذیر بودن، اصلاح بسیاری از فیلم‌های زیست‌تخربی‌پذیر، ساخت حسگرهای یونی و گازی، اصلاح سطوح فلزی، جاذبهای شیمیایی، فیلترهای شیمیایی و غیره مورد استفاده فراوان قرار می‌گیرد (Eisa Zadeh & Khademian, 2006). پلی‌پیرول از تعدادی ساختارهای حلقه‌ای متصل به پیرول تشکیل شده و ثابت شده است که فعالیت ضد باکتری خوبی در برابر باکتری اشتباهی^۳ دارد (Ebrahimiasl, Zakaria, 2015; Kassim, & Basri, 2015).

برای یک بسته‌بندی فعال آنتی‌اکسیدانی این عیب بزرگی محسوب می‌شود که تمام آنتی‌اکسیدان موجود در آن در چند روز اول به ماده غذایی مهاجرت نموده و در ادامه مدت نگهداری ماده غذایی، فیلم هیچ‌گونه خاصیت آنتی‌اکسیدانی نداشته باشد. در مورد اکثر آنتی‌اکسیدان‌های طبیعی و سنتزی، نرخ رهایش با گذشت زمان کاهش یافته و میزان آنتی‌اکسیدان مهاجرت کرده، در

بسیاری از محققان به استفاده از این ترکیب در کاربردهای مختلف غذایی، پزشکی، صنعتی و حتی الکترونیکی معطوف شده است (Esa, Tasirin, & Rahman, 2014). در حال حاضر، باکتری‌های مختلفی برای تولید سلولز استفاده می‌شوند اما استوپاکتر گزیلینیوم^۱ به طور گسترده‌ای در تولید تجاری آن کاربرد دارد (Shi, Zhang, Phillips, & Yang, 2014) دارای بودن خواص فیزیکی قوی، در صنایع غذایی به عنوان یک ژل کننده، قوام‌دهنده، پایدارکننده و اصلاح‌کننده بافت مورد استفاده قرار می‌گیرد (Shi *et al.*, 2014). یکی از کاربردهای سلولز باکتریایی استفاده در بسته‌بندی مواد غذایی است. در سال‌های اخیر، از این بیوپلیمر در تولید بسته‌بندی‌های فعال استفاده فراوانی شده است. بسته‌بندی فعال نوعی بسته‌بندی است که علاوه‌بر داشتن خواص بازدارندگی اصلی بسته‌بندی‌های معمول، با تغییر شرایط بسته‌بندی، ایمنی، ماندگاری و یا ویژگی‌های حسی ماده غذایی را بهبود می‌بخشد و در عین حال کیفیت ماده غذایی Ghanbarzadeh, Pezeshki Najafabadi, & Almasi, 2011 حفظ می‌گردد (). نانوذرات اکسید روی به علت خواص فیزیکو‌شیمیایی پایدار، غیرسمی و ارزان‌بودن به طور گسترده‌ای در تولید فیلم استفاده می‌شوند. علاوه‌بر این طبق گزارش‌های اخیر تولید هیدروژن پراکسید از سطح نانوذرات اکسید روی باعث بروز پدیده آنتی‌باکتریال در Zhang, Jiang, Ding, Povey, & York, 2007 فیلم‌ها می‌شود (). اکسید روی در مقایسه با نانوذرات نقره خواص غیرسمی و ظاهری سفید دارد. درنتیجه اکسید روی برای بهبود خواص پلیمرهای مورد استفاده در بسته‌بندی مواد غذایی بیشتر مورد توجه قرار می‌گیرد (Vigneshwaran, Kumar, Kathe, Varadarajan, & Prasad, 2006). خاصیت ضد میکروبی اکسید روی از گذشته بسیار دور شناخته شده و کاربردهای فراوانی در ضد عفونی کردن وسایل پزشکی، تصفیه آب، کرم‌ها، لوسیون‌ها و پمادهای ضد باکتری دارد. بنابراین از نانوذرات اکسید روی در فیلم‌های خوارکی استفاده می‌شود تا علاوه‌بر ایجاد خاصیت ضد میکروبی، خواص عملکردی بسته‌بندی بهبود یابد (Gajjar *et al.*, 2009). با توجه به ویژگی‌های فراوان نانوذرات اکسید روی مانند: فتوکاتالیستی، پایداری فیزیکو‌شیمیایی، ویژگی جذب‌کنندگی اشعه فرابنفش و

² Polypyrrole
³ E. Coli

¹ Acetobacter xillinum

پژوهشکده متالوزی رازی- تهران ثبت شد. دستگاه بافت‌سنچ (مدل TA.XT Plus، Stable Micro Systems) در محل دانشکده کشاورزی دانشگاه ارومیه برای بررسی ویژگی‌های مکانیکی فیلم‌ها استفاده شد. مقاومت الکتریکی فیلم‌های تهیه شده با استفاده از مولتی‌متر دیجیتالی (ساخت چین) ثبت گردید.

تهیه فیلم سلولز باکتریایی اصلاح شده با اکسید روی- پلیپیرول

برای تهیه فیلم سلولز باکتریایی/اکسید روی-پلیپیرول، محلول پیرول و اکسید روی طبق طرح آزمایشی مرکب مرکزی و غلظت‌های صفر، ۰/۰۲۵، ۰/۰۵۰، ۰/۰۷۵ و ۰/۱ مولار برای اکسید روی و نیز پیرول در زمان‌های ۱۵، ۲۶/۵، ۳۷، ۴۸/۵ و ۶۰ دقیقه (در دمای محیط) روی فیلم سلولز باکتریایی آماده (خریداری شده از شرکت نانوپلیمر ساری) سنتز شدند. جدول (۱) طرح آزمایشی مرکب مرکزی استفاده شده را نشان می‌دهد.

جدول ۱- طرح آزمایشی مرکب مرکزی

زمان سنتز (دقیقه)	زمان سنتز	غلظت پیرول روی (مولار)	غلظت اکسید روی (مولار)	تیمار
F1	۰/۰۵	۰/۰۵	۳۷	
F2	۰/۱۰	۰/۰۰	۳۷	
F3	۰/۱۰	۰/۰۰	۶۰	
F4	۰/۰۳	۰/۰۸	۲۶/۵۰	
F5	۰/۱۰	۰/۰۰	۱۵	
F6	۰/۰۰	۰/۱۰	۱۵	
F7	۰/۰۸	۰/۰۳	۴۸/۵۰	
F8	۰/۱۰	۰/۰۰	۶۰	
F9	۰/۰۵	۰/۰۵	۶۰	
F10	۰/۱۰	۰/۰۰	۲۶/۵۰	
F11	۰/۱۰	۰/۰۰	۶۰	
F12	۰/۰۸	۰/۰۳	۲۶/۵۰	
F13	۰/۰۰	۰/۱۰	۶۰	
F14	۰/۰۰	۰/۱۰	۱۵	
F15	۰/۰۵	۰/۰۵	۱۵	
F16	۰/۰۰	۰/۱۰	۶۰	
F17	۰/۰۳	۰/۰۸	۴۸/۵۰	
F18	۰/۰۵	۰/۰۵	۶۰	
F19	۰/۰۰	۰/۱۰	۳۷/۵۰	
Blank	۰/۰۰	۰/۰۰	۰/۰۰	

زمان‌های اولیه بیشتر از زمان‌های نهایی نگهداری ماده غذایی می‌باشد. در واقع در رهایش کنترل شده، هدف، افزایش طول مدت زمان مهاجرت آنتی‌اکسیدان و همچنین قابل پیش‌بینی کردن نرخ رهایش می‌باشد. Ebrahimiasl و همکاران (۲۰۱۵)^۲ فیلم زیست‌تخریب‌پذیر کیتوزان/پلی‌پیرول-اکسید روی را سنتز کرده و گزارش دادند که پلی‌پیرول و اکسید روی خاصیت ضد میکروبی و آنتی‌اکسیدانی و هدایت الکتریکی فیلم را افزایش می‌دهد. در این پژوهش، فیلم سلولز باکتریایی حاوی اکسید روی و پلی‌پیرول به منظور استفاده در بسته‌بندی فعال و ضد قارچی و ضد میکروبی و همچنین بسته‌بندی هوشمند (به دلیل تغییر مقاومت الکتریکی آن در معرض مواد فاسد غذایی) تولید شده است. هدف اصلی این پژوهش بررسی خواص مکانیکی، خاصیت ضد میکروبی، آنتی‌اکسیدانی و هادی الکتریسیته بودن فیلم تولید شده می‌باشد که در ادامه این تحقیق تأثیر فیلم سنتز شده روی افزایش زمان ماندگاری مواد غذایی و بسته‌بندی هوشمند آنها مطالعه خواهد شد.

مواد و روش‌ها

مواد شیمیایی

پیرول استفاده شده قبل از مصرف تحت خلاً تقطیر شد و با کلرید آهن ۳ مورد استفاده قرار گرفت. مونومر پیرول^۱ از شرکت مرک تهیه شد و گلیسرول، اسید استیک، ۲-دی‌فیل-۱-پیکریل-هیدرازیل^۲ (DPPH) و سایر ترکیبات آلی مورد استفاده از شرکت مرک و آلدربیج تهیه شدند. این ترکیبات که از شرکت‌های مرک و آلدربیج تهیه شده بودند بدون خالص‌سازی مجدد مورد استفاده قرار گرفتند. نانوذرات اکسید روی برای تهیه نانوکامپوزیت پلی‌پیرول-اکسید روی از شرکت آلدربیج (St Louis, MO, USA) تهیه شد. فیلم سلولز باکتریایی نیز از شرکت نانو نوین پلیمر (ساری، ایران) تهیه و استفاده شد.

دستگاه‌ها

تصاویر با استفاده از دستگاه میکروسکوپ الکترون روبشی^۳ (SEM) (مدل Vega-3، Tescan) ساخت ژاپن در

¹ Pyrrole

² 2,2-Diphenyl-1-picrylhydrazyl

³ Scanning Electron Microscope

حين فرایند خشکشدن تمامی نانوذرات پلیپیروول و اکسید روی در داخل فیلم سلولزی تثبیت می‌شود. شکل (۱) تصویر فیلم سلولز باکتریایی خالص و نمونه فیلم سلولز باکتریایی اصلاح شده با پلیپیروول و اکسید روی را نشان می‌دهد.

برای این کار محلول پیروول، اکسید روی و کلرید آهن (۳ سنتزکننده پیروول) تهیه شده در حجم معین آب مقطر، در درون پلیت ریخته شده و فیلم سلولزی در آن غوطه‌ور گردید. پلیپیروول و پلیپیروول-اکسید روی روی فیلم سلولز باکتریایی سنتز گردید و درنهایت بعد از تهیه، فیلم سلولز باکتریایی سنتز گردید و درنهایت بعد از تهیه، فیلم به مدت ۳ ساعت در دمای محیط خشک گردید که در



شکل ۱- تصویر فیلم ناوالیاف سلولز باکتریایی (الف) و فیلم سلولز باکتریایی اصلاح شده با پلیپیروول-اکسید روی (ب)

اندازه‌گیری خواص مکانیکی فیلم‌ها

آزمون تنش کرنش یکی از پرکاربردترین آزمون‌های تعیین رفتار مکانیکی فیلم‌ها می‌باشد. آزمون‌های کشش با استفاده از دستگاه بافت‌سنج و طبق استاندارد شماره ۱۹-۲۲ (ASTM, 2010) در دانشکده کشاورزی دانشگاه ارومیه انجام شد. برای اندازه‌گیری ویژگی‌های مکانیکی فیلم‌های تهیه شده، ۵ فیلم از فیلم‌های انتخاب شده براساس جدول (۱) انتخاب شدند. در فیلم‌های انتخاب شده می‌توان اثر سه فاکتور غلظت پیروول و غلظت اکسید روی و نیز زمان سنتز کامپوزیت روی فیلم سلولز باکتریایی را بررسی کرد. برای این منظور فیلم‌ها در ابعاد 5×1 سانتی‌متر توسط برشگر مخصوص فیلم‌ها برش داده شد. فاصله بین دو فک دستگاه ۳ سانتی‌متر و سرعت حرکت فک‌ها 0.83 m/min می‌باشد. فاکتورهای حداکثر نیروی شکست (برحسب نیوتون)، نسبت نیرو به زمان^۱ برحسب نیوتون بر ثانیه و فاصله تا نقطه شکست (میلی‌متر) به‌وسیله دستگاه محاسبه شد. فاکتورهای کرنش تا نقطه شکست^۲ (STB) و مقاومت کششی^۳ (TS) توسط رابطه (۱) و (۲) محاسبه شد (Lee, An, Lee, Park, & Lee, 2004).

$$\text{رابطه (۱)} \quad \frac{\text{فاصله تا نقطه شکست}}{\text{طول فیلم}} \times 100 = \text{کرنش تا نقطه شکست (\%)} \quad (1)$$

$$\text{رابطه (۲)} \quad \frac{\text{نیرو}}{\text{عرض فیلم} \times \text{ضخامت فیلم}} = \text{مقاومت کششی (TS)} \quad (2)$$

در رابطه (۲) مقاومت کششی برحسب مگاپاسکال، نیرو برحسب نیوتون، ضخامت (d) و عرض فیلم (W) برحسب میلی‌متر می‌باشد (Lee et al., 2004).

تعیین خاصیت آنتی‌اکسیدانی توانایی از دست‌دادن اتم هیدروژن توسط ترکیبات فنولیک یا میزان بی‌رنگ کردن محلول بنفسن ۲ و ۲-دی‌فنیل-۱-پیکریل-هیدرازیل عصاره متابولی فیلم‌ها مورد سنجش قرار گرفت. در این آزمون از DPPH به عنوان ترکیبات رادیکالی پایدار استفاده گردید. به منظور تعیین ظرفیت آنتی‌اکسیدانی فیلم‌ها از طریق قدرت خنثی‌کنندگی رادیکال آزاد DPPH از روش Harte و Siripatrawan و

^۱ Tensile Strength

^۲ Gradient

^۳ Strain to Break

غلظت پیرول و زمان سنتز) روی مقاومت الکتریکی و خاصیت آنتیاکسیدانی از طرح آماری مرکب مرکزی استفاده شد. هدف از طراحی این آزمایش بررسی اثر غلظت اکسید روی، غلظت پیرول و زمان سنتز روی فیلم‌های سلولز باکتریایی و نیز بررسی برهمنکنش بین آنها می‌باشد. بدین منظور طبق جدول (۱) تعداد ۲۰ فیلم تهیه گردید. از بین فیلم‌های تهیه شده تعدادی از فیلم‌ها که تأثیر پیرول و اکسید روی را روی خواص مکانیکی و ضدبакتریایی و قارچی را نشان می‌دهد، انتخاب گردید. تحلیل و ارزیابی داده‌ها با استفاده از نرم‌افزار آماری Design Expert نسخه ۷ در سطح احتمال ۵ درصد انجام گرفت. از نرم‌افزار Design Expert جهت رسم نمودارها استفاده گردید.

نتایج و بحث

مطالعه مورفولوژی فیلم‌های تهیه شده

مورفولوژی سطحی فیلم‌های سلولز باکتریایی، پلیپیرول سنتزشده روی سطح فیلم سلولز باکتریایی، اکسید روی رشد داده شده روی فیلم سلولز باکتریایی و کامپوزیت پلیپیرول-اکسید روی سنتزشده روی فیلم سلولز باکتریایی در شکل (۲) نشان داده شده است. فیلم خالص سلولز باکتریایی (تصویر ۲-الف) دارای سطح صاف می‌باشد و شکل فیبرها به وضوح قابل تشخیص است. اندازه قطر نانوالیاف سلولز باکتریایی حدود ۶۰-۴۰ نانومتر می‌باشد، ساختار شبکه فیلم سلولز باکتریایی در شکل (۲-الف) شفاف و روشن است. چنین شبکه متخلخل از سلولز باکتریایی اجازه می‌دهد مولکول مهمان در سراسر فضای داخلی آن به راحتی پخش شود. شکل (۲-ب) ساختار مورفولوژی سلولز-پلیپیرول را نشان می‌دهد، واضح است که نانوفیبرهای سنتزشده با قطر تقریبی ۶۰-۴۰ نانومتر به خوبی از هم جدا شده‌اند، ابعاد بین نانوفیبر سلولزی و سلولز-پلیپیرول را می‌توان در شکل (۲-ب) به طور واضح مشاهده کرد، قسمتی که لایه‌های تقریباً یکنواخت پلیپیرول روی نانوفیبرهای سلولز باکتریایی پخش شدند، که در آن لایه پلیپیرول ضخامت تقریبی ۵۰ نانومتر دارد Wang, Bian, (2013) و روی فیبرهای سلولز پخش شده است (Zhou, Tang, & Tang, 2013). تصاویر SEM از سطح ذرات ZnO که روی فیلم سلولز رشد کرده‌اند در شکل (۲-ج) نشان داده شده است. سلولز دارای سطح صاف می‌باشد

(۲۰۱۰) استفاده شد. میزان جذب توسط دستگاه اسپکتروفوتومتر (مدل UV-2100، ساخت آمریکا) در طول موج ۵۱۷ نانومتر ثبت شد. ظرفیت آنتیاکسیدانی فیلم‌ها به صورت درصد بازدارندگی DPPH با استفاده از رابطه (۳) محاسبه گردید (Siripatrawan & Harte, 2010) رابطه (۳)

$$\text{درصد خاصیت آنتیاکسیدانی} = \frac{\text{جذب شاهد} - \text{جذب محلول رادیکالی}}{\text{جذب محلول رادیکالی}} \times 100$$

اندازه‌گیری مقاومت الکتریکی فیلم‌ها برای اندازه‌گیری مقاومت الکتریکی فیلم‌های تهیه شده از دستگاه مولتی‌متر (مدل Escort، ساخت چین) استفاده گردید. دستگاه روی مقاومت‌سنج تنظم شد و دو الکترود دستگاه با فاصله ۱ سانتی‌متر از یکدیگر روی فیلم‌ها قرار گرفت، سپس مقدار مقاومت الکتریکی از روی دستگاه خوانده و ثبت گردید.

بررسی خاصیت ضدمیکروبی و ضدقارچی فیلم‌ها ۲ میلی‌لیتر از مایه کشت باکتری /شرشیاکلی و قارچ آسپرژیلوس نایجر^۱ حاوی حدود ۱۰^۵ واحد تشکیل کلنبی بر میلی‌لیتر عدد از باکتری و قارچ از دانشگاه ارومیه تهیه گردید. فیلم‌های تولیدشده به صورت دایره‌هایی با قطر ۳ میلی‌متر بریده شد. برای کشت /شرشیاکلی از محیط کشت نوترینت آگار^۲ و برای کشت آسپرژیلوس از محیط کشت سیب‌زمینی دکستروز آگار (PDA)^۳ استفاده گردید. بعد از کشت باکتری و قارچ مدنظر روی محیط‌های کشت مخصوص قطعه‌های فیلم بریده شده روی سطح کشت قرار داده شد. بعد از ۴۸ ساعت نگهداری در دمای ۳۷ درجه سانتی‌گراد، مقدار هاله‌های ایجادشده دور فیلم ۳ بار از زاویه‌های مختلف اندازه‌گیری گردید و میانگین آنها ثبت شد. این آزمایش سه بار تکرار گردید (Saadatmand, Yazdanshenas, Rezaei-Zarchi, Yousefi-telori, & Negahdary, 2012).

تحلیل آماری

برای بررسی اثر پارامترهای مستقل (غلظت اکسید روی،

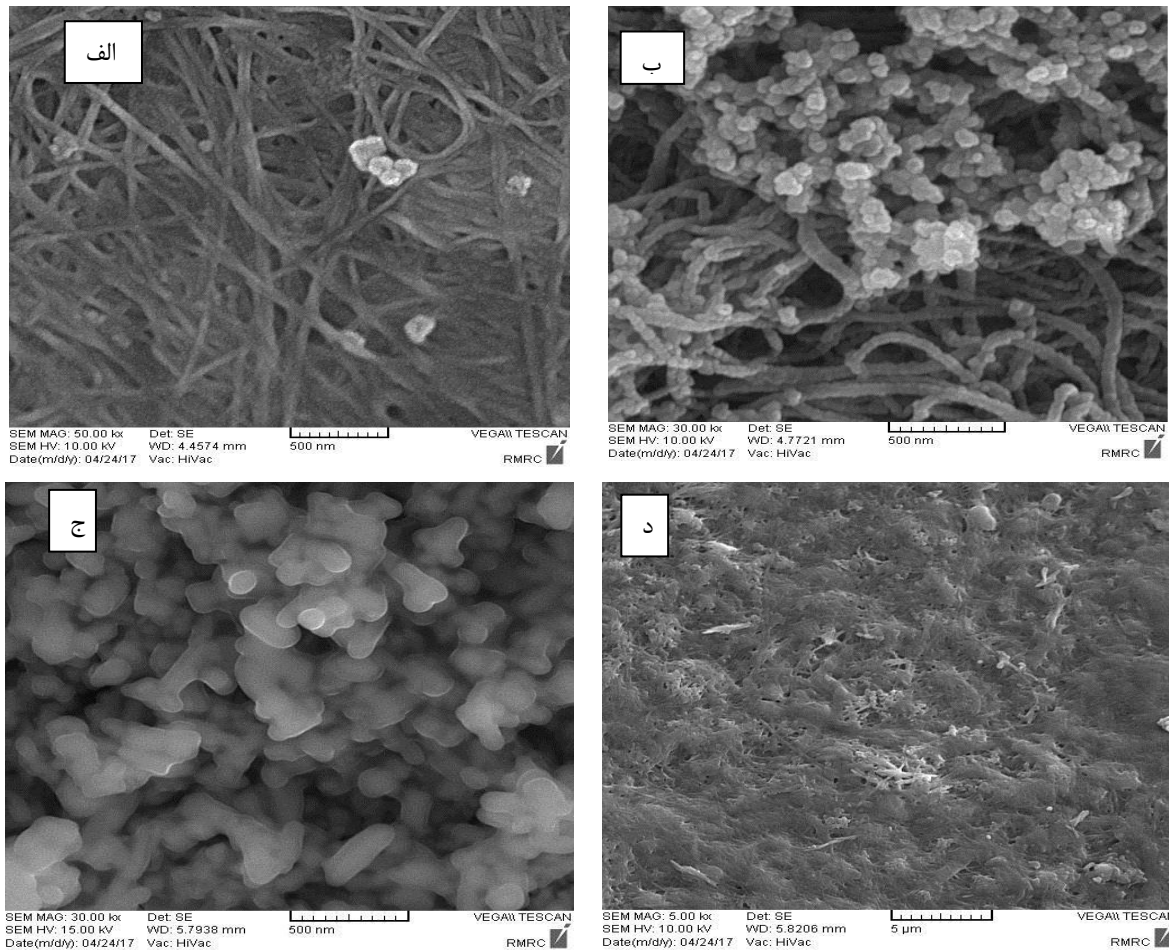
¹ Aspergillus niger

² Nutrient agar

³ Potato Dextrose Agar

۱۰۰-۱۵۰ نانومتر می‌باشد و روی سلولز باکتریایی رشد کرده‌اند. مورفولوژی سطحی بهوضوح نشان داد نانوذرات پلی‌پیرول و اکسید روی بهصورت یکنواخت روی سطح سلولز باکتریایی رشد می‌کند.

که پس از رشد ZnO، ذرات میله‌مانند و ۸ پلی‌سیلیکات با اندازه ذرات ۱۰۰-۱۵۰ نانومتر به‌طور کامل سطح سلولز را پوشش داده‌اند. تصویر SEM از نانوکامپوزیت پلی‌پیرول-اکسید روی در شکل (۲-د) نشان داده شده است. اندازه ذرات



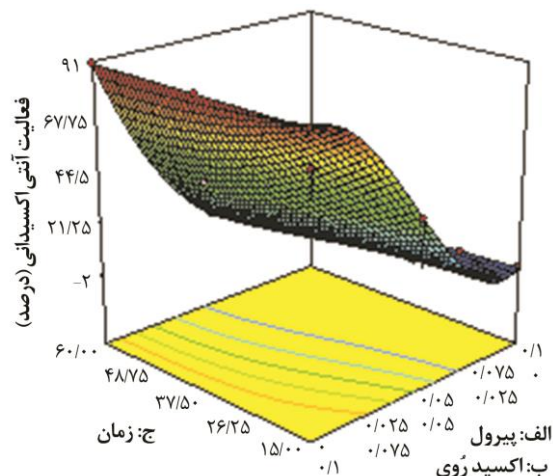
شکل ۲- تصویر میکروسکوپ الکترونی مربوط به نمونه فیلم‌های سلولز خالص (الف)، سلولز-پلی‌پیرول (ب)، سلولز-اکسید روی (ج) و سلولز/پلی‌پیرول-اکسید روی (د)

باکتریایی/اکسید روی و سلولز باکتریایی/پلی‌پیرول/اکسید روی دارای ظرفیت بسیار بالایی برای استفاده در بسته‌بندی مواد غذایی و بسته‌بندی‌های هوشمند هستند. در مطالعه سنسورهای گاز براساس پلیمرهای هدایت‌شده، Shamusi، Pirsa و Kia (۲۰۱۸) نشان دادند که در سنسورهای گاز مبتنی بر پلی‌پیرول مقاومت الکتریکی با قراردادن اسید، پایه یا ترکیبات طبیعی فرار تغییر می‌کند. با استفاده از فیلم‌های سلولز باکتریایی/پلی‌پیرول، سلولز باکتریایی/اکسید روی و سلولز باکتریایی/پلی‌پیرول/اکسید روی در بسته‌بندی مواد غذایی، امکان تعیین ترکیبات فرار از مواد غذایی (بوی مواد غذایی)، زمان ذخیره مواد غذایی

خواص مقاومت الکتریکی

مقاومت الکتریکی فیلم‌های سلولز/پلی‌پیرول و سلولز/پلی‌پیرول-اکسید روی به عنوان عامل بسیار مهمی که می‌تواند در صنعت بسته‌بندی مواد غذایی، بسته‌بندی هوشمند، حسگرهای بی‌حس‌کننده، سنسور گاز و غیره مورد استفاده قرار گیرد، مورد بررسی قرار گرفت. مقاومت الکتریکی فیلم‌های مختلف، ثبت شد و اثر زمان و مدت زمان پلیمریزاسیون پلی‌پیرول و اکسید روی مورد بررسی قرار گرفت. شکل (۳) منحنی مقاومت الکتریکی نسبت به غلظت پیرول و اکسید روی را نشان می‌دهد. فیلم‌های سنتز شده شامل سلولز باکتریایی/پلی‌پیرول، سلولز

با زمان سنتز ۶۰ دقیقه، حدود ۸۹/۲۵ درصد قدرت بهداماندازی رادیکال دیفنیلپیکریل هیدرازیل (DPPH) را دارا می‌باشد که بهعنوان معیاری برای بررسی قدرت آنتیاکسیدانی می‌باشد. شکل (۴) نشان می‌دهد که افزایش غلظت اکسید روی در ماتریس نانوکامپوزیت تأثیر معنی‌داری روی خاصیت آنتیاکسیدانی دارد ($P < 0.05$). پلیپیرول نیز اثر معنی‌داری بر فعالیت آنتیاکسیدانی فیلم‌ها داشت از ۸۰ تا ۳۰ درصد قدرت آنتیاکسیدانی را نشان داد که با افزایش غلظت پیرول و زمان پلیمریزاسیون قدرت آنتیاکسیدانی فیلم کاهش یافت. زمان پلیمریزاسیون پلیپیرول و زمان رسوب ZnO تأثیر قابل توجهی بر فعالیت آنتیاکسیدانی دارند، در هر دو مورد افزایش زمان، فعالیت آنتیاکسیدانی را افزایش می‌دهد. نتایج تحقیق‌ها نیز حاکی از افزایش قدرت آنتیاکسیدانی در اثر افزودن اکسید روی به ماتریس پلیمری فیلم‌ها می‌باشد (Emamifar, Kadivar, Shahedi, & Soleimanian-Zad, 2011).

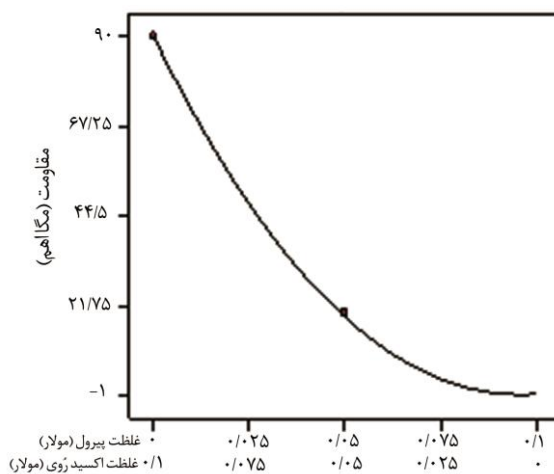


شکل ۴- منحنی سه‌بعدی تأثیر غلظت اکسید روی و پلیپیرول روی خاصیت آنتیاکسیدانی فیلم‌ها

خواص مکانیکی

از بین فیلم‌های تهیه شده مطابق جدول (۱) تعدادی فیلم که اثر پیرول، اکسید روی و مدت زمان سنتز روی خواص مکانیکی را نشان می‌دهد، انتخاب شد. شکل (۵) منحنی نیروی کشش فیلم‌ها نسبت به زمان کشش و نقطه شکست و نیز منحنی ستونی کرنش در نقطه شکست (STB) و مقاومت کششی (TS) را نشان می‌دهند.

و دمای نگهداری مواد غذایی وجود خواهد داشت. علاوه بر این، با استفاده از فیلم‌های ارائه شده در بسته‌بندی مواد غذایی، می‌توان غلظت مواد فرار را با مطالعه هدایت الکتریکی و برخی پارامترها در بسته‌بندی شامل بُوی غذا، دما، فشار، ترکیبات فرار، زمان ذخیره‌سازی و غیره می‌توان رابطه خطی برقرار کرد و از این رابطه خطی برای تخمین مدت زمان و دمای نگهداری و سایر پارامترهای محصولات غذایی استفاده کرد (Ram, Yavuz, Lahsangah, & Aldissi, 2005). نتایج شکل (۳) نشان می‌دهد که افزایش غلظت پیرول باعث کاهش مقاومت الکتریکی و افزایش شدت جریان الکتریکی می‌شود که در بسته‌بندی‌های هوشمند (براساس تغییرات مقاومت الکتریکی) بالابودن میزان هدایت الکتریکی حساسیت فیلم نسبت به تغییرات محیطی را افزایش می‌دهد.



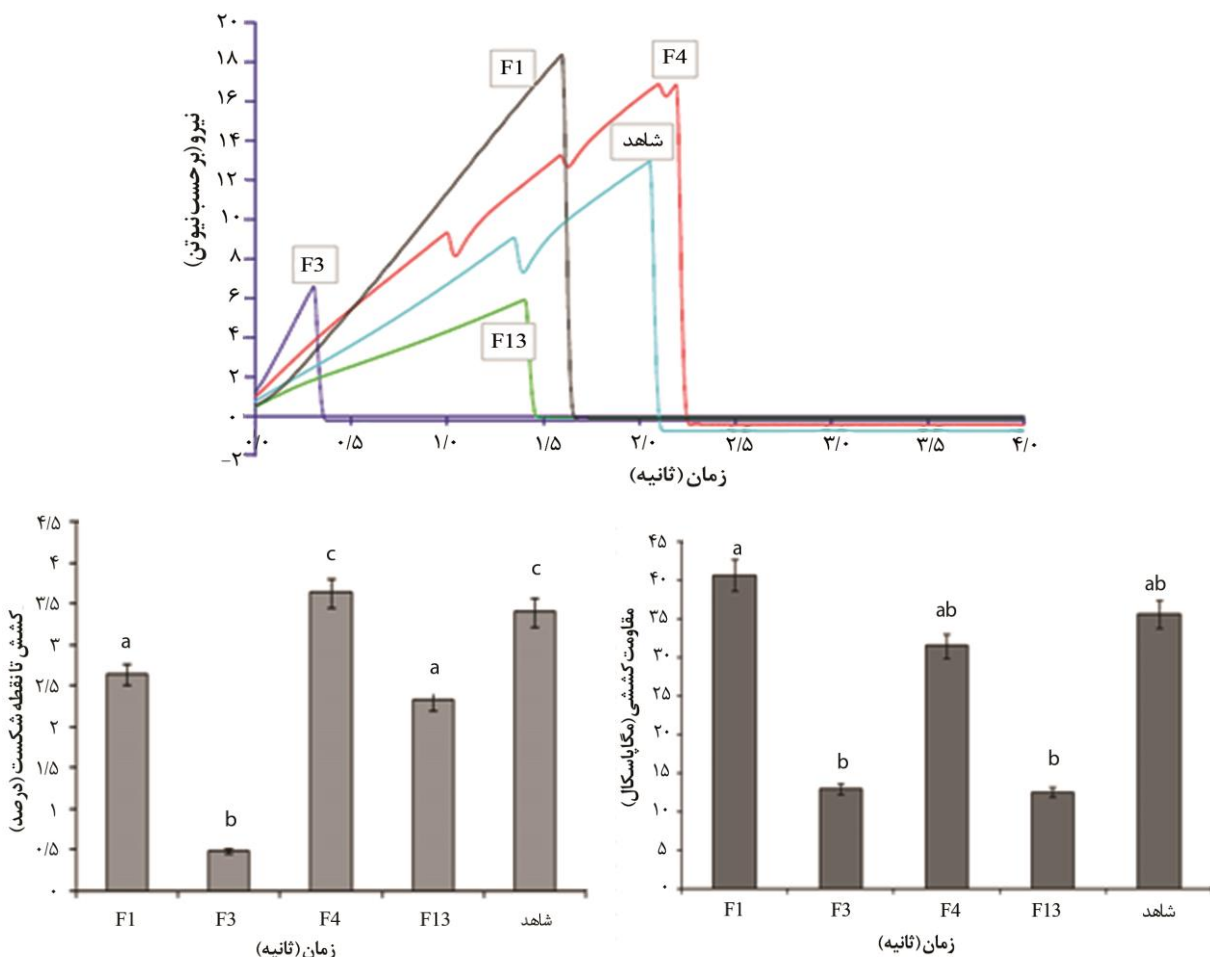
شکل ۳- نمودار خطی تأثیر غلظت پیرول و اکسید روی بر مقاومت الکتریکی ($M\Omega$) فیلم‌ها

تعیین خاصیت آنتیاکسیدانی فیلم‌ها

اساس این تست بر پایه احیاء و تغییر رنگ رادیکال DPPH به رنگ زرد در حضور مواد آنتیاکسیدانی می‌باشد. در این تست وجود آنتیاکسیدان باعث تبدیل رادیکال DPPH به یک ترکیب زرد رنگ به نام دیفنیل هیدرازیل می‌گردد که شدت این واکنش بستگی به توانایی اهدای هیدروژن ماده آنتیاکسیدانی می‌باشد. سرانجام کاهش رنگ موجب کاهش در میزان جذب اسپکتروفوتومتری می‌گردد. اکسید روی ویژگی آنتیاکسیدانی بالایی را از خود نشان داد. فیلم حاوی ۰/۱ درصد وزنی اکسید روی

این باشد که پیوندهای جدیدی بین پلیمرهای پیرول و سلولز شکل می‌گیرد که این پیوندها به نوبت خود پیوندهای بین پلیمرهای سلولز را کاهش داده و مقاومت فیزیکی آن را پایین می‌آورد و همچنین با توجه به اینکه پلیپیرول یک پلیمر ترد و شکننده می‌باشد قرارگرفتن این پلیمرها در فضای بین پلیمرهای سلولز نیز منجر به کاهش شدید کشش تا نقطه شکست می‌شود. نتایج این تحقیق تقریباً مشابه نتایج به دست آمده در کارهای مشابه می‌باشد که درستی نتایج به دست آمده را تأیید می‌کند (Ko, Mun, Min, Kim, & Kim, 2014; Pang, Liu, Zhang, Wu, & Sun, 2013).

نتایج به دست آمده از شکل (۵) نشان می‌دهد که سنتز اکسید روی، پلیپیرول و کامپوزیت اکسید روی-پلیپیرول روی خواص مکانیکی فیلم سلولز باکتریایی مؤثر می‌باشد. براین‌اساس ترسیب اکسید روی؛ روی سطح فیلم، کرنش در نقطه شکست و مقاومت کششی فیلم را تا حدودی کاهش می‌دهد که علت این امر را می‌توان به پرکردن زنجیره پلیمری داخل سلولز توسط اکسید روی نسبت داد که درنهایت باعث می‌شود انعطاف‌پذیری و مقاومت فیزیکی فیلم سلولزی کاهش یابد. سنتز پلیپیرول نیز به شدت فیلم کرنش در نقطه شکست و مقاومت کششی فیلم را کاهش می‌دهد که شاید علت این کاهش شدید



شکل ۵- منحنی نیروی کشش نسبت به زمان کشش فیلم‌ها، منحنی کرنش در نقطه شکست (STB) و مقاومت کششی (TS) فیلم‌ها حروف غیر مشابه نشان‌دهنده معنی‌دار بودن تفاوت‌ها می‌باشد ($P < 0.05$).

چندین فیلم انتخاب شده و آزمون‌های ضد میکروبی و ضد قارچی روی آنها انجام پذیرفت. جدول (۲) فعالیت ضد قارچی فیلم‌های تولید شده در برابر قارچ آسپرژیلوس نایجر و جدول (۳) فعالیت ضد باکتریایی فیلم‌ها در حضور

آزمون ضد میکروبی
برای بررسی اثر غلظت اکسید روی و غلظت پیرول و نیز زمان سنتز روی فعالیت ضد میکروبی و ضد قارچی فیلم‌های تهیه شده، از بین فیلم‌های تهیه شده مطابق جدول (۱)

نتایج به دست آمده با نتایج Zehra Solangi Nawaz و Nadeem (۲۰۱۱) مطابقت دارد. میزان هاله ایجاد شده در شکل های (۶) و (۷) نشان داده شده است. فعالیت ضد میکروبی بیشتر به غلظت میزان نانوذرات بستگی دارد. همچنین پلیپیرول از تعدادی ساختارهای حلقه ای متصل به پیرول تشکیل شده است و ثابت شده فعالیت ضد میکروبی خوبی در برابر /شرشیاکلی دارد (Ebrahimiasl *et al.*, 2015).

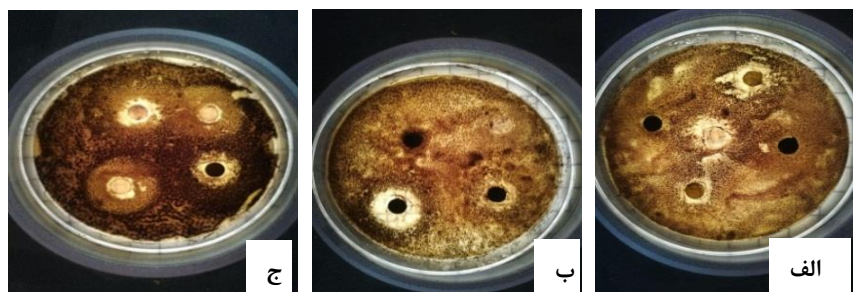
باکتری /شرشیاکلی موردمطالعه را نشان می دهد. فیلم شاهد (سلولز باکتریایی) هیچ اثر بازدارندگی روی قارچ آسپرژیلوس و باکتری /شرشیاکلی نشان نداد. افزودن اکسید روی و پلیپیرول منجر به ایجاد نواحی شفاف بازدارندگی در اطراف فیلم ها شد. بیشترین بازدارندگی در نمونه های حاوی ۰/۰۵ درصد پلیپیرول و ۰/۰۵ درصد اکسید روی مشاهده گردید. که علت این پدیده، تولید گونه های اکسیژن فعال بر سطح نانوذرات می باشد. که با نفوذ به داخل سلول باکتری باعث مرگ سلول می شوند.

جدول ۲- فعالیت ضدقارچی فیلم های تولید شده در برابر قارچ آسپرژیلوس نایجر

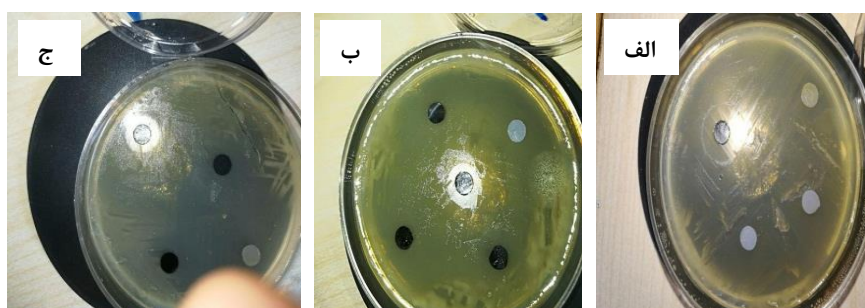
تیمار	غله ات اکسید روی	زمان سنتز (ثانیه)	قطر فیلم (میلی متر)	قطر هاله تشكیل شده (میلی متر)	تفاضل قطر هاله و فیلم (میلی متر)	مساحت هاله Jr^2 (میلی مترمربع)
Blank	-	-	-	-	-	۰/۰۰
F9	۰/۰۵	۶۰	۳	۱۳/۵۰	۱۰/۰۵	۸۶/۵۴±۰/۱۲
F13	۰/۱۰	۶۰	۳	۸/۱۰	۵/۱۰	۲۳/۷۴±۰/۱۵
F17	۰/۰۸	۴۵	۳	۵/۵۰	۲/۵۰	۴/۹۰±۰/۱۰
F1	۰/۰۵	۴۵	۳	۱۰/۰۰	۷/۰۰	۳۸/۴۶±۰/۰۸
F19	۰/۱۰	۴۵	۳	۴/۵۰	۱/۵۰	۱/۷۶±۰/۱۵

جدول ۳- فعالیت ضد میکروبی فیلم های تولید شده در برابر باکتری /شرشیاکلی

تیمار	درصد اکسید روی	درصد پلیپیرول	زمان سنتز (ثانیه)	قطر فیلم (میلی متر)	قطر هاله تشكیل شده (میلی متر)	تفاضل قطر هاله و فیلم (میلی متر)	مساحت هاله Jr^2 (میلی مترمربع)
نمونه شاهد	-	-	-	-	-	-	۰/۰۰
۱۵	۰/۰۵	۰/۰۵	۴۵	۳	۶/۳۰	۳/۳۰	۸/۵۴±۰/۰۸
۹	۰/۰۵	۰/۰۵	۶۰	۳	۸/۸۰	۵/۸۰	۲۶/۴۰±۰/۱۰
۱	۰/۰۵	۰/۰۵	۴۵	۳	۶/۴۰	۳/۴۰	۹/۰۷±۰/۱۲
۱۳	۰/۱۰	۰/۰۰	۶۰	۳	۰/۰۰	۰/۰۰	۰/۰۰
۱۷	۰/۰۸	۰/۰۳	۴۵	۳	۰/۰۰	۰/۰۰	۰/۰۰



شکل ۶- فعالیت ضدقارچی فیلم ها: (الف) هاله ایجاد شده اطراف فیلم ۱۹ و عدم هاله اطراف فیلم بلانک، (ب) هاله ایجاد شده اطراف فیلم ۹ و (ج) هاله ایجاد شده اطراف فیلم های ۱۳، ۱۷ و ۱



شکل ۷- فعالیت ضدباکتری فیلم‌ها: (الف) هاله ایجادشده اطراف فیلم ۹ و عدم ایجاد هاله اطراف فیلم بلانک، (ب) هاله ایجادشده اطراف فیلم ۱۵ و عدم هاله اطراف فیلم ۱۲ و (ج) هاله ایجادشده اطراف فیلم ۱ و عدم ایجاد هاله اطراف فیلم ۱۷

می‌باشد. با اضافه کردن پلیپیروول مقاومت الکتریکی کاهش یافت درنتیجه هدایت الکتریکی فیلم‌ها افزایش یافت. به طور کلی نتایج این پژوهش نشان داد پلیپیروول و اکسید روی دارای پتانسیل بالایی جهت استفاده به عنوان یک آنتیاکسیدان و ماده ضد میکروبی و قارچی در نگهداری مواد غذایی بوده و با افزودن این نانوذرات به فیلم سلولز باکتریایی، می‌توان یک فیلم زیست تخریب پذیر با رهایش کنترل شده به منظور استفاده در بسته بندی غذاهای حساس به اکسیداسیون و میکروبی تولید نمود. همچنین با توجه به خاصیت هادی الکتریسیته بودن پلیپیروول و با در نظر گرفتن این موضوع که هدایت الکتریکی فیلم تحت شرایط اکسیداسیونی مختلف تغییر می‌یابد، می‌توان از این فیلم‌ها در بسته بندی هوشمند محصولات غذایی استفاده کرد.

نتیجه گیری

پلیپیروول نانوساختار (۵۰ تا ۱۵۰ نانومتر) و نانوکامپوزیت پلیپیروول-اکسید روی (۳۰ تا ۱۲۰ نانومتر) روی فیلم سلولز باکتریایی به روش شیمیایی و در دمای محیط سنتز گردید. از طرح مرکب مرکزی برای بررسی اثر غلظت پیروول و غلظت اکسید روی و نیز زمان سنتز نانوکامپوزیت بر ویژگی آنتیاکسیدانی و هدایت الکتریکی فیلم‌های تهیه شده استفاده شد. ویژگی‌های ضد میکروبی، ضد قارچی و مکانیکی فیلم‌های تهیه شده نیز بررسی گردید. سنتز پلیپیروول و نیز افزایش زمان سنتز پلیمر تأثیر مثبت در ایجاد خاصیت ضد میکروبی و ضد قارچی فیلم‌ها داشت و با افزایش غلظت پیروول و نیز زمان سنتز آن خواص ضد میکروبی و ضد قارچی فیلم‌ها افزایش یافت ولی نانوذرات اکسید روی بیشتر روی خاصیت ضد قارچی مؤثر

منابع

- Ali, A., Ambreen, S., Maqbool, Q., Naz, S., Shams, M. F., Ahmad, M., . . . Zia, M. (2016). Zinc impregnated cellulose nanocomposites: Synthesis, characterization and applications. *Journal of Physics and Chemistry of Solids*, 98, 174-182. doi:<https://doi.org/10.1016/j.jpcs.2016.07.007>
- ASTM. (2010). Standard test methods for tensile properties of thin plastic sheeting. D882-10. In: Annual book of ASTM. Philadelphia, PA: American Society for Testingand Materials.
- Ebrahimiasl, S., Zakaria, A., Kassim, A., & Basri, S. N. (2015). Novel conductive polypyrrole/zinc oxide/chitosan bionanocomposite: synthesis, characterization, antioxidant, and antibacterial activities. *International Journal of Nanomedicine*, 10, 217-227. doi:<https://doi.org/10.2147/IJN.S69740>
- Eisa Zadeh, H., & Khademian, M. (2006). Preparation of Polypyrrole and Its Composites in Various Solutions Using Different Additives and Studying the orphology and Conductivity of the Prepared Film. *Iranian Journal of Polymer Science and Technology*, 19(2), 131-136. (in Persian) doi:<https://doi.org/10.22063/jipst.2006.837>
- Emamifar, A., Kadivar, M., Shahedi, M., & Soleimanian-Zad, S. (2011). Effect of nanocomposite packaging containing Ag and ZnO on inactivation of Lactobacillus plantarum in orange juice. *Food Control*, 22(3-4), 408-413. doi:<https://doi.org/10.1016/j.foodcont.2010.09.011>

- Esa, F., Tasirin, S. M., & Rahman, N. A. (2014). Overview of bacterial cellulose production and application. *Agriculture and Agricultural Science Procedia*, 2, 113-119. doi:<https://doi.org/10.1016/j.aaspro.2014.11.017>
- Gajjar, P., Pettee, B., Britt, D. W., Huang, W., Johnson, W. P., & Anderson, A. J. (2009). Antimicrobial activities of commercial nanoparticles against an environmental soil microbe, *Pseudomonas putida* KT2440. *Journal of Biological Engineering*, 3(1), 9. doi:<https://doi.org/10.1186/1754-1611-3-9>
- Ghanbarzadeh, B., Pezeshki Najafabadi, A., & Almasi, H. (2011). Antimicrobial edible films for food packaging. *Food Science and Technology*, 8(32), 123-135. (in Persian)
- Ko, H.-U., Mun, S., Min, S. K., Kim, G.-W., & Kim, J. (2014). Fabrication of Cellulose ZnO Hybrid Nanocomposite and Its Strain Sensing Behavior. *Materials*, 7(10), 7000-7009. doi:<https://doi.org/10.3390/ma7107000>
- Lee, C. H., An, D. S., Lee, S. C., Park, H. J., & Lee, D. S. (2004). A coating for use as an antimicrobial and antioxidative packaging material incorporating nisin and α -tocopherol. *Journal of Food Engineering*, 62(4), 323-329. doi:[https://doi.org/10.1016/S0260-8774\(03\)00246-2](https://doi.org/10.1016/S0260-8774(03)00246-2)
- Nawaz, H. R., Solangi, B. A., Zehra, B., & Nadeem, U. (2011). Preparation of nano zinc oxide and its application in leather as a retanning and antibacterial agent. *Canadian Journal on Scientific and Industrial Research*, 2(4), 164-170.
- Nouri, M. (2009). The Electrical Conductivity of Stretched Polyaniline and Polypyrrole Coated Yarns. *Iranian Journal of Polymer Science and Technology*, 22(5), 373-379. (in Persian) doi:<https://doi.org/10.22063/jipst.2009.708>
- Pang, J., Liu, X., Zhang, X., Wu, Y., & Sun, R. (2013). Fabrication of cellulose film with enhanced mechanical properties in ionic liquid 1-allyl-3-methylimidaxolium chloride (AmimCl). *Materials*, 6(4), 1270-1284. doi:<https://doi.org/10.3390/ma6041270>
- Pirsa, S., Shamsi, T., & Kia, E. M. (2018). Smart films based on bacterial cellulose nanofibers modified by conductive polypyrrole and zinc oxide nanoparticles. *Journal of Applied Polymer Science*, 135(34), 46617. (in Press). doi:<https://doi.org/10.1002/app.46617>
- Ram, M. K., Yavuz, Ö., Lahsangah, V., & Aldissi, M. (2005). CO gas sensing from ultrathin nano-composite conducting polymer film. *Sensors and Actuators B: Chemical*, 106(2), 750-757. doi:<https://doi.org/10.1016/j.snb.2004.09.027>
- Saadatmand, M. M., Yazdanshenas, M. E., Rezaei-Zarchi, S., Yousefi-telori, B., & Negahdary, M. (2012). Investigation of anti-microbial properties of chitosan-Tio2 Nanocomposite and its use on sterile gauze pads. *Medical Laboratory Journal*, 6(1), 59-72. (in Persian)
- Shi, Z., Zhang, Y., Phillips, G. O., & Yang, G. (2014). Utilization of bacterial cellulose in food. *Food Hydrocolloids*, 35, 539-545. doi:<https://doi.org/10.1016/j.foodhyd.2013.07.012>
- Siracusa, V., Rocculi, P., Romani, S., & Dalla Rosa, M. (2008). Biodegradable polymers for food packaging: a review. *Trends in Food Science & Technology*, 19(12), 634-643. doi:<https://doi.org/10.1016/j.tifs.2008.07.003>
- Siripatrawan, U., & Harte, B. R. (2010). Physical properties and antioxidant activity of an active film from chitosan incorporated with green tea extract. *Food Hydrocolloids*, 24(8), 770-775. doi:<https://doi.org/10.1016/j.foodhyd.2010.04.003>
- Vigneshwaran, N., Kumar, S., Kathe, A., Varadarajan, P., & Prasad, V. (2006). Functional finishing of cotton fabrics using zinc oxide-soluble starch nanocomposites. *Nanotechnology*, 17(20), 5087.
- Wang, H., Bian, L., Zhou, P., Tang, J., & Tang, W. (2013). Core-sheath structured bacterial cellulose/polypyrrole nanocomposites with excellent conductivity as supercapacitors. *Journal of Materials Chemistry A*, 1(3), 578-584.
- Zhang, L., Jiang, Y., Ding, Y., Povey, M., & York, D. (2007). Investigation into the antibacterial behaviour of suspensions of ZnO nanoparticles (ZnO nanofluids). *Journal of Nanoparticle Research*, 9(3), 479-489. doi:<https://doi.org/10.1007/s11051-006-9150-1>

Preparing of Bacterial Cellulose/Polypyrrole-Zinc Oxide Nanocomposite Film and Studying its Physicomechanical, Antimicrobial and Antioxidant Properties

Sajad Pirsa^{1*}, Tohid Shamusi², Ehsan Moghaddas Kia³

1- Associate Professor, Department of Food Science and Technology, Faculty of Agriculture, Urmia University, Urmia, Iran

* Corresponding author (Pirsa7@gmail.com & S.pirsa@urmia.ac.ir)

2- MSc. Graduated, Department of Food Science and Technology, Afagh Higher Education Institute, Urmia, Iran

3- Assistant Professor, Department of Food Science and Technology, Maragheh University of Medical Sciences, Maragheh, Iran

Abstract

In this research, polypyrrole (PPy) and polypyrrole-zinc oxide (PPy-ZnO) nanocomposites were synthesized by chemical method on the bacterial cellulose film in the presence of Iron chloride III. The size, shape and morphology of the synthesized particles were studied using scanning electron microscopy. The results showed that the polypyrrole particles (60-150 nm) are spherical in shape, while the nanoparticles of polypyrrole-Zinc oxide are granular in shape and are in the range of 30-120 nm. Mechanical properties including, strain to break and tensile strength and antimicrobial-antifungal properties, as well as antioxidant properties and electrical conductivity of the films were studied. The results showed that the addition of polypyrrole decreased the electrical resistance, resulting in an increase in the electrical current of the film. The addition of nanoparticles reduced the mechanical properties and decreased the tensile strength. The inhibitory power of free radicals of the film increased with the addition of zinc oxide. The synthesis and increase of the polypyrrole synthesis time on a cellulose film had a positive effect on the antimicrobial and antifungal properties of films, but zinc oxide nanoparticles were more effective on antifungal properties.

Keywords: Antimicrobial and Antioxidant Properties, Bacterial Cellulose, Nanostructure, Polypyrrole, Zinc Oxide

ارزیابی ویژگی‌های فیزیکوشیمیایی، بافتی و پختی اسپاگتی غنی‌شده با سبوس جو و صمغ زانتان

راضیه نیازمند^{۱*}، سارا ناجی طبی^۲، آتنا مدیری^۳، مسلم جهانی^۴

۱- دانشیار، گروه شیمی مواد غذایی، مؤسسه پژوهشی علوم و صنایع غذایی، مشهد، ایران

* نویسنده مسئول (r.niazmand@rifst.ac.ir)

۲- استادیار، گروه نانوفناوری مواد غذایی، مؤسسه پژوهشی علوم و صنایع غذایی، مشهد، ایران

۳- دانش آموخته کارشناسی ارشد، واحد قوچان، دانشگاه آزاد اسلامی، قوچان، ایران

۴- استادیار، گروه شیمی مواد غذایی، مؤسسه پژوهشی علوم و صنایع غذایی، مشهد، ایران

تاریخ دریافت: ۱۳۹۷/۰۵/۱۷

تاریخ پذیرش: ۱۳۹۷/۰۸/۰۱

چکیده

واژه‌های کلیدی

اسپاگتی

سبوس جو

فیبر رژیمی

هیدروکلورید

فیبرهای رژیمی اثرات فیزیولوژیکی و متابولیکی مفیدی دارند و غنی‌سازی محصولات پرمصرفی چون اسپاگتی با آنها می‌تواند سطح سلامتی و کاهش خطر ابتلاء به بیماری‌های مختلف در جامعه را افزایش دهد. در این پژوهش اثر سبوس جوی فراوری شده (در سطوح ۴۰، ۵۰ و ۶۰ درصد)، صمغ زانتان (در سطوح ۱ و ۲ درصد) و برهم‌کنش آنها جهت تولید اسپاگتی بر ویژگی‌های فیزیکوشیمیایی (رطوبت، خاکستر و رنگ)، ویژگی‌های پخت (جذب آب، افت پخت و شاخص تورم)، بافت، ریزساختار و خصوصیات حسی مورد بررسی قرار گرفت. جذب آب و افت پخت نمونه‌های اسپاگتی با افزایش سبوس به ترتیب کاهش و افزایش یافت ($P<0.05$). با افزودن فیبر شبکه گلوتنی تضعیف شد و درنتیجه زمان پخت به ۱۰ دقیقه کاهش یافت. استفاده از سبوس جوی فراوری شده با افزایش جزئی زردی، افزایش قابل توجه قرمزی و کاهش روشنایی رنگ اسپاگتی‌های پخته همراه بود. سبوس باعث کاهش سفتی رشته‌های اسپاگتی پخته شد ($P<0.05$) اما افزایش درصد جایگزینی سبوس تأثیر معنی دار بر سفتی بافت نداشت ($P>0.05$). حضور صمغ زانتان در کنار سبوس جو باعث بهبود خصوصیات بافتی آن گردید ($P<0.05$). تصاویر میکروسکوپ الکترونی نشان داد با افزودن زانتان، دیواره‌های بسته‌های هوا متورم شود و در حضور سبوس وجود ساختار زبرتری در اسپاگتی مشهود بود. ارزیابی حسی بیانگر پذیرش کلی کمتر نمونه‌های حاوی فیبر نسبت به نمونه شاهد بود. اگرچه نمونه حاوی ۴۰ درصد سبوس جو و فاقد زانتان دارای بیشترین پذیرش کلی در میان نمونه‌های غنی‌سازی شده با فیبر بود.

مقدمه

معرفی کرده است. این محصول یکی از غذاهای قدیمی بر پایه غلات می‌باشد و بهدلیل ارزان قیمت بودن، سهولت مصرف، تنوع و زمان نگهداری، در سراسر جهان مورد مقبولیت عام قرار می‌گیرد (Bergman, 1994). دانشمندان توصیه نموده‌اند که به منظور پیشگیری از

پاستا جزء اولین محصولات اعلام شده در سال ۱۹۹۱ ازسوی سازمان غذا و داروی ایالت متحده آمریکا برای غنی‌سازی با آهن و ویتامین‌ها بوده و سازمان بهداشت جهانی، پاستا را یک حامل مناسب برای مواد مغذی

اسکلت اصلی پیجیده می‌شوند و آن را مستحکم و سفت می‌کند (Garcia-Ochoa, Santos, Casas, & Gomez, 2000; Phillips & Williams, 2000). صمغ زانتان به طور کامل در آب سرد یا گرم حل می‌شود اما در بسیاری از ترکیبات آلی نامحلول است. یکی از مهم‌ترین ویژگی‌های این صمغ خاصیت روان‌شدن آن در اثر برش است که پس از حذف برش به مقدار گرانروی اولیه می‌رسد. گرانروی پایین آن در درجه برش‌های بالا باعث می‌شود که عمل محلوط‌کردن، ریزش و فروبردن آسان گردد. گرانروی بالای آن در درجه برش پایین موجب خصوصیات سوسپانسیونی مطلوب و پایداری سوسپانسیون می‌شود. خصوصیت ویژه زانتان، حساس‌بودن آن به دماست که به آن اجازه می‌دهد، گرانروی بالای خمیرها را در دمای بالا حفظ کند بنابراین امکان انبساط آنها را قبل از تشکیل ساختارشان را فراهم می‌کند (Kohajdová, Karovičová, & Schmidt, 2009).

امروزه با توجه به میزان کم فیبر در رژیم غذایی روزانه، گسترش مصرف محصولات غذایی غنی‌شده با این ترکیبات ضروری است. فراورده‌های پاستا از محصولات پر مصرف در جهان هستند و همچنین علاوه بر دارابودن خواص تغذیه‌ای مناسب، در تمامی سنین مورد استفاده قرار می‌گیرد. درنتیجه می‌توان در کنار اثرات مفید ماکارونی در تغذیه و تأمین انرژی از خصوصیات ماکارونی‌های غنی‌شده با فیبرهای رژیمی در جهت افزایش سطح سلامتی بدن و نیز کاهش خطر ابتلا به بیماری‌های مختلف استفاده نمود (Mosharraf et al., 2009).

Mazaheri Tehrani, Razavi, Nasehi (۲۰۱۶) ویژگی‌های ماکارونی غنی‌شده با آرد کامل سویا (۰ تا ۲۷ درصد) را موردررسی قرار دادند. نتایج آنها نشان داد که بیشترین جذب آب به نمونه حاوی بیشترین مقدار آرد سویا مربوط بود. همچنین ماکارونی‌های غنی‌شده سختی کمتری در مقایسه با شاهد داشتند در حالی که پس از پخت، با افزایش مقدار آرد سویا در فرمول، سختی افزایش یافت که علت آن به پروتئین سویا نسبت داده شد. Aghakeshipour, Oladghaffari, Peighambardpust, Azadnard-Demirchi (۲۰۱۵) ویژگی‌های ماکارونی حاوی ۵، ۱۰ و ۱۵ درصد پودر بزرگ را مورد مطالعه قرار دادند. نتایج آنها حاکی از کاهش

برخی از بیماری‌ها میزان فیبر رژیمی در مواد غذایی افزایش یابد. فراورده‌های پاستا در کنار سایر محصولات غلات ممکن است سهم مؤثری در تأمین فیبر رژیمی غذاها داشته باشد. مردم کشورهایی که رژیم غذایی غنی از فیبر دارند، از سلامتی نسبی بالاتر و طول عمر بیشتر برخوردار هستند. مصرف این ترکیبات باعث کاهش چربی و قند خون، جلوگیری از سکته قلبی و مغزی، کاهش احتمال ابتلا به سلطان‌های روده و دستگاه گوارش و درمان Mosharraf, Kadivar, & Shahedi, (2009) مطالعه‌های مختلف نشان دادند که فیبرهای چاقی می‌شود (Giacco, Vitale, & Riccardi, 2016).

جو^۱، گیاه یکساله‌ای متعلق به خانواده Triticeae است و به لحاظ تکاملی نزدیک به دو گونه دیگر غلات، گندم و چاودار می‌باشد (Holopainen-Mantila, 2015). جو اگرچه در مقادیر کمتری نسبت به برنج و گندم مصرف می‌شود، اما منبع خوبی از فیبر، ویتامین‌ها، مواد معدنی و ترکیبات زیست‌فعال مانند فنول‌ها، کاروتونوئیدها، ویتامین Keenan et al., (2007) اسید فیتیک، بتا-گلوكان و استرول هاست. ترکیبات زیست‌فعال موجود در دانه کامل آن، مزایای سلامتی‌بخشی مانند خطر کاهش بیماری‌های مزمن نظیر بیماری‌های قلبی-عروقی، دیابت نوع ۲ و El Rabey, Al-Seenii, & Amer, (2013); Pins & Kaur, (2006) سلطان دارد.

صمغ زانتان یک بیopolymer تجاری اصلی است، تولید آن در سال از منابع تجاری مختلف به بیش از ۲۰۰۰۰ تن می‌رسد که پلی‌ساکاریدی آنیونی است و توسط باکتری زانتامonas کمپیستریس^۲ تولید می‌شود. صمغ زانتان پلی‌ساکاریدی با وزن مولکولی بالاست که ساختمان شیمیایی اولیه آن حاصل واحددهای پنتاساکاریدی از ۲ واحد گلوكز، ۲ واحد مانوز و ۱ واحد گلوكورونیک اسید در نسبت مولار ۲/۸: ۰/۲: ۰/۲ است. اسکلت اصلی شامل واحددهای گلوكز است که با پیوندهای گلیکوزیدی ۴- β -D- glucose متصل شده‌اند. زنجیره‌های جانبی در اطراف

¹ Glycemic Index (GI)

² *Hordeum vulgare L.*

³ *Xanthomonas campestris*

مراحل تولید نمونه اسپاگتی

جهت تولید اسپاگتی از دستگاه اکسترودر نیمه‌صنعتی (شرکت ماشین‌سازی سنبلي، ساخت ایران) استفاده شد. ظرفیت کل دستگاه ۴۰ کیلوگرم در ساعت، سرعت چرخش ماردون ۲۵ دور در دقیقه، طول ماردون ۵۷۰ میلی‌متر و قطر ماردون ۷۰ میلی‌متر بود. مواد تشکیل‌دهنده اسپاگتی شامل آرد حاصل از گندم سخت (بسته به میزان جایگزینی ۴۰ تا ۶۰ درصد) و آب عاری از بو و طعم می‌باشد. گلوتن (۲ درصد) برای افزایش کیفیت آرد و زانتان (سطح ۱ و ۲ درصد) سبوس جوی فراوری‌شده (سطح ۴۰، ۵۰ و ۶۰ درصد) جهت افزایش ارزش تغذیه‌ای و کاهش کالری اضافه گردید. در ابتدا سبوس‌ها آسیاب و از الک با مش ۵۰ میکرومتر عبور داده شدند. مواد خشک (آرد، سبوس و گلوتن) در مخزن خمیرگیر کاملاً با یکدیگر مخلوط و سپس با مقدار مشخصی (بسته به میزان سبوس) آب با دمای ۶۰ درجه سانتی‌گراد مخلوط (حدود ۲۰ دقیقه) شدند. رطوبت نهایی خمیر باید در حدود ۳۰ درصد باشد. در مرحله بعدی خمیر به مدت ۱۰ دقیقه ورز داده شد. سپس خلاً حدود ۰/۷ بار در سیستم خمیرگیر اعمال گردید. در مرحله بعد خمیر با ورود به اکسترودر، تحت فشار بالا قرار گرفت. استوانه اکسترودر دارای ژاکت آب خنک بوده و در حین کار دمای خمیر در حدود ۴۰ درجه سانتی‌گراد حفظ شد. هدف از اعمال فشار و خلاً زیاد خروج حباب‌های ریز هوا از داخل شبکه گلوتن و درنتیجه استحکام رشته‌ها و برآشدن آنها و نیز جلوگیری از ریزش و ترک خوردن آنها طی خشک‌شدن می‌باشد. پس از این مرحله خمیر از قالب رشته‌ای‌شکل (قطر ۱/۲ میلی‌متر) خارج شد. قالب استفاده شده در ساخت دستگاه تلفونی و به شکل رشته بلند است.

اسپاگتی‌ها پس از خروج روی میله‌ای قرار گرفتند و طی دو مرحله خشک شدن: در مرحله اول دمای ۴۰ درجه سانتی‌گراد و رطوبت ۷۰ درصد به مدت ۱۲ ساعت و در مرحله دوم در دمای ۵۰ درجه سانتی‌گراد و رطوبت نسبی ۶۰ درصد به مدت ۴ ساعت خشک شدند (BINDER)، ساخت آلمان). در مرحله خشک‌کردن، رطوبت رشته‌ها به ۱۲ درصد کاهش یافت. سپس نمونه‌ها در دمای ۲۵ درجه سانتی‌گراد سرد شدند. درنهایت

معنی‌دار درصد رطوبت، خاکستر و درصد کل مواد جامد در آب پخت محصول همگام با افزودن پودر بزرگ بود درحالی که وزن پخت، عدد اسیدی، عدد پراکسید، محتوای اسید لینولنیک و گاما توکوفرول نمونه‌ها افزایش یافت. Nasehi و Jooyandeh (۲۰۱۱) گزارش کردند که اسیدیتیه و رنگ اسپاگتی‌های غنی‌شده با آرد کامل سویا (۰ تا ۲۷ درصد) طی ۷ ماه نگهداری در دمای محیط به ترتیب افزایش و کاهش یافت. براساس نظر این محققین مدت زمان ماندگاری این نوع ماکارونی کمتر از نمونه شاهد می‌باشد.

فراورده‌های پاستا از محبوبیت زیادی در بین مصرف‌کنندگان برخوردار هستند اما از طرف دیگر بسیاری از مصرف‌کنندگان نگران میزان بالای کالری دریافتی از این فراورده‌ها می‌باشند. به همین‌دلیل امروزه تحقیق‌های زیادی در زمینه تولید فراورده‌های پاستا با کالری کاهش‌یافته و یا حتی کالری صفر انجام شده و حتی برخی از این فراورده‌ها، تجاری نیز شده‌اند. غنی‌سازی فراورده‌های پاستا با منابع فیبری نیاز به فرمولاسیون مناسب دارد، زیرا افزودن فیبر بالا به این محصولات خصوصیات بافتی و ارگانولپتیکی و پخت آن را تحت تأثیر قرار می‌دهد. از این‌رو انتخاب دقیق مقدار و نوع فیبر به منظور توسعه محصولی با طعم قابل قبول و ارزش غذایی بهبود یافته حائز اهمیت است. هدف از این پژوهش تولید اسپاگتی غنی‌شده با سبوس جو به عنوان یک منبع فیبری بود. همچنین از صمغ زانتان نیز با هدف بهبود ویژگی‌های محصول استفاده شد و اثر این دو بر خصوصیات تکنولوژیکی، ساختاری و حسی ماکارونی با خصوصیات طعم و بافت قابل قبول مورد بررسی قرار گرفت.

مواد و روش‌ها

مواد اولیه

آرد سمولینا از شرکت آرد رضا (مشهد) تهیه شد. سبوس جوی فراوری‌شده (به روش غرقابی با هدف کاهش محتوای اسید فیتیک) از شرکت شهد زاگرس جهان (به‌مالت) واقع در چهارمحال و بختیاری خریداری شد. صمغ زانتان از نمایندگی شرکت فوفنگ^۱ چین خریداری شد.

^۱ Fufeng

Fellows, Blazek, & Gilbert, 2012a; Bustos, Pérez, .(& León, 2011a

جذب آب

تغییر وزن نمونه بعد از زمان بهینه پخت به صورت درصد نسبت به وزن اولیه خام از رابطه (۱) گزارش شد (Aravind *et al.*, 2012b)

رابطه (۱)

$$\text{جذب آب} = \frac{W_2 - W_1}{W_1} \times 100$$

در رابطه (۱)، وزن نمونه پس از پخت و W_1 ، وزن نمونه اولیه می‌باشد.

میزان از دستدادن مواد جامد در آب پخت (أفت پخت^۱) ۵ گرم از اسپاگتی با طول ۳/۵ سانتی‌متر در زمان بهینه پخت تهیه شدند. نمونه‌ها با آب مقطر شسته و آب شستشو و آب حاصل از پختن جمع شده و در آون ۱۰.۵ درجه سانتی‌گراد خشک شدند و ماده خشک حاصل به صورت درصد نسبت به وزن اولیه اسپاگتی خام گزارش شد (Aravind *et al.*, 2012b).

تعیین شاخص تورم

شاخص تورم پس از زمان بهینه پخت اسپاگتی عبارت از وزن بخش آبی موجود در اسپاگتی پخته شده است و از طریق خشک کردن اسپاگتی پخته در دمای ثابت ۱۰.۵ درجه سانتی‌گراد اندازه‌گیری شد (Aravind *et al.*, 2012b).

رنگ

ابتدا تصاویر رشته‌های اسپاگتی خشک و پخته (در زمان بهینه) توسط اسکنر (HP، مدل Scanjet-3770، ساخت آمریکا) اسکن شدند. سپس از نرم‌افزار ImageJ (نسخه ۱.۴۸a) برای اندازه‌گیری فاکتورهای رنگ استفاده شد. بدین‌ترتیب که ابتدا قسمت‌های موردنظر توسط نرم‌افزار انتخاب شد. سپس تغییرات رنگ نمونه‌ها در فضای رنگی Lab مورد بررسی قرار گرفت. L^* درخشندگی و روشنایی جزء است که دامنه آن بین صفر تا ۱۰۰ می‌باشد. پارامترهای a^* از سبز به قرمز و b^* از آبی به زرد است که مقدار این دو مؤلفه رنگی از ۱۲۰- تا ۱۲۰ متغیر است. در

نمونه‌ها بسته‌بندی و تا زمان انجام آزمون در جای خشک نگهداری شدند.

مقادیر جایگزینی ۴۰، ۵۰ و ۶۰ درصد برای سبوس جو و غلظت‌های ۱ و ۲ درصد برای صمغ زانتان انتخاب شد. نمونه اسپاگتی تهیه شده با آرد گندم و بدون زانتان به عنوان نمونه شاهد در نظر گرفته شد.

آزمون‌ها

رطوبت

میزان رطوبت نمونه‌های اسپاگتی خشک براساس استاندارد شماره ۹۲۵/۱۰ (AOAC, 2005b) ارزیابی شد. بدین‌منظور نمونه‌ها در آون (Memmert، ساخت آلمان) در دمای ۱۰.۵ درجه سانتی‌گراد تا رسیدن به وزن ثابت خشک شدند. نمونه‌ها پس از خروج از آون در دسیکاتور سرد و میزان رطوبت بر مبنای افت وزن محاسبه و به صورت درصد گزارش گردید (AOAC, 2005b).

حاکستر

مقدار خاکستر براساس استاندارد شماره ۹۲۳/۰۳ (AOAC, 2005a) تعیین شد. جهت اندازه‌گیری میزان خاکستر، ۳ گرم از نمونه اسپاگتی را در کروزهای با وزن مشخص ریخته و روی آتش تا خروج کامل دود قرار گرفت. سپس در کوره (Excition) در دمای ۵۵ درجه سانتی‌گراد تا سفیدشدن کامل نمونه حرارت داده شد. افت وزنی پس از سردشدن نمونه در دسیکاتور محاسبه و میزان خاکستر بر مبنای درصد گزارش گردید (AOAC, 2005a).

تعیین زمان پخت بهینه

جهت تعیین زمان پخت بهینه نمونه‌ها، ۵ گرم از رشته‌های اسپاگتی به طول تقریبی ۳/۵ سانتی‌متر برش داده شدند و در ۲۰۰ میلی‌لیتر آب جوش (۹۹ درجه سانتی‌گراد) قرار گرفتند. زمان بهینه پخت براساس زمان ناپدیدشدن مرکز نشاسته‌ای رشته‌ها مشخص گردید. جهت اطمینان از پخته‌بودن، حداقل سه رشته اسپاگتی برای تأیید پخت کامل با عمل فشردن مورد آزمون قرار گرفتند. پارامترهای افت پخت، جذب آب، شاخص تورم، بافت، رنگ و ارزیابی حسی پس از تهیه در شرایط بهینه پخت موردارزیابی قرار گرفت (Aravind, Sissons,

^۱ Loss factor

آزمون حسی

ارزیابی حسی نمونه‌های اسپاگتی پس از پخت در شرایط بهینه پخت انجام شد. خصوصیات حسی شامل رنگ، عطر و طعم، نشاسته‌ای شدن، الاستیسیته، سفتی، فیبری شدن، قابلیت جویدن، توده‌ای شدن، صمغی شدن، چسبندگی، یکپارچگی و پذیرش کلی با همکاری ۱۵ نفر داور چشایی انجام شد. داوران از بازه سنی ۲۴ تا ۳۰ سال و از دانشجویان تحصیلات تکمیلی رشتۀ علوم و صنایع غذایی انتخاب شدند. آموزش لازم درخصوص فاکتورهای حسی موردنظری به داوران داده شد و نمونه‌ها از سوی داوران موردارزیابی قرار گرفت. به داوران توصیه شد برای رفع اثر هر نمونه بر نمونه دیگر، در میان صرف هر دو نمونه مقداری از نوشیدنی گرمی که در اختیار آنها قرار گرفته بود، بنوشند. به منظور ارزیابی نمونه‌ها از مقیاس هدوانیک ۵ نقطه‌ای استفاده شد (Padalino *et al.*, 2014).

تجزیه و تحلیل آماری

تمام آزمون‌ها در سه تکرار انجام شدند. داده‌ها از طریق طرح فاکتوریل در قالب کاملاً تصادفی و با استفاده از نرم‌افزار مینی‌تب نسخه ۱۶ تجزیه و تحلیل شدند. نتایج توسط تجزیه واریانس دوطرفه (ANOVA)^۵ و اختلاف بین میانگین‌ها به روش آزمون توکی در سطح معنی‌داری ۰/۰۵ موردمقایسه قرار گرفتند. برای رسم منحنی‌ها از نرم‌افزار Microsoft Excel 2013 استفاده شد.

نتایج و بحث

ویژگی‌های فیزیکوشیمیایی مواد اولیه

جدول (۱) ویژگی‌های آرد و سایر مواد اولیه مصرفی در این پژوهش را نشان می‌دهد. همان‌طور که مشاهده می‌شود مقدار رطوبت و کربوهیدرات آرد به‌طور مشخص و قابل توجهی بالاتر از سایر مواد اولیه است در حالی که محتوای پروتئین، چربی، خاکستر و فیبر رژیمی آن نسبت به سایر مواد اولیه مورد استفاده بسیار کمتر است. از دیگر موارد شاخص در جدول (۱)، مقدار پایین فیبر رژیمی در سبوس جوی فراوری شده و مقدار متمازیز و بالای آن در زانتان است که به تفاوت در مقدار کربوهیدرات آنها منتهی شده است.

^۵ Analysis of Variance

مقایسه با مدل‌های رنگ دیگر مانند RGB، در $L^*a^*b^*$ فضای ادراک رنگ یکنواخت است و بنابراین، تفاوت دو رنگ اغلب با تفاوت رنگی درکشده توسط چشم انسان Pedreschi, Leon, Mery, & Moyano, (2006).

ارزیابی بافت

تکرشته اسپاگتی قبل و بعد از پخت (در زمان بهینه) توسط دستگاه بافت‌سنج (TA-XT Plus Texture Analyser، ساخت انگلستان) مورد ارزیابی قرار گرفت. آزمون برش توسط پروب تیغه‌ای شکل (BLADE, HDP/BSW) با سرعت ۱ میلی‌متر بر ثانیه و تغییر شکل ۵۰ درصد انجام گردید. پارامترهای سفتی^۱، قوام^۲ و چسبندگی^۳ در آزمون بافت‌سنجی برای نمونه‌های پخته شده و پارامتر سختی (به روش مشابه سفتی نمونه پخته شده) برای اسپاگتی خام موردارزیابی قرار گرفتند. تمام آزمایش‌ها در دمای اتاق (۲۵ درجه سانتی‌گراد) انجام شد (Irie, Horigane, Naito, Motoi, & Yoshida, 2004).

ریزساختار

تصاویر عرضی نمونه‌های اسپاگتی با استفاده از میکروسکوپ الکترونی روشی^۴ مورد بررسی قرار گرفت. ابتدا رشتۀ اسپاگتی با اندازه ۵ سانتی‌متر تا زمان بهینه پخته شدند. سپس آبکشی شده و بلافلمه در مجاورت نیتروژن مایع منجمد شدند. نمونه‌های منجمد شده با استفاده از خشک‌کن انجام داده شدند و تا زمان تصویربرداری در دسیکاتور نگهداری شدند. جهت تصویربرداری رشتۀ اسپاگتی با اندازه مشخصی برش داده شده و با لایه‌ای از طلا پوشش دهی شدند و با استفاده از دستگاه SEM (Mira3, Tescan) ساخت چک) در ولتاژ ۱۰ کیلوولت با بزرگنمایی ۲۰۰، ۵۰۰ و ۱۰۰۰ موردمطالعه قرار گرفتند (Kim, Kim, Bae, Chang, & Moon, 2017).

¹ Hardness

² Consisten

³ Adhesiveness

⁴ Scanning Electron Microscopy (SEM)

جدول ۱- خصوصیات فیزیکوشیمیابی مواد اولیه مورد استفاده (بر حسب درصد وزن مرطوب)

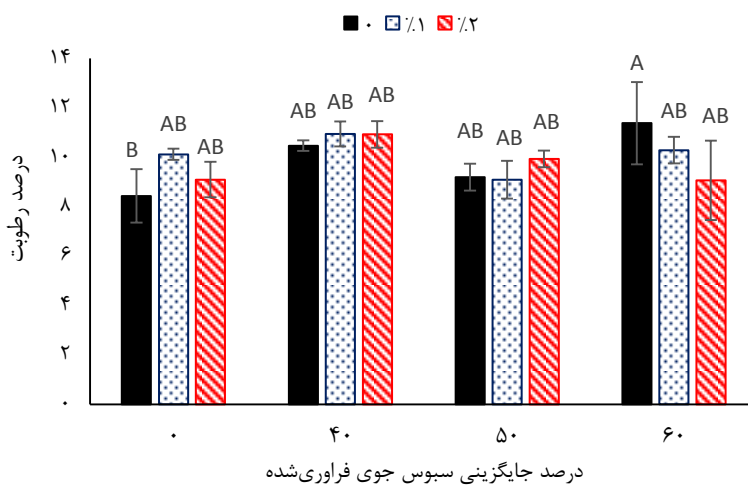
مادة اولية	رطوبت	خاکستر	پروتئین	فیبر رژیمی	چربی	کربوهیدرات
آرد	۱۱/۲۸±۰/۵۳	۰/۵۶±۰/۰۲	۹/۵۰±۱/۱۲	۱/۴۷±۰/۳۴	۰/۲۰±۰/۰۲۱	۷۶/۹۹
سبوس جوی فراوری شده	۷/۲۱±۰/۴۸	۵/۸۴±۰/۱۹	۱۷/۱۵±۱/۱۶	۲۰/۴۰±۱/۶۷	۴/۰۰±۰/۳۱	۴۵/۴۱
زانتان	۴/۴۷±۰/۲۱	۴/۶۹±۰/۰۵	۰/۰۰	۹۰/۰۱±۲/۶۵	۰/۱۰±۰/۰۲	۰/۰۰

* اعداد انحراف معیار

نمونه‌های اسپاگتی می‌توان به این امر مرتبط باشد که رشته‌های اسپاگتی پس از تولید طی زمان مشخصی خشک می‌شوند و طی این مدت رطوبت خود را تا حد زیادی از دست می‌دهند و تقریباً به رطوبت یکسان و تعادلی می‌رسند. به همین دلیل مشاهده شده که تنها در سطح ۶۰ درصد سبوس که میزان فیبر بالاست به دلیل قابلیت بالای فیبر در نگهداری آب، رطوبت اندکی افزایش یافته است. Mohammadzadeh Milani و Ruzbeh Nasiraei نشان دادند که افزایش میزان سبوس گندم تا ۲۰ درصد تأثیر معنی‌دار بر رطوبت پاستای پیکولی نداشت، اما در مقدار سبوس ۳۰ درصد، رطوبت اندکی افزایش یافت که علت آن را ظرفیت بالای تگهداری آب توسط فیبر سبوس گندم اعلام کردند.

رطوبت

شکل (۱) مقدار رطوبت نمونه‌های اسپاگتی حاوی درصدهای مختلف سبوس و زاندان را نشان می‌دهد. نتایج حاکی از این مطلب بود که تنها رطوبت نمونه فاقد سبوس جو و زاندان و نمونه حاوی ۶۰ درصد سبوس جو و فاقد زاندان با یکدیگر اختلاف معنی‌دار داشتند ($P<0/05$) که به ترتیب کمترین (۸/۴ درصد) و بیشترین (۱۱/۴ درصد) مقدار رطوبت را نیز به نمایش گذاشتند. بین رطوبت سایر نمونه‌ها اختلاف معنی‌داری مشاهده نشد ($P>0/05$). افزایش غلظت سبوس جوی فراوری شده و همچنین افزایش مقدار زاندان تغییر معنی‌داری در رطوبت نمونه‌های اسپاگتی به همراه نداشت. عدم تغییر معنی‌دار رطوبت



شکل ۱- اثر مقادیر مختلف جایگزینی سبوس جوی فراوری شده با آرد و صمغ زاندان بر رطوبت نمونه‌های اسپاگتی؛ ■: صفر، □: ۱ و ▨: ۲ درصد زاندان

حروف متفاوت روی ستون‌ها بیانگر وجود اختلاف معنی‌دار براساس آزمون توکی در سطح ۵ درصد می‌باشد ($P<0.05$). میله‌های رسم شده روی نمودارها نشانگر انحراف معیار داده‌هast.

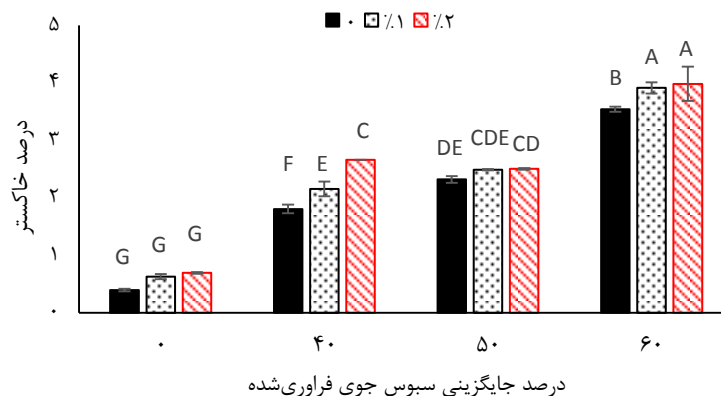
نتایج حاکی از این مطلب بود که به طور کلی حضور سبوس جوی فراوری شده با افزایش قابل توجه و معنی‌دار میزان خاکستر نمونه‌های اسپاگتی نسبت به نمونه‌های فاقد آن همراه بود ($P<0.05$). همچنین حضور زاندان نیز به افزایش مقدار خاکستر نمونه‌های اسپاگتی منجر گردید. این نتایج با توجه به مقدار بالای خاکستر در سبوس جو و

خاکستر

نتایج تجزیه واریانس حاکی از اثر معنی‌دار حضور زاندان و جایگزینی سبوس جوی فراوری شده با آرد بر مقدار خاکستر نمونه‌های اسپاگتی بود ($P<0.05$). شکل (۲) اثر درصدهای مختلف سبوس جوی فراوری شده و صمغ زاندان را بر مقدار خاکستر نمونه‌های اسپاگتی نشان می‌دهد.

نمونه‌ها به صورت معنی‌دار افزایش یافت. بیشترین مقدار خاکستر (۳/۹ درصد) به نمونه حاوی ۶۰ درصد سبوس جو و ۲ درصد زانتان و کمترین آن (۰/۴ درصد) به نمونه فاقد سبوس و زانتان مربوط بود.

زانتان (جدول ۱) قابل انتظار بود. افزایش غلظت زانتان از ۱ به ۲ درصد، فقط در نمونه ۴۰ درصد سبوس جوی فراوری‌شده با تغییر معنی‌دار خاکستر همراه بود ($P<0/05$). در نمونه‌های فاقد زانتان با افزایش مقدار جایگزینی سبوس جوی فراوری‌شده، مقدار خاکستر



شکل ۲- اثر مقادیر مختلف جایگزینی سبوس جوی فراوری‌شده بر خاکستر نمونه‌های اسپاگتی؛ ■: صفر، ▨: ۱ و ▨: ۲ درصد زانتان

حروف متفاوت روی ستون‌ها بیانگر وجود اختلاف معنی‌دار براساس آزمون توکی در سطح ۵ درصد می‌باشد ($P<0/05$). میله‌های رسم شده روی نمودارها نشانگر انحراف معیار داده‌است.

با افزایش مقدار جایگزینی سبوس جوی فراوری‌شده روند نزولی در میزان جذب آب نمونه‌های حاوی و فاقد زانتان مشاهده شد درحالی‌که حضور و افزایش مقدار زانتان در تمام نمونه‌های اسپاگتی (حاوی و فاقد سبوس جوی فراوری‌شده) با تغییر معنی‌دار در میزان جذب آب آنها همراه نبود ($P>0/05$). کمترین مقدار جذب آب در نمونه فاقد سبوس و حاوی ۹۲/۱ درصد زانتان مشاهده شد. در نمونه فاقد سبوس و حاوی ۲ درصد زانتان مشاهده شد. Manthey و de la Peña (۲۰۱۴) اثر نسبت‌های مختلف سمولینا: آب (۱۳:۴۰۰، ۲۷:۴۰۰:۴۸ گرم) و اجزاء غیرستنتی (۲۰ درصد از آردهای ذرت، دانه کتان، عدس، جوی دوسر، سویا و لوبیاچیتی) روی ویژگی‌های پخت اسپاگتی بررسی کردند. طبق نتایج آنها بالاترین مقدار جذب آب به جوی دوسر مربوط بود که بالاترین مقدار فیبر را نیز داشت.

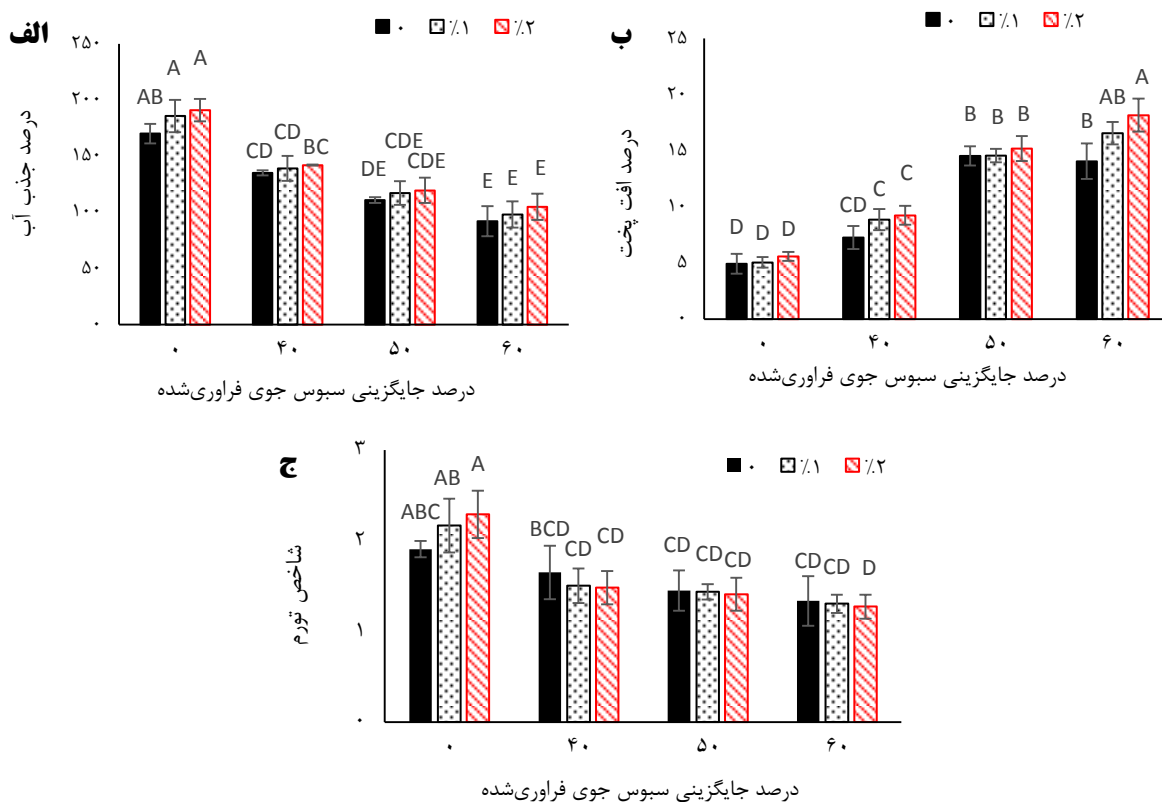
أفت پخت

نتایج تجزیه واریانس نشان داد که جایگزینی سبوس جوی فراوری‌شده با آرد بر درصد افت پخت نمونه‌های اسپاگتی

جذب آب نتایج تجزیه واریانس حاکی از اثر معنی‌دار جایگزینی سبوس جوی فراوری‌شده با آرد و همچنین افزودن زانتان بر درصد جذب آب نمونه‌های اسپاگتی بود ($P<0/05$). اثر مقادیر مختلف سبوس جوی فراوری‌شده و زانتان بر جذب آب نمونه‌های اسپاگتی در شکل (۳-الف) نشان داده شده است. به‌طور کلی نتایج حاکی از کاهش معنی‌دار جذب آب در نمونه‌های حاوی سبوس جوی فراوری‌شده در مقایسه با نمونه‌های فاقد آن بود. Kurek, Wyrwisz و Piwińska (۲۰۱۵) ویژگی‌های فیزیکی و جذب آب پاستای سمولینای گندم دوروم خشک شده تحت خلاً با پودر جوی دوسر با فیبر بالا در مقادیر صفر، ۴، ۸، ۱۶، ۲۰ درصد موربدبررسی قرار دادند. نتایج آنها نشان داد که بالاترین میزان جذب آب در نمونه‌های حاوی ۱۲ درصد مشاهده شد. علت کاهش جذب آب در مقادیر بالاتر (۱۶ و ۲۰ درصد) می‌تواند به ازهم‌گسیختگی ماتریس نشاسته-پروتئین در حضور پودر جوی دوسر مربوط باشد. جذب آب بیشتر به تعداد بیشتر گروههای هیدروکسیل در فیبر نسبت به سمولینا مربوط می‌شود که امکان برهمکنش‌های آب بیشتر را با گروههای هیدروکسیل فراهم می‌کند.

تراوش مواد جامد بیشتر از پاستا به داخل آب پخت منتهی می‌شوند. افت پخت ممکن است به تراوش آمیلوز و حلالیت برخی پروتئین‌های محلول مربوط باشد (Piwińska et al., 2015). به طور کلی نتایج گویای این مطلب بود که جایگزینی سبوس جوی فراوری‌شده با آرد گندم در فرمول همه نمونه‌های اسپاگتی (فاقد و حاوی زانتان) منجر به افزایش معنی‌دار افت پخت نسبت به نمونه شاهد گردید ($P < 0.05$). نتایج Piwińska و همکاران (۲۰۱۵) نیز نشان داد با افزایش مقدار فیر جوی دو سر به بیش از ۱۲ درصد افت پخت افزایش می‌یابد.

اثر معنی‌دار داشت ($P < 0.05$). شکل (۳-ب) اثر متقابل جایگزینی مقادیر مختلف سبوس جوی فراوری‌شده و صفحه زانتان را بر درصد افت پخت نمونه‌های اسپاگتی نشان می‌دهد. به دلیل حضور فiber، از هم‌گسیختگی فیزیکی ماتریس گلوتن ممکن است نفوذ آب به داخل پاستا را تسهیل کند. پروتئین گندم شامل گلیادین و گلوتنین است که پیوندهای داخل و خارج مولکولی دی‌سولفید را طی فرایند تشکیل می‌دهند که به تشکیل شبکه گلوتن منتهی می‌شود. این شبکه مسئول ویژگی‌های بافتی پاستاست. افزودن مواد غیر گلوتنی ممکن است استحکام گلوتن را کمتر و ساختار کلی را تضعیف کنند، درنتیجه به



شکل ۳- اثر مقادیر مختلف جایگزینی سبوس جوی فراوری‌شده با آرد و صفحه زانتان بر ویژگی‌های پختی پخت نمونه‌های اسپاگتی (■: صفر، □: ۱ و ▨: ۲ درصد زانتان)؛ الف: جذب آب، ب: افت پخت، ج: شاخص تورم حروف متفاوت روی ستون‌ها بیانگر وجود اختلاف معنی‌دار براساس آزمون توکی در سطح ۵ درصد می‌باشد ($P < 0.05$). میله‌های رسم شده روی نمودارها نشانگر انحراف معیار داده‌هast.

جوی فراوری‌شده و ۲ درصد زانتان و کمترین آن (۴/۹ درصد) در نمونه فاقد سبوس و فاقد زانتان مشاهده شد. به نقل از Bustos و همکاران (۲۰۱۱b) وقتی غلظت سبوس جوی دوسر پایین است فیرها ممکن است پراکنده شوند و در داخل ماتریس نشاسته مخلوط شوند در حالی که در مقادیر بالا ماتریس می‌تواند توسط ذرات سبوس از

در نمونه فاقد سبوس حضور و افزایش غلظت زانتان با تغییر معنی‌دار در مقدار افت پخت همراه نبود در حالی که در نمونه‌های حاوی ۶۰ درصد سبوس جوی فراوری‌شده افزایش غلظت زانتان از صفر به ۲ درصد مقدار افت پخت را به ترتیب ۱۴/۱ به ۱۸/۲ درصد افزایش داد. بیشترین افت پخت (۱۸/۲ درصد) به نمونه حاوی ۶۰ درصد سبوس

شاهد (۱۰ دقیقه) افزایش یافت. این امر می‌تواند به دلیل کاهش نفوذ آب در ماتریس اسپاگتی در حضور صمغ گوار باشد که به دنبال آن زمانی که نیاز است آب به مرکز اسپاگتی برسد را طی فرایند پخت افزایش می‌دهد. همچنین بررسی روند تغییرات حاکی از این است که در نمونهٔ حاوی ۵۰ درصد سبوس جوی فراوری شده نسبت به نمونهٔ فاقد سبوس زمان پخت از ۱۵ به ۱۰ دقیقه کاهش یافت و در ادامه ثابت مانده است که می‌تواند به علت تضعیف شبکهٔ گلوتنی و درنتیجه تسهیل نفوذ آب به داخل بافت باشد. در تأیید نتایج پژوهش حاضر de la Peña و Manthey (۲۰۱۴) نیز نشان دادند که با افزایش نسبت جوی دوسر در فرمول پاستا زمان پخت کاهش می‌یابد.

جدول ۲- زمان پخت (دقیقه) نمونه‌های اسپاگتی حاوی مقادیر مختلف زانتان و سبوس جو

درصد زانتان			درصد	تیمار
۲	۱	۰	سبوس	
۱۴/۵	۱۵	۱۵	۰	سبوس جوی
۱۲	۱۲	۱۲	۴۰	فراوری شده
۱۰	۱۰	۱۰	۵۰	
۱۰	۱۰	۱۰	۶۰	

این محققین بیان کردند که زمان پخت به مقدار گلوتن وابسته است و با کاهش مقدار گلوتن زمان پخت نیز کاهش می‌یابد. کاهش زمان پخت به افزایش نفوذ آب به دلیل حضور اجزای غیرآردی (گلوتنی) نسبت داده می‌شود. حضور این اجزاء باعث تضعیف و از هم‌گسیختگی ماتریس گلوتن شده و نفوذ آب را تسهیل می‌کند و درنتیجه زمان پخت کاهش می‌یابد. زمان پخت به طور مثبت با محتوای کربوهیدراتی و به طور منفی با محتوای لیپیدی همبستگی دارد (de la Peña & Manthey, 2014).

پارامترهای رنگی

نتایج تجزیه واریانس حاکی از اثر معنی‌دار جایگزینی مقادیر مختلف سبوس جوی فراوری شده با آرد و حضور زانتان بر شاخص‌های رنگی رشته‌های اسپاگتی پخته بود ($P<0/05$). شکل (۴) پارامترهای a^* , b^* و L^* اسپاگتی پخته را نشان می‌دهد. نتایج نشان داد که شاخص b^* در تمام نمونه‌های حاوی سبوس و فاقد زانتان نسبت به انواع فاقد سبوس افزایش معنی‌دار یافت ($P<0/05$). همچنین

هم‌گسیخته شود که تورم و پارگی گرانولهای نشاسته را تسهیل کرده و افت پخت را افزایش می‌دهند. افزودن صمغ گوار به اسپاگتی‌های تهیه شده با ۱۵ درصد آرد نخود، مقدار افت پخت را کاهش داد که علت آن تشکیل شبکه در اطراف گرانولهای نشاسته توسط صمغ گوار است که آنها را طی پخت پوشانده و از تورم مازاد جلوگیری کرده و نفوذ آمیلوز را محدود می‌کند (Padalino et al., 2014).

شاخص تورم

نتایج تجزیه واریانس حاکی از اثر معنی‌دار جایگزینی سبوس جوی فراوری شده با آرد بر شاخص تورم نمونه‌های اسپاگتی بود ($P<0/05$). شکل (۳-ج) شاخص تورم را در نمونه‌های حاوی مقادیر مختلف سبوس جوی فراوری شده و صمغ زانتان نشان می‌دهد. شاخص تورم در نمونه‌های حاوی سبوس جوی فراوری شده کمتر از نمونه‌های فاقد آن بود که این کاهش در نمونهٔ ۵۰ و ۶۰ درصد سبوس جو معنی‌دار بود ($P<0/05$). حضور زانتان در نمونه‌های حاوی سبوس تأثیر معنی‌داری بر شاخص تورم نداشت ($P>0/05$). اما حضور زانتان در نمونه‌های شاهد باعث افزایش میزان تورم شد که این افزایش از لحاظ آماری معنی‌دار نبود ($P>0/05$). گزارش شده است که حضور صمغ گوار به افزایش شاخص تورم اسپاگتی‌های حاوی ۱۵ درصد آرد نخود منتهی شد که علت آن به ظرفیت بیشتر صمغ گوار برای جذب و حفظ آب طی تشکیل شبکه توسعه‌یافته نشاسته-پروتئین-پلی‌ساقارید مربوط است (Padalino et al., 2014).

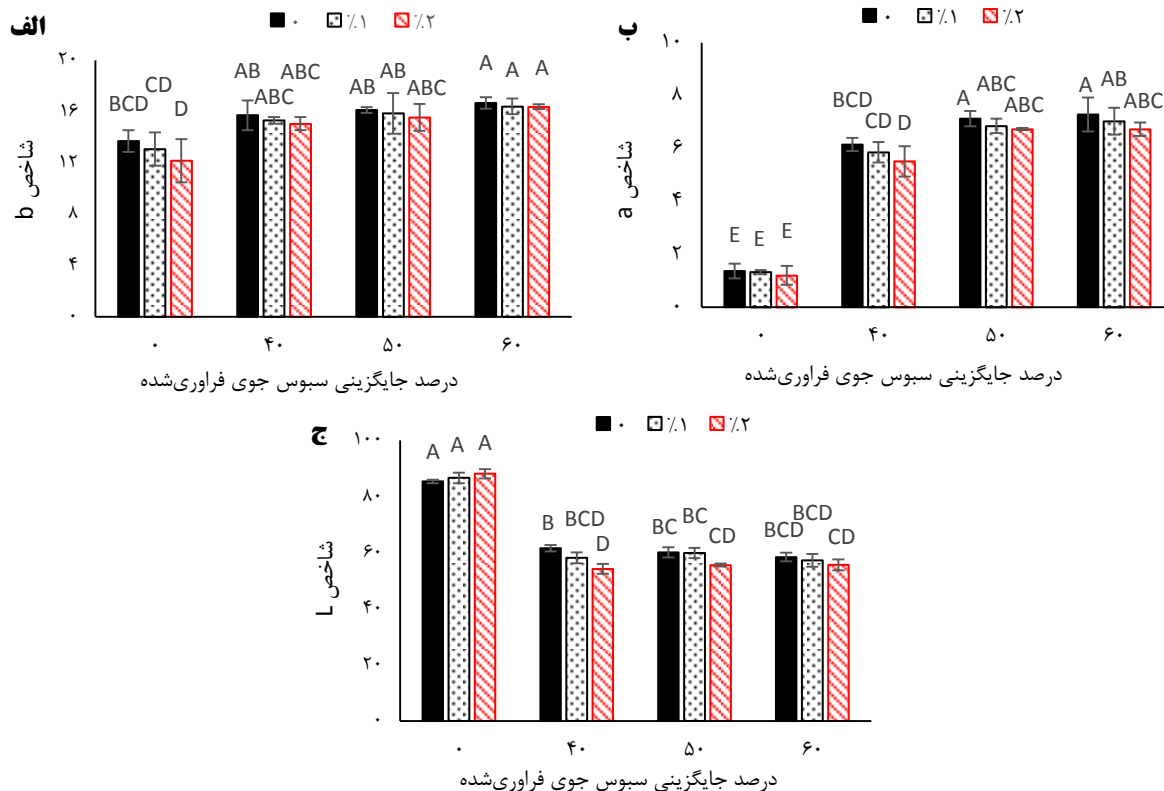
بیشترین شاخص تورم (۲/۳) در نمونهٔ فاقد سبوس و حاوی ۲ درصد زانتان و کمترین آن (۱/۳) در نمونه‌های حاوی ۶۰ درصد سبوس و ۲ درصد زانتان مشاهده شد.

زمان پخت

اثر جایگزینی سبوس جوی فراوری شده با آرد و افزودن زانتان بر زمان پخت نمونه‌های اسپاگتی در جدول (۲) ارائه شده است. بیشترین زمان پخت (۱۵ دقیقه) در نمونه‌های فاقد سبوس جو و زانتان مشاهده شد. نتایج بیانگر عدم تأثیر زانتان بر زمان پخت بود. در مقایسه با نتایج پژوهش حاضر، Padalino و همکاران (۲۰۱۴) نشان دادند که در اسپاگتی‌های تهیه شده با ۱۵ درصد آرد نخود، زمان پخت با افزودن صمغ گوار (۱۲ دقیقه) در مقایسه با

نمونه‌های فاقد سبوس مقدار شاخص^{*} b را کاهش داد که از لحاظ آماری معنی‌دار نبود ($P > 0.05$). بیشترین شاخص^{*} b (۱۶/۷) به نمونه‌های ۶۰ درصد سبوس و فاقد درصد زانتان و کمترین آن (۱۲/۲) به نمونه‌های فاقد سبوس جو و حاوی ۲ درصد زانتان مربوط بود.

افزایش میزان جایگزینی سبوس جوی فراوری‌شده (شکل ۴-الف) به افزایش شاخص^{*} b منجر شد، اگرچه این افزایش معنی‌دار نبود ($P > 0.05$). حضور زانتان در نمونه‌های دارای سبوس تأثیر معنی‌داری نداشت ($P > 0.05$). افزایش غلظت زانتان از ۱ به ۲ درصد در



شکل ۴- اثر مقادیر مختلف جایگزینی سبوس جوی فراوری‌شده با آرد و صمغ زانتان بر پارامترهای رنگی نمونه‌های اسپاگتی پخته؛ ■: صفر، □: ۱ و ▨: ۲ درصد زانتان حروف متفاوت روی ستون‌ها بیانگر وجود اختلاف معنی‌دار براساس آزمون توکی در سطح ۵ درصد می‌باشد ($P < 0.05$). میله‌های رسم شده روی نمودارها نشانگر انحراف معیار داده‌هast.

بیانگر این مطلب بود که افزایش مقدار جایگزینی سبوس جوی فراوری‌شده و همچنین حضور و افزایش غلظت زانتان (شکل ۴-ج) بر شاخص^{*} L* تأثیر معنی‌داری نداشت ($P > 0.05$). اگرچه حضور صمغ زانتان در غلظت ۲ درصد در نمونه ۴۰ درصد سبوس باعث کاهش معنی‌دار شاخص^{*} L* شد ($P < 0.05$). بیشترین شاخص^{*} L* (۸۸/۱) به نمونه فاقد سبوس و حاوی ۲ درصد زانتان و کمترین شاخص^{*} L* (۵۴/۲) به نمونه حاوی ۴۰ درصد سبوس و ۲ درصد زانتان مربوط بود.

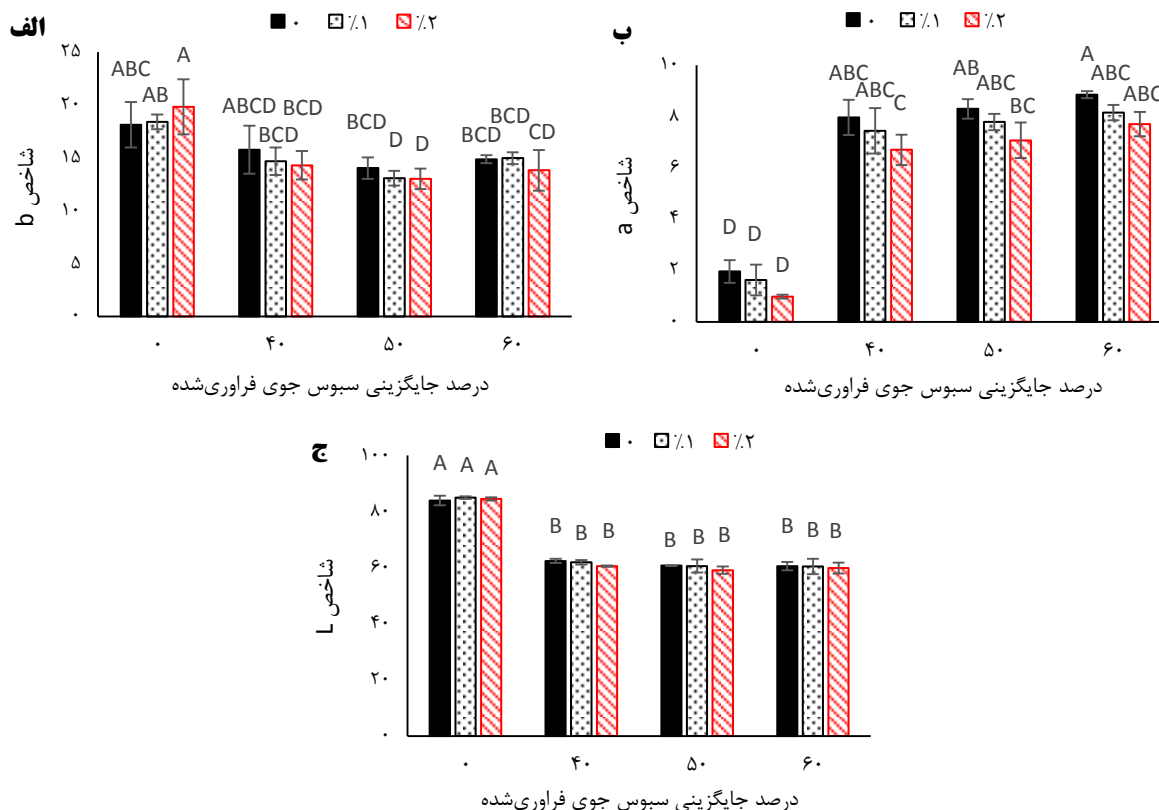
تفییرات رنگی اسپاگتی‌ها علاوه‌بر حضور فیبرهای تیره، می‌تواند به واکنش‌های قهوه‌ای‌شدن میلارد که طی

به‌طورکلی طبق شکل (۴-ب) جایگزینی سبوس جوی فراوری‌شده با آرد در همه نمونه‌ها با افزایش چشمگیر و معنی‌دار شاخص^{*} a* همراه بود ($P < 0.05$)، در حالی که با افزایش میزان جایگزینی سبوس جو از ۵۰ به ۶۰ درصد و همچنین حضور و افزایش غلظت زانتان تغییر معنی‌داری در شاخص^{*} a* مشاهده نشد ($P > 0.05$). کمترین شاخص^{*} a* (۱/۲) به نمونه فاقد سبوس و بیشترین آن (۷/۳) به نمونه حاوی ۶۰ درصد سبوس و فاقد زانتان مربوط بود. به‌طورکلی نتایج نشان داد که جایگزینی سبوس جوی L* فراوری‌شده با آرد به کاهش معنی‌دار شاخص^{*} L* نمونه‌های اسپاگتی پخته همراه بود ($P < 0.05$). نتایج

بر پارامترهای رنگی اسپاگتی خام بود ($P<0.05$). شکل (۵) پارامترهای رنگی نمونه‌های اسپاگتی خام را نشان می‌دهد. به طور کلی نتایج بیانگر کاهش غیرمعنی‌دار شاخص a^* در نمونه‌های حاوی سبوس جوی فراوری‌شده فاقد زانتان بود ($P<0.05$). در صورتی که با افزایش درصد سبوس در نمونه‌های حاوی صمغ، کاهش معنی‌دار در میزان شاخص b^* مشاهده شد ($P<0.05$). حضور زانتان و افزایش غلظت آن با تغییر معنی‌دار در شاخص نمونه‌های فاقد و یا حاوی سبوس (شکل ۵-الف) همراه نبود $(P>0.05)$. کمترین شاخص b^* (۱۳) در نمونه‌های با ۵۰ درصد جایگزینی سبوس جوی فراوری‌شده و حاوی ۱ و ۲ درصد زانتان مشاهده شد.

فرایند اکستروژن رخ می‌دهد نیز مربوط باشد (Gajula, Alavi, Adhikari, & Herald, 2008).

در مطالعه اثر صمغ‌های CMC، زانتان و گوار روی ویژگی‌های نodel‌های برنج تخمیرشده طبیعی خشک شده، Lerdluksamee و Laothongsan Srikaeo (۲۰۱۸) بیان کردند که با افزودن صمغ رنگ نodel‌ها نسبت به نمونه شاهد روش‌تر شد چون شاخص L^* بالاتری را نشان دادند. علاوه بر این حضور صمغ‌ها باعث شد که رنگ نodel به سمت سبزی و زردی شیفت پیدا کند به استثنای نمونه حاوی CMC که زردی کمتری نسبت به شاهد داشت. نتایج تجزیه واریانس گویای اثر معنی‌دار جایگزینی سبوس جوی فراوری‌شده با آرد و همچنین حضور زانتان



شکل ۵- اثر مقادیر مختلف جایگزینی سبوس جوی فراوری‌شده با آرد و صمغ زانتان بر پارامترهای رنگی نمونه‌های اسپاگتی خام: ■: صفر، ▨: ۱ و ▨: ۲ درصد زانتان حروف متفاوت روی ستون‌ها بیانگر وجود اختلاف معنی‌دار براساس آزمون توکی در سطح ۵ درصد می‌باشد ($P<0.05$). میله‌های رسم شده روی نمودارها نشانگر انحراف معیار داده‌هاست.

نمونه‌ها تغییر معنی‌داری در شاخص a^* مشاهده نشد. همچنین افزایش جایگزینی سبوس جوی فراوری‌شده با آرد از ۴۰ به ۶۰ درصد نیز تغییر معنی‌داری را در شاخص a^* ایجاد نکرد ($P>0.05$). بیشترین شاخص a^* به

طبق نتایج شاخص a^* به طور قابل توجه و معنی‌دار در نمونه‌های حاوی سبوس جوی فراوری‌شده در مقایسه با نمونه‌های فاقد سبوس افزایش یافت ($P<0.05$). با حضور و افزایش غلظت زانتان (شکل ۵-ب) در هیچ‌بک از

حاوی سبوس همگام با افزایش مقدار آن شد که با نتایج پژوهش de la Peña و Manthey (2014) هم راستا بود. برخلاف نمونه‌های فاقد سبوس در نمونه‌های حاوی سبوس افزایش مقدار زانتان بر سفتی رشته‌های اسپاگتی تأثیر مثبت افزایشی داشت ($P < 0.05$). نمونه حاوی ۶۰ درصد سبوس جو و ۲ درصد زانتان بیشترین مقدار سفتی (۲۸/۶) و نمونه فاقد زانتان و حاوی ۵۰ درصد سبوس کمترین میزان سفتی (۱۵/۱) را به نمایش گذاشتند. سبوس اندازه ذرات بزرگ‌تری نسبت به سایر ترکیب‌های مانند پروتئین و نشاسته دارد. بنابراین اثر فیبر در ازهم‌گسیختگی ماتریس گلوتون بسیار بیشتر است و منجر به تولید محصولی با قدرت پروتئینی ضعیف می‌شود که ممکن است طی فرایند پخت مقداری از هم‌گسیخته شود (de la Peña & Manthey, 2014) و همکاران (2015) در بررسی ویژگی‌های اسپاگتی بر پایه ذرت غنی‌شده با آرد خلر در حضور صمغ‌های پکتین، گوار و آگار (۲ درصد) توضیح دادند که سختی اسپاگتی‌ها در حضور هیدروکلرلیک افزایش یافت، در حالی که چسبندگی آنها کمتر از نمونه شاهد بود. به نظر می‌رسد وجود ترکیبات زیر سلولزی و لیگنینی در سبوس باعث افزایش سفتی نمونه‌های اسپاگتی شده است و حضور صمغ زانتان با افزایش جذب آب، بافت را منعطف‌تر کرده و سفتی را کاهش می‌دهد اما این اثر معنی‌دار نیست.

نتایج تجزیه واریانس نشان داد که اثر جایگزینی سبوس جوی فراوری‌شده با آرد بر چسبندگی رشته‌های اسپاگتی پخته شده معنی‌دار بود ($P < 0.05$), در حالی که حضور صمغ زانتان در فرمول تأثیر معنی‌داری بر چسبندگی رشته‌های اسپاگتی پخته شده نداشت ($P > 0.05$). در تمام نمونه‌ها جایگزینی سبوس جوی فراوری‌شده تفاوت معنی‌داری در چسبندگی نمونه‌ها ایجاد نکرد ($P > 0.05$). کمترین چسبندگی در نمونه شاهد (۰/۴۶ گرم ثانیه) و بیشترین آن در نمونه حاوی ۶۰ درصد سبوس و فاقد زانتان (۱/۳ گرم ثانیه) مشاهده شد. هیدروکلرلیک‌ها به نشاسته محلول در آب اتصال یافته و درنتیجه باعث بهبود بافت و کاهش چسبندگی می‌شوند. همچنین هیدروکلرلیک‌ها شبکه پایدار تشکیل داده که گرانول‌های نشاسته در این شبکه بداماً افتاده و به رهایش

نمونه حاوی ۶۰ درصد سبوس و فاقد زانتان و کمترین آن (۰/۹۸) به نمونه فاقد سبوس و حاوی ۲ درصد زانتان مربوط بود. Wang و همکاران (2018) فیبر سبوس برنج^۱ را در مقادیر ۵ تا ۲۵ درصد (براساس وزن خشک) با آرد برنج جهت تهیه پاستای برنج مخلوط کردند. نتایج آنها حاکی از تیره، قرمزتر و زردترشدن پاستای برنج بود. همان‌طور که مقدار RBF از ۵ به ۲۵ درصد افزایش یافت، ^{*}L با شبیب تند از ۸۵/۴۵ به ۷۷/۷۴ کاهش یافت درحالی که ^{a*} a و ^{b*} b از ۴/۳۷ و ۷/۹ به ۱۰/۳ و ۲/۵۴ افزایش یافت. همچنین نتایج آنها نشان داد که رنگ پاستای برنج خشک با افزایش RBF تیره‌تر شد.

نتایج نشان داد که شاخص ^{*}L در نمونه‌های حاوی سبوس جوی فراوری‌شده به‌طور معنی‌داری پایین‌تر از نمونه‌های فاقد سبوس بود ($P < 0.05$), در حالی که افزایش میزان جایگزینی سبوس جوی فراوری‌شده و همچنین حضور و افزایش غلظت زانتان (شکل ۵-ج) تغییر معنی‌داری در شاخص ^{*}L نمونه‌های اسپاگتی خام ایجاد نکرد ($P > 0.05$). Piwińska و همکاران (2015) در بررسی ویژگی‌های پاستای سمولینیای گندم دوروم خشک‌شده تحت خلاً با پودر جوی دوسر با فیبر بالا (۴ تا ۲۰ درصد) گزارش کردند که غنی‌سازی پاستا با فیبر جوی دوسر به‌طور معنی‌دار روشی پاستای خشک را کاهش داد. افزایش معنی‌دار در قرمزی و کاهش در زردی در نمونه‌های حاوی بیش از ۴ درصد فیبر جوی دوسر مشاهده شد.

بافت

نتایج تجزیه واریانس نشان داد که اثر حضور صمغ زانتان و جایگزینی سبوس جوی فراوری‌شده با آرد بر سفتی رشته‌های اسپاگتی پخته شده معنی‌دار بود ($P < 0.05$). جدول (۳) اثر جایگزینی با سبوس جوی فراوری‌شده و زانتان را بر ویژگی‌های بافتی رشته‌های اسپاگتی پخته و خام نشان می‌دهد. در نمونه‌های فاقد زانتان جایگزینی سبوس جو به کاهش معنی‌دار سفتی رشته‌های اسپاگتی پخته شده منجر شد ($P < 0.05$), در حالی که حضور ۲ درصد زانتان باعث افزایش معنی‌دار سفتی نمونه‌های

^۱ Rice Bran Fiber (RBF)

افزایش درصد جایگزینی سبوس با افزایش قوام رشته‌های اسپاگتی پخته همراه بود. همچنین نتایج نشان داد که برخلاف نمونه‌های فاقد سبوس، در اسپاگتی‌های حاوی ۶۰ درصد سبوس افزایش مقدار زانتان از ۱ به ۲ درصد با افزایش معنی‌دار قوام همراه بود ($P<0.05$). بیشترین و کمترین قوام رشته‌های اسپاگتی به ترتیب به نمونه‌های حاوی ۶۰ درصد سبوس و ۲ درصد زانتان (۱۲/۱ گرم ثانیه) و حاوی ۴۰ درصد سبوس و فاقد زانتان (۵/۰ گرم ثانیه) مربوط بود.

آهسته آمیلوز طی پخت منجر می‌شود (Padalino *et al.*, 2015).

نتایج تجزیه واریانس نشان داد که اثر حضور صمغ زانتان و جایگزینی سبوس جوی فراوری‌شده با آرد بر قوام رشته‌های اسپاگتی پخته‌شده معنی‌دار بود ($P<0.05$). در نمونه‌های فاقد زانتان، جایگزینی سبوس تا ۴۰ درصد با کاهش معنی‌دار قوام رشته‌های اسپاگتی همراه بود اما در درصدهای بالاتر تغییر معنی‌داری مشاهده نشد ($P>0.05$)، در حالی که در نمونه‌های حاوی ۲ درصد زانتان

جدول ۳- ویژگی‌های بافتی اسپاگتی‌های تهیه‌شده با سبوس جوی فراوری‌شده

درصد سبوس	درصد زانتان	اسپاگتی پخته	چسبندگی (گرم ثانیه)	قوام (گرم ثانیه)	سختی (گرم)	اسپاگتی خام
						سختی (گرم)
						ABC
۳۶۳۴/۲۵±۷۲/۲۰		۷/۸۰±۰/۴۵ ^{BCD}	۰/۴۶±۰/۱۰ ^{AB}	۲۱/۱۱±۰/۰۷ ^{BC}	.	ABCD
۳۲۳۳/۸۶±۲۰/۲/۱		۷/۰۳±۰/۹ ^{BCDE}	۰/۴۹±۰/۰۷ ^{AB}	۲۰/۳۹±۰/۸۲ ^{BCD}	۱	DE
۳۵۲۰/۸۰±۱۳۳/۴۸		۵/۵۳±۰/۳۷ ^{CDE}	۰/۵۰±۰/۲۱ ^{AB}	۱۶/۴۵±۰/۵۵ ^{CDE}	۲	BCDE
۳۵۴۷/۰۲±۱۴۴/۱۲		۵/۰۱±۰/۱۷ ^E	۰/۹۵±۰/۰۴ ^{BC}	۱۵/۵۳±۱/۲۱ ^{DE}	.	BCDE
۳۷۶۳/۶۴±۳۶۵/۸۴		۶/۸۵±۰/۵۵ ^{BCDE}	۰/۹۶±۰/۱۲ ^{BC}	۱۹/۹۷±۰/۱۳ ^{BCDE}	۱	ABC
۴۰۵۳/۴۵±۳۵/۹ ^A		۸/۲۸±۰/۸۲ ^B	۱/۰۰±۰/۳۸ ^{BC}	۲۲/۳۱±۳/۴۴ ^B	۲	
۳۰۸۸/۷۸±۲۰/۹/۰۲ ^E		۶/۰۶±۰/۰۳ ^{BCDE}	۰/۹۰±۰/۱۸ ^{ABC}	۱۵/۱۱±۰/۱۶ ^E	.	
۳۷۹۶/۷۵±۲۰/۷/۷۵ ^{ABC}		۷/۷۲±۲/۶ ^{ABCD}	۰/۸۱±۰/۴۵ ^{ABC}	۲۲/۳۲±۲/۵۲ ^{AB}	۱	۵۰
۳۵۰۹/۶۴±۳۷/۵۶ ^{BCDE}		۱۱/۲۳±۰/۹۹ ^A	۰/۹۱±۰/۴۰ ^{BC}	۲۹/۷۰±۳/۲۵ ^A	۲	
۳۲۰۸/۷۶±۳۸/۷۹ ^{DE}		۵/۰۸±۰/۶۳ ^{DE}	۱/۳۲±۰/۳۶ ^C	۱۶/۶۶±۱/۶۲ ^{CDE}	.	
۳۹۴۳/۱۱±۱۳۷/۴۶ ^{AB}		۸/۱۸±۰/۶۴ ^{BC}	۰/۹۵±۰/۲۷ ^{BC}	۲۳/۰۵±۱/۴۵ ^B	۱	۶۰
۳۴۹۹/۶۸±۱۰/۹/۴۴ ^{BCDE}		۱۲/۱۵±۰/۶۰ ^A	۰/۹۵±۰/۵۱ ^{BC}	۲۸/۵۶±۱/۰۷ ^A	۲	

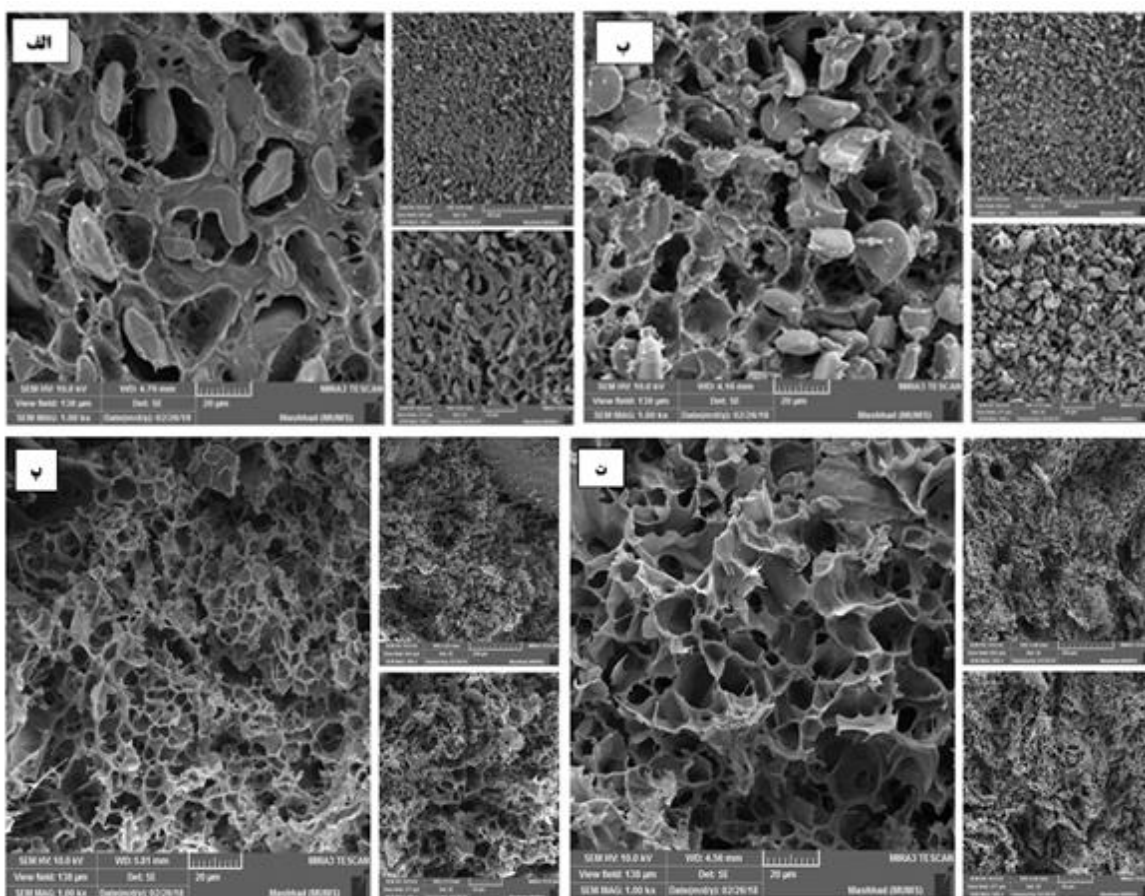
* اعداد انحراف معیار

حروف غیر مشابه در هر ستون بیانگر وجود اختلاف معنی‌دار براساس آزمون توکی می‌باشد ($P<0.05$).

ریزساختار

شکل (۶) تصاویر عرضی نمونه‌های اسپاگتی تهیه‌شده با سبوس جوی فراوری‌شده در مقایسه با آرد گندم را نشان می‌دهد. ماکارونی آرد گندم شبکه بهمپیوسته با بسته‌های نامنظم هوا را نشان می‌دهد (شکل ۶-الف). افزودن زانتان (شکل ۶-ب)، تعداد بسته‌های هوا و فضای خالی را کاهش داده که علت آن را می‌توان به جذب آب زانتان و تورم نشاسته حین پخت نسبت داد که با افزایش حجم و به دنبال آن پرشدن فضاهای خالی همراه است. همچنین مشاهده گرانول‌های دست‌نخورده نشاسته در این نمونه‌ها بیانگر رقابت بین نشاسته و زانتان طی پخت برای جذب آب می‌باشد.

نتایج تجزیه واریانس نشان داد که اثر حضور صمغ زانتان و جایگزینی سبوس جوی فراوری‌شده با آرد بر سختی رشته‌های اسپاگتی خام معنی‌دار بود ($P<0.05$). در نمونه‌های فاقد زانتان، افزایش جایگزینی سبوس جوی فراوری‌شده از ۴۰ به ۵۰ درصد با کاهش سختی رشته‌های اسپاگتی همراه بود در حالی که در ۶۰ درصد جایگزینی، مقدار سختی افزایش یافت اما هیچ‌یک از این تغییرات معنی‌دار نبود ($P>0.05$). در نمونه‌های حاوی ۱ و ۲ درصد زانتان بیشترین سختی به ترتیب به جایگزینی ۵۰ و ۴۰ درصد سبوس جوی فراوری‌شده مربوط بود. نتایج حاکی از این مطلب بود که مقدار ۱ درصد زانتان تأثیر مثبت در استحکام رشته‌های اسپاگتی حاوی سبوس داشت.



شکل ۶- تصاویر عرضی میکروسکوپ الکترونی روبشی نمونه‌های اسپاگتی پخته تا زمان بهینه پخت؛ الف: نمونه حاوی آرد گندم (شاهده)، ب: نمونه حاوی آرد گندم و ۲ درصد زانتان، پ: نمونه حاوی ۵۰ درصد سبوس جوی فراوری شده و فاقد زانتان، ت: نمونه حاوی ۵۰ درصد سبوس جوی فراوری شده و ۲ درصد زانتان (در هر نمونه شکل سمت چپ: بزرگنمایی ۱۰۰۰ میکرومتر، شکل سمت راست بالا: بزرگنمایی ۲۰۰ میکرومتر و شکل سمت راست پایین: بزرگنمایی ۵۰۰ میکرومتر)

ارزیابی حسی

جدول (۴) نتایج ارزیابی حسی نمونه‌های اسپاگتی حاوی مقادیر مختلف سبوس جوی فراوری شده و زانتان را نشان می‌دهد. نتایج ارزیابی حسی نشان داد که با جایگزینی سبوس جوی فراوری شده پذیرش رنگ اسپاگتی کاهش یافت. با افزودن زانتان پذیرش رنگ تقریباً در همه نمونه‌های فاقد و حاوی سبوس کاهش یافت.

در تصاویر مربوط به نمونه‌های حاوی سبوس جو (شکل ۶-پ و ت) شبکه ساختاریافته^۱ و بسته‌های هوا با شکل و اندازه تقریباً یکنواخت شبیه کندوهای عسل مشاهده می‌شود. افزودن زانتان دیواره‌های بسته‌های هوا را متورم تر کرده و به بزرگ‌ترشدن بسته‌های هوا منتهی شد. گرانول‌های نشاسته کمتر و حالت فلس مانند و زبری در این ساختار مشهود بود. Kim و همکاران (۲۰۱۷) نیز مشاهده کردند که افزودن ۲ درصد ضایعات کیمچی (حاوی ۶۲/۶۳ درصد فیبر) به آرد گندم در نودل تازه شبکه پروتئینی را بازیابی کرده و بسته‌های هوا با شکل و اندازه یکنواخت را تشکیل داد. اما با افزایش نسبت آن شبکه پروتئینی ضعیف و بسته‌های بزرگ هوا مشاهده شد.

^۱ Organized network

جدول ۴- ارزیابی حسی انسپاگتی های تهیه شده با سبوس جوی فرآوری نشده

ردیف	نام	مکان	تاریخ	تعداد	حالت	عملیات
۱	پندوش کلی	بیکار چگی	۱۳۰±/۹۰. A	۴/۱۰±/۹۰. A	۴/۱۰±/۹۰. A	۴/۱۰±/۹۰. A
۲	چسبندگی	تویدن	۱۳۰±/۹۰. A	۴/۱۰±/۹۰. A	۴/۱۰±/۹۰. A	۴/۱۰±/۹۰. A
۳	صمعی شدن	قابلیت	۱۳۰±/۹۰. A	۴/۱۰±/۹۰. A	۴/۱۰±/۹۰. A	۴/۱۰±/۹۰. A
۴	نمایشگاهی شدن	فیزیولوژی	۱۳۰±/۹۰. A	۴/۱۰±/۹۰. A	۴/۱۰±/۹۰. A	۴/۱۰±/۹۰. A
۵	عطر و طعم	سفرتی	۱۳۰±/۹۰. A	۴/۱۰±/۹۰. A	۴/۱۰±/۹۰. A	۴/۱۰±/۹۰. A
۶	رنگ	درصد رنگ	۱۳۰±/۹۰. A	۴/۱۰±/۹۰. A	۴/۱۰±/۹۰. A	۴/۱۰±/۹۰. A
۷	سوسن	زان	۱۳۰±/۹۰. A	۴/۱۰±/۹۰. A	۴/۱۰±/۹۰. A	۴/۱۰±/۹۰. A

اعداد تصریف معیار حروف غیر متشابه در هر مستوی پیش از وجود اختلاف معنی دار بر اساس آزمون نوک، می باشد ($P < 0.5$).^{۱۰}

زانتان در این نمونه به کاهش پذیرش کلی منجر شد. در نمونه‌های حاوی مقداری بالاتر سبوس (۵۰ و ۶۰ درصد) پذیرش کلی پایین بود و افزودن زانتان با جلب نظر ارزیابان همراه نبود. نتایج Padalino و همکاران (۲۰۱۵) در بررسی ویژگی‌های اسپاگتی بر پایه ذرت غنی‌شده با ۵، ۱۰، ۱۵، ۲۰، ۲۵ و ۳۰ درصد آرد خلر حاکی از کاهش امتیاز پذیرش کلی همگام با افزایش مقدار آرد خلر بود. در حقیقت امتیاز الاستیسیته و یکنواختی با افزایش آرد خلر کاهش یافت. همچنین افزایش آرد خلر باعث افزایش شدت رنگ شد. این محققین اعلام کردند که اسپاگتی‌های غنی‌شده با ۲۰، ۲۵ و ۳۰ درصد آرد خلر به دلیل الاستیسیته کم، طعم غیرقابل قبول، رنگ قهوه‌ای و بوی ناخوشایند زیر حد پذیرش بودند.

نتیجه‌گیری

در این پژوهش اثر جایگزینی سبوس جوی فراوری شده در مقدادر ۴۰، ۵۰ و ۶۰ درصد و همچنین حضور صمغ زانتان در سه سطح صفر، ۱ و ۲ درصد بر ویژگی‌های اسپاگتی بررسی شد. نتایج نشان داد که میزان خاکستر نمونه‌ها با افزایش مقدار سبوس و صمغ افزایش یافت. جذب آب و افت پخت نمونه‌های اسپاگتی با افزایش سبوس جوی فراوری شده به ترتیب کاهش و افزایش نشان داد در حالی که تغییرات افزودن صمغ زانتان در مقایسه با سبوس جو معنی‌دار نبود. ضعف شبکه گلوتنی در این نمونه‌ها کاهش زمان پخت به ۱۰ دقیقه را نیز به همراه داشت. همچنین جایگزینی سبوس جوی فراوری شده با افزایش جزئی زردی، افزایش قابل توجه قرمزی و کاهش روشنایی رنگ اسپاگتی‌های پخته همراه بود. این روند در نمونه‌های اسپاگتی خام (به استثنای افزایش شاخص^{b)}) نیز مشاهده شد. حضور سبوس جوی فراوری شده با کاهش سفتی رشته‌های اسپاگتی پخته همراه بود اما افزایش درصد جایگزینی سبوس تأثیر معنی‌دار بر بافت نداشت. حضور صمغ زانتان بهبود جزئی سفتی را در رشته‌های اسپاگتی پخته حاوی سبوس جو به همراه داشت. نتایج ارزیابی حسی بیانگر پذیرش کلی کمتر نمونه‌های حاوی سبوس

به‌طورکلی نمونه‌های سبوس دار از پذیرش عطر و طعم کمتری نسبت به شاهد برخوردار بودند. همچنین نتایج ارزیابی حسی گویای عدم تأثیر معنی‌دار زانتان بر پذیرش عطر و طعم نمونه‌ها بود ($P > 0.05$).

حضور زانتان در نمونه شاهد به ایجاد حالت نشاسته‌ای و پذیرش کمتر از سوی ارزیابان منجر شد که البته این کاهش از لحاظ آماری معنی‌دار نبود ($P > 0.05$). به‌طورکلی نمونه‌های سبوس دار از امتیاز نشاسته‌شدن کمتری نسبت به شاهد برخوردار بودند. همچنین نتایج ارزیابی حسی گویای عدم تأثیر معنی‌دار زانتان بر حالت نشاسته‌ای نمونه‌ها بود ($P > 0.05$).

جایگزینی ۵۰ و ۶۰ درصد سبوس جوی فراوری شده در نمونه‌های اسپاگتی فاقد زانتان به‌طور معنی‌دار الاستیسیته و سفتی آنها را تضعیف کرد ($P < 0.05$). الاستیسیته و سفتی نمونه‌های فاقد و حاوی سبوس در حضور زانتان تغییر معنی‌دار نشان نداد ($P > 0.05$).

با جایگزینی سبوس جوی فراوری شده میزان فیبری‌شدن و قابلیت جویدن نمونه‌های اسپاگتی به‌طور معنی‌دار افزایش یافت که با کسب امتیاز کمتر از سوی ارزیابان همراه بود ($P < 0.05$) در حالی که حضور زانتان تأثیر معنی‌داری بر این پارامتر را نداشت ($P > 0.05$).

به‌طورکلی افزودن سبوس باعث کاهش امتیاز توده‌ای‌شدن، صمغی‌شدن، چسبندگی و یکپارچگی شد. مقدار آمیلوز بر چسبندگی تأثیر دارد. با کاهش محتوای آمیلوز اسپاگتی چسبندگی آن افزایش می‌یابد. در نمونه شاهد حضور ۲ درصد زانتان به کاهش معنی‌دار امتیاز این پارامترها منجر شد ($P < 0.05$ در حالی که در نمونه‌های حاوی سبوس، حضور زانتان تأثیر معنی‌داری بر این پارامترها را به همراه نداشت ($P > 0.05$)).

بیشترین پذیرش کلی به نمونه شاهد (بدون سبوس و زانتان) مربوط بود. افزودن زانتان به نمونه فاقد سبوس سبب کاهش امتیاز پذیرش کلی شد که در حضور ۲ درصد زانتان این کاهش معنی‌دار بود ($P < 0.05$). در بین نمونه‌های حاوی سبوس، بهترین پذیرش کلی به نمونه حاوی ۴۰ درصد سبوس و بدون زانتان مربوط بود. افزودن

بدون زانتان بود. به نظر می‌رسد وجود ترکیبات زبر در ترکیبات سبوس جو به کیفیت نامناسب اسپاگتی‌ها بهویژه در درصدهای جایگزینی بیشتر منجر می‌شود. پیشنهاد می‌شود در تحقیق‌های آتی از فیبر جو بهمنظور بهبود کیفیت محصول استفاده شود.

جوی فراوری شده بهدلیل کاهش امتیازهای رنگ، عطر و طعم، الاستیسیته، سفتی، توده‌ای شدن، صمعی شدن، چسبندگی و یکپارچگی بود. براساس نتایج به دست آمده می‌توان گفت که بهترین نمونه از لحاظ کلیه خصوصیات موردنبررسی اسپاگتی با ۴۰ درصد جایگزینی سبوس جو و

منابع

- Aghakeshipour, Z., Azadnard-Demirchi, S., Peighambarpust, S. H., & Oladghaffari, A. (2015). some qualitative properties of functional macaroni with flaxseed powder. *Journal of Food Research (Agricultural Science)*, 24(4), 559-567. (in Persian)
- AOAC. (2005a). Ash of Flour (Direct Method), Method 923.03. In: Official Methods of Analysis, 18th Edition, AOAC International Publisher, Gaithersburg.
- AOAC. (2005b). Solids (Total) and Moisture in Flour, Method 925.10. In: Official Methods of Analysis, 18th Edition, AOAC International, Gaithersburg.
- Aravind, N., Sissons, M. J., Fellows, C. M., Blazek, J., & Gilbert, E. P. (2012a). Effect of inulin soluble dietary fibre addition on technological, sensory, and structural properties of durum wheat spaghetti. *Food Chemistry*, 132(2), 993-1002. doi:<https://doi.org/10.1016/j.foodchem.2011.11.085>
- Aravind, N., Sissons, M., & Fellows, C. M. (2012b). Effect of soluble fibre (guar gum and carboxymethylcellulose) addition on technological, sensory and structural properties of durum wheat spaghetti. *Food Chemistry*, 131(3), 893-900. doi:<https://doi.org/10.1016/j.foodchem.2011.09.073>
- Bergman, C. (1994). Development of a high-temperature-dried soft wheat pasta supplemented with cowpea (*Vigna unguiculata* (L.) Walp). Cooking quality ,color, and sensory evaluation. *Cereal Chemistry*, 71(6), 523-527 .
- Bustos, M., Pérez, G., & León, A. (2011a). Effect of four types of dietary fiber on the technological quality of pasta. *Food Science and Technology International*, 17(3), 213-221. doi:<https://doi.org/10.1177/1082013210382303>
- Bustos, M. C., Perez, G. T., & León, A. E. (2011b). Sensory and nutritional attributes of fibre-enriched pasta. *LWT-Food Science and Technology*, 44(6), 1429-1434. doi:<https://doi.org/10.1016/j.lwt.2011.02.002>
- de la Peña, E., & Manthey, F. A. (2014). Ingredient composition and pasta: water cooking ratio affect cooking properties of nontraditional spaghetti. *International Journal of Food Science & Technology*, 49(10), 2323-2330. doi:<https://doi.org/10.1111/ijfs.12549>
- El Rabey, H. A., Al-Seen, M. N., & Amer, H. M. (2013). Efficiency of barley bran and oat bran in ameliorating blood lipid profile and the adverse histological changes in hypercholesterolemic male rats. *BioMed Research International*, 2013. doi:<http://dx.doi.org/10.1155/2013/263594>
- Gajula, H., Alavi, S., Adhikari, K., & Herald, T. (2008). Precooked bran-enriched wheat flour using extrusion: Dietary fiber profile and sensory characteristics. *Journal of Food Science*, 73(4), S173-S179. doi:<https://doi.org/10.1111/j.1750-3841.2008.00715.x>
- Garcia-Ochoa, F., Santos, V., Casas, J., & Gomez, E. (2000). Xanthan gum: production, recovery, and properties. *Biotechnology Advances*, 18(7), 549-579. doi:[https://doi.org/10.1016/S0734-9750\(00\)00050-1](https://doi.org/10.1016/S0734-9750(00)00050-1)

- Giacco, R., Vitale, M., & Riccardi, G. (2016). *Pasta: Role in Diet*. In: Caballero, B. Finglas, P. and Toldrá, F. (eds.) *The Encyclopedia of Food and Health* (Vol. 4, pp.242-245.): Oxford: Academic Press.
- Holopainen-Mantila, U. (2015). *Composition and structure of barley (*Hordeum vulgare L.*) grain in relation to end uses*. (Doctoral dissertation), Department of Biosciences, Faculty of Biological and Environmental Sciences, Plant Biology, VTT Technical Research Centre of Finland, University of Helsinki, Retrieved from <https://helda.helsinki.fi/bitstream/handle/10138/153489/S78.pdf?sequence=1&isAllowed=y>
- Irie, K., Horigane, A. K., Naito, S., Motoi, H., & Yoshida, M. (2004). Moisture distribution and texture of various types of cooked spaghetti. *Cereal Chemistry*, 81(3), 350-355. doi:<https://doi.org/10.1094/CCHEM.2004.81.3.350>
- Keenan, J. M., Goulson, M., Shamliyan, T., Knutson, N., Kolberg, L., & Curry, L. (2007). The effects of concentrated barley β -glucan on blood lipids in a population of hypercholesterolaemic men and women. *British Journal of Nutrition*, 97(6), 1162-1168. doi:<https://doi.org/10.1017/S0007114507682968>
- Kim, B.-R., Kim, S., Bae, G.-S., Chang, M. B., & Moon, B. (2017). Quality characteristics of common wheat fresh noodle with insoluble dietary fiber from kimchi by-product. *LWT-Food Science and Technology*, 85, 240-245. doi:<https://doi.org/10.1016/j.lwt.2017.07.027>
- Kohajdová, Z., Karovičová, J., & Schmid, Š. (2009). Significance of emulsifiers and hydrocolloids in bakery industry. *Acta Chimica Slovaca*, 2(1), 46-61 .
- Mosharraf, L., Kadivar, M., & Shahedi, M. (2009). Effect of hydrothermaled bran on physicochemical, rheological and microstructural characteristics of Sangak bread. *Journal of Cereal Science*, 49(3), 398-404. doi:<https://doi.org/10.1016/j.jcs.2009.01.006>
- Musavi ,S. Z., Mohammadzadeh Milani, J., & Ruzbeh Nasiriae, L. (2016). Quality features of piccoli pasta, which enriched with wheat bran. *Journal of Food Research (Agricultural Science)*, 26(1), 1-11. (in Persian)
- Nasehi, B., Jooyandeh, H., & Nasehi, R. (2011). Quality attributes of soy-pasta during storage period. *Pakistan Journal of Nutrition*, 10(4), 307-312. doi:<https://doi.org/10.3923/pjn.2011.307.312>
- Nasehi, B., Razavi, S. M. A., Mortazavi, S. A., & Mazaheri Tehrani, M. (2016). Textural characteristics of pasta enriched with full fat soy flour, an optimization study using responses surface methodology. *Iranian Food Science and Technology Research Journal*, 11(6), 719-728. (in Persian)
- Padalino, L., Mastromatteo, M., Lecce, L., Spinelli, S., Conte, A & ,Alessandro Del Nobile, M. (2015). Optimization and characterization of gluten-free spaghetti enriched with chickpea flour. *International Journal of Food Sciences and Nutrition*, 66(2), 148-158. doi:<https://doi.org/10.3109/09637486.2014.959897>
- Padalino, L ,.Mastromatteo, M., Lecce, L., Spinelli, S., Contò, F., & Del Nobile, M. A. (2014). Chemical composition, sensory and cooking quality evaluation of durum wheat spaghetti enriched with pea flour. *International Journal of Food Science & Technology*, 49(6), 1544-1556. doi:<https://doi.org/10.1111/ijfs.12453>
- Pedreschi, F., Leon, J., Mery, D., & Moyano, P. (2006). Development of a computer vision system to measure the color of potato chips. *Food Research International*, 39(10), 1092-1098. doi:<https://doi.org/10.1016/j.foodres.2006.03.009>
- Phillips, G. O., & Williams, P. A. (2000). *Handbook of Hydrocolloids*: CRC Press.
- Pins, J., & Kaur, H. (2006). A review of the effects of barley beta-glucan on cardiovascular and diabetic risk. *Cereal Foods World*, 51(1), 8-11. doi:<https://doi.org/10.1094/CFW-51-0008>
- Piwińska, M., Wyrwisz, J., Kurek, M., & Wierzbicka, A. (2015). Hydration and physical properties of vacuum-dried durum wheat semolina pasta with high-fiber oat powder. *LWT-Food Science and Technology*, 63(1), 647-653. doi:<https://doi.org/10.1016/j.lwt.2015.03.022>

Srikaeo, K., Laothongsan, P., & Lerdluksamee, C. (2018). Effects of gums on physical properties, microstructure and starch digestibility of dried-natural fermented rice noodles. *International Journal of Biological Macromolecules*, 109, 517-523. doi:<https://doi.org/10.1016/j.ijbiomac.2017.12.121>

Wang, L., Duan, W., Zhou, S., Qian, H., Zhang, H., & Qi, X. (2018). Effect of rice bran fibre on the quality of rice pasta. *International Journal of Food Science & Technology*, 53(1), 81-87. doi:<https://doi.org/10.1111/ijfs.13556>

Evaluation of Physicochemical, Textural and Cooking Characteristics of Enriched Spaghetti with Barley Bran and Xanthan Gum

Razieh Niazmand^{1*}, Sara Naji-Tabasi², Atena Modiri³, Moslem Jahani⁴

1- Associate Professor, Department of Food Chemistry, Research Institute of Food Science and Technology, Mashhad, Iran

* Corresponding author (r.niazmand@rifst.ac.ir)

2- Assistant Professor, Department of Food Nanotechnology, Research Institute of Food Science and Technology, Mashhad, Iran

3- Master Degree, Azad University, Quchan Branch, Quchan, Iran

4- Assistant Professor, Department of Food Chemistry, Research Institute of Food Science and Technology, Mashhad, Iran

Abstract

Dietary fibers have beneficial physiological and metabolic effects and the enrichment of high-consumption products such as spaghetti with fibers can increase the health and reduce the risk of various diseases in the community. In this study, the effect of processed barley bran (at 40, 50 and 60% levels replacement), xanthan gum (at 1 and 2% levels) and their interactions on cooking properties (water absorption, cooking loss, optimum cooking time and swelling index), microstructural, texture and sensory of spaghetti were evaluated. With increasing barley bran content, the water absorption and cooking loss of spaghetti samples significantly decreased and increased, respectively ($P<0.05$). The gluten network was weakened by adding fiber by adding fiber, which reduced the cooking time to 10 min. The red value (a index) increased and the brightness (L index) decreased with the increase in the amount of the bran. Increment of barley bran increased the hardness of spaghetti texture noticeably, while the presence of xanthan gum improved the textural properties. The electron microscopy images showed that by adding xanthan, the walls of the air bags become more swollen, and in the presence of the bran caused rough structure. Sensory evaluation results indicated lower total acceptance of bran containing samples. Although the sample containing 40% barley bran and no xanthan gum had the highest overall acceptance among the fiber enriched samples.

Keywords: Barely Bran, Dietary Fiber, Hydrocolloid, Spaghetti

قالب پیش‌نویس مقاله برای مجله پژوهش و نوآوری در علوم و صنایع غذایی با بکارگیری امکانات استایل (سبک) در نرم‌افزار ورد ۲۰۰۷ (سبک عنوان)

نام و نام خانوادگی نگارنده اول^۱، نام و نام خانوادگی نگارنده دوم^{۲*}، نام و ... نگارنده سوم^۳، ... (سبک نویسنده‌گان)

۱- مرتبه علمی نگارنده، رشته تخصصی، نام سازمان، نام شهر، نام کشور (سبک مشخصات نویسنده‌گان)

۲- استادیار، گروه شیمی مواد غذایی، مؤسسه پژوهشی علوم و صنایع غذایی، مشهد، ایران
* نویسنده مسئول (email@address.ac.ir)

تاریخ دریافت:

تاریخ پذیرش:

واژه‌های کلیدی (سبک

عنوان واژه‌های کلیدی)

اختصاری

الفبا

پاراگراف

کلمات (سبک واژه‌های

کلیدی)

چکیده (سبک عنوان چکیده)

چکیده فارسی با قلم ۱۱ B در قالب یک پاراگراف، پس از اسمای نویسنده‌گان) قرار گیرد. چکیده باید در عین مختصر بودن، به روشنی گویای محتوای مقاله بوده و صنعتی بودن طرح در مقاله اشاره شود و با تأکید بر روش‌ها، بیانگر نتایج و اهمیت کاربرد آنها باشد و در آن از کلمات اختصاری مبهم استفاده نشود. از ذکر منابع نیز خودداری گردد. تعداد کلمات چکیده بین ۱۵۰ تا ۲۵۰ کلمه است. واژه‌های کلیدی با قلم ۱۱ B به صورت برجسته و به ترتیب حروف الفبا نگارش شوند. تعداد واژگان کلیدی از ۵ مورد بیشتر نباشد. از آوردن پاورقی در عنوان، چکیده فارسی و انگلیسی اجتناب گردد (سبک چکیده)

برای چاپ به سایر مجلات ارائه نگردیده باشد. در مقالاتی که دارای چند مؤلف هستند ترتیب اسمای و حقوق مؤلفین بر عهده ارسال کننده مقاله (نویسنده مسئول) خواهد بود. مسئولیت هر مقاله از نظر علمی بر عهده نویسنده‌گان) خواهد بود. در صورتی که مقاله برای چاپ پذیرفته نشود، عیناً به نویسنده مسئول مسترد خواهد شد. مقالات توسط هیأت تحریریه و با همکاری هیأت داوران ارزیابی شده و در صورت تصویب طبق ضوابط خاص مجله به نوبت چاپ خواهد رسید. هیأت تحریریه مجله در رد یا قبول و اصلاح مقالات آزاد است.

مقدمه حاوی معرفی بر پژوهش‌های گذشته با استناد به مدارک منتشر شده قبلی و شامل معرفی و توجیه موضوع مورد بررسی باشد و هدف بررسی را بوضوح روشن نماید.

مقدمه (سبک عنوان سطح ۱)

این قالب جهت آماده‌سازی مقاله آماده شده است. کلیه تنظیمات مربوط به صفحه و فواصل از اطراف، در این قالب اعمال شده است. لطفاً یک کپی از این فایل را در قسمتی از رایانه ذخیره نموده و پس از آن با کپی و سپس چسباندن^۱ متن خود در این فایل، سبک^۲ مربوط را انتخاب نمایید. همچنین در هر قسمت از مقاله پس از چسباندن متن می‌توانید از مسیر زیر، به طور مستقیم سبک مربوط را اعمال فرمایید:

Paste option > match with Destination format

مقالاتی برای چاپ پذیرفته خواهد شد که متن کامل آن قبلًا در هیچ مجله یا نشریه‌ای منتشر و یا

¹ Paste

² Style

نویسنده مسترد خواهد شد (برخی از اصول نگارشی در جدول ۱ آورده شده است) (**سبک متن اصلی**).

جدول، شکل و عکس (**سبک عنوان سطح ۲ و ۳**)

عنوان جدول و شکل با قلم B Nazanin10 و بصورت برجسته و متن مربوط به توضیح جدول‌ها و شکل‌ها با قلم B Nazanin10 و بصورت معمولی تایپ شود. عنوان شکل در پایین و با فرمت وسط‌چین (در صورتی که عنوان شکل بیش از یک خط باشد از فرمت راست‌چین استفاده شود) و عنوان جدول در بالا و با فرمت راست‌چین نوشته شده و گویای نتایج مندرج در آن باشد. توضیحات اضافی عنوان و متن جدول بصورت زیرنویس ارائه گردد. جدول‌ها و شکل‌ها در محل مناسب و به ترتیب در داخل متن مقاله گنجانده شود. جدول‌ها بدون خطوط عمودی و با حداقل خطوط افقی باشند. عنوان جدول باید مختصر و گویای ارتباط عوامل مورد بحث جدول باشد. اعداد در جدول‌ها، شکل‌ها و سایر قسمت‌های مقاله باید به فارسی باشند. عکس‌ها باید دارای مقیاس باشند و در صورت اقتباس از منابع دیگر باید منبع مورد استفاده ذکر گردد.

توجه: شکل‌ها باید از کیفیت مناسب برای چاپ برخوردار باشند (حتی الامکان در قالب TIFF) و از الگوهای سیاه و سفید برای ترسیم آنها استفاده شود. ممکن است برای چاپ، شکل‌ها کوچکتر شوند؛ بنابراین نوشته‌ها و اعداد روی شکل‌ها باید مناسب و کاملاً خوانا باشند.

نکته مهم: جهت درج اعداد اعشاری روی محور نمودارها می‌بایست از اعداد فارسی با ممیز (/) استفاده گردد و استفاده از نقطه به عنوان ممیز قابل قبول نخواهد بود. برای این منظور می‌توانید قلم‌های واحد این قابلیت (مجموعه قلم پروین) را دانلود نمایید. نحوه درج ممیز فارسی به جای نقطه در شکل ۱ آورده شده است.

جدول ۲ و شکل‌های ۲ و ۳ به عنوان نمونه پیشنهاد می‌شود.

مواد و روش‌ها شامل شرح کامل مواد یا وسایل بکار گرفته شده و روش آزمایش در بررسی باشد. نتایج و بحث باید شامل تجزیه و تحلیل نتایج به دست آمده در ارتباط با تحقیق مورد نظر باشد. متن مقاله با قلم 12 B Nazanin و عنوان‌ین اول و دوم به ترتیب با قلم 12 B Nazanin و 11 B Nazanin بصورت برجسته تایپ شود. از سیستم شماره‌گذاری برای عنوان استفاده نشود. همچنین شماره زیرنویس‌ها در هر صفحه از یک شروع شده و توسط خود نرم‌افزار ورد شماره‌گذاری شود و از تایپ کردن شماره خودداری نشود. فاصله بین خطوط در متن مقاله Single بدون فاصله قبل و بعد انتخاب گردد. کلمات انگلیسی در متن با قلم 10 Times New Roman تایپ شوند. کلیه معادلات و روابط موجود در متن مقاله در سطر جداگانه و به ترتیب شماره گذاری گردد. واحداً باید در مقیاس متریک (SI) ارائه گردد و تمامی آنها به صورت کلمات فارسی و بعد از اعداد آورده شوند (**مثال: ۲۵ درجه سانتی‌گراد، ۱۰۰ میلی‌گرم در لیتر**). از بکار بردن کلمات خارجی-غیر از اسامی علمی- در متن خودداری و در صورت نبودن معادل فارسی فراگیر، آنها را به فارسی نوشته و اصل کلمه به صورت زیرنویس در همان صفحه ارجاع داده شود. اسامی علمی (جنس و گونه گیاهان، جانوران و میکروارگانیسم‌ها) در تمام مقاله به صورت مایل تایپ شود.

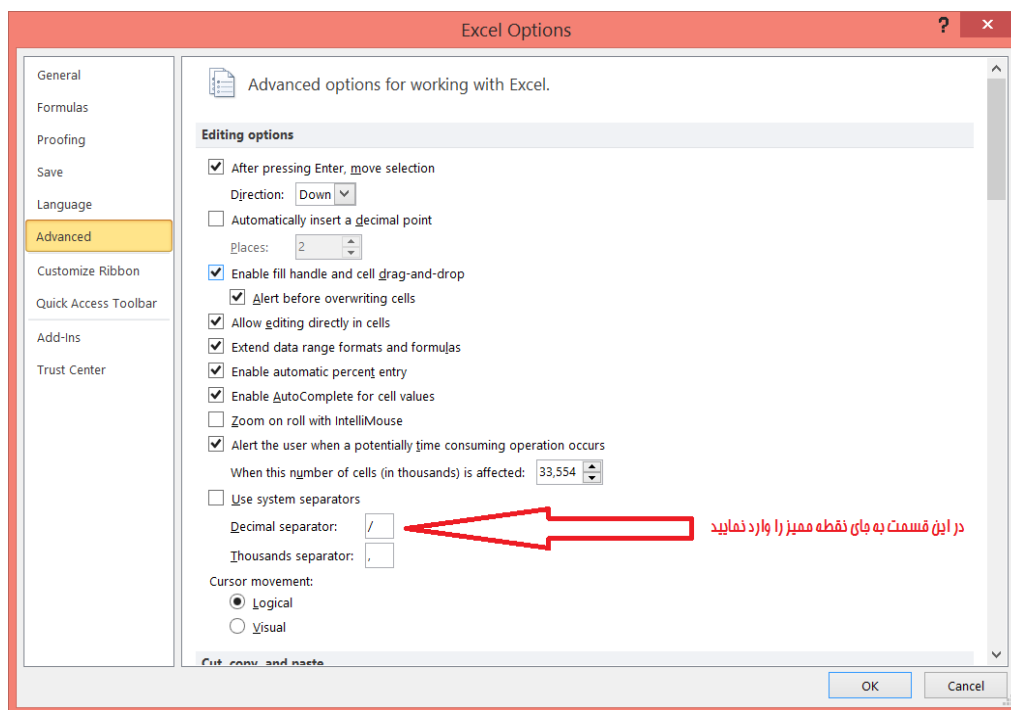
پاراگراف‌های دوم به بعد در هر عنوان با فرورفتگی به اندازه ۵ میلی‌متر از شروع سطر و بدون فاصله پس یا پیش از پاراگراف است. هنگام استفاده از علایمی نظریر ، : ، و غیره، به خاطر داشته باشید که کلیه این علایم بدون فاصله از حرف قبلی و با یک فاصله از حرف بعدی نوشته می‌شوند.

جهت مشخص نمودن احتمال، حرف P به صورت حرف بزرگ انگلیسی و مایل با قلم Times New Roman 10 درج گردد ($P < 0.05$). پرانتزها با قلم فارسی تایپ شوند.

* در صورتی که اصول بدیهی نگارش در مقاله رعایت نگردیده باشد، پیش از ارسال به داوری به

جدول ۱- برخی از اصول نگارش (سبک عنوان جدول) (<http://www.persianacademy.ir/fa/das.aspx>)

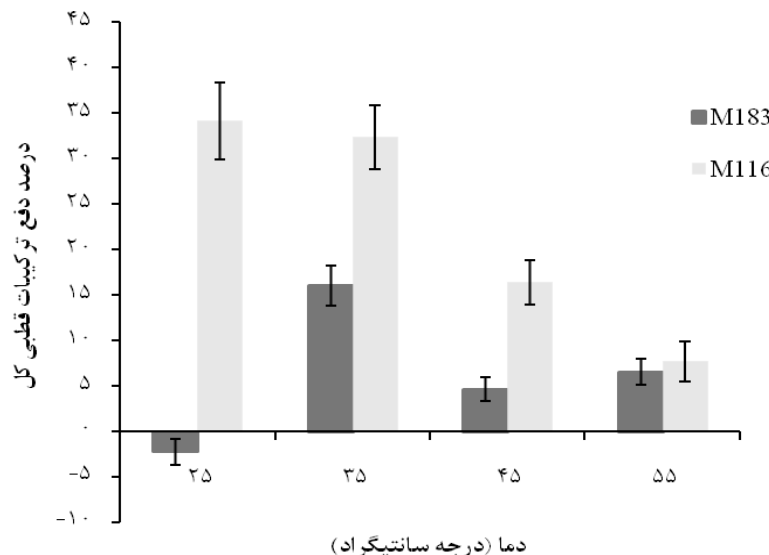
راهنمای صفحه کلید	نکته نگارشی
SHIFT+b	گذاشتن تشدید همیشه ضرورت ندارد مگر در جایی که موجب ابهام شود: معین/معین
=SHIFT+چ	تنوین (اً)
	آن همیشه جدا نوشته می‌شود مگر: آنها، آنجا، آنکه، بدان، آنچه، وانگهی
	این همیشه جدا نوشته می‌شود مگر: اینها، اینجا، اینکه، بدین
	-تر/-ترین به غیر از بیشتر/بیشترین، کمتر/کمترین، بهتر/بهترین، مهتر، مهترین، بقیه جدا نوشته می‌شوند.
	چه جدا از کلمه پیش از خود نوشته می‌شود، مگر در: چرا، چگونه، چقدر، چطور، چسان
	چه جدا از کلمه پس از خود نوشته می‌شود، مگر در: آنچه، چنانچه
SHIFT+i/ش+i	حرکت‌گذاری تنها در حدی لازم است که احتمال بدخوانی و ابهام داده شود: خُرضه/اغرمه؛ حَرف/حِرف
	که همیشه جدا نوشته می‌شود به جز در سه مورد: بلکه، اینکه، آنکه
(Ctrl+-) نیم‌فاصله	می-نمی با رعایت نیم‌فاصله، همواره جدا نوشته می‌شوند.
	ها (نشانه جمع) با رعایت نیم‌فاصله جدا از کلمه پیش از خود نوشته می‌شود (به جز در مورد آنها)
=SHIFT+k	یک در ترکیب، جدا از جزء پس از خود نوشته می‌شود، مگر در موارد: یکتا، یکجا، یکدست، یکدفعه، یکدیگر، یکرنگ، یکرو، یکسان، یکسره، یکسو، یکشنبه، یکتواخت نقطه (:)، دونقطه (:)، ویرگول (،) همواره به کلمه پیش از خود می‌چسبند ولی بعد از آنها درج یک فاصله الزامي است.
=SHIFT+f	تأمین، تأثیر و امثال این کلمات با حمزه ساکن در وسط کلمه (اً) نوشته می‌شوند.
=SHIFT+d	همزة پایانی پس از حرف صدادار بلند «آ» حذف می‌شود، مانند: ابتداء، انتها، املا، انشا، اجرا و ... در حالت نسبت و همراهی با «یا» ی وحدت و نکره و نیز در اضافه، به جای حمزه، «ی» قرار می‌گیرد، مانند: ابتدای، انتهای، املای، انشای، اجرای و ...
=SHIFT+l	اگر کلمه-ی فارسی باشد، هرگز در میان کلمه یا پایان کلمه به صورت «همزة» نیست، بنابراین همواره با حرف «ی» نوشته می‌شود. مانند: آیین نه آئین، پائیز نه پائیز، پائین نه پائین، روییدن نه روئیدن و ... نشانه اضافه پس از کلمه‌های مختوم به های بیان حرکت (-ه) به صورتی یابی نیمه (ء) بالای (ها) نوشته می‌شود، مانند: محمولة غذا
=SHIFT+آ	(پرانتر ابتداء، به کلمه بعد و پرانتر انتها، به کلمه قبل از خود می‌چسبند) و به ترتیب از کلمه قبل و بعد از خود فاصله می‌گیرند.
=SHIFT+آ	به املای برخی از کلمات رایج در مقالات حوزه صنعت غذا نظری فرآوری، فرآیند/فرایند و ... توجه شود.



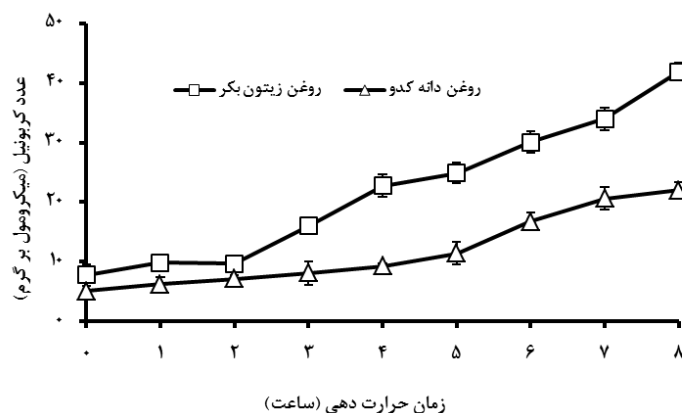
شکل ۱- نحوه درج ممیز فارسی به جای نقطه در نرم افزار اکسل ۲۰۱۰ (سبک عنوان شکل)

جدول ۲- برخی خصوصیات شیمیابی مواد آئی مورد استفاده

فلزات سنگین (میلی گرم بر کیلو گرم) خاکستر (درصد)			pH
	Pd	Cd	
۸۶/۸	۱/۲	۰/۸۸	۷/۴
۹/۴	۹/۴	۶۵۷/۸۳	۷/۰۸



شکل ۱- اثر اندازه حفره های غشا و دما بر درصد دفع ترکیبات قطبی کل تراوه طی اولترافیلتراسیون روغن کانولا با غشا PVDF. تیرک های ترسیم شده نشان دهنده خطای استاندارد میانگین داده های اندازه گیری شده است.



شکل ۲- تغییر عدد کربونیل روغن های زیتون بکر و دانه کدو طی فرایند حرارتی در دمای ۱۸۰ درجه سانتی گراد. تیرک های ترسیم شده روی نقاط، نشان دهنده انحراف استاندارد داده های اندازه گیری شده است.

- در نوشتن فرمول ها رعایت نکات زیر الزامی است:
- ۱- در فرمول نویسی پارامترها و متغیرها به صورت ایتالیک می آیند، ولی اعداد، کلمات، توابع مشخص و واحدها به صورت غیر ایتالیک می آیند.
 - ۲- در صورتی که فرمول طولانی باشد و طول آن از یک سطر تجاوز کند، باید در جای مناسب شکسته شده و ادامه فرمول در سطر بعدی آورده شود و از فشرده کردن آن پرهیز شود.
 - ۳- وقتی ادامه فرمول در سطوحی بعدی آورده می شود، باید از سطر دوم به بعد از سمت چپ فرورفتگی

روابط و فرمول های ریاضی (سبک عنوان سطح ۲ و ۳)

جهت تایپ روابط و فرمول های ریاضی از ابزار معادله^۱ موجود در نرم افزار آفیس با قلم کامبریا مث^۲ استفاده شود و نحوه تایپ از سمت چپ انجام شود و جهت شماره گذاری از شماره فرمول در داخل پرانتز استفاده شود. دقت شود فرمول ها به صورت عکس در متن قرار داده نشود.

¹ Insert -> Symbols -> Equation

² Cambria Math

کاربری و کلمه عبور وارد سایت شده و ارسال مقاله
جدید را انجام می‌دهند.

داشته باشد.

۴- شماره هر فرمول در گوشہ سمت راست فرمول
درج می‌شود.

۵- دقت نشود از نقطه‌مميز یا همان نقطه پایان جمله
($a \cdot b$) به جای نقطه ضرب ($a \cdot b$) استفاده نشود.
رابطه (۱)

$$\Delta E = \sqrt{(L_i - L_0)^2 + (a_i - a_0)^2 + (b_i - b_0)^2}$$

فرم تعهد نویسنده‌گان (سبک عنوان سطح ۱)

نویسنده‌گان محترم می‌باید فرم تعهد که در صفحه نخست پایگاه اینترنتی نشریه (در زیر منوی راهنمای نویسنده‌گان) قرار داده شده است را دریافت نموده و پس از تکمیل و امضاء، تصویر آن را به همراه فایل‌های دیگر در هنگام ارسال مقاله جدید بارگذاری نمایند.

نحوه ارسال مقاله (سبک عنوان سطح ۱)

جهت ارسال مقاله، لازم است ابتدا کاربران در پایگاه اینترنتی نشریه به آدرس <http://journals.rifst.ac.ir> ثبت نام نموده و سپس مقاله خود را به صورت آنلاین ارسال نمایند. بدیهی است کاربرانی که قبلاً ثبت نام کرده اند و نام کاربری و کلمه عبور دریافت کرده اند نیازی به ثبت نام مجدد ندارند و با وارد کردن نام

منابع

منابع مورد استفاده باید شامل جدیدترین اطلاعات در زمینه کار مورد نظر باشند. استناد به منابع در متن مقاله به سبک APA (APA System: Author – Date Scheme) 6th Edition انجام گیرد. کلیه منابع به صورت انگلیسی و در متن عیناً به آن اشاره شود و چنانچه منبعی به صورت **برگردان انگلیسی** ذکر شده است، در انتهای منبع حتماً واژه (in Persian) قید شود. برای کسب اطلاعات بیشتر می‌توانید از راهنمای رفرنس‌دهی نسخه 6th APA استفاده نمایید.

لینک راهنمای: <https://guides.library.uq.edu.au/apa6th-print-version#s-lg-page-section-6553042>

منابع با قلم Time new Roman 10 و فاصله بعد از هر منبع ۸pt Hanging و ۰/۵ لحاظ گردد.

تمام منابع در متن باید به صورت زیر درج شود:

۱- یک نویسنده: نام نویسنده و سال انتشار (Smith, 2003)

۲- دو نویسنده: نام هر دو نویسنده و سال انتشار (Smith & Jones, 2004)

۳- بیش از دو نویسنده:

برای اولین بار: (Hoges, Jensen, Olsen, & Forgan, 2013)

در ارجاعات بعدی: (Hoges et al., 2013)

مثال: منابع ممکن است به صورت مستقیم و یا اینکه داخل پرانتز قرار گیرند. منابع باید به ترتیب حروف الفبا و سال انتشار درج گردند.

برای اولین بار: (Allan, 1996a,b, 1999; Allan & Jones, 1995; Hoges, Jensen, Olsen, & Forgan, 2013)
در ارجاعات بعدی:

(Allan, 1996a,b, 1999; Allan & Jones, 1995; Hoges et al., 2013)

و همکاران (۲۰۱۳) Smith و Kramer (۲۰۰۰)

مثال

استانداردها

Takemori, T., Tsurumi, T., Takagi, M., & Ito, M. (1993). U.S. Patent No. 5,232,734. Washington, DC: U.S. Patent and Trademark Office.

Institute of Standards and Industrial Research of Iran. (2008). *Microbiology of food and animal feeding stuffs - Horizontal method for the enumeration of yeasts and moulds -Part 1: Colony count technique in products with water activity greater than 0.95.* (ISIRI Standard No. 10899.1). Retrieved from <http://standard.isiri.gov.ir/StandardView.aspx?Id=12277> (in Persian)

پایان نامه ها

Pourashouri, p. (2012). *Evaluation of the physicochemical and oxidative stability of microcapsules containing oil fish and omega-3.* (Unpublished doctoral dissertation), Sari University of Agricultural Sciences and Natural Resources (in Persian)

Alinasabhematabadi, L. (2015). *Protein oxidation in Atlantic mackerel (*Scomber scombrus*) during chilled and frozen storage.* (maste's thesis), NTNU, Retrieved from https://ntnuopen.ntnu.no/ntnu-xmlui/bitstream/handle/11250/2351628/8731_FULLTEXT.pdf?sequence=1&isAllowed=y

Holopainen-Mantila, U. (2015). *Composition and structure of barley (*Hordeum vulgare L.*) grain in relation to end uses.* (Doctoral dissertation), Department of Biosciences, Faculty of Biological and Environmental Sciences, Plant Biology, VTT Technical Research Centre of Finland, University of Helsinki, Retrieved from <https://helda.helsinki.fi/bitstream/handle/10138/153489/S78.pdf?sequence=1&isAllowed=y>

مجله علمی

Eisa zadeh, H., & Khademian, M. (2006). Preparation of Polypyrrole and Its Composites in Various Solutions Using Different Additives and Studying the morphology and Conductivity of the Prepared Film. *Iranian Journal of Polymer Science and Technology*, 19(2), 131-136. (in Persian) doi:<https://doi.org/10.22063/JIPST.2006.837>

Osman, M. (2010). Controlling uncertainty: A review of human behavior in complex dynamic environments. *Psychological Bulletin*, 136(1), 65-86. doi: <http://dx.doi.org/10.1037/a0017815>

Wolchik, S. A., West, S. G., Sandler, I. N., Tein, J., Coatsworth, D., Lengua, L., . . . Griffin, W. A. (2000). An experimental evaluation of theory-based mother and mother-child programs for children of divorce. *Journal of Consulting and Clinical Psychology*, 68, 843-856. doi: <http://dx.doi.org/10.1037/0022-006X.68.5.843>

کتاب

Glaszius, P., Irwig, L., Bain, C., & Colditz, G. (2001). *Systematic reviews in health care: A practical guide.* Cambridge, UK: Cambridge University Press.

Fatemi, H. (2016). *Food Chemistry*: Enteshar Publication Company. (in Persian)

Doust, J. (2010). Evidence about diagnosis. In T. Hoffman, S. Bennett, & C. Del Mar (Eds.), *Evidence-based practice: Across the health professions* (pp. 128-144). Chatswoord, NSW: Elsevier Australia

همایش ها و کنفرانس ها

Sanaeifar, A., Mohtasebi, S. S., Ghasemi-Varnamkhasti, M., & Siadat, M. (2014, Nov). *Application of an electronic nose system coupled with artificial neural network for classification of banana samples during shelf-life process.* Paper presented at the 2014 International Conference on Control, Decision and Information Technologies (CoDIT).

Ghorbani Hassan Sariei, A., Shahidi, F., Bahadorghousi, H., & Motamedzadegan, A. (2012, October). *Potentials of different omega-3 fatty acids in food enrichments.* Paper presented at the 2nd Food Security Conference, Islamic Azad University, Savadkuh Branch. (in Persian) https://www.civilica.com/Paper-FSS02-FSS02_320.html

A template for preparing papers in journal of research and innovation in food science and technology using styles in Microsoft word **2007(style: English title)**

First and Family name of Author¹, First and Family name of Author^{2*},
(Style: Authors)

1- Professor, Name of the Department, University Name, Mashhad, Iran

2- Assistant Professor, Name of the Department, University Name, Mashhad, Iran (Style:
Authors' Affiliation)

*Corresponding author (email@address.ac.ir)

Abstract (Style: Abstract Title)

The submitted articles are required to be written in English including an abstract which must comply with the following rules: 1) the title must be written at the top of the page, in the center, using Times New Roman BOLD, 14 pt. 2) The main words (not the prepositions) in the title must be capitalized. 3) The authors' names must be written, under the title, using Times New Roman BOLD, 12 pt. The names are followed by the authors' titles and their universities' titles using Times New Roman 11pt. 4) The keywords must be written, following the abstract text, using Times New Roman BOLD, 11 pt. (Style: Abstract)

Keywords (Style: Keywords Title): Authors' names, Main words, Title

چکیده و واژه های انگلیسی

چکیده انگلیسی در انتهای مقاله (بعد از فهرست منابع) قرار گیرد. عنوان انگلیسی با قلم 14 Times New Roman و به صورت برجسته در وسط سطر آورده شود. ابتدای واژه های اصلی عنوان انگلیسی مقاله با حروف بزرگ نوشته شود. اسمی نویسنده(گان) با قلم 12 Times New Roman و به صورت برجسته در وسط سطر و پس از آن درجه علمی و محل خدمت با قلم 11 Times New Roman و به صورت معمولی تایپ شود. چکیده انگلیسی باید ترجمه کامل چکیده فارسی باشد و تعداد کلمات چکیده بین ۱۵۰ تا ۲۵۰ کلمه است. چکیده انگلیسی با قلم 11 Times New Roman معمولی پس از اسمی نویسنده(گان) قرار گیرد. واژگان کلیدی انگلیسی (keywords) با قلم 11 Times New Roman به صورت برجسته پس از چکیده انگلیسی آورده شوند. تعداد واژگان کلیدی انگلیسی برابر فارسی آن باشد.

به نام خدا

فرم اشتراک نشریه پژوهش و نوآوری در علوم و صنایع غذایی

خواهشمند است فرم زیر را تکمیل نموده و به آدرس زیر ارسال فرمایید:

مشهد، کیلومتر ۱۲ بزرگراه مشهد – قوچان، مؤسسه پژوهشی علوم و صنایع غذایی

صندوق پستی: ۹۱۸۹۵/۱۵۷-۷۶۹۳۳ نشریه پژوهش و نوآوری در علوم و صنایع غذایی

نام و نام خانوادگی:

نشانی:

تلفن:

مايل به اشتراک مجله از تاريخ / / می باشم.

بهای اشتراک سالیانه ۱۰۰۰۰۰ ریال

(بهای اشتراک سالیانه برای دانشجویان شامل ۵۰ درصد تخفیف، معادل ۵۰۰۰۰ ریال می باشد.)

حق اشتراک بايستی به حساب درآمدهای اختصاصی پژوهشکده علوم و صنایع غذایی با مشخصات مشروحه

ذیل بابت حق اشتراک نشریه پژوهش و نوآوری در علوم و صنایع غذایی واریز و فیش آن همراه با فرم و کیپی کارت

دانشجویی (درصورت استفاده از تخفیف دانشجویی) ارسال گردد.

شماره حساب تمرکزی: ۴۰۰-۱۰۲-۵۴۰-۳۰۱-۹۸۲۹

شناسه واریز (حتماً قید شود): ۲۰۳-۰۰۰-۰۰۰-۰۰۰-۳۵۵۷-۶۰۱۱-۰۲۵۴-۰۳۸-

شبا حساب: IR۴۱-۰۱۰۰-۰۰۴۰-۰۱۰۲-۵۴۰۳-۰۱۹۸-۲۹

امضاء:

تاریخ:

هیأت داوران مقالات این شماره:

گروه علوم و صنایع غذایی، دانشگاه آزاد اسلامی - واحد قوچان
گروه بهداشت، دانشکده بهداشت، دانشگاه علوم پزشکی و خدمات بهداشتی درمانی بیرجند
گروه علوم و صنایع غذایی، دانشکده کشاورزی، دانشگاه فردوسی مشهد
گروه مهندسی علوم و صنایع غذایی، دانشگاه آزاد اسلامی - واحد دامغان
گروه پژوهشی فرآوری مواد غذایی، پژوهشکده علوم و فناوری مواد غذایی، جهاد دانشگاهی
مشهد

گروه شیمی مواد غذایی، مؤسسه پژوهشی علوم و صنایع غذایی
گروه شیمی مواد غذایی، مؤسسه پژوهشی علوم و صنایع غذایی
گروه شیمی مواد غذایی، مؤسسه پژوهشی علوم و صنایع غذایی
دانشکده صنایع غذایی، دانشگاه علوم کشاورزی و منابع طبیعی گرگان
گروه نانوفناوری مواد غذایی، مؤسسه پژوهشی علوم و صنایع غذایی
گروه علوم و صنایع غذایی، دانشکده کشاورزی، دانشگاه صنعتی اصفهان
گروه علوم و صنایع غذایی، دانشکده کشاورزی، دانشگاه فردوسی مشهد
گروه نانوفناوری مواد غذایی، مؤسسه پژوهشی علوم و صنایع غذایی
بخش تحقیقات فنی و مهندسی کشاورزی، مرکز تحقیقات و آموزش کشاورزی و منابع
طبیعی استان خراسان رضوی

گروه صنایع غذایی، دانشگاه علوم کشاورزی و منابع طبیعی ساری
گروه علوم و صنایع غذایی، دانشکده کشاورزی، دانشگاه فردوسی مشهد
گروه پژوهشی فرآوری مواد غذایی، پژوهشکده علوم و فناوری مواد غذایی، جهاد دانشگاهی
مشهد

گروه نانوفناوری مواد غذایی، مؤسسه پژوهشی علوم و صنایع غذایی
گروه علوم و صنایع غذایی، دانشگاه کشاورزی و منابع طبیعی رامین خوزستان
گروه علوم و صنایع غذایی، دانشگاه جهرم

دکتر اکرم آریان فر
دکتر الهام انصاری فر
دکتر سیدامیر اولیائی
دکتر هما بقایی
دکتر شهرام بیرقی طوسی

دکتر عادل بیگ بابایی
دکتر مسلم جهانی
دکتر مصطفی شهیدی نوقابی
دکتر هدی شهیری
دکتر بهاره عمادزاده
دکتر میلاد فتحی
مهندس سمیرا فیضی
دکتر بهروز قرآنی
دکتر مهدی قیافه‌داودی

دکتر جعفر محمدزاده میلانی
دکتر سیدمحمد موسوی
دکتر الناز میلانی

دکتر سارا ناجی طبسی
دکتر بهزاد ناصحی
دکتر عبدالله همتیان سورکی

Contents

The Effect of Xanthan, Guar and Transglutaminase on the Physicochemical and Textural Properties of Gluten-free Doughnut	1
Arezo Fazeli, Mostafa Mazaheri Tehrani, Mahdi Karimi, Alireza Sadeghian, Arash Koochaki	
The Effect of Chestnut (<i>Quercus Brantii</i>) Flour Substitution on the Physicochemical and Sensory Properties of Burgers	15
Vahideh Salarkarimi, Mohammad Javad Varidi, Mehdi Varidi	
The Production and Evaluation of Nanoliposomes Containing Bioactive Peptides Derived from Fish Wastes Using the Alkalase Enzyme	31
Shirin Hasani, Mostafa Shahidi Noghabi, Seyed Mehdi Ojagh	
The Optimization of Hydrolyzed Protein Production with High Anti-Oxidation Ability from Sesame Meal by Response Surface Methodology	45
Azra Mousavi Nasab, Alireza Sadeghi Mahoonak, Mohammad Ghorbani, Mehran Alami, Nasim Meshginfar	
Integrated Encapsulation of Fish Oil and Vitamin E with Complex Coaservation Technique and its Efficiency Optimization by Response Surface Method (RSM)	53
Fatemeh Mirzaei, Seyed Ali Jafarpour	
Studying Transmembrane Pressure, pH and Anionic Surfactant (SDS) Concentration Effects on MEUF Process Performance in Dairy Waste Water Treatment Using Response Surface Methodology Design	67
Ali Arasteh Nodeh, Susan Khosroyar, Vahid Hakimzadeh	
Preparing of Bacterial Cellulose/Polypyrrole-Zinc Oxide Nanocomposite Film and Studying its Physicomechanical, Antimicrobial and Antioxidant Properties	79
Sajad Pirsa, Tohid Shamusi, Ehsan Moghaddas Kia	
Evaluation of Physicochemical, Textural and Cooking Characteristics of Enriched Spaghetti with Barley Bran and Xanthan Gum	91
Razieh Niazmand, Sara Naji-Tabasi, Atena Modiri, Moslem Jahani	

Journal of Research and Innovation in Food Science and Technology

License No. 92.20519

Vol. 8, No. 1, 2019

Published by: Research Institute of Food Science and Technology

Executive Manager: R. Kadkhodaei Associate Professor, Department of Food Nanotechnology,
Research Institute of Food Science and Technology

Editor-in-Chief: S.A. Mortazavi Professor, Department of Food Science and Technology,
College of Agriculture, Ferdowsi University of Mashhad

Executive Director: S. Naji-tabasi Assistant Professor, Department of Food Nanotechnology,
Research Institute of Food Science and Technology

Administrative Coordinator: T. Shojaee-devin

Editorial Board:

S.A. Mortazavi Professor, Department of Food Science and Technology, College of
Agriculture, Ferdowsi University of Mashhad

F. Shahidi Professor, Department of Food Science and Technology, College of
Agriculture, Ferdowsi University of Mashhad

Gh. Rajabzadeh Associate Professor, Department of Food Nanotechnology, Research Institute
of Food Science and Technology

M.N. Eshtiaghi Professor, Department of Chemical Engineering, Faculty of Engineering,
Mahidol University of Thailand

I. Alemzadeh Professor, Department of Food Chemical Engineering, Faculty of Chemical
and Petroleum Engineering, Sharif University of Technology

S. Abbasi Professor, Department of Food Science and Technology, College of
Agriculture, Tarbiat Modares University

B.S. Fazli Bazzaz Professor, Department of Pharmaceutical Chemistry, School of
Pharmacy, Mashhad University of Medical Sciences

S.M. Mousavi Professor, Department of Chemical Engineering, Faculty of Engineering,
Ferdowsi University of Mashhad

R. Kadkhodaei Associate Professor, Department of Food Nanotechnology, Research Institute
of Food Science and Technology

M. Hosseini Nezhad Associate Professor, Department of Food Biotechnology, Research Institute of
Food Science and Technology

H.B. Ghoddusi Senior Lecturer & Research Fellow, School of Human Sciences, London
Metropolitan University

A. Farahnaky Food, Nutrition, Pharmaceutical and Nutraceutical Discipline Group, School
of Biomedical Sciences, Faculty of Science, Charles Sturt University, Wagga
Wagga, NSW, Australia

S.M. Jafari Professor, Department of Food Process Engineering, Gorgan University of
Agricultural Sciences & Natural Resources

Printed by: Research Institute of Food Science and Technology

Address: Research Institute of Food Science and Technology, km 12 Mashhad-Quchan Highway,
Mashhad, PO. Box: 91895/157/356

Tel: 051-35425328-9

Website: <http://journals.rifst.ac.ir>

Email: jrifst@rifst.ac.ir

Journal of Research and Innovation in Food Science and Technology

Volume 8, Number 1, 2019

ISSN: 2252-0937 (Print), 2538-2357 (Online)

Contents

EThe Effect of Xanthan, Guar and Transglutaminase on the Physicochemical and Textural Properties of Gluten-free Doughnut	1
Arezo Fazeli, Mostafa Mazaheri Tehrani, Mahdi Karimi, Alireza Sadeghian, Arash Koochaki	
The Effect of Chestnut (<i>Quercus Brantii</i>) Flour Substitution on the Physicochemical and Sensory Properties of Burgers	15
Vahideh Salarkarimi, Mohammad Javad Varidi, Mehdi Varidi	
The Production and Evaluation of Nanoliposomes Containing Bioactive Peptides Derived from Fish Wastes Using the Alkalase Enzyme	31
Shirin Hasani, Mostafa Shahidi Noghabi, Seyed Mehdi Ojagh	
The Optimization of Hydrolyzed Protein Production with High Anti-Oxidation Ability from Sesame Meal by Response Surface Methodology	45
Azra Mousavi Nasab, Alireza Sadeghi Mahoonak, Mohammad Ghorbani, Mehran Alami, Nasim Meshginfar	
Integrated Encapsulation of Fish Oil and Vitamin E with Complex Coaservation Technique and its Efficiency Optimization by Response Surface Method (RSM)	53
Fatemeh Mirzaei, Seyed Ali Jafarpour	
Studying Transmembrane Pressure, pH and Anionic Surfactant (SDS) Concentration Effects on MEUF Process Performance in Dairy Waste Water Treatment Using Response Surface Methodology Design	67
Ali Arasteh Nodeh, Susan Khosroyar, Vahid Hakimzadeh	
Preparing of Bacterial Cellulose/Polypyrrole-Zinc Oxide Nanocomposite Film and Studying its Physicomechanical, Antimicrobial and Antioxidant Properties	79
Sajad Pirsa, Tohid Shamsi, Ehsan Moghaddas Kia	
Evaluation of Physicochemical, Textural and Cooking Characteristics of Enriched Spaghetti with Barley Bran and Xanthan Gum	91
Razieh Niazmand, Sara Naji-Tabasi, Atena Modiri, Moslem Jahani	